

18/166

INSTITUTUL GEOLOGIC

DĂRI DE SEAMA
ALE
ȘEDINȚELOR

VOL. LIX
1972

3. PALEONTOLOGIE

BUCUREȘTI
1973



Institutul Geologic al României



Institutul Geologic al României

158/18.06.86

INSTITUTUL GEOLOGIC

DĂRI DE SEAMĂ

ALE
ȘEDINȚELORE

VOL. LIX
(1972)

3. PALEONTOLOGIE

BUCUREȘTI
1973



Institutul Geologic al României

3. PALEONTOLOGIE

PALEOZOOLOGIE

INVENTARUL HYDROZOARELOR ȘI CHAETETIDELOR
DIN ROMÂNIA¹

DE

ALBERT BALTRES²

Abstract

Listing of Hydrozoans and Chaetetids from Romania. In its first part this paper deals with a list of Hydrozoans and Mesozoic Chaetetids recognized in Romania; in its second part there is presented a description of species found by the author in limestone elements from the Lower Cretaceous Wildflysch of the southern part of the Ilăghimăs Mts, and from the Tortonian and Sarmatian conglomerates in the NE part of the Transylvanian Basin. Among these a new species of the genus *Milleporella*-*M. marleneae* and a probably new species of the genus *Ellipsactinia* are described. The Romanian Hydrozoans pertain to the families: Actionostromariidae (7 species), Sphaeractiniidae (4 species), Sporadoporiidae (2 species), Milleporellidae (new species), Milleporidiidae (4 species), Parastromatoporidae (4 species), Burgundiidae (1 species), Spongiomorphidae (6 species). *Spongiomorphus dendroideus* Kühn, Ladinian in age, is the oldest Mesozoic Hydrozoan as yet known. Spongiomorphides are very frequently encountered within the faunas of Romanian Hydrozoan. Chaetetids are represented by 9 species. A complete synonymy of the species *Chaetopsis sonata* Patrulius is presented. *Lovcenipora dobrogica* Simionescu Lower Cretaceous in age is still considered as uncertain.

Introducere. Hydrozoarele și Chaetetidele sunt organisme coloniale în majoritate utili indicatori paleoecologici, fiind excepțional de susceptibile la modificările de mediu. Unele specii și genuri sunt fosile caracteristice (*Ellipsactinia*, *Sphaeractinia*, *Cladocoropsis mirabilis*).

Caracterele morfologice foarte sensibile la dinamica mediului furnizează informații foarte prețioase. Astfel, este cunoscut faptul că Ellip-

¹ Comunicare în ședința din 3 martie 1972.

² Intreprinderea Geologică de Prospecții, Str. Caransebeș nr. 1, București.



sactiniile au un schelet grosolan atunci cind trăiesc într-un mediu cu ape calme aşa cum este laguna din spatele recifilor (Bachmayer & Flügel, 1961). Reticulul extrem de delicat al Actinostromariilor presupune un mediu care a permis extinderea verticală a unui schelet cu elemente filiforme. Lipsa valurilor și o sedimentare extrem de lentă presupune și dezvoltarea crustiformă pe arii întinse a coloniilor de *Spongiomorpha asiatica* cum și a micilor colonii nodulare de *Millepora*. S-a putut stabili (Turňšek, 1969) că anumite asociații de Hydrozoare trăiau în arii individualizate, ocupând fizii alungite, orientate paralel cu linia țărmului și cu șeful. Turňšek arată că asociațiile în care apar Spongiomorphidae au trăit atât pe funduri întinse și netede cu o circulație lentă a apelor cit și în arii recifale adăpostite de apele agitate. În zonele adăpostite prosperau și Actinostromariile cu schelet delicat. Recifii cu Actinostromarii având o constituție masivă, cu elemente scheletice orizontale groase, rezistente la izbirea valurilor, formau bariere la marginea șefului, constituind o bordură între marea mai adină în care se sedimentau depozite pelagice și șelf.

Asocierea Hydrozoarelor și indeosebi a Chaetetidelor cu structuri sedimentare de tip *Stromatactis*, cu perforații provocate de moluște și intense recristalizări constituie indicii în plus care servesc la reconstituirea mediului de sedimentare.

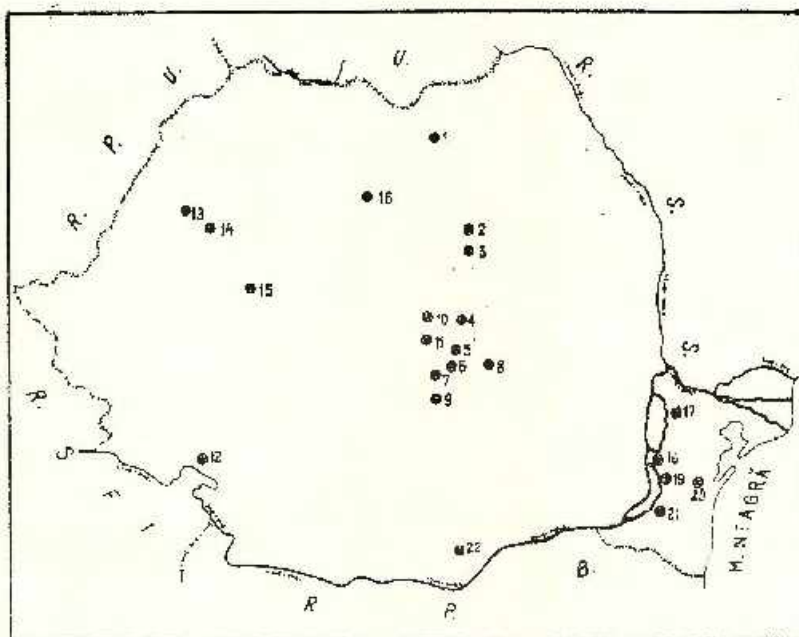
Importanța Hydrozoarelor și Chaetetidelor drept constructori de roci pare să fie demnă de tratat în considerare, contribuția lor la alcătuirea calcarelor fiind frapantă la o simplă examinare. Este de notat că faunele de Hydrozoare din România au caracteristică frecvență deosebită a Spongiomorphidelor.

Studiul Hydrozoarelor românești nu este de dată recentă. În Franță, Yvonne Dehorne începe în anul 1918 examinarea Hydrozoarelor din materialul paleontologic utilizat de V. Anastasiu la intocmirea tezei sale de doctorat. Specia *Stromatopora romanica* creată de Dehorne a constituit obiectul citorva revizuiriri ulterioare (Dehorne 1920, Lecompte 1952, Hudson 1956) consiminate de noi aici în sinonimul la *Actinostromarianina dehorneae* Lecompte și *Steineria romanica* (Dehorne).

Kühn (1936) descrie Hydrozoarele și Tabulatele din Triasicul din Dealul Melecelor la Brașov. *Spongiomorpha dendroidea* pe care o descrie de aici este cel mai vechi Hydrozoar mezozoic cunoscut.

Un inventar al Hydrozoarelor din Dobrogea a fost recent făcut de Turňšek & Bărbulescu (1969).

Chaetetidele au constituit obiectul de studiu al catorva autori (Bărbulescu 1965, Patrulius 1965, Dragastan 1967, Baltres 1970 b).



Harta răspândirii Hydrozoarelor și Chaetetidelor din România.

Carpății Orientali: 1, muntele Barău; 2, muntele Tulghes; 3, munții Hăgimăș; 4, munții Baraolt; 5, muntele Postăvarul (dealul Meleciilor - Brașov); 6, munții Bucegi; 7, culoarul Dîmbovicioara; 8, munții Cincas-Zăganu; 9, Pietroșița; 10, munții Perșani. Carpății Meridionali: 11, partea de NE a muntierii Fagaras; 12, Gura Valei. Munții Apuseni: 13, munții Padurea Craiului; 14, munții Bihor; 15, Munții Metaliferi (Trascău). Partea de NE a bazinului Transilvaniei: 16, sud de localitatea Bistrița. Dobrogea de nord: 17, Cărjalari. Dobrogea centrală: 18, Hirsova; 19, Topalu; 20, Palazu. Dobrogea de sud: 21, Cernavoda. Platforma Moesiei: 22, Atârnău.

Carte de la distribution des Hydrozoaires et des Chaetétides de Roumanie.

Carpății Orientale: 1, mont Barău; 2, mont Tulghes; 3, mont Hăgimăș; 4, mont Baraolt; 5, mont Postăvarul (Dealul Meleciilor-Brașov); 6, monts Bucegi; 7, couloir de Dîmbovicioara; 8, monts Cincas-Zăganu; 9, Pietroșița; 10, munte Perșani. Carpății Meridionali: 11, partie de NE des monts Fagaras; 12, Gura Valei. Monts Apuseni: 13, monts Padurea Craiului; 14, monts Bihor; 15, monts Metaliferi (Trascău). Partie de NE du bassin de Transylvanie: 16, sud de la localité de Bistrița. Nord de la Dobrogea: 17, Cărjalari. Dobrogea centrale: 18 Hirsova; 19 Topalu; 20, Palazu. Sud de la Dobrogea: 21 Cernavoda. Plate-forme Moesienne: 22, Atârnău.

Aria de răspândire. Hydrozoarele și Chaetetidele sunt organisme coloniale care iau parte la constituirea rocilor carbonatice, astfel încit răspândirea lor este legată de masivele calcaroase din următoarele zone (cifrele indică poziția corespunzătoare pe harta din figură):

În Carpații Orientali: 1, muntele Barău; 2, muntele Tulghes; 3, munții Hăgimăș; 4, munții Baraolt; 5, muntele Postăvarul (dealul Meleciilor - Brașov); 6, munții Bucegi; 7, culoarul Dîmbovicioara; 8, munții Cincas-Zăganu; 9, Pietroșița; 10, munții Perșani.

În Carpații Meridionali : 11, partea de NE a munților Făgăraș ; 12, Gura Văii.

În Munții Apuseni : 13, munții Pădurea Craiu ; 14, munții Bihor ; 15, Munții Metaliferi (Trascău).

În partea de NE a bazinului Transilvaniei : 16, sud de localitatea Bistrița.

În Dobrogea de nord : 17, Cârjelari.

În Dobrogea centrală : 18, Hirșova ; 19, Topalu ; 20, Palazu.

În Dobrogea de sud : 21, Cernavodă.

În Platforma Moesică : 22, Atîrnăți.

L I S T A H Y D R O Z O A R E L O R Ș I C H A E T E T I D E L O R D I N R O M Â N I A

H Y D R O Z O A R E

A c t i n o s t r o m a r i ï d a e

1. *Actinostromaria tokadiensis* (Yabe & Sugiyama) : Turnšek & Bărbulescu (1969) p. 77, pl. 1—2. Loc. Topalu. Vîrstă Kimmeridgian inferior.

2. *Actinostromaria lugeoni* Dehorne : Baltres în această lucrare, p. 13, pl. I, fig. 1, 2. Loc. valea Banului — partea meridională a munților Hăgimaș. Vîrstă Cretacic inferior.

3. *Actinostromaria jeanneti* Steiner : Baltres în această lucrare p. 14, pl. V, fig. 1, 5 ; pl. VI, fig. 5. Loc. sud de localitatea Bistrița — partea de NE a bazinului Transilvaniei. Vîrstă Cretacic inferior.

4. *Actinostromaria zonata* Turnšek : Dragastan (1971 b) p. 157. Loc. munții Hăgimaș. Vîrstă Portlandian superior — zona cu *Bankia striata*.

5. *Actinostromaria* sp. : Dragastan (1971 a) p. 37, (1971 b) p. 157, 183. Loc. munții Hăgimaș. Vîrstă Portlandian superior — zona cu *Bankia striata*.

6. *Actinostromarianina dehorneae* Lecompte : Lecompte (1952) p. 10, pl. I, fig. 1. Loc. Dobrogea. Vîrstă Jurasic superior.

7. *Desmopora listrigonorum* Iavorski : Baltres în această lucrare, p. 15, pl. VI, fig. 2, 3. Loc. Suhardu Mic — munții Hăgimaș. Vîrstă Portlandian.

8. *Actinostromarianina* cf. *beauvoisi* Flügel : Baltres în această lucrare, p. 16, pl. VII, fig. 5, 6. Loc. valea Banului și cota 1500, sud de valea Sălămaș — partea meridională a munților Hăgimaș. Vîrstă neprecizată.

Sphaeractiniidae

9. *Sphaeractinia diceratina* Steinmann: Patrulius & al. (1968) p. 38, Patrulius (1969) p. 92. Loc. muntii Bucegi, in olistolite de calcare de Stromberg incorporate in strate de Sinajă, Vîrstă Tithonie superior.

10. *Ellipsactinia caprense* Canavari: Baltres in această lucrare, p. 17, pl. IV, fig. 1—3. Loc. valea Antalok și valea Rana Mică — partea meridională a muntilor Hăgimăș. Vîrstă neprecizată.

11. *Ellipsactinia* sp.: Pompecky (1897) p. 808. Loc. Cărjelari — Dobrogea de nord; Simionescu (1911) p. 159. Loc. Cărjelari — Dobrogea de nord. Vîrstă Malm superior; Fish (1924) p. 125 (exemplare asemănătoare cu *E. ellipsoidea* Steinmann); Patrulius (1956) p. 123. Loc. muntii Pădurea Craului. Vîrstă Portlandian; Codarcea & Răileanu (1960) p. 595. Loc. Gura Văii — Carpații Meridionali. Vîrstă Tithonie; Codarcea & al. (1961) p. 22, (1962), p. 458, pl. II, fig. 12, 13. Loc. Piatra Gușăță (izvoarele ogașului Ogilnic) — vest de Turnu Severin. Vîrstă Tithonie. Cele două exemplare figurate se păstrează în Colecția Institutului Geologic cu nr. P-2448; Răileanu & al. (1968) p. 92. Loc. Dobrogea de nord, în calcar pararecifale. Vîrstă Tithonie; Iancovici & al. (1969) p. 161. Loc. partea estică a Munților Metaliferi (muntii Trascău). Vîrstă Tithonie; Sandulescu (1969) p. 244. Loc. muntii Hăgimăș. Vîrstă Tithonie.

12. *Ellipsactinia* sp. nov. sp.?: Baltres in această lucrare, p. 19, pl. IV, fig. 4, 5, 8. Loc. valea Iavardi și valea Rana Mică — partea meridională a muntilor Hăgimăș. Vîrstă neprecizată.

Sporadoporidiidae

13. *Tubuliella rotundata* Turnšek: Baltres in această lucrare, p. 20, pl. IV, fig. 6, 7. Loc. valea Iavardi — partea meridională a muntilor Hăgimăș. Vîrstă Cretacic inferior?

14. *Tubuliella* sp.: Dragastan (1971 a) p. 38, (1971 b) p. 157. Loc. muntii Hăgimăș. Vîrstă Portlandian superior — zona cu *Clypeina jurassica*.

Milleporellidae

15. *Millepora marlenae* nov. sp.: Baltres in această lucrare, p. 20, pl. I, fig. 3—5. Loc. valea Covaci — partea meridională a muntilor Hăgimăș. Vîrstă Cretacic inferior.

Milleporidiidae

16. *Milleporidium remesi* Steinmann: Turnšek & Bărbulescu (1969) p. 79, pl. 6. Loc. Topalu — Dobrogea centrală. Vîrstă Kimmeridgian inferior.

17. *Milleporidium* sp.: Baltres în această lucrare, p. 21, pl. VI, fig. 1. Loc. muntele Chicera-Tulgheş. Vîrstă neprecizată.

18. *Steineria romanica* (Dehorne): Dehorne (1920) p. 86, pl. V, fig. 7; pl. XIII, fig. 4, 5. Loc. Dobrogea. Vîrstă Jurasic superior.

19. *Shugraea heybroekii* Hudson: Turnšek & Bărbulescu (1969) p. 80, pl. 7, 8. Loc. Palazu Mic — Dobrogea centrală. Vîrstă Oxfordian superior — Kimmeridgian inferior.

Parastromatoporidae

20. *Parastromatopora* sp.: Dragastan (1971 a) p. 37, (1971 b) p. 157. Loc. munții Hăgħimaš. Vîrstă Portlandian superior — zona cu *Bankia striata*.

21. *Cladocoropsis mirabilis* Felix: Sandulescu (1969) p. 244. Loc. munții Hăgħimaš. Vîrstă Tithonic-Neocomian; Dragastan (1971 a) p. 36, 37; (1971 b) p. 157, 175, 183. Loc. munții Hăgħimaš. Vîrstă Portlandian inferior — zona cu *Pianella pygmaea* și Portlandian superior — zona cu *Bankia striata*.

22. *Cladocoropsis cretacea* Turnšek: Dragastan (1971 a) p. 40, (1971 b) p. 158. Loc. munții Hăgħimaš. Vîrstă Haunterivian — zona cu ostracode.

23. *Cladocoropsis* cf. *cretacea* Turnšek: Dragastan (1971 a) p. 28. Loc. munții Hăgħimaš. Vîrstă Barremian.

24. *Cladocoropsis* sp.: Dragastan (1971 b) p. 169. Loc. munții Hăgħimaš. Vîrstă Portlandian inferior.

25. *Hudsonella dobrogensis* Turnšek & Bărbulescu: Turnšek & Bărbulescu (1969) p. 78, pl. 3—5. Loc. Topalu și Hirșova — Dobrogea centrală. Vîrstă Oxfordian superior — Kimmeridgian inferior.

Burgundiidae

26. *Burgundia* (?) sp.: Popescu & Patrulius (1964) p. 95. Loc. Pietrele Doamnei și creasta Hăgħiniżulu — muntele Rarān. Vîrstă Barremian.

Spongiomorphidae

27. *Spongiomorpha globosa* Yabe & Sugiyama: Baltres în această lucrare, p. 22, pl. II, fig. 4—6; pl. III, fig. 1, 2, 4—6. Loc. valea Sălămaș și valea Iavardi — partea meridională a munților Hăgimăș. Vîrstă Cretacic inferior.

28. *Spongiomorpha aff. globosa* Yabe & Sugiyama; Turnășek & Bărbulescu (1969) p. 81. Loc. Topaln — Dobrogea centrală. Vîrstă Kimmeridgian inferior.

29. *Spongiomorpha asiatica* Yabe & Sugiyama: Dragastan (1971 a, p. 38, 1971 b, p. 157). Loc. munții Hăgimăș. Vîrstă Portlandian superior — zona cu *Clypeina jurassica*; Baltres în această lucrare, p. 23, pl. I, fig. 6; pl. II, fig. 2, 3. Loc. valea Covaci și valea Iavardi — partea meridională a munților Hăgimăș.

30. *Spongiomorpha dendroidea* Kühn: Kühn (1936) p. 125, pl. 1, fig. 11. Loc. muntele Postăvarul (Dealul Meleilor — Brașov). Vîrstă Ladinian. Materialul s-a pierdut. Punctul fosilifer nu mai există, ca urmare a exploatarii calcarelor în cariera fabricii de ciment „Temelia” din Brașov: Jekelius (1936) p. 22 (materialul lui Kühn).

31. *Spongiomorpha globoidea* Popescu & Patrulius: în Colecția Institutului Geologic cu nr. P-3882 și P-2112. Loc. Creasta Hăglinișului — muntele Raiău. Vîrstă Norian. Menționată ca specie nouă în Popescu & Patrulius (1964) p. 105.

32. *Spongiomorpha cf. gibbosa* Frech: Baltres în această lucrare, p. 26, pl. III, fig. 3; pl. V, fig. 2, 3; pl. VI, fig. 4. Loc. sud de localitatea Bistrița — partea de NE a bazinului Transilvaniei; valea Banului — partea meridională a munților Hăgimăș. Vîrstă Cretacic inferior.

33. *Spongiomorpha* sp.: Dragastan (1971 a) p. 21. Loc. munții Hăgimăș. Vîrstă Portlandian.

34. *Stromatomorpha* cf. *stylifera* Frech: Popescu & Patrulius (1964) p. 104. În colecția Institutului Geologic cu nr. P-2466. Loc. versantul de NE al culmii Raiău. Vîrstă Ladinian — orizontul cu *Reticula*.

CHAETETIDAE

1. *Chaetetopsis zonata* Patrulius: Simionescu (1940) p. 357, fig. 1, 2, pl. I, fig. 1—3; pl. III, fig. 1. Loc. Oernavodă — Dobrogea de sud. Vîrstă Cretacic inferior; Filipescu (1953) p. 179, fig. 1—3.

Loc. Culmea Pojilor, vîrful Tesla-Ciucaș. Vîrstă Barremian-Aptian; Murgeanu & al. (1959) p. 9. Loc. Tesla, bazinele văii Tîrlungului — muntele Ciucaș. Vîrstă Barremian-Aptian; Patrulius (1960 a) p. 147. Loc. Valea Seacă — Rarău. Vîrstă Aptian; (1960 b) p. 191. Loc. Atîrnăți — Platforma Moesică. Vîrstă Barremian-Aptian; Murgeanu & al. (1961) p. 170. Loc. munții Baraolt, imprejurimile Pietriștei, Colții Brătii — bazinele Ialomiței. Vîrstă Aptian; Patrulius & Tocoreanu (1962) p. 122. Loc. forajul de la Atîrnăți — Platforma Moesică; p. 126. Loc. Tesla și pasul Bonciu — regiunea muntelui Ciucaș. Vîrstă Barremian-Aptian, respectiv Aptian, probabil Aptian mediu; Popescu & Patrulius (1964) p. 96. Loc. Izvorul Alb — muntele Rarău. Vîrstă Aptian; Patrulius (1965) p. 26, pl. I—III, IV, fig. 1. Loc. regiunea muntelui Rarău; muntele Strîmbu — munții Ciucaș-Zăganu. Vîrstă Aptian; Mutihale (1968) p. 52. Loc. muntele Rarău. Vîrstă: materialul provine din Wildflyschul hauerian-albian; Patrulius & al. (1968) p. 29. Loc. masivul Gîrbova — munții Perșani, marginea de NE a munților Făgărăș (cuvertura pinzei transilvane). Vîrstă Aptian; p. 43. Loc. munții Baraolt (digitatia Ciuc-Baraolt). Vîrstă Aptian superior; p. 44. Loc. Tesla (flișul marno-grezos ruginiu). Vîrstă Aptian; Sandulescu (1969) p. 243. Loc. munții Hăghimaș. Vîrstă Cretacic inferior în facies urgonian; Baltrès (1970 a) p. 226, pl. II, fig. 9, 10. Loc. sud de localitatea Bistrița — partea de NE a bazinului Transilvaniei. Materialul este remaniat în conglomerate tortoniene și sarmatiene. Vîrstă Cretacic inferior; Dragastan (1971 b) p. 160. Loc. munții Hăghimaș. Vîrstă Barremian-Aptian inferior.

2. *Chaetetopsis favrei* (Deninger): Patrulius (1965) p. 27, pl. IV, fig. 2, pl. V. Loc. muntele Rarău, forajul de la Atîrnăți — Platforma Moesică. Vîrstă Aptian inferior, respectiv Barremian (cu probabilitate); Boreda (1972) p. 16, pl. V, fig. 7. Loc. est de cătunul Dotești, zona Grohot-Tomnatec (Munții Metaliferi). Vîrstă: materialul provine din blocurile de calcare în facies urgonian incorporate în Wildflysch.

3. *Chaetetopsis krimholzi* Tavorski: Baltrès în această lucrare p. 27, pl. VII, fig. 3. Loc. valea Iavardi — partea meridională a munților Hăghimaș. Vîrstă Cretacic inferior.

4. *Chaetetopsis crinita* Neumann: Baltrès în această lucrare, p. 28, pl. VII, fig. 1, 2. Loc. valea Covaci și valea Sălămaș — partea meridională a munților Hăghimaș. Vîrstă Cretacic inferior.

5. *Chaetetopsis* sp.: Murgeanu, Filipescu & al. (1961) p. 11.

6. *Chaetetes* sp.: Kühn (1936) p. 127. Loc. Dealul Melcilor — Brașov. Vîrsta Ladinian; Jekelius (1936) p. 22 (materialul lui Kühn).

7. *Blastochaetetes capilliformis* (Michelin): Bărbulescu (1965) p. 85, pl. I, fig. 1—5; pl. II, fig. 6, 7. Loc. Topalu-Dobrogea centrală. Vîrsta Kimmeridgian inferior.

8. *Bauneia multitubulata* (Denninger): Baltres în această lucrare, p. 29, pl. VII, fig. 4. Loc. valea Iavardi — partea meridională a munților Hăghimăș. Vîrsta Cretacic inferior.

9. *Adaequoparietes schnorfae* Baltres: Baltres (1970) p. 26, pl. I—V. Loc. sud de localitatea Bistrița — partea de NE a bazinului Transilvaniei; valea Iavardi — munții Ciucului (partea meridională a munților Hăghimăș). Vîrsta Cretacic inferior.

INCERTAE SEDIS

1. *Lorcenipora dobrogica* Simionescu: Simionescu (1926) p. 102; (1928) p. 28, fig. 25; (1943) p. 22, pl. IV, fig. 3. Loc. Cernavodă. Vîrsta Cretacic inferior.

PARTEA PALÆONTOLOGICĂ³

HYDROZoARE

Actinostromariidae

Actinostromaria lugeoni Dehorne

(Pl. I, fig. 1, 2)

1920 *Actinostromaria lugeoni* n. sp. — Y. Dehorne, p. 65, pl. 3, fig. 1, pl. 15, fig. 2, pl. 16, fig. 6, 7.

1932 *Actinostromaria lugeoni*. — A. Steiner, p. 94, pl. 2, fig. 3, pl. 3, fig. 1—3, pl. 4, fig. 1—3.

1960 *Actinostromaria lugeoni*. — A. Schnorf, p. 733.

1965 *Actinostromaria lugeoni?*. — A. Fenninger & H. Hötzl, p. 10, pl. 1, fig. 3.

Holotypus: Dehorne 1920, nr. 12968.

Locus typicus: Sainte Croix.

Stratum typicum: Valanginian.

Material: P-8844 (3 eșantioane și 2 secțiuni subțiri), valea Banului — partea meridională a munților Hăghimăș.

³ Materialul paleontologic se păstrează în Colecția Institutului Geologic din București.

Descriere. Colonie incrustantă cu grosimi de 3—5 mm și extindere orizontală mare. Cenosteum laminar, mamelonat. Elementele scheletice verticale sunt disconținui, robuste. Elementele orizontale mai delicate, unele cîte două elemente verticale învecinate, avînd o extindere limitată. În secțiune tangențială, elementele verticale apar ca noduri ale unei rețele în zig-zag alcătuită din elemente orizontale. Astrorizele, bine dezvoltate, uneori ramificate complicat, sunt frecvente și suprapuse. Uneori o nouă etapă de creștere debutează printr-un reticul dezordonat. Microstructura, bine conservată, este ortogonală.

Specimenul nostru se ascamăna cu *A. lugeoni* prin caracterul laminat al cenosteumului, prin robustețea elementelor scheletice și caracterul rămuros al astrorizelor. Prin mărimea și densitatea astrorizelor are afinități și cu *A. stellata*. Dimensiunile exemplarului de care dispunem corespund celor date de Steiner (1932) pentru specia *lugeoni*.

Dimensiuni (mm)

Diametrul elementelor verticale	0,12—0,16
Diametrul elementelor orizontale	0,08—0,1
Numărul elementelor verticale/2 mm	7—8
Diametrul cenospațiilor	—0,16
Distanța între elementele orizontale	0,1—0,4
Distanța între centrele astrorizelor	5—10
Diametrul astrorizelor	3,5—5

Vîrstă. Cretacic inferior (în asociație cu *Aeicularia*, *Neotrocholina*, *Valvulina*, feldspați de neoformăriune).

Răspîndire. *A. lugeoni* este cunoscută din Valangimianul din Elveția și din Jurasicul superior de la Plassen—Austria.

Actinostromaria jeanneti Steiner

(Pl. V, fig. 1, 5; pl. VI, fig. 5)

1932 *Actinostroma jeanneti* nov. sp. — A. Steiner, p. 91, pl. 1, fig. 3, pl. 2, fig. 1, 2.

1932 *Actinostromaria dasycana* nov. sp. — A. Steiner, p. 95, p. 5, fig. 3, pl. 6, fig. 1.

1980 *Actinostromaria jeanneti*. — A. Schnorr, p. 735, fig. 3, 4, pl. 2, fig. 1, 2. v 1970 *Actinostromaria* sp. — A. Baltres, pl. I, fig. 1.

Lectotypus: Steiner 1932, A no. 34019, p. 91, pl. 2, fig. 1, 2.
Locus typicus: la Violette — Arzier.

Stratum typicum: Valangimian superior.

Material: P-8845 (eșantion și 2 secțiuni subțiri), sud de localitatea Bistrița — partea de NE a bazinului Transilvaniei.

Descriere. Rețeaua scheletică este constituită din elemente verticale lungi, paralele, bine dezvoltate. Elementele transversale subordonate, trabeculare, spiniforme, mai rar unind doi sau mai mulți pilieri. Acolo unde rețeaua scheletică este deranjată dintr-un motiv oarecare, la baza unui nou stadiu de dezvoltare apare un strat fin reticulat care trece rapid spre pilieri verticali. Același reticul fin se dezvoltă și în porțiunea în care colonia se fixează pe substrat. Secțiunile tangențiale trăidează caracterile speciei *jeanneti* prin aspectul puțin diferențiat al ramurilor astrorizelor și scurtimea acestora. Microstructura tipic ortogonală este caracterizată de dispunerea fibrelor calcitice perpendicular pe o axă opacă evidentă atât în elementele scheletice orizontale cât și în cele verticale.

A. jeanneti este foarte asemănătoare cu *A. leptocana* Steiner, la care însă rețeaua scheletică are un caracter pronunțat reticulat, iar astrorizele au ramurile mai lungi și mai bine delimitate.

Dimensiuni (mm)

Diametrul elementelor verticale	0,08
Diametrul elementelor transversale	0,06—0,08
Numărul elementelor verticale/2 mm	9—10
Numărul elementelor transversale/2 mm	10—17

Vîrstă. Cretacic inferior (apare în asociație cu Chaetetidae).

Răspândire. Marnele valanginian-superioare de la Arzier—Elveția.

Actinostromarianina dehorneae Lecompte

1918 *Stromatopora romanica* n. sp. — Y. Dehorne, p. 221.

1920 *Stromatopora milleporoides* var. *romanica*. — Y. Dehorne, p. 86, pl. V, fig. 8.

1952 *Actinostromarianina dehorneae* Lecompte — M. Lecompte, p. 10, pl. 10, fig. 1.

Holotypus: specimenul figurat de Dehorne (1920) la pl. 5, fig. 8.

Locus typicus: Dobrogea.

Stratum typicum: Jurasic superior.

Col. Sorbona.

Desmopora listrigonorum Iavorski

(Pl. VI, fig. 2, 3)

1961 *Desmopora listrigonorum*. — F. Bachmayer & E. Flügel, p. 187, pl. 18, fig. 1.

1966 *Desmopora listrigonorum*. — D. Turnšek, p. 18, pl. 4, fig. 5, 6, pl. 5, fig. 3.

Holotypus: prin monotipie, exemplarul figurat de Iavorski în anul 1947.

Locus typicus : flancul nordic al muntelui Kubani, peninsula Crimea — U.R.S.S.

Stratum typicum : Tithonic.

Material : P-8846 (2 eșantioane și o secțiune subțire), valea Cupaș — munții Hăgimaș.

Descriere. Cenosteum umbeliform cu latilaminație evidentă. Elementele verticale lamelare sunt unite două cîte două prin prelungiri scheletice spiniforme. În masa cenosteului se recunosc două tipuri de tuburi : radiare, care se disting prin lipsa tabulelor ; snopuri de tuburi groase, ocupînd o poziție axială în colonie, tabulate. În secțiune transversală se recunoaște un reticul poligonal în general inchis. Microstructura este ortogonală.

Dimensiuni (mm)

Mărimea cenosteului (incomplet)	13—17
Diametrul tuburilor radiare	0,15—0,20
Diametrul tuburilor axiale	0,25—0,33
Grosimea elementelor verticale	0,04, rar 0,08

Vîrstă. Portlandian.

Răspîndire. Tithonicul din Crimea ; Tithonicul (calcare de Stramberg) de la Stramberg — Cehoslovacia ; Oxfordian superior — Kimmeridian inferior în Jugoslavia.

Actinostromariidae ?

Actinostromarianina ? cf. beauvaisi Flügel

(Pl. VII, fig. 5, 6)

1969 *Actinostromarianina* ? beauvaisi n. sp. — E. Flügel, p. 127, pl. 1, fig. 1—4.

Holotypus : Flügel 1969, nr. 5 (SMF 26396), p. 127, pl. 1, fig. 1, 3, 4.

Locus typicus : Traunvand N Russbach, Gosau-Becken, Salzburg — Austria.

Stratum typicum : Strate de Gosau, Santonian superior.

Material : P-10.879 (un eșantion și o secțiune subțire, valea Barnului — partea meridională a munților Hăgimaș), P-10.878 (o secțiune subțire, cota 1500, sud de valea Salamaș — partea meridională a munților Hăgimaș).

Descriere. Dispunem de două secțiuni longitudinale prin fragmente de cenosteum cu microstructură circumlamellară și care după toate aparențele aparțin reticulului periferic al unor actinostromariide de talie mică. Reticulul scheletic se caracterizează prin elemente radiare scurte

și elemente tangențiale bine dezvoltate corespunzind diagnozei date de Flügel. Galeri ovale, rotunde sau neregulate, frecvent coalesceante, uneori cu disepimente. Microstructura circumlamelară bine vizibilă corespunde perfect descrierii lui Flügel și este identică atât în elementele scheletice radiare cât și în cele tangențiale. La exemplarul nostru se remarcă, îndeosebi la elementele radiare, și prezența unor axe centrale calcitice de culoare deschisă.

<i>Dimensiuni (mm)</i>	<i>exemplarul Flügel, 1969</i>
	P-10.878
Diametrul elementelor verticale	0,1–0,2 0,07–0,14
Diametrul elementelor orizontale	0,12–0,28 0,07–0,21
Numărul elementelor verticale/2 mm	2–4 6–10
Numărul elementelor orizontale/2 mm	4–5 6–9

Valorile dimensionale situează exemplarul nostru în limitele date de Flügel.

Specia creată de Flügel are o microstructură deosebită de tipurile de microstructuri cunoscute. Se stie că microstructura are caracter specific la fiecare superfamilie de hydrozoare mezozoice. Specia creată de Flügel a fost atribuită de acesta provizoriu genului *Actinostromarianina* din superfamilia Actinostromariidae. Cum această superfamilie se caracterizează prin microstructură ortogonală, iar noua specie are microstructură circumlamelară, autorul conchide că probabil este vorba de un nou gen apartinând unei noi familii. Acest gen are numeroase caractere morfologice comune cu *Actinostromarianina*.

Vîrstă neprecizată.

Răspândire. Santonianul superior (strate de Gosau), Traunvand N Russbach, Gosau-Becken, Salzburg-Austria.

Sphaeraactiniidae

Ellipsactinia caprense Canavari

(Pl. IV, fig. 1–3)

1954 *Ellipsactinia caprense*. — C. Germovšek, p. 374.

1956 *Ellipsactinia caprense*. — M. Mihailović, p. 180, pl. 6.

1961 *Ellipsactinia caprense*. — F. Bachmayer & E. Flügel, p. 125, pl. 15, fig. 1–4, pl. 17, fig. 1.

1962 *Ellipsactinia caprense*. — P. Celet, p. 114.

Lectotypus: Canavari 1893, pl. 1, fig. 5a–c.

Locus typicus: Punta Tragara, Capri—Italia.

Stratum typicum: Tithonie.

Material: P-8847 (2 secțiuni subțiri), valea Râna Mică – partea meridională a munților Hăgimaș.

Descriere. Caracterele exemplarelor de care dispunem corespund excelentei descrieri date de Bachmayer & Flügel (1961). Cenosteumul cilindric este constituit dintr-o zonă axială și una periferică. Elementele scheletice orizontale lamelare, concentrice ale hipocenosteumului sunt constituite dintr-o zonă axială opacă cu aspect de rețea deschisă. În figură sunt vizibile tendințele de dezvoltare radiară ale zonei axiale. De o parte și alta a reticulului opac se dispune cîte un strat fibros ocroleic alcătuit din cristale de calcit. Elementele scheletice lamelare ale pericenosteumului se deosebesc de cele descrise înainte prin caracterul zonii axiale care este marcată de o lamă întunecată, fină. Interspațiile, deseori continui cuprinse între două elemente orizontale se unesc prin tuburi radiare dispuse dezordonat și care traversează două-trei lamele vecine.

Dimensiuni (mm)

Grosimea elementelor orizontale	în hipocenosteum 0,30–0,65 în pericenosteum 0,16–0,32
Înălțimea cenospațiilor	în hipocenosteum 0,10–0,24 în pericenosteum 0,04–0,08
Diametrul tuburilor radiare	0,06–0,24
Numărul elementelor orizontale/5 mm	în hipocenosteum 4–5 în pericenosteum 5–6

Vîrstă neprecizată.

Răspîndire. Tithonicul din insula Capri – Italia centrală ; Tithonicul din Tunisia, Austria, Grecia. În Jugoslavia (Slovenia, Croația, Serbia, Muntenegru) este cunoscută în depozite tithonic-barremiene.

Observație. Mihajlovic (1956, 1959) afirmă că Sphecarctiniile sunt fosile caracteristice de facies, prezentând un biotop special, lueru care explică prezența lor în nivele subțiri sau lentile mici în care nu apar alte resturi faunistice. Se pare că adaptarea la anumite condiții este atât de limitată, încît acolo unde specii ale genului *Sphaeractinia* sunt extrem de rare existau condiții pentru dezvoltarea Ellipsactiniilor, îndeosebi a speciei *ellipsoidea*. În alte locuri domină specii ale genului *Sphaeractinia*, lueru care ar indica condiții favorabile proliferării acestora. Pe seama condițiilor ecologice sunt puse și deosebirile morfologice și scheletice (Bachmayer & Flügel, 1961). Astfel, cenosteumul cilindric cu creștere nederanjată și elemente scheletice groase al *Ellipsactinia caprense* de la Klafterbrunn (Austria) care s-a dezvoltat în laguna din spatele reci-

fului, se deosebește de cel al aceleiași specii de la Ernstbrunn (Austria) care se găsește pe flancul recifului. Cenosteumul acesteia din urmă este mai mic, iar elementele orizontale sunt mai subțiri.

Judecind după aceste indicii, specia descrisă mai sus s-a dezvoltat într-un mediu liniștit care a permis dezvoltarea columnară.

În ce privește poziția stratigrafică ocupată de Sphaeractiniide, Canavarî, Germovsek și Flügel le atribuie exclusiv Tithonicului. Grubie și alții le atribuie Cretacicului inferior. Mihajlovic se afirmă că acestea formează nivale recifale în calcarale de la Durmitor și Sinjajevina de vîrstă Tithonic – Valanginian. Cercetările din Slovenia (Turansek, 1965) arată că toate calcarale cu Hydrozoare sunt cuprinse în intervalul Oxfordian superior – Kimmeridgian inferior. Aceeași vîrstă au depozitele cu Sphaeractiniide de la Mackovec, Ernstbrunn, Stramberg și probabil cele din Italia, Serbia, Croația.

Ellipsactinia sp. nov. sp.?

(Pl. IV, fig. 4, 5)

Material: P-8849 (eșantion și 2 secțiuni subțiri); P-8850 (eșantion și secțiune subțire), valea Iavardi – partea meridională a munților Hăghimaș; P-8848 (secțiune subțire), valea Rana Mică – partea meridională a munților Hăghimaș.

Descriere. Colonii de formă reniform-conforță, uncori cu protuberanțe, lipsite de hipocenosten. În secțiuni verticale se recunosc elementele scheletice orizontale concentrice groase, centrate de o lamă opacă înconjurată de calcit fibros-oerolic. Interspații concentrice foarte reduse, discontinui, puțin înalte, colmatate cu calcit sparitic. Uneori interspațiile lipsesc, elementele orizontale venind în contact direct. În secțiune tangențială imaginea elementelor orizontale este aceeași ca în secțiune verticală. Se recunosc numeroase secțiuni transversale circulare prin tuburile radiare.

O determinare specifică nu s-a putut face datorită lipsei literaturii.

Dimensiuni (mm)

Grosimea elementelor orizontale	0,35 – 0,50
Înălțimea interspațiilor	0,08 – 0,16
Diametrul tuburilor radiare	0,25 – 0,30
Grosimea lamelor centrale	0,10 – 0,16
Numărul elementelor orizontale/5 mm	8 – 10

Vîrstă neprecizată.

Sporadoporidiidae

Tubuliella rotundata Turnšek

(Pl. IV, fig. 6, 7)

1966 *Tubuliella rotundata* nov. sp. — D. Turnšek, p. 73, pl. 10, fig. 1—8.

Holotypus : Turnšek 1966, P-206, pl. 11, fig. 1—2.

Locus typicus : Velika Ojstrovecia on Trnovski gozd — Jugoslavia.

Stratum typicum : Oxfordian superior — Kimmeridgian inferior.

Material : P-8851 (eșantion și 2 secțiuni subțiri), P-8852 (eșantion), valea Iavardi — partea meridională a munților Hăgimăș.

Descriere. Cenosteum constituit din elemente scheletice verticale cu pori mari, înconjurate de fibre radiare cu dispoziție ortogonală. Elementele scheletice separă tuburi radiare groase, tabulate cu canale laterale. Secțiunile longitudinale și transversale ale specimenului nostru sunt perfect comparabile cu cele ale Milleporellidului *Tubuloparietes constans* Schenck care însă are structură granulo-fasciculată.

Dimensiuni (mm)

Diametrul tuburilor largi	0,50—0,65
---------------------------	-----------

Grosimea pereților poroși	0,08—0,24
---------------------------	-----------

Dimensiunile exemplarului nostru sunt inferioare celor indicate de Turnšek (1966). Autoarea menționează însă că a fondat genul pe un singur specimen, încit variațiile dimensionale nu sunt excluse.

Vîrstă. Cretacic inferior? (în asociație cu *Lithocodium aggregatum*).

Răspîndire. Oxfordian superior — Kimmeridgian în Jugoslavia. În România, Draganstan (1971) citează prezența genului *Tubuliella* în Portlandianul superior (zona cu *Clypeina jurasica*) din munții Hăgimăș.

Milleporellidae

Millepora marlenae nov. sp.

(Pl. I, fig. 3—5)

Holotypus : P-8853 (secțiune subțire), pl. I, fig. 3—5.

Locus typicus : valea Covaci — partea meridională a munților Hăgimăș.

Stratum typicum : materialul provine din blocurile de calcare mezozoice remaniate în Wildflysch. Vîrstă este Cretacic inferior.

Material : o colonie P-8853 (secțiune subțire).

Diagnoza. Cenosteum de talie mică, nodular cu baza îngustă. Reticulul scheletic este constituit din clemente verticale regulate, alungite unite prin elemente orizontale situate la anumite nivele. În secțiune

transversală, se recunoaște o rețea poligonală regulată, închisă cu tendință de a constitui șiruri paralele, alipite de poligoane. Prezența astrotuburilor este probabilă.

Descriere. Elementele scheletice verticale lamelare, fine, alungite separă tuburi cu secțiune poligonală. Elementele transversale, continu traversează fără intrerupere tuburile, punind în evidență o structură concentrică a cenosteumului. Existența astrosistemelor este bănuită în prezența unor tuburi bifurcate cu diametru mai mare care deranjează uniformitatea rețelei. Umplutura calcitică limpede a tuburilor contrastează cu perțeji acestora a căror microstructură nu poate fi recunoscută.

Dimensiuni (mm)

Cenosteum	17 × 14
Diametrul elementelor scheletice	0,01 – 0,015
Diametrul tuburilor cenostecale	0,015 – 0,045 (obișnuit 0,03)
Numărul elementelor verticale/2 mm	62 – 70
Diametrul astrotuburilor ?	0,06

Raporturi și diferențe. Noua specie este asemănătoare cu *Milleporella reticulata* (II ö t z I), de care se deosebește prin dimensiunile elementelor scheletice care sunt de 2–4 ori mai mici.

Vîrstă. Cretacic inferior ?

Milleporidiidae

Milleporidium sp.

(Pl. VI, fig. 1)

Material: P-8854, un fragment remaniat în Wildflyschul din munții Tulgheș (vest de munțele Chicera).

Descriere. Materialul disponibil nu este suficient pentru o determinare specifică. Secțiunile longitudinale ale unei colonii incrustante prezintă aspecte caracteristice genului *Milleporidium*. Tuburile cenostecale dimorfice se bifurcă sau se anastomozesc și sunt traversate de numeroase tabule. Microstructura bine conservată este de tip clinogonal.

Vîrstă neprecizată.

Steineria romanica (Dehorne)

Romanactis ... Munier-Chalmas, in coll.

1918 *Stromatopora romanica* n. sp. — Y. Dehorne, p. 221.

1920 *Stromatopora milleporoides* n. sp. — Y. Dehorne (pro parte)

Stromatopora milleporoides var. *romanica*. — Y. Dehorne

Stromatopora romanica. — Y. Dehorne p. 86, pl. 5, fig. 7 (non fig. 8), pl. 13, fig. 4, 5.

- 1923 *Stromatopora milleporoides* de Romanica. — Y. Dehorne p. 19; non *Stromatopora milleporoides* p. 18.
 1927 *Milleporidium milleporoides* (Dehorne). — Kühn, p. 551.
 1928 *Milleporidium milleporoides* (Dehorne). — Kühn, p. 87.
 1932 *Milleporidium romanicum* (Dehorne). — Zuffardi-Comerci, p. 71.
 1932 *Stromatopora milleporoides*. — A. Steiner, p. 186.
 1952 *Stromatoporina romanica* (Dehorne). — M. Lecompte, p. 21.
 1956 *Steineria romanica* (Dehorne). — R. G. S. Hudson, p. 723, pl. 75, fig. 1-4
 9, 10; fig. 2-5 in text.

Lectotypus: Lectotipul a fost desemnat de Leecompte (1952) prin specimenul 27 figurat de Dehorne (1920) la pl. 5, fig. 7 și secțiunile subțiri 27 a-g depuse în Laboratorul Geologic de la Sorbona, Paris.

Locus typicus: Dobrogea.

Stratum typicum: Jurasic superior.

Diagnoza speciei este redefinită de Hudson (1956) care prezintă și ilustrații excelente.

Spongiomorphidae

Spongiomorpha globosa Yabe & Sugiyama

(Pl. II, fig. 4-6; pl. III, fig. 1, 2, 4-6)

- 1931 *Spongiomorpha (Heptastylopsis) globosa* nov. sp. — H. Yabe & T. Sugiyama, p. 105, pl. 35, fig. 1-3.

- 1935 *Spongiomorpha (Heptastylopsis) cf. globosa*. — D. Le Maître, p. 35, pl. 4, fig. 1-3.

- 1966 *Spongiomorpha globosa*. — R. Flügel & H. Höxter, p. 112, pl. 18, fig. 1-3.

Holotypus: Yabe & Sugiyama 1931, pl. 35, fig. 1-3.

Locus typicus: Okunotaki, Tokano-mura Takaoka-gun, provincia Tosa—Japonia.

Stratum typicum: Jurasic superior — Cretacic inferior (calcarele de Torinosu).

Material: P-8861 (2 eșantioane și 2 secțiuni subțiri), P-8862 (eșantion și 2 secțiuni subțiri), P-8863 (2 secțiuni subțiri), P-8865 (secțiune subțire), P-8864 (secțiune subțire), valea Iavardi și valea Sălămaș (P-8864) — partea meridională a munților Hăgimăș.

Descriere. Cenosteum hemisferic ori incrustant de talie mare se fixează pe un substrat rigid constituit din alte organisme construcțoare (pl. II, fig. 4). Alteori coloniile prezintă o thecă ondulată din care pornesc pilierii lipsiți pe o porțiune de prelungiri laterale, astfel încit cenospațiile sunt alungite în sens vertical. În secțiune verticală pilierii radiari prezintă ingroșări nodulare care le dău un aspect zigzagat și sint frecvent uniți

prin disepimente cu dispoziție concentrică. Atunci cînd îngroșările nodulare fuzionează, dau naștere unor elemente scheletice orizontale propriu-zise (lameli tangentiale) cu extindere redusă care delimită goluri circulare (pl. II, fig. 5). În secțiune tangențială se recunosc contururile circulare sau vermiculat-alungite ale pilierilor, unite prin disepimente și freevențe structuri astrorizoide (pl. II, fig. 6). Microstructura nu se conservă, ori este foarte vagă, lăsind să se observe doar un ax median opac, discontinuu (pl. III, fig. 2).

Dimensiuni (mm)

	P-8862 55×25	P-8861 150	P-8865 ?	P-8864 cca 50	P-8863 cca 50
Mărimea cestoneumului					
Diametrul elementelor scheletice verticale	0,1-0,12	0,1-0,12	0,16 0,28	0,08-0,12	0,14-0,23
Diametrul elementelor scheletice orizontale	0,08-0,12	0,08-0,10	-0,10	0,04-0,08	0,14-0,18
Distanța între elementele verticale	0,16-0,22	0,19-0,28	0,16-0,20	0,14-0,28	0,19-0,23
Distanța între elementele orizontale	0,16-0,20	0,16-0,24	0,16-0,20	0,23-0,30	0,18-0,33
Numărul elementelor /2 mm verticale orizontale	4 rar 5 3-4	4 rar 5 3-4	5-6 6-7	5 3-4	4 4

Observație. În diagnoza speciei *globosa*, Yabe & Sugiyama (1931) se referă la elemente scheletice orizontale lamelare (horizontal plates). Examinarea figurilor 1-3 de la planșa 35 care reprezintă holotipul descris de Yabe & Sugiyama arată clar că exemplarele figurate sunt diagenizate. Materialul care ne-a stat la dispoziție, într-o stare asemănătoare de conservare, ne-a dus la concluzia că elementele orizontale sunt în realitate disepimente care prin diagenizare suferă o îngroșare determinată probabil de aglomerarea materiei organice opace de o parte și de alta a acestora (pl. III, fig. 4). Acolo unde transformarea diagenetică nu a afectat și materialul pelitic care colmatează spațiile dintre elementele scheletice, disepimentele se conservă perfect (pl. III, fig. 1). Fenomenul amintit se poate observa cu claritate chiar în aceeași secțiune subțire, îngroșarea disepimentelor și substituția calcitică având caracter gradat.

Exemplarele noastre au un număr mai mare de structuri astrorizoide decit indică diagnoza originală. Acest fapt nu are însă importanță diagnostică, freevența astrorizelor fiind legată de natura fertilă ori sterilă a rizocaulomului (Flügel & Sy, 1959).

Vîrstă. Colonile de *Spongiomorpha globosa* sunt incluse într-un calcar cenușiu de vîrstă cretacic-inferioară cu *Trocholina* sp., *Lithoco-*

dium aggregatum Elliott, *Carpathoporella fontis* (Patrulius), *Acicularia endoi* Praturlon, Glöbochaete. Colonile incrustează Chaetetidae (pl. II, fig. 4).

Răspândire. Specia *globosa* este cunoscută în calcarile de Torinosu (Jurasic superior — Cretacic inferior) din Japonia, Liasicul din Maroc, Jurasicul superior din Spania de est (Montes Universales de Albarracín și Hesperide).

Spongiomorpha asiatica Yabe & Sugiyama

(Pl. I, fig. 6; pl. II, fig. 1—3; pl. V, fig. 4)

1931 *Spongiomorpha (Heptastylopsis) asiatica* nov. sp. — H. Yabe & T. Sugiyama, p. 104, pl. 34, fig. 1—8, pl. 35, fig. 5.

1935 *Spongiomorpha (Heptastylopsis) asiatica*. — D. Le Maître, p. 33, pl. 3, fig. 1—4.

1965 *Spongiomorpha asiatica*. — A. Fanninger & H. Hötzl, p. 43, pl. 7, fig. 5.

Holotypus : ?

Locus typicus : ?

Stratum typicum : Calcarul de Torinosu Jurasic superior — Cretacic inferior din Japonia.

Material : P-8855 (eșantion și secțiune subțire), P-8856 (secțiune subțire), P-8857 (secțiune subțire), valea Iavardi (P-8855, P-8856) și valea Covaci (P-8857) — partea meridională a munților Hăgihimăș; P-8858 (secțiune subțire), sud de localitatea Bistrița — partea de NE a bazinului Transilvaniei.

Descriere. Colonii incrustante cu creștere dezordonată care în aceeași secțiune prezintă imagini deosebite ale structurii (pl. I, fig. 6). Altăori colonii globulare, mici (pl. II, fig. 3). La colonile incrustante proporția între elementele scheletice verticale și orizontale este egală, astfel că în secțiunile longitudinale se observă șiruri verticale de noduri alterninide (pl. II, fig. 2) la șiruri învecinate. În secțiunile ușor oblice, elementele verticale prezintă un desen zigzagat (pl. II, fig. 1). În secțiunile transversale apar contururi patrate sau rombice unite prin colțuri. Colțurile libere de la șirurile învecinate se prelungesc. Frequent se observă structuri astrorizoide. La colonile globulare elementele scheletice verticale sunt mai bine dezvoltate în raport cu cele orizontale. În secțiune verticală, pilierii lunghi, cu dispunere radiară sunt mai groși în partea bazală, subțindu-se treptat spre extremitatea coloniei. Elementele orizontale apar ca spini scurți ce alternează pe o parte și alta a pilierilor. Uneori două ele-

mento de la pilieri învecinați vin în contact dind naștere unei lame. Frecvențe disepimente unesc prelungirile spiniforme. Microstructura nu se conservă.

Dimensiuni (mm)

	P-8855	P-8857	P-8858	Fügcl Hötzl, 1966
Diametrul cenușteunului				
Diametrul elementelor scheletice verticale	0,05–0,1	0,1–0,2	0,12	—0,10
Intervalul între elementele verticale	0,16	0,12–0,2		
Numărul elementelor verticale/2 mm	8	5–6	8	8–12
Numărul elementelor trabeculare/2 mm	9–10	6–7	8	

Datele noastre comparate cu cele prezentate de Flügel & Hötzl (1966) pentru specia în discuție, arată că numai P-8855 și P-8858 sunt perfect comparabile, celălalt exemplar depășind valorile indicate pentru diametrul elementelor scheletice verticale. De asemenea numărul elementelor scheletice verticale/2 mm este inferior, astfel încât aceste două exemplare se apropie de *S. gibbosa* Frech. Le-am atribuit, totuși, speciei *globosa* datorită lipsei latilaminației.

Vîrstă. Cretacic inferior (în asociație cu *Lithocodium*, *Cayouxia*, *Oncolite*, *Bryozoare*, *Orbitolina* sp.).

Răspîndire. *S. asiatica* este cunoscută în Jurasicul superior — Cretacicul inferior din Japonia (calcarul de Torinosu), Liasicul din Maroc, Jurasicul superior (Tressenstein și Plassen) din Austria, Jurasicul superior din lanțul Hesperiidelor — Spania. În România a fost citată de Dragaștan (1971) din Portlandianul superior (zona cu *Clypeina jürassica*) din munții Hăgimăș.

Spongiomorpha cf. *gibbosa* Frech

(Pl. III, fig. 3; pl. V, fig. 2, 3; pl. VI, fig. 4)

1890 *Spongiomorpha (Heplatyllopsis) gibbosa* nov. sp. — F. Frech, p. 75, fig. de la p. 69, 72, 75.

1959 *Spongiomorpha gibbosa*. — E. Flügel & E. Sy, p. 39, pl. 2, fig. 1–3.
1971 *Cladocoropsis mirabilis* Felix. — A. Baltres, p. 218, pl. 1, fig. 6.

Lectotypus: Frech, 1890, fig. de la p. 72 dreapta și p. 75 sus.

Locus typicus: Hammerkogel (Gosau) — Austria.

Stratum typicum: strate de Zlambach, Rhetian (Norian?).

Material: P-8859 (2 secțiuni subțiri), valea Banului — partea meridională a munților Hăgimăș; P-8860 (2 secțiuni subțiri), sud de

localitatea Eistrița — partea de NE a bazinului Transilvaniei.

Descriere. Colonii incrustante. În secțiunile verticală se recunoaște un reticul constituit din elemente scheletice verticale și elemente orizontale mai bine dezvoltate. Elementele orizontale se caracterizează printr-un traseu zigzagat. Flügel & Sy (1959) descriu exemplare în care domină fie elementele orizontale, fie cele verticale. În secțiunile tangențiale se recunosc contururile circulare ale pilierilor și vermiculate ale elementelor orizontale. Apar de asemenea evidente discepimentele. Nu se observă structuri astrorizale. Microstructura nu se conservă.

Dimensiuni (mm)

Grosimea cenosteumului		2,6
Grosimea elementelor	orizontale	0,10—0,15
	verticale	0,08—0,15
Distanța între două elemente	verticale	0,4
	orizontale	0,12
Numărul elementelor/1 mm	verticale	—3
	orizontale	4—5

Observație. Specia *gibbosa* este foarte apropiată de *S. globosa*, Flügel & Hötzl (1966) în studiul privind Hydrozoarele jurasic — superioare din Spania, găsindu-se în situația de a opta pentru una din cele două specii au decis „... *S. gibbosa* bisher jedoch nur aus der Ober-Trias bekannt ist, können die untersuchten Kolonien der oberjurassischen Art *S. globosa* zugeordnet werden”.

Vîrstă. Pe baza asociației cu *Nipponophycus ramosus* Yabe & Toyama și *Microproblematicum* Br 1 Radocić (Baltrès, 1970) atribuim specia descrisă Jurasicului superior (P-8860).

Răspîndire. Rhetian (Norian?), strate de Zlambach — Austria; Grecia Centrală (calcare „noriene”); Timor, Triasie superior; insula Gravina în Alaska (Norian inferior). Prezența Indoieñnică a acestei specii este semnalată la Blue Mountains-Oregon, Cook Inlet — Alaska, Shasta County — California.

CHAETETIDAE

Chaetetopsis zonata Patrulius

non 1926 *Pseudostromatopora rumana* n.g.n.sp. — I. Simionescu p. 105, fig. 4—6
non 1928 *Pseudostromatopora rumana* Simionescu. — I. Simionescu p. 28, fig. 26

1940 *Pseudostromatopora rumana* Simionescu. — I. Simionescu p. 357, fig. 1, 2, pl. 1, fig. 1—3, non pl. 3, fig. 1

- 1943 *Pseudostromatopora rumana* Sim. — I. Simionescu, p. 22, pl. 4, fig. 6
 1953 *Solenopora rumana* Sim. — M. Flipescu, p. 179, fig. 1—3
 1959 *Chaetetopsis zonata* Patrulius. — G. Murgeanu & al., p. 9
 1960 *Chaetetopsis zonata* Patrulius. — D. Patrulius, p. 147
 1961 *Chaetetopsis zonata* Patrulius. — G. Murgeanu & al., p. 170
 1962 *Chaetetopsis zonata* Patrulius. — D. Patrulius & M. Tocorjescu, p. 122
 1964 *Chaetetopsis zonata* Patrulius. — Gr. Popescu & D. Patrulius, p. 86
 1965 *Chaetetopsis zonata* Patrulius. — D. Patrulius, p. 26, pl. I—III, IV, fig. 1
 1967 *Chaeteles rumanus*⁴ (Simionescu). — O. Dragastan, p. 515
 1968 *Solenopora rumana* Sim. — V. Mihai, p. 52
 1969 *Chaetetopsis zonata* Patrulius. — M. Săndulescu, p. 245
 1970a *Chaetetopsis zonata* Patrulius. — A. Baltres, p. 220, pl. II, fig. 9, 10, în Colecția Institutului Geologic nr. P—8867
 1971b *Chaetetopsis rumanus* (Simionescu). — O. Dragastan, p. 160
Holotypus (aici desemnat): exemplarul figurat de Simionescu (1940) la pl. I, fig. 1—3, non pl. III, fig. 1.
Locus typicus: Cernavodă—Dobrogea de sud.
Stratum typicum: Cretacic inferior.

Deși Simionescu (1940) descrie pentru prima oară această specie sub numele de *Pseudostromatopora rumana*, numele acesta nu poate fi păstrat deoarece determinarea cade sub incidența articolului 49 din Codul internațional de nomenclatură zoologică (1961). Este vorba de determinarea sigur eronată de către Simionescu a exemplarului descris în 1940 pe care l-a atribuit unei specii create de el în 1926. Conform articolului 49, denumirea specifică *rumana* nu poate fi conservată deși *Pseudostromatopora* determinată în 1926 este o algă solenoporacee, iar cea din 1940 un chaetetid.

Chaetetopsis krimholzi Iavorski

(Pl. VII, fig. 3)

- 1961 *Chaetetopsis krimholzi*. — F. Bachmayer & E. Flügel, p. 155, 169, pl. 20, fig. 1, pl. 22, fig. 3

Lectotypus: Iavorski, pl. 11, fig. 1—5.

Locus typicus: Kassaily-Enisarai, Turcmenia.

Stratum typicum: Tithonie.

Descriere. Colonii constituite din tuburi paralele sau divergente cu grosime foarte constantă. Diametrul tuburilor se situează la limita

⁴ *Chaeteles roumans* in text, evident greșală de tipar.

inferioară indicată de Bachmayer & Flügel (1961) pentru această specie. Diafragmele drepte sau concave se dispun în nivele paralele. Pereții prezintă frecvente îngroșări secundare. Microstructura nu se recunoaște. *C. krimholzi* se deosebește de *C. crinita* prin diametrul mai mic al tuburilor.

Dimensiuni (mm)

	exemplarul examinat	Tavorskij 1947	Bachmayer & Flügel, 1961
Diametrul tuburilor	0,10—0,12	0,13—0,20 max. 0,24	
Lungimea tuburilor	4,5	0,30—2,30	0,40—1
Distanța între diafragme	1,5		{ 1,5 0,42—1,04
Grosimea diafrag- melor	0,01—0,015	0,25—2 0,017—0,25	0,04—0,08
Grosimea pereților tuburilor	0,045	0,06—0,07	0,06—0,12

Vîrstă. Cretacic inferior.

Răspândire. Tithonicul din Crimeea — U.R.S.S.; Stramberg — Cchoslovacia; Ernstbrunn — Austria.

Chaetetopsis crinita Neumayr

(Pl. VII, fig. 1, 2)

1929 *Chaetetopsis crinita*. — E. Peterhans, p. 81, pl. 8

1961 *Chaetetopsis crinita*. — F. Bachmayer & E. Flügel, p. 168, pl. 21,
fig. 3, pl. 22, fig. 2, 4

Neotypus: *Monotrypa limitata* Deninger, 1906.

Locus typicus: Capri — Italia.

Stratum typicum: Tithonic.

Material: P-8868 (esantion și secțiune subțire), P-8869 (secțiune subțire), valea Covaci, resp. valea Sălămaș — partea meridională a munților Hăgimaș.

Descriere. Tuburi lungi traversate de rare diafragme drepte sau curbată, dispuse neregulat, uncori cu tendință de a constitui nivele discontinui. Eșantionul P-8868 prezintă o dezvoltare concentrică, diafragme drepte sau concave rare și discontinue. Tuburile au secțiune ovală. Pseudoseptele sunt rare. Microstructura cu ax median. Eșantionul P-8869 cuprinde o colonie cu creștere neregulată, lipsită de diafragme. Secțiunea tuburilor este ovală sau poligonală.

Dimensiuni (mm)

	P — 8868	P — 8869	Peterhans 1929	Bachmayer & Flügel, 1961
Diametrul tuburilor	0,15—0,20	0,15—0,20	0,22—0,40	{ 0,15—0,35 0,25 și >
Lungimea tuburilor	1,2—3,5	2	0,24—1,4	3
Grosimea peretilor	0,08	0,04—0,08	0,08—0,12	0,10; 0,15

Vîrstă. Cretacic inferior. *C. erinita* apare în asociatie cu *Choffatella* sp., *Neotrocholina* sp., *Orbitolina* sp., *Dictyoconus* sp., *Lithocodium aggregatum* Elliott, *Bacinella irregularis* Radocić, *Pianella* sp.

Răspândire. Jurasic superior — Cretacic inferior (calcarele de Torinosu) din Japonia, Tithonicul din insula Capri, Baunei (Sardinia), Sequanianul din Crimeea — U.R.S.S., Ernstbrunn — Austria.

Baunei multitalbulata (Deninger)

(Pl. VII, fig. 4)

1929. *Baunei multitalbulata*. — E. Peterhans, p. 1251961 *Baunei multitalbulata*. — F. Bachmayer & E. Flügel, p. 151, 168, pl. 19, fig. 1, 2, 4, pl. 22, fig. 1, pl. 26.*Holotypus*: Deninger, 1906.*Locus typicus*: Baunei, Sardinia de sud.*Stratum typicum*: Tithonic.

Material: P-8866 (eșantion și secțiune subțire), valea Iavardi — partea meridională a munților Hăgimaș.

Descriere. Colonii incrustante cu dezvoltare dezordonată. Tuburi paralele sau în fascicole drepte sau ușor curbată, traversate de diafragme drepte, fine, aliniate la intervale regulate. În secțiune transversală lumenul celulelor este poligonal sau rotunjit. Microstructura penată.

Dimensiuni (mm)

	P — 8866	Peterhans 1929	Bachmayer & Flügel, 1961
Diametrul tuburilor	0,10—0,20	0,16—0,20	{ 0,15—0,20 0,10—0,20 (0,14)
Grosimea peretilor	0,06—0,08 (0,24)	0,04—0,08	{ 0,04—0,08 0,08—0,15—0,26 0,04—0,06—0,1



Secțiunea tuburilor	poligonală rotunjită	pentagonală rotunjită
31		
Lungimea tuburilor	3,3	$\begin{cases} 4,5-10 \\ 1,20-2,60; \\ 0,40-1,20 \end{cases}$
Grosimea diafragmelor	0,02	$\begin{cases} 0,04-0,06 \\ 0,03-0,06 \end{cases}$
Distanța între nivele de diafragme	1,5-2	$\begin{cases} 1,5-2; 1-1,5; \\ 1-1,5 \end{cases}$
	0,12-0,70	

Vîrstă. Cretacic inferior.

Răspîndire. Jurasicul superior din Sardinia, Italia, Elveția, Capri, Croația, Cehoslovacia, Crimeea; Jurasicul mediu din Elveția.

BIBLIOGRAFIE

- Bachmayer F., Flügel E. (1961) Die Hydrozoen aus dem Oberjura von Ernstbrunn (Niederösterreich) und Stramberg (C.S.R.). *Palaeontographica* 116 A, 122-143, Stuttgart.
- Baltres A. (1970 a) Asupra constituției conglomeratelor tortoniene și sarmatiene din partea de NE a bazinului Transilvaniei. *D.S. Inst. Geol. I.V.*, 215-226, București.
- (1970 b) Notă asupra unui nou „Chaetetid”, *Adaequoparietes schnorae* gen nov. spec. nov. *D.S. Inst. Geol. I.VI.*, 25-28, București.
- Bârbulescu A. (1965) Asupra prezenței Chaetetidelor în Jurasicul din Dobrogea (notă preliminară). *An. Univ. București Sl. Nat. Geol. Geogr.* XIV/2, 85-91, București.
- Bordea S. (1972) Date noi stratigrafice și tectonice în zona Grohot-Tomnatec (Munții Metaliferi). *D.S. Inst. Geol. LVIII/5*, 5-23, București.
- Celei P. (1962) Contribution à l'étude géologique du Parnasse-Kiona et d'une partie des régions méridionales de la Grèce continentale. *Ann. Pays Helleniques* 1/13, 446 p., Atena.
- Codareca Al., Răileanu Gr. (1960) Mezozoicul din Carpații Meridionali. *St. cerc. geol.* V/4, 591-611, București.
- Răileanu Gr., Pavelescu L., Gherasim N., Năstaseanu S., Bercea I., Mercus D. (1961) Privire generală asupra structurii geologice a Carpaților Meridionali dintre Dunăre și Olt. *Asoc. geol. carpato-balc.*, congr. V, C-Carpații Meridionali 126 p., București.
- Marinescu F.I., Patrulius D. (1962) Date noi cu privire la calcarale mezozoice de la Gura Vâii, Podișul Mehedinți. *Com. Acad. R.P.R.* XII/4, 457-465, București.
- Dechotne Y. (1918) Sur les analogies de la forme branchue chez les Polypiers constructeurs de récifs actuels avec celle des Stromatopores des terrains secondaires. *C.R. Acad. Sci. Paris*, 166, 219-222, Paris (non vid).
- (1920) Les Stromatoporoidés des terrains secondaires. *Mém. Carte géol. France*, 170 n. Paris.

- (1923) Stromatoporoides jurassiques du Portugal. *Com. Serv. Geol. Portugal*, 13, 12–21, Paris (non vid).
- Dragăstan O. (1967) Algues calcaires du Mésozoïque de Roumanie et leur importance stratigraphique. *Assoc. Géol. Carpatho-Balkanique, Congr.* VIII, 509–517, Belgrad.
- (1971 a) Microfaciesurile Jurasicului superior și Cretacicului inferior din bazinul văii Bicazului (Carpații Orientali). Rezumatul tezel de doctorat, 54 p, București.
- (1971 b) New Algae in the Upper Jurassic and Lower Cretaceous in the Bicaz valley East Carpathians (Romania). *Rev. Span. de Micropal.* 3/2, 155–192, Madrid.
- Fepplinger A., Hötzl H. (1965) Die Hydrozoa und Tabulozoa der Tressenstein- und Plassenkalke (Ober-Jura). *Mitt. Mus. Bergb. Geol. Technik*, 27, 61 p, Graz.
- Filipescu M. G. (1952) Poziția stratigrafică și tectonică a calcarilor de la baza conglomeratelor de Zăganu. *Rev. Univ. C. I. Parhon*, 2, 177–183, București.
- Fish W. (1924) Beiträge zur Geologie des Bihorgebirges. *Jahrb. Phil. Fak. JI Univ. Bern*, IV, 114–135, Berna.
- Flügel E. (1969) Hydrozoen mit circumlamellarer Mikrostruktur aus den Gosau-Schichten (Senon) des Gosau-Beckens (Oberösterreich/Salzburg). *Verh. Geol. Bundesanst.* 2, 126–132, Viena.
- Sy E. (1959) Die Hydrozoen der Trias. *N. Jb. Geol. Paläont.*, Abb. 109/1, 1–108, Stuttgart.
- Hötzl H. (1966) Hydrozoen aus dem Ober-Jura der Hesperischen Ketten (Ost-Spanien). *N. Jb. Geol. Paläont. Abb.*, 124/2, 103–117, Stuttgart.
- Frech F. (1890) Die Korallenfauna der Trias. I Die Korallen der juvavischen Triasprovinz. *Palaeontographica* 37/1, 1–116, Stuttgart.
- Hudson R. G. S. (1956) Tethyan Jurassic Hydroids of the Family Milloporidae. *Jour. Paleont.*, 30/3, 714–730, S.U.A.
- Ianovici V., Giuşcă D., Ghitulescu T., Borcoş M., Lupu M., Bleahu M., Savu H. (1969) Evoluția geologică a munților Metaliferi. Ed. Acad. 741 p, București.
- Jekelius E. (1936) Der weisse Trilaskalk von Brașov und seine Fauna. *An. Inst. Geol.* XVII, 1–106, București.
- Kühn O. (1927) Zur Systematik und Nomenklatur der Stromatoporen. *Centralblatt Min. Pat. Geol.*, Abt. B, 12, 546–551, Stuttgart.
- (1928) Hydrozoa: Fossiliium Catalogus I Animalia pt. 36, 2, *Mesozoicum*, 76–94, Berlin.
- (1936) Die Anthozoen, Hydrozoen, Tabulaten und Bryozoen der Trias von Brașov. *An. Inst. Geol. Rom.* 17, 109–132, București.
- Lecompte M. (1952) Revision des stromatoporoides mésozoïques des collections Dehorne et Steiner. *Bull. Inst. Roy. Sci. Nat. Belg.* 28/53–39 p, Bruxell.
- Le Maître D. (1935) Description des Spongiomorphides et des Algues. *Notes et Mém.* 34, 19–58, Rabat.
- Mihajlović M. (1956) Étude stratigraphique et paléontologique des Ellipsactinies de Durmitor et de Sinjajevina (RP de Montenegro). *Bull. Mus. Hist. Nat. Pays Serbe*, A, 7/3, 171–188, Belgrad.
- (1959) Les calcaires aux Ellipsactinies de Serbie. *Bull. Mus. Hist. Nat.*, A, 12, 51–68, Belgrad.
- Murgeanu G., Patrullus D., Contescu L. (1959) Flisol cretacic din bazinul văii Trilungului. *St. cerc. geol.* IV/1, 7–24, București.

- Filipescu M. (1961) Privire generală asupra filişului cretacic de la curbura Carpaṭilor. *Asoc. geol. carpato-balcan. congr.* V, B — Carpaṭii Orientali 101 p, Bucureşti.
- Patrulius D., Contescu L., Jipa D. (1961) Le flysch Crétacé de la partie méridionale des monts Baraolt, *Rev. Geol. Geogr.* V/2, 161—175, Bucureşti.
- Mutihac V. (1968) Structura geologică a compartimentului nordic din sinclinalul marginal extern (Carpaṭii Orientali). Ed. Acad. 127 p, Bucureşti.
- Patrulius D. (1956). Contribuṭiuni la studiul geologic al Pădurii Craiului. *D.S. Inst. Geol.* XL, 116—127, Bucureşti.
- (1960 a) Le couverture mésozoïque des massifs cristallins des Carpates Orientales. *Ann. Inst. Géol. Hongrie* XLIX/1, 123—152, Budapest.
- (1960 b) Le Mésozoïque du Massif moesian dans le cadre de la Plaine roumaine et de la Dobrogea centrale et méridionale. *Ann. Inst. Géol. Hongrie* XLIX/1, 187—198, Budapest.
- (1965) Notă asupra a două specii de Chaetetopsis din calcaroile urgoniene: Chaetetopsis zonata Patrulius și Chaetetopsis favrei (Deninger). *D.S. Inst. Geol.* LI/2, 25—29, Bucureşti.
- (1969) Geologia masivului Bucegi și a culoarului Dimbovicioara. Ed. Acad. 321 p, Bucureşti.
- Dimitrescu R., Gherasi N. (1968). Harta geologică sc. 1 : 200.000 L—35—XX, 20 — Brașov, Bucureşti.
- Tocorjeșcu M. (1962) Studiu stratigrafic al depozitelor neogene, cretacice și neojurasicice străbătute de forajul de la Atărnați (Cîmpia Română). *D.S. Inst. Geol.* XLVII, 117—130, Bucureşti.
- Peterhans E. (1895) Les Chaetétides du Lias et du Dogger, *Ecl. geol. Helvet* 22, 113—131, Basel.
- Pompecky P. (1897) Paleontologische und stratigraphische Notizen aus Anatolien. *Zeitschr. deutsch. geol. Ges.*, 1, Stuttgart (non vid).
- Popescu Gr., Patrulius D. (1964). Stratigrafia Cretacelui și a klipelor exotice din Răiău (Carpaṭii Orientali). *An. Inst. Geol.* XXXIV, 2, 73—130, Bucureşti.
- Răileanu Gr., Patrulius D., Bleahu M., Năstăseanu S. (1968) Aspects fondamentaux de la géologie du mésozoïque de Roumanie. *An. Com. d'Etat Géol.* XXXVI, 85—115, Bucureşti.
- Săndulescu M. (1969) Structura geologică a părții centrale a sinclinalului Hăgħimăš. *D.S. Com. Stat. Geol.* LIV/3, 227—253, Bucureşti.
- Schnoor A. (1960) Les Actinostromaria des marnes valanginiennes d'Arzlet. *Ecl. geol. Helv.* 53/2, 733—746, Berna.
- (1960) Quelques Hydrozoaires du Sénonien de Martigues (Bouches-du-Rhône). *Ecl. geol. Helv.* 53/1, 427—437, Berna.
- Simionescu I. (1911) Jurasicul de la Cărjală (Dobrogea). *An. Inst. Geol. Rom.* IV, 157—162, Bucureşti.
- (1926) Sur quelques fossiles rares dans le Trias et le Crétacé inférieur de Roumanie. *Bull. Sect. Sci. Acad. Roum.*, X-eme Année, 4—5, 102—109, Bucureşti.
- (1928) Introducere în paleontologie. Ed. Casa Ţăoalelor 170 p, Bucureşti.
- (1940) Sur quelques Algues mésozoïques de Roumanie. *Bull. Sect. Sci. Acad. Roum.* XXII/8, 357—364, Bucureşti.

- Barbu V. I. (1943) Palaeontologia Romaniei. Ed. Cartea Romaneasca 120 p, Bucuresti.
- Steiner A. (1932) Contribution à l'étude des Stromatopores secondaires. *Bull. Lab. Géol. Géogr. phys. Min. Pat. Univ. Lausanne* 50, 221 p, Lausanne.
- Turnsek D. (1966) Upper Jurassic Fauna from Southern Slovenia. *Razprave Slov. akad. znan. umet. IV razr.*, 9, 394-428, Ljubljana.
- (1969) Upper Jurassic Hydrozoan Reef Systems in Slovenia (NW Yugoslavia), text prescurtat al lucrarii A Contribution to the Paleoecology of Jurassic Hydrozoa from Slovenia. Ljubljana.
- Bărbulescu A. (1969) Upper Jurassic Hydrozoa in Central Dobrogea (Romania). *Razprave* 12, 73-84, Ljubljana.
- Veselinovic D. (1963) La biostratigraphie du faciès récifal du Jurassique supérieur dans la zone Carpato-Balkanique et la parallèle avec la zone dinarique intérieure (Serbie). *Assoc. géol. Carpato-Balkanique Vème Congrès*, III/2, 295/306, Bucuresti.
- Yabe H., Sugiyama T. (1931) On some Spongimorphid Corals from the Jurassic of Japan. *Sci. Rep. Tohoku Univ.* 2, 14, 103-105, Tokio.
- Sugiyama T. (1935) Jurassic Stromatoporoids from Japan. *Sci. Rep. Tohoku Imp. Univ.*, 2, 14, 135-192, Tokio.
- Zaffardini-Comerio R. (1932) Corallari e idrozoai del Giurassico della Somalia. *Paleont. Italica* 32, 49-76, Siena.
- (1961) International Code of Zoological Nomenclature adopted by the XV International Congress of Zoology, London, July 1958, 176 p., Londra.

INVENTAIRE DES HYDROZOAires ET DES CHAETETIDÉS DE ROUMANIE

(Résumé)

La première partie de l'ouvrage présente un inventaire des Hydrozoaires et des Chaetétidés connus en Roumanie. Dans la seconde partie de l'ouvrage sont décrites des espèces provenant des calcaires remaniés dans le Wildflysch situé à la partie méridionale des Monts Haighimas et dans les conglomérats tortoniens et sarmatiens situés à la partie NE du bassin de Transylvanie dont nous mentionnons : *Millepora marlenae* nov. sp. et probablement une nouvelle espèce du genre *Ellipsactinia*.

En Roumanie apparaissent des Hydrozoaires revenant à huit familles :

Actionstromariidae: *Actinostromaria tokadiensis* (Yabe & Sugiyama); *A. lugonii* Dehorne; *A. jeanneti* Steiner; *A. zonata* Turnsek; *A. sp.*; *Actinostromurina dehorneae* Lecompte; *Desmopora listrigonorum* Lavoraski, *Actinostromarinina?* cf. beauvaisi Flügel.

Sphaeractiniidae: *Sphaeractinia diceratina* Steinmann; *Ellipsactinia caprense*E. sp.; *E. sp. nov. sp.?*

Sporadoporidae: *Tubutiella rotundata* Turnsek; *T. sp.*

Milleporellidae: *Millepora marlenae* nov. sp.

Milleporidiidae: *Milleporidium remesi* Steinmann; *M. sp.*; *Steineria romanica* (Dehorne); *Shugraia hegbuecki* Hudson.

Parastromatoporidae: *Parastromatopora* sp.; *Cladocoropsis mirobilis* Félix; *Cretacica* Turnšek; *C. cf. cretacica* Turnšek; *Hudsonella dohogensis* Turnšek & Bărbulescu.

Burgundiidae: *Burgundia* (?) sp.

Spongiomorphidae: *Spongiomorpha globosa* Yabe & Sugiyama; *S. aff. globosa* Yabe & Sugiyama; *S. asiatica* Yabe & Sugiyama; *S. dendroidea* Kühn; *S. globoides* Popescu & Patruilius; *S. cf. gibbosa* Frech; *S. sp.*; *Stromatomorpha* cf. *stylifera* Frech.

Les Chaetellidés sont représentés par neuf espèces: *Chaetopsis zonata* Patruilius; *C. faurei* (Deninger); *C. krimholzi* Iavorski; *C. erinila* Neumayr; *C. sp.*; *Chaeteles* sp.; *Blastochaetes capilliformis* (Michelin); *Bauneia multitalabata* (Deninger); *Adequoparietes schnorfiae* Baltres.

La position systématique de *Lovencipora dohogiae* Simionescu du Crétacé inférieur de la Dobrogea est incertaine.

L'examen de la liste des faunes à Hydrozoaires de Roumanie montre que c'est d'ici que provient le plus ancien Hydrozoaire mésozoïque connu, notamment: *Spongiomorpha dendroidea* Kühn — Ladinien. On remarque par ailleurs la fréquence toute particulière des Spongiomorphidés.

Description sommaire de quelques espèces de Hydrozoaires et de Chaetellidae identifiées par l'auteur⁵.

HYDROZOAires

Actinostromariidae

Actinostromaria lugonii Dehorne (pl. I, fig. 1, 2). Colonie encroûtante à large extension horizontale. Coenosteum lamellaire, mamelonné. Éléments squelettiques verticaux robustes, discontinus (0,12—0,16 mm diamètre). Éléments squelettiques horizontaux délicats et courts (0,08—0,1 mm diamètre) réunissant deux éléments verticaux voisins. En coupe transversales les éléments verticaux apparaissent comme les nœuds d'un réseau en zigzag constitué d'éléments horizontaux. Astrorhizes bien développées (3,5—5 mm diamètre), parfois à ramifications compliquées, fréquemment superposées. Microstructure orthogonale bien conservée.

Autres valeurs: nombre d'éléments verticaux/2 mm = 7—8; distance entre les éléments horizontaux = 0,1—0,4 mm; diamètre des coenospaces = 0,16 mm; distance entre les centres des astrorhizes = 5—10 mm. Âge crétacé inférieur.

Actinostromaria jeanneti Steiner (Pl. V, fig. 1, 5; Pl. VI, fig. 5). Squelette réticulé constitué d'éléments verticaux longs, parallèles, bien développés (0,08 mm diamètre). Éléments transversaux subordonnés (0,06—0,08 mm diamètre), en forme d'épines, rarement reliant deux ou plusieurs piliers. En coupe tangentielle apparaissent les ramifications des astrorhizes courtes, simples, deux caractères de l'espèce *jeanneti*. Microstructure orthogonale. Autres valeurs: nombre des éléments verticaux/2 mm = 9—10; nombre des éléments transversaux/2 mm = 10—17. Âge crétacé inférieur.

Desmopora tistrigonorum Iavorski (pl. VI, fig. 2, 3). Coenosteum ombelliforme, latilaminé. Éléments verticaux lamellaires (0,04 mm, rarement 0,08 mm diamètres) réunis deux par deux par des prolongements squelettiques en forme d'épines. Le coenosteum montre deux types de tubes: radiaires (0,15—0,20 mm diamètre) sans tabulae et des gerbes de tubes axiaux

⁵ Le matériel se trouve en dépôts dans la collection de l'Institut Géologique de Bucarest.

épais (0,25–0,33 mm diamètre) tabulés. En coupe tangentielle apparaît un réseau à mailles polygonales, généralement de type fermé. Microstructure orthogonale. Âge portlandien.

Actinostromaria ninae beauvoisi Flügel (pl. VII, fig. 5, 6).

Une coupe longitudinale à travers le réseau périphérique montre des éléments squelettiques courts et des éléments tangentiels bien développés. Galeries ovales, rondes ou irrégulières, fréquemment coalescentes, parfois à dissépiments. Microstructure circumlamellaire. Les éléments radiaires laissent voir un axe calcifié clair.

Dimensions en mm : épaisseur des éléments verticaux 0,1–0,2 ; épaisseur des éléments horizontaux 0,12–0,28 ; nombre des éléments verticaux/2 mm 2–4 ; nombre des éléments horizontaux/2 mm 4–5. Âge non-précisé.

Sphaeractiniidae

Ellipsactinia caprense Canavari (pl. IV, fig. 1–3). Les caractères des exemplaires examinés correspondent à la description donnée par Bachmayer & Flügel (1961). Le cénostatum est constitué d'une zone centrale et d'une zone périphérique. Les éléments squelettiques horizontaux lamellaires (0,3–0,65 mm diamètre) concentriques du hypocénostéum sont constitués d'une zone centrale opaque, montrant un réseau ouvert. De part et d'autre du réseau opaque on distingue une coquille fibreuse ochroléique constituée de cristaux de calcite. Les éléments squelettiques lamellaires (0,16–0,32 mm d'épaisseur) du péricoenosteum se distinguent de ceux décrits précédemment, leur zone centrale étant marquée d'une lame sombre, fine. Les interspaces souvent continus, compris entre deux éléments horizontaux, se réunissent par des tubes radiaires à disposition irrégulière qui traversent 2–3 lamelles voisines.

Autres valeurs : hauteur des cénospaces = 1,10–0,24 dans l'hypocoenosteum ; 0,04–0,08 dans le péricoenosteum ; diamètre des tubes radiaires = 0,06–0,24 ; nombre des éléments horizontaux/5 mm = 4–5 dans l'hypocoenosteum ; 5–6 dans le péricoenosteum. On n'a pas pu préciser son âge.

Ellipsudinia sp. nov. sp.? (pl. IV, fig. 4, 5). Colonie réniforme-conforte, montrant parfois des protubérances, sans hypocoenosteum. En coupes verticales on reconnaît les éléments horizontaux concentriques (épais de 0,35 à 0,50 mm) avec une lame centrale opaque (0,10–0,16 mm d'épaisseur) entourée de calcite fibreuse ochroléique. Les interspaces concentriques très réduits, discontinus, peu hauts (0,08–0,16 mm) sont colmatés de calcite sparistique. Parfois les interspaces sont absents, les éléments horizontaux prenant directement contact entre eux. En coupe tangentielle l'image des éléments horizontaux est parallèle à celle d'en coupe verticale. De nombreuses coupes transversales circulaires s'observent à travers les tubes radiaires (0,25–0,30 mm diamètre).

Autres valeurs : nombre des éléments horizontaux/5 mm 8–10. Âge non-précisé.

Sporadoporidiidae

Tubuliella rotundata Turnsek (pl. IV, fig. 6, 7). Cénosteum constitué d'éléments s'horizontaux à grands pores, entourés de fibres radiales orthogonales. Les éléments squelettiques séparent des tubes radiaires épais, tabulés, munis de canaux latéraux.

Dimensions (en mm) : diamètre des tubes larges = 0,5–0,65 ; épaisseur des parois poreux = 0,08–0,24. Les dimensions de notre exemplaire sont inférieures à celles indiquées

par Turnsek (1966). Néanmoins l'auteur mentionne qu'elle a créé le genre fondée uniquement sur un seul exemplaire, si bien que des variations des dimensions ne sont pas exclues. Âge crétacé inférieur?

Milleporellidae

Milleporella marlenae nov. sp. (Pl. I, fig. 3-5).

Holotype: P-8853 (coupe mince), Pl. I, fig. 3-5.

Locus typicus: vallée Covaci — partie méridionale des Monts Hăgimăș.

Stratum typicum: Crétacé inférieur.

Diagnose: cénostème nodulaire de petite taille, étroit à la base. Réticul squelettique constitué d'éléments verticaux réguliers, allongés, réunis à certains niveaux, par des éléments horizontaux. En coupe tangentielle apparaît un réseau régulier, de type fermé, à mailles polygonales, accusant une tendance de constituer des rangées parallèles de polygons accolés. La présence des astrotriches est probable.

Description. Éléments verticaux lamellaires, fins, allongés, séparant des tubes à section polygonale. Les éléments transversaux continus, traversant sans interruption les tubes, mettent en évidence la structure concentrique du cénostème. La présence de certains tubes bifurqués à grand diamètre qui dérangent l'uniformité du réseau porte à supposer l'existence des astro-systèmes. On ne reconnaît point de microstructure.

Dimensions (en mm): cénostème = 17 × 14; diamètre des éléments squelettiques = 0,01-0,15; diamètre des tubes coénostcales = 0,015-0,045 (ordinairement = 0,03); nombre des éléments verticaux/2 mm = 62-70; diamètre des astrotubes? = 0,06.

La nouvelle espèce approche de *Milleporella reticulata* (Hätzl) dont elle se distingue par les dimensions des éléments squelettiques qui sont de deux à quatre fois moins gros. Âge crétacé inférieur.

Milleporididae

Milleporidium sp. (pl. VI, fig. 1). Nous avons eu à notre disposition des coupes longitudinales effectuées dans une colonie encroûtante dont l'aspect est caractéristique au genre *Milleporidium*. Les tubes cénostéales dimorphiques traversés par de nombreuses tabulae se bifurquent ou s'anastomosent. La microstructure bien conservée est de type clinogonal. Âge non-précisé.

Spongiomorphidae

Spongiamorpha globosa Yabe & Sugiyama (pl. II, fig. 4-6; pl. III, fig. 1, 2, 4-6). Cénostème hémisphérique ou encroûtant de grande taille fixé sur un substratum rigide constitué d'autres organismes constructeurs. Parfois les colonies présentent une thèque ondulée d'où naissent les piliers, partiellement dépourvus de prolongements. En coupe verticale, les piliers radiaires qui présentent un contour en zigzag sont fréquemment réunis par des dissépiments concentriques. La fusion des prolongements engendre des éléments horizontaux proprement-dits réduits qui limitent des cavités circulaires. En coupe tangentielle on reconnaît de fréquentes astrotriches et les contours circulaires ou vermiculés-allongés des piliers réunis par des dissépiments. Microstructure non-conservée.

Dimensions (en mm) (exemplaire P-862; en ce qui concerne les autres exemplaires voir tableau page 22): dimensions du cénostème = 55 × 25; diamètre des éléments verticaux =

— 0,10—0,12; diamètre des éléments horizontaux = 0,08—0,12; espaces entre les éléments verticaux = 0,16—0,22; espace entre les éléments horizontaux = 0,16—0,20; nombre des éléments verticaux/2 mm = 4 rarement 5; nombre des éléments horizontaux/2 mm = 3—4.

Remarques: Yabe & Sugiyama (1931) donnent le nom de „horizontal plates“ aux éléments horizontaux lamellaires. Il s'agit en réalité des dissépiments affectés par des phénomènes de diagenèse qui ont subi un épaisseissement, de part et d'autre, formé de matière organique opaque (pl. III, fig. 4). Si le matériel pélitique qui a colmaté les espaces interlaminaires a été épargné par la diagenèse, les dissépiments ont été parfaitement conservés (pl. III, fig. 1). Âge crétacé inférieur.

Spongiomorpha asiatica Yabe & Sugiyama (pl. I, fig. 8; pl. II, fig. 1—3; pl. V, fig. 4). Colonie encroûtante à développement irrégulier qui dans une même coupe laisse voir des images différentes de la structure (pl. I, fig. 6). Apparaît parfois sous forme de colonies globuleuses de faibles dimensions (pl. II, fig. 3). Dans les colonies encroûtantes la proportion entre les éléments horizontaux et verticaux est égale. Les coupes longitudinales montrent des rangées verticales de noeuds placés alternativement par rapport à ceux des rangées voisines (pl. II, fig. 2). Les coupes faiblement oblique montrent des trabécules en zigzag (pl. II, fig. 1). Les coupes transversales laissent voir des contours carrés ou en losange réunis aux coins. Aux coins libres des rangées voisines apparaissent des prolongements. Structures astrorhizoides fréquentes. Les colonies globuluses montrent des éléments verticaux mieux développés que ceux horizontaux. Leurs piliers longs, radiaires, sont plus gros à la partie basale et s'éfilent progressivement vers la périphérie de la colonie. Les éléments horizontaux sous forme d'épines réduites alternent de part et d'autre des piliers. De fréquents dissépiments réunissent les épines. Microstructure pas conservée.

Dimensions (en mm) (exemplaire P-8855; quant aux autres exemplaires voir tableau p. 24—25): diamètre des éléments verticaux = 0,05—0,1; espaces entre deux éléments verticaux = 0,16; nombre des éléments verticaux/2 mm = 8; nombre des éléments horizontaux/2 mm = 9—10. Âge crétacé inférieur.

Spongiomorpha cf. gibbosa Frech (pl. III, fig. 3; pl. V, fig. 2, 3; pl. VI, fig. 4). Colonie encroûtante. En coupe verticale apparaît un réseau formé d'éléments squelettiques verticaux et horizontaux bien développés. Éléments horizontaux en zigzag. En coupe tangentielle apparaissent les contours circulaires des piliers et vermiculés des éléments horizontaux. Dissépiments également évidents. Point de structures astrorhizoides. Microstructure non conservée.

Dimensions (en mm): épaisseur du canastéum = 2,6; épaisseur des éléments verticaux = 0,08—0,15; épaisseur des éléments horizontaux 0,10—0,15; entre deux éléments verticaux 0,4. Espace entre deux éléments horizontaux = 0,12; nombre des éléments verticaux/1 mm = 3; nombre des éléments horizontaux/1 mm = 4—5. Âge jurassique supérieur (P-8860).

Chaetetidae

Chaetetopsis krimholzii Lavovski (pl. VII, fig. 3). Colonie constituée de tubes parallèles ou divergents, d'épaisseur très constante. La valeur du diamètre des tubes se situe à la limite inférieure indiquée par Bachmayer & Flügel (1961) pour cette espèce. Diaphragmes droits ou concaves ordonnés en niveaux parallèles. Les parois présentent fréquemment des épaisseissements secondaires. On ne reconnaît point de microstructure.

Dimensions (en mm): diamètre des tubes = 0,10—0,12; longueur des tubes = 4,5; distance entre les diaphragmes = 1,5; épaisseur des diaphragmes = 0,01—0,015; épaisseur des parois des tubes = 0,045. Âge crétacé inférieur.

Chaetelopsis crinita Neumann (pl. VII, fig. 1, 2). Tubes longs traversés par de rares diaphragmes droits ou incurvés, irréguliers, accusant parfois une tendance à constituer des niveaux discontinue. P-8868 présente un développement concentrique, de rares diaphragmes droits ou concaves, discontinue, des tubes en section ovale, de rares pseudoscopites et une microstructure avec un axe central; P-8869 représente une colonie développée irrégulièrement, sans diaphragmes. Section des tubes ovale ou polygonale.

Dimensions (en mm) : (P-8868 ; en ce qui concerne P-8869 voir tableau p. 29) : diamètre des tubes = 0,15-0,30 ; longueur des tubes = 1,2-3,5 ; épaisseur des parois = 0,08. Âge crétacé inférieur.

Baumia multilobulata (Denniger) (pl. VII, fig. 4). Colonie encroûtante développée irrégulièrement. Tubes parallèles ou en gerbes droites ou légèrement courbées, traversées de diaphragmes droits, fins, alignés à des intervalles égaux. En coupe transversale le lumen des tubes est polygonal ou arrondi. Microstructure pennée.

Dimensions (en mm) : diamètre des tubes = 0,10-0,20 ; épaisseur des parois = 0,06-0,08 (max. 0,24) ; section des tubes = polygonale arrondie ; longueur des tubes = 3,8 ; épaisseur des diaphragmes = 0,02 ; espaces entre les diaphragmes = 1,5-2. Âge crétacé inférieur.



PLANSĂ I



Institutul Geologic al României

PLANŞA I

Fig. 1, 2. — *Actinostromaria lugonii* Dohrn P-8844. 1, secțiune longitudinală; 2, secțiune transversală $\times 3,8$ imagini negative (3).

Actinostromaria lugonii Dohrn P-8844. 1, coupe longitudinale; 2, coupe transversale $\times 3,8$ images négatives (3).

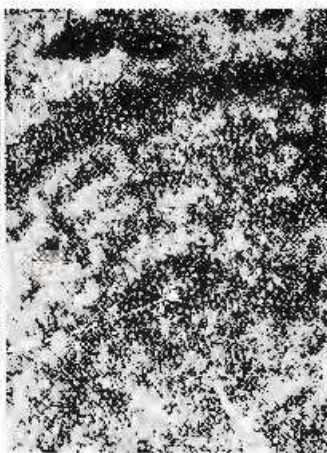
Fig. 3—5. — *Millepora martenae* nov. sp. P-8853 holotip. 3, imaginea coloniei $\times 3,4$ imagine negativă; 4, secțiune longitudinală $\times 21,5$; 5, secțiune transversală $\times 21,5$ (3). *Millepora martenae* nov. sp. P-8853 holotype. 3, image de la colonie $\times 3,4$ image négative; 4, coupe longitudinale $\times 21,5$; 5, coupe transversale $\times 21,5$ (3).

Fig. 6. — *Spongiomorpha asiatica* Yabe & Sugiyama P-8855 secțiune longitudinală $\times 7,5$ imagine negativă (3).

Spongiomorpha asiatica Yabe & Sugiyama P-8855 coupe longitudinale $\times 7,5$ image négative (3).

Ultima cifră între paranteze localizează specia pe harta de la figura din text.

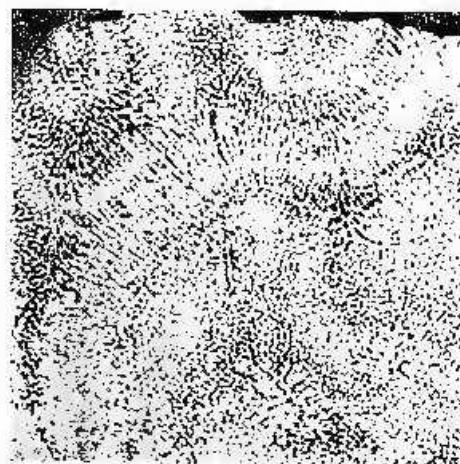
Le dernier chiffre mis entre parenthèses localise l'espèce sur la figure du texte.



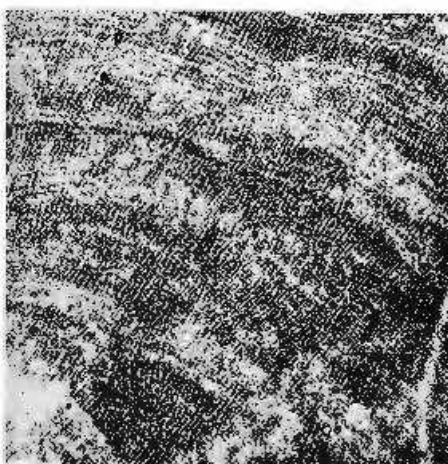
1

3

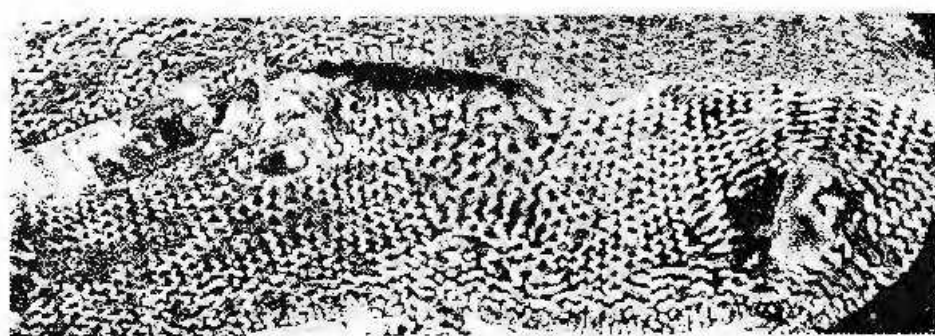
5



2



4



6

Institutul Geologic, Dări de seamă, vol. I.IX/3.

PLANSA II

Fig. 1-3. — *Spongiomorpha usitata* Yabe & Sugiyama 1, secțiune longitudinală $\times 8$; 2, P-8857 secțiune longitudinală $\times 8$; 3, P-8856 secțiune longitudinală $\times 2,5$ (3,16).

Fig. 4-6. — *Spongiomorpha usitata* Yabe & Sugiyama 4, coupe longitudinale $\times 8$; 5, P-8857 coupe longitudinale $\times 8$; 6, P-8856 coupe longitudinale $\times 2,5$ (3,16).
Fig. 1-6. — *Spongiomorpha globosa* Yabe & Sugiyama 1, P-8861 secțiune longitudinală printr-o colonie care încreștează un Chaetetid $\times 6$ imagine negativă; 5, P-8862 secțiune longitudinală $\times 10$ imagine negativă; 6, P-8862 secțiune transversală $\times 10$ imagine negativă (3).

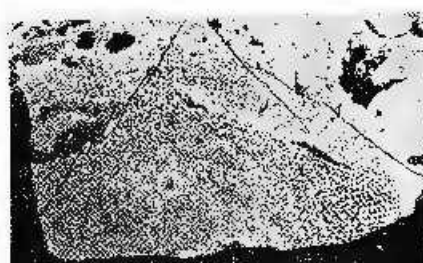
Spongiomorpha globosa Yabe & Sugiyama 4, P-8861 coupe longitudinale à travers une colonie encroissant un Chaetetid $\times 6$ image négative; 5, P-8862 coupe longitudinale $\times 10$ image négative; 6, P-8862 coupe transversale $\times 10$ image négative (3).

Cifrele între paranteze localizează specia pe harta de la figura din text.

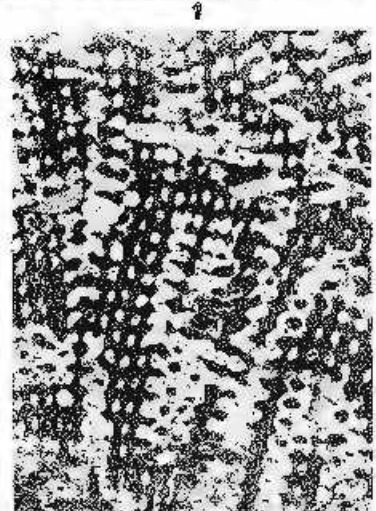
Les chiffres entre parenthèses localisent l'espèce sur la carte de la figure du texte.



1



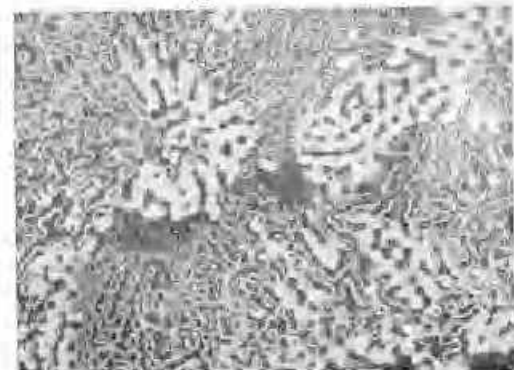
3



2



4



6



5

PLANSA III

Fig. 1, 2, 4-6. — *Spongiamorpha gibbosa* Yabe & Sugiyama 1, 1, 5, P-8864 secțiuni longitudinale 1×10 ; $4,5 \times 8$ imagini negativă; 6, P-8865 secțiune longitudinală $\times 10$ imagine negativă (3).

Spongiamorpha gibbosa Yabe & Sugiyama 1, 4, 5, P-8864 coupe longitudinale 1×10 ; $4,5 \times 8$ images négatives; 6, P-8865 coupe longitudinale $\times 10$ image négative (3).

Fig. 3. -- *Spongiamorpha cf. gibbosa* Frech P-8859 secțiune longitudinală $\times 10$ imagine negativă (3).

Spongiamorpha cf. gibbosa Frech P-8859 coupe longitudinale $\times 10$ image négative (3).

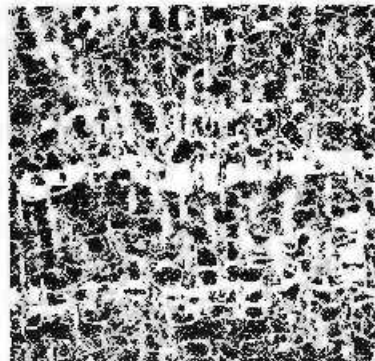
Ultima cifră între paranteze localizează specia pe harta de la figura din text.

Le dernier chiffre mis entre parenthèses localise l'espèce sur la carte de la figure du texte.





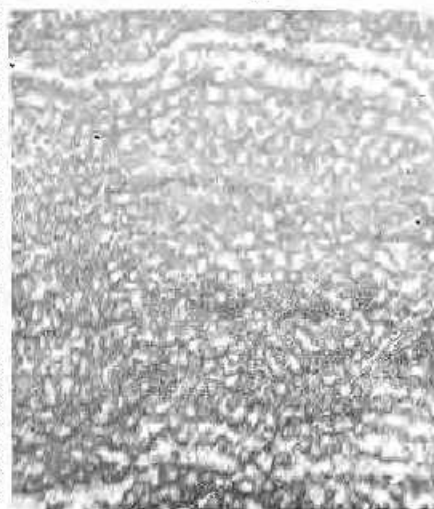
1



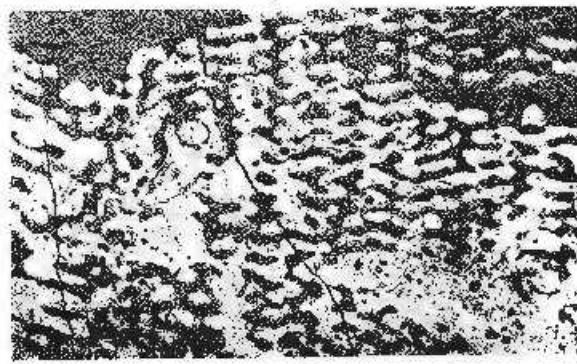
2



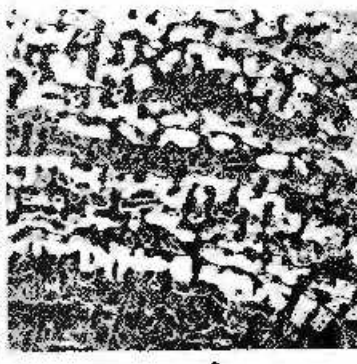
5



4



3



6

PLANSA IV

Fig. 1-3. - *Ellipsactinia caprense* Canavari P-8817. 1, secțiune prin pericenosteum $\times 3,5$ imagine negativă; 2, hypocenosteum $\times 7,5$; 3, pericenosteum $\times 7,5$ (3).
Ellipsactinia caprense Canavari P-8847. 1, coupe à travers le péricenosteum $\times 3,5$ image négative; 2, hypocenosteum $\times 7,5$; 3, péricenosteum $\times 7,5$ (3).

Fig. 4, 5, 6. — *Ellipsactinia* sp. nov. sp.? P-8849. 4, secțiune longitudinală; 5, secțiune tangențială; 6, secțiune longitudinală printre colonie de talie mică (P-8848) $\times 3$ imagini negative (3).

Ellipsactinia sp. nov. sp.? P-8849. 4, coupe longitudinale; 5, coupe tangentielle; 6, coupe longitudinale à travers une colonie de petite taille (P-8848) $\times 3$ image négative (3).

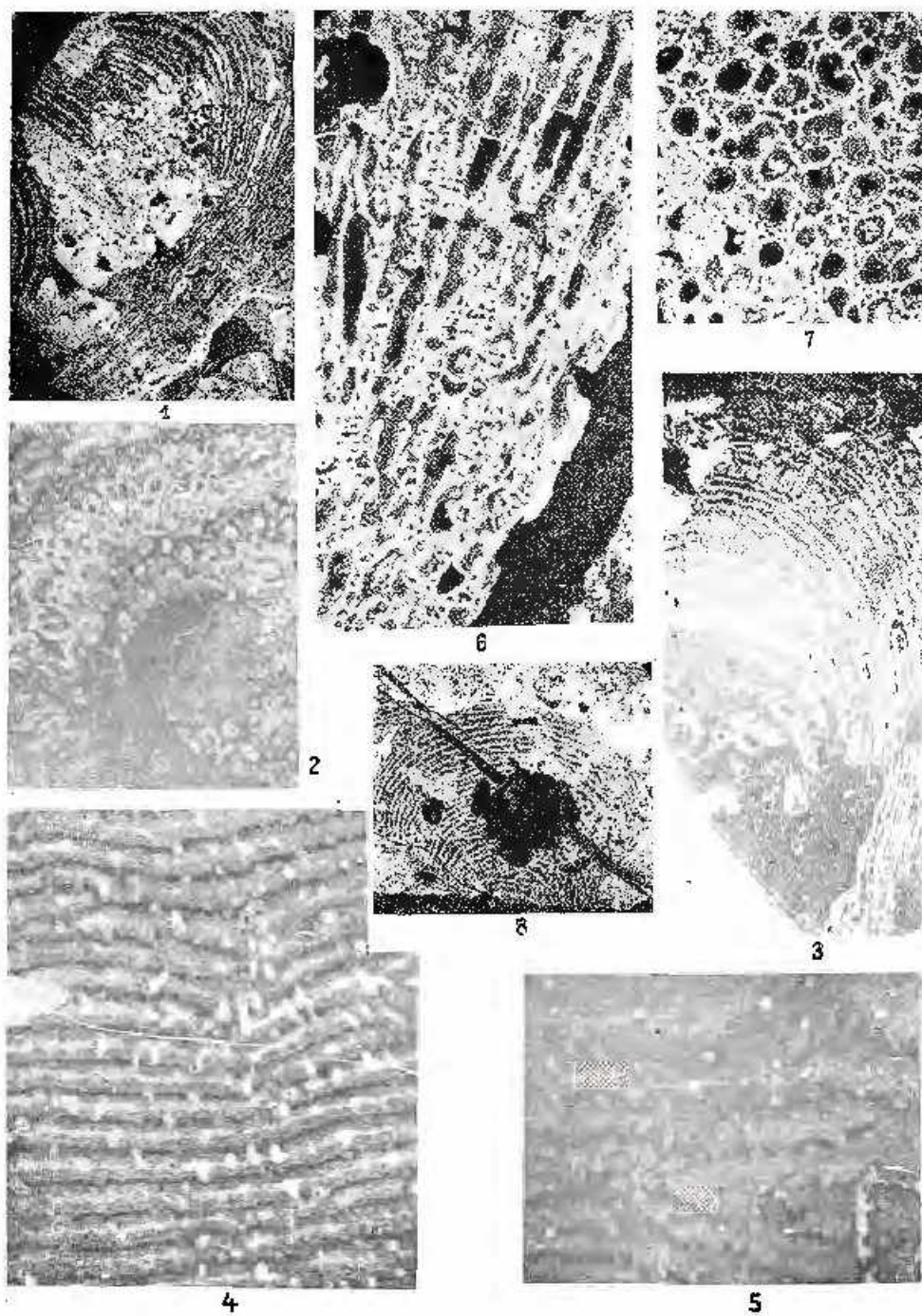
Fig. 6, 7. — *Tubulifera rotundata* Turensek P-8851. 6, secțiune longitudinală $\times 9$; 7, secțiune transversală $\times 9$ (3).

Tubulifera rotundata Turensek P-8851. 6, coupe longitudinale $\times 9$; 7, coupe transversale $\times 9$ (3).

Ultima cifră între paranteze localizează specia pe harta de la figura din text.

Le dernier chiffre mis entre parenthèses localise l'espèce sur la carte de la figure du texte.





PLANŞA V

Fig. 1,5. — *Actinosirospira jeanneti* Stein er P-8845. 1, secțiune longitudinală x8 imagine negativă; 5, secțiune transversală, parțial oblică x8 imagine negativă (16).

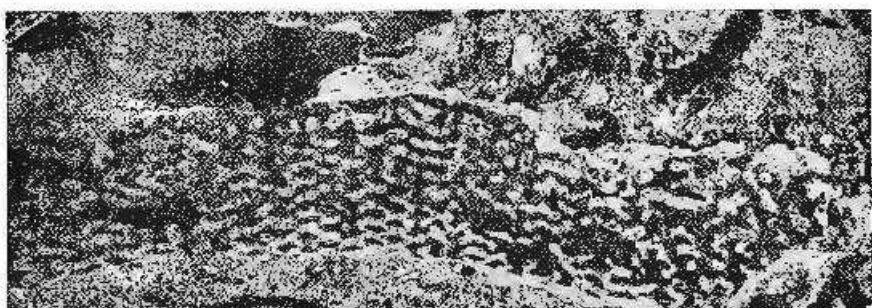
Actinosirospira jeanneti Stein er P-8845. 1, coupe longitudinale x8 image négative; 5, coupe transversale, partiellement oblique x8 image négative (16).

Fig. 2,3. — *Spongiomorpha gibosa* Yabe & Sugiyama P-8860. 2, secțiune transversală x8 imagine negativă; 3, secțiune longitudinală x8 imagine negativă (16). *Spongiomorpha gibosa* Yabe & Sugiyama P-8860. 2, coupe transversale x8 image négative; 3, coupe longitudinale x8 image négative (16).

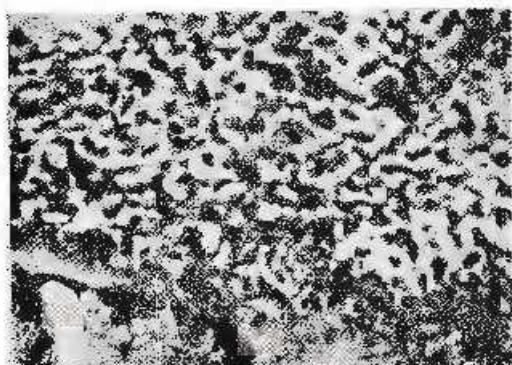
Fig. 4. — *Spongiomorpha usiatica* Yabe & Sugiyama P-8858 secțiune longitudinală x8 imagine negativă (16).

Spongiomorpha usiatica Yabe & Sugiyama P-8858 coupe longitudinale x8 image négative (16).

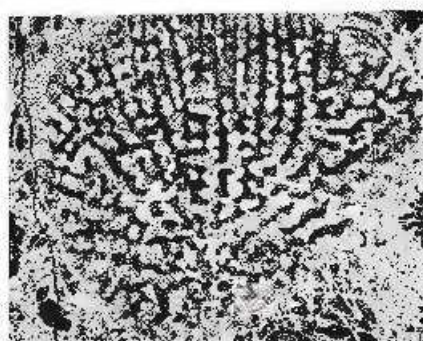
Cifrele între paranteze localizează specia pe harta de la figura din text.
Les chiffres mis entre parenthèses localisent l'espèce sur la figure du texte.



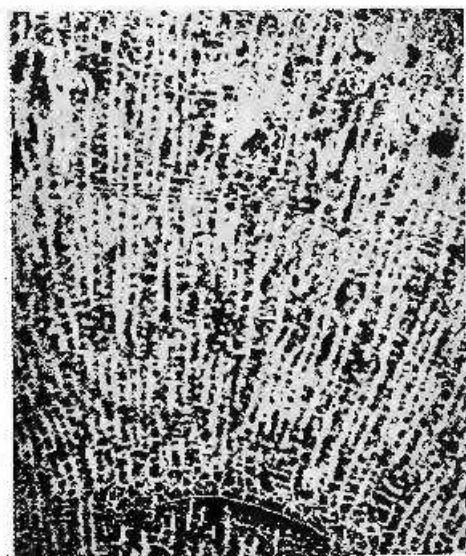
3



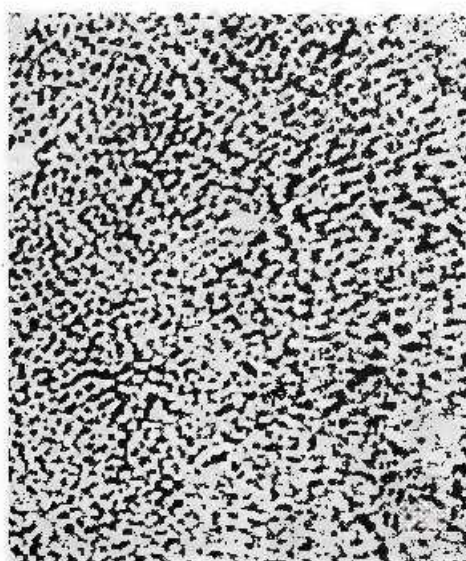
2



4



1



5

PLANŞA VI

Fig. 1. — *Milleporidium* sp. P-8854 secțiune longitudinală x 9 (2).

Milleporidium sp. P-8854 coupe longitudinale x 9 (2).

Fig. 2, 3. — *Desmopora listrigonatum* Lavarski P-8846; 2, secțiune longitudinală x 3 imagine negativă; 3, secțiune transversală x 3 imagine negativă (3).

Desmopora listrigonatum Lavarski P-8846; 2, coupe longitudinale x 3 image négative; 3, coupe transversale x 3 image négative (3).

Fig. 4. — *Spongiamorpha* cf. *gibbosa* Frech P-8859 secțiune longitudinală x 10 imagine negativă (3).

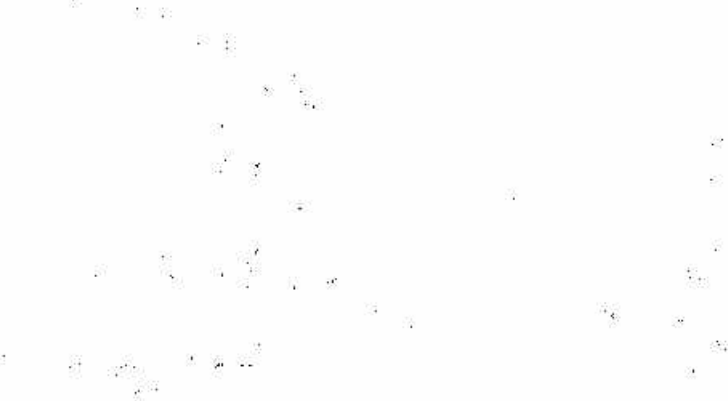
Spongiamorpha cf. *gibbosa* Frech P-8859 coupe longitudinale x 10 image negative (3).

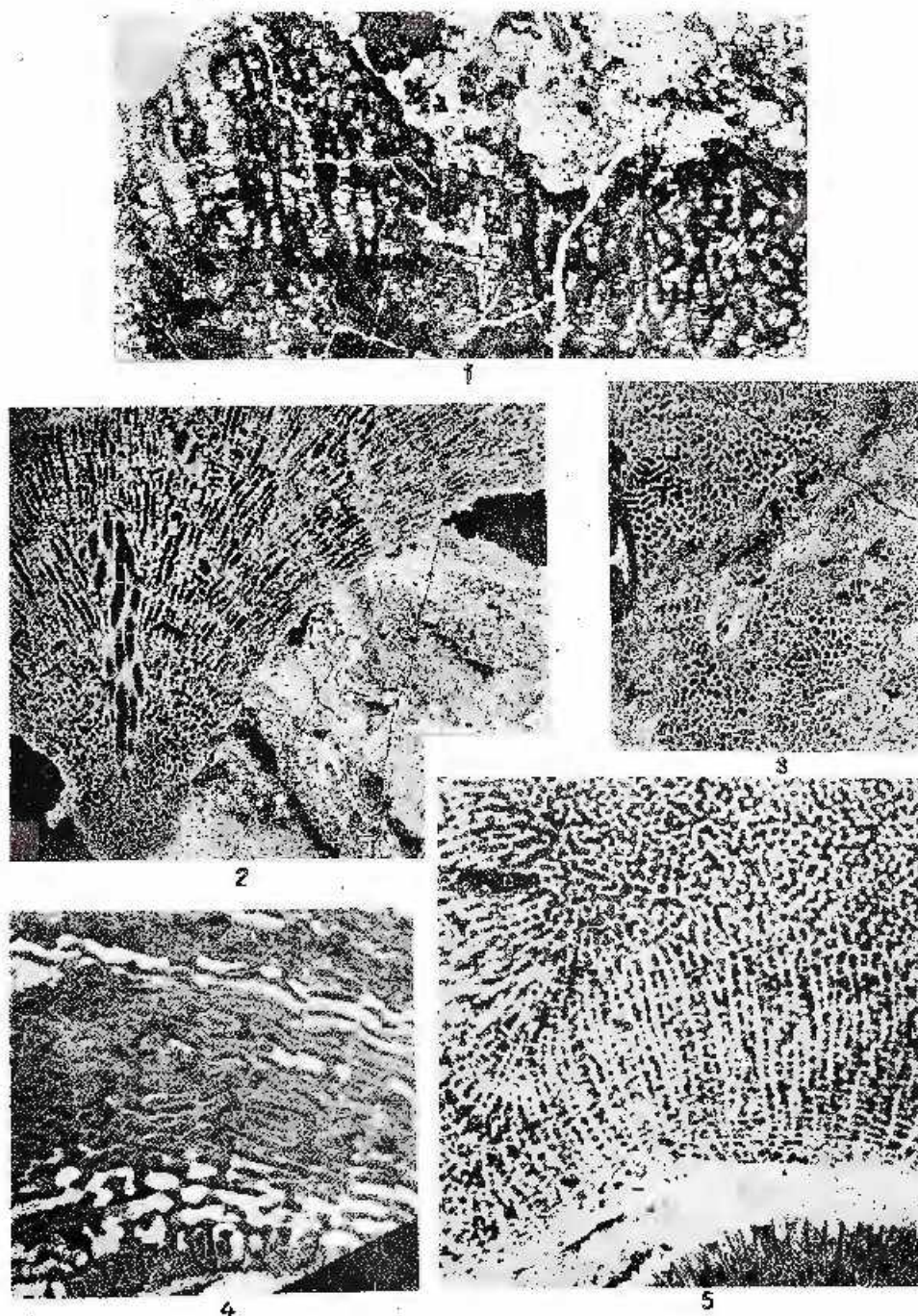
Fig. 5. — *Actinostromaria jeanneti* Steinier P-8815 secțiuni variabile. Se observă cum colonia encrustează un chaetelid (dreapta jos) x 8 imagine negativă (13).

Actinostromaria jeanneti Steinier P-8815 coupes variables. On observe la manière dont une colonie encroûte un Chaetelide (en bas à droite) x 8 image négative (13).

Cifrele între paranteze localizează specia pe harta de la figura din text.

Les chiffres mis entre parenthèses localisent l'espèce sur la figure du texte.



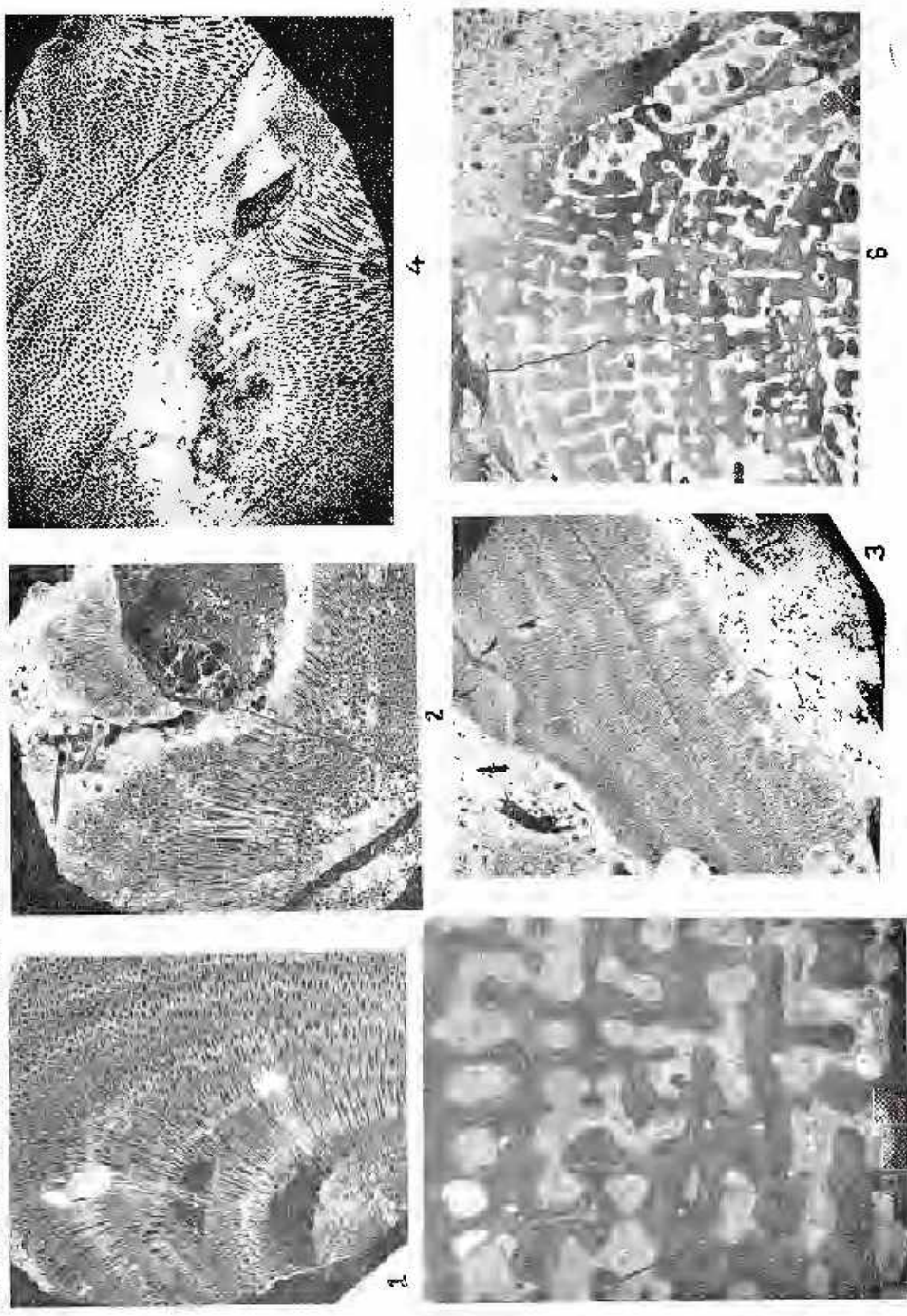


PLANSĂ VII

- Fig. 1, 2. — *Chaetopsis crinula* Neumann P-8868 ; 1, secțiuni longitudinale și oblice x3,2 imagine negativă ; 2, P-8869 secțiuni variabile x 3,2 imagine negativă (3).
- Chaetopsis crinula* Neumann P-8868 ; 1, coupes longitudinales et obliques x 3,2 image négative ; 2, P-8869 coupes variables x 3,2 image négative (3).
- Fig. 3. — *Chaetopsis krimholzi* Tavorski secțiune longitudinală x 3 imagine negativă (3).
- Chaetopsis krimholzi* Tavorski coupe longitudinale x 3 image négative (3).
- Fig. 4. — *Baumela multilobata* (Denniger) x 3,2 imagine negativă (3).
- Baumela multilobata* (Denniger) x 3,2 image négative (3).
- Fig. 5, 6. — *Actinostromarianina?* cf. *beauvoisi* Vialle ; 5, P-10878 secțiune longitudinală x 24 ; 6, P-10879 secțiune longitudinală x 9, imagine negativă (3).
- Actinostromarianina?* cf. *beauvoisi* Flügel ; 5, P-10878 coupe longitudinale x 24 ; 6, P-10879 coupe longitudinale x 9, image négative (3).
- Ultima cifră între paranteze localizează specia pe harta de la figura din text.
Le dernier chiffre mis entre parenthèses localise l'espèce sur la carte de la figure du texte.

A. BALTRÈS. Hydrozoare și chaetetidele din România.

Pl. VII.



3. PALEONTOLOGIE

PALEOZOOLOGIE

NOTĂ ASUPRA UNEI FAUNE BARREMIAN-INFERJOARE DIN
PARTEA SUDICĂ A MUNTILOR HÄGHIMAS¹

DE

ALBERT BALTRÈS, TITUS BRUSTUR²

Abstract

Note on a Lower Barremian Fauna from the Southern Part of the Häghimas Mountains. An ammonite fauna Lower Barremian in age consisting of *Phylloceras* sp., *Hamulina alpina* d'Orb., *Barremites* cf. *charrierianus* d'Orb. and *Holcodiscus* sp., collected from gritty-limyand calcarenite flysch from the southern part of Häghimas Mts is described. The above fauna proves that in this zone the sedimentation of the immediately following upper term — the Wildflysch — begins in the Middle Barremian. Attempts are made to establish correlations between the synchronous deposits of sandstones and Muncelu conglomerates from Rarău, the southern zone of Ciucul Mts, the Baraolt Mts, the Tîrlung, Doftana and Prahova Valleys.

Un studiu recent privind stratigrafia și tectonica Mezozoicului din sectorul sudic al muntelor Häghimas stabilește următoarea succesiune a sedimentelor post-triasice (Patrulius et al., 1969).

1.	Strate de Lunca inferioare (orizontul siltitelor și argilitelor brune)	? Tithonic-Berriasian
2.	Strate de Lunca superioare (orizontul flișului calcaros)	Tithonic-Berriasian-Valanginian
3.	Fliș grezo-calcaros și calcarenitic	Hauterivian
4.	Wildflysch	Barremian-Bedoulian

¹ Comunicare în ședință din 3 martie 1972.

² Întreprinderea Geologică de Prospecții. Str. Caransebeș nr. 1, București.

Cercetări ulterioare³ aduc precizări de vîrstă în schema stratigrafică de mai sus. Nota pe care o prezentăm se înscrie ca o contribuție în precizarea vîrstei flișului grezo-calcaros și calcarenitic.

Potrivit informațiilor de care dispunem pînă la această dată, schema de mai sus, se modifică după cum urmează :

1.	Bathonian-Callovian inferior
2.	Tithonic-Hauterivian
3.	? Hauterivian superior-Barremian inferior
4.	Barremian mediu — Bedoulian

Fauna de amoniți pe care o prezentăm aici provine din flișul grezo-calcaros și calcarenitic al sectorului sudic al munților Hăgihîmaș (pîrul Covaci, affluent pe dreapta al Vâii Reci), fliș din care se citează *Lamellaptychus angulocostatus* (P a t r u l i u s et al., 1969).

Pe pîrul Covaci, flișul grezo-calcaros și calcarenitic a cărui bază vine în contact discordant cu silicolitele roșii și verzi ale stratelor de Lunca superioare, începe cu o serie paraconglomeratică subțire, constituită din elemente rulate de calcare negricioase sau cenușii, diabaze amigdaleoide alterate, conglomerat cuartitic, avînd dimensiuni de 5–7 cm, prinso într-o matrice pelitică de culoare verzuie sau cenușie. Urmează o stivă de depozite pelitice ușor nisipoase și micacee cu cruste limonitice, cu intercalări de gresii grosiere și microbrecii cu elemente negre în strate de 0,2 m⁴, marnocalcare și grezocalcare care nu depășesc 1–2 cm grosime. Partea superioară a orizontului devine pronunțat detritică, înmulțindu-se gresiile cu ripple-marks, iar nivelele cu brecii devin mai frecvente și mai groase, atingînd 0,5 m. Pelitele conțin frecvent resturi de plante și tuburi de viermi umplute cu material detritic. O analiză palinologică asupra unui eșantion bogat în resturi de plante a dat rezultat negativ. Depozitele descrise înclină spre W cu unghiuri sub 45°. Mai puțin vizibil în zona pîrului Covaci, termenul imediat următor stivei de depozite pelitice este conglomeratul bazal al formațiunii de Wildflysch, transgresiv.

³ C. Dîn u. Prezența faciesului cu *Posidora Buchi* (R ö m c r) în flancul estic al sinclinalului Hăgihîmaș, la izvoarele Trotușului, 1971 (va apărea în Buletinul Societății de geologie).

⁴ La N de pîrul Covaci, pe pîrul Sălămașul Mare, în flișul grezo-calcaros și calcarenitic se intercalează nivale grosiere microconglomeratice de 0,2–0,4 m grosime, care includ galeji mici de diabaze și calcare detritice.

⁵ Colegul N. T i c l e a n u a determinat între acestea filicale (*Gleichenia*) și gimnosperme (*Sequoia*). Acest din urmă gen este cîsat și din „siratele” de Piscu cu Brazi din valea Ialomiței, valca Peleșului, valea Jepilor,

Fauna de amoniți constituită din :

Phylloceras sp.

Hamulina alpina d'Orb.

Barremites cf. charrierianus d'Orb.

Holcodiscus sp.

provine din rocile pelitice cu plante și indică prezența neindoielnică a Barremianului inferior.

Hamulina alpina a fost recoltată din malul drept al pîrului Covaci, la cca 125 m amonte de contactul flișului grezo-calcaros și calcarenitic cu silicilatele roșii și verzi. *Barremites charrierianus*, *Phylloceras* sp. și *Holcodiscus* sp. provin dintr-un afloriment situat tot pe malul drept al pîrului Covaci, la cca 50 m amonte de locul de proveniență a formei *H. alpina*.

Fauna de amoniți se găsește într-o stare precară de conservare, caracteristică tuturor faunelor din Barremianul Carpaților Orientali⁶.

Asocierea amonișilor cu frecvențe resturi de plante ce au structuri delicate, indică apropierea țărmului și o sedimentare rapidă pe șeful din fața unei delte, în ape probabil hiposaline, cu o mare cantitate de material în suspensie. Asociația floristică (*Gleichenia*, *Sequoia*) este indicatoare a unui climat cel puțin temperat și umed.

Frecvențările de vîrstă pe care le aduce fauna de pe pîrul Covaci și caracterele litologice ale flișului grezo-calcaros și calcarenitic confirmă părerea exprimată de alți autori că ne găsim în prezență părții superioare a straturilor de Sinaia dezvoltate într-un facies vestic, ținând însă din punct de vedere tectonic de Unitatea centrală.

Am menționat mai sus prezența lui *Lamellaptychus angulostatus* în depozitele care conțin fauna descrisă aici. În ceea ce privește prezența acestei specii în straturile de Sinaia superioare, găsim că este utilă următoarea observație : *L. angulostatus* este citat de Gasiorowski din Valanginiianul superior pînă în Barremianul inferior, iar după Trantă frecvența acestei specii este mare în Hauerivian și scăzută în Barremian. Acest fapt ne face să exprimăm presupunerea că, în ce privește situația din Hăgimăș, nu este exclus ca flișul grezo-calcaros și calcarenitic de vîrstă sigur barremian inferioară să includă la partea sa inferioară și Hauerivianul superior, ținând seama și de faptul că stiva de depozite din care am recoltat fauna se extinde, cu aceleași caractere, încă cca 100 m sub nivelul fosilifer.

⁶ E. Avram, M. Savu, comunicare verbală. Mulțumim totodată lui E. Avram pentru ajutorul acordat în determinarea faunei.

Flișul grezo-calcaros și calcarenitic din munții Hăgimaș este coreabil cu gresile și conglomeratele de Muncelu din Rarău precum și cu faciesuri mai estice, ale Unității de Ceahlău și anume:

Cu depozite similară litologică și datează faunistic (*Spiridiscus aff. fallacior* - Barremian inferior) din zona sudică a munților Ciucului (zona Bancu - Armășeni);

Cu orizontul flișoid din munții Baraolt;

Cu orizontul cu brecii și conglomerate din valea Tirlungului cărnă A v r a m (1970) fi atribuie vîrstă barremian inferioară, eventual hanteriviană superioară;

Cu orizontul superior al stratelor de Sinaia cu *Lamellaptychus angulostatus* din valea Doftanei atribuit Hanterivianului superior;

Cu flișul barremian-apțian din valea Prahovei.

Corelarea flișului grezo-calcaros și calcarenitic din Hăgimaș cu gresile și conglomeratele de Muncelu din Rarău se bazează pe paralelizarea făcută de Mutihac (1968) între stratele de Lunca din Hăgimaș și seria flișoidă din Rarău (sin. orizontul calcaros, Popescu și Patrulius, 1964). Rezultă că termenul următor - gresile și conglomeratele de Muncelu - poate fi corelat cu flișul grezo-calcaros și calcarenitic din Hăgimaș, cu atât mai mult cu cît într-primele și seria cu apțihi din Rarău este o discontinuitate de sedimentare semnalată de Turculeț (1964) și presupusă de Popescu și Patrulius (1964), similară celei dintre stratele de Lunca și flișul grezo-calcaros și calcarenitic din Hăgimaș. Faptul că în valea Moldovei" prezența intercalatiilor conglomeratice și a marnelor nisipoase negricioase cu conglomerate tilloide asociate, care reprezintă un episod precursor al faciesului de Wildflysch" amintește de caracterul flișului grezo-calcaros și calcarenitic, nu exclude posibilitatea ca însăși partea superioară a orizontului calcaros să țină de Barremian. Cu toate acestea, Popescu și Patrulius (1964) consideră gresile și conglomeratele de Muncelu ca un facies local a părții superioare a orizontului calcaros.

Mutihac (1968) și Turculeț (1963, după Mutihac, 1968) susțin vîrstă valanginiană, respectiv hanteriviană a gresilor și conglomeratelor de Muncelu. *Ptychites cf. quadrifidus* a stat la baza atribuirii vîrstei valanginiene gresilor și conglomeratelor de Muncelu. Popescu și Patrulius (1964) consideră însă că această formă indică cu probabilitate și Hanterivianul. Fosila provine însă dintr-un bloc de pe valea Moldovei, încit nu poate fi luată în considerare drept o dovedă sigură. Atribuirea de către Mutihac și Turculeț a



vîrstelor amintite gresiilor și conglomeratelor de Muncelu se bazează și pe dovezi indirecte și anume: Mutihac (1968) găsește în baza Wildflyschului din Rarău *L. submortilleti* f. typ și *L. angulocostatus* pe baza cărora stabilește prezența Hautevianului. Tureuleț (1968, după Patruilius et al., 1969) susține pe de altă parte vîrsta hauteviană a bazei Wildflyschului din Rarău pe baza unor belemniti a căror poziție *in situ* este suspectată de Patruilius et al. (1969)⁷. Observația din urmă este valabilă și în cazul faunei găsite de Mutihac, mai cu seamă că *L. submortilleti* f. typ este o formă tithonic-berriasiană. Din cele de mai sus se observă că ceci sunt elemente de faună invocate de cei doi autori în susținerea unor vîrste au ori o proveniență nesigură ori au fost interpretate incorect, încât găsim că în acest caz presupunerea că gresiile și conglomeratele de Muncelu ar apartine Barremianului inferior, eventual Hautevianului, pare mai apropiată de realitate.

Precizarea vîrstei flișului grezo-calcaros și calcarenitic din Häghimaș are drept efect precizarea timpului cînd are loc, cel puțin în Häghimaș, debutul sedimentării Wildflyschului. Acest moment este Barremianul mediu.

PALEONTOLOGIA

Phylloceratidae Zittel, 1884

Phylloceras Süss, 1865

Phylloceras sp.

Material: trei fragmente de cochlile (P-8314)⁸ provenind de pe pîriul Covaci de la cca 175 m amonte de contactul flișului grezo-calcaros și calcarenitic cu silicolitele roșii și verzi ale stratelor de Lunca superioare.

Descriere: fragmentele de cochlile au fost atribuite genului *Phylloceras* pe baza caracterului costăției: coaste fine, ușor convexe, dispuse la intervale egale, îndesindu-se spre partea bănuitoră ombilicală.

Ptychoceratidae Meek, 1876

Hamulina d'Orbigny, 1843

⁷ D. Patruilius, M. Sandulescu, Illeana Popescu, M. Bleahu, Jana Sandulescu, I. Stănoiu, Elena Popa. Monografia scrierilor sedimentare din zona cristalino-mezozoică a Carpaților Orientali. 1969 manuscris.

⁸ Toate esantioanele se păstrează în colecția Institutului Geologic din București.



Hamulina alpina d'Orbigny

Pl. I, fig. 1

1864 *Hamulina alpina*. — Thomé p. 67, pl. 12, fig. 4

Material: un exemplar incomplet (P-8315) care provine de pe pîrîul Covaci de la cca 125 m amonte de contactul flișului grezo-calcaros și calcarenitic cu silicolitele roșii și verzi ale stratelor de Lunca superioare.

Descriere: Croza cu un diametru de 42 mm păstrează o ornamentație caracteristică avind în partea dinspre apertura o costătică evidentă, bine reliefată, regulată, însă lipsită de tuberculii. Hampa poartă coaste principale, mai puțin reliefate decât cele din zona aperturală, care trec spre marginea internă a cochiliei. Între coastele principale se inserează coaste secundare al căror număr crește treptat spre zona de încovoiere a crosei care devine aproape lisă.

Desmoceratidae Zittel, 1895*Barremites* Kilian, 1913*Barremites* cf. *charriermanus* d'Orbigny

apud Drușcît și Kudrevavt'ev non *Ammonites charriermanus*
Quenstedt

Pl. I, fig. 2

Material: două exemplare (P-8313) provenind din același loc cu *Phylloceras* sp.

Descriere: cochilie subțire, turilită de formă larg ovală, cu coaste slab convexe. Ombilic relativ larg cu margine evidentă. Se disting 5–6 coaste de formă vălurită precedate de cîte un sănt larg, ușor adincit în partea sa centrală. Spațiile dintre coaste, de regulă lise, pot prezenta uneori striuri foarte fine. Formele noastre sunt similare celei figurate de Drușcît și Kudrevavt'ev (1960).

Dimensiuni: D = 45 mm; h = 16 mm; g = .. ; 0 = 10 mm;
o/D = 0,22

Holcodiscidae Spath, 1924*Holcodiscus* Uhlig, 1882*Holcodiscus* sp.

Pl. I, fig. 3

Material: o impresiune recoltată pe pîrîul Covaci din același loc cu *Phylloceras* sp. și *Barremites* cf. *charriermanus*.

Descriere: cochilie de talie mică ale cărei tururi cu creștere rapidă vin în contact fără a se acoperi. Tururile tinere sunt ornamentate cu coaste fine, radiare. Pe măsură ce cochilia crește, coastelor li se adaugă cite un tubercul lateral și unul ombilical. În porțiunea matură, cochilia este ornamentată cu coaste ușor arcuite și rari tuberculi pe marginea exterană.

BIBLIOGRAFIE

- A v r a m E. (1970) Precizări asupra virstei depozitelor eocretace din bazinul superior al văii Tîrlungului. *Stud. Cerc. Geol. — Geofiz. — Geogr. ser. geol.* 15, I, București.
- Bâncilă I. (1941) Étude géologique dans les monts Hâghimăs — Giuc. *An. Inst. Géol. Roum.*, XXI, București.
- (1958) *Geologia Carpaților Orientali*. Ed. Științifică, București.
- Papiu C. V. (1962) Asupra silicollitelor cretace inferioare din cuveta marginală a Carpaților Orientali. *D. S. Inst. Geol.*, XLVI, București.
- Drușciț V. V., Kudravtsev M. P. (1960) Atlas nijnemelovoï fauny severnogo Kavkaza i Krima. *Gesoplecthidae*.
- Kusko M., Savu Gh. M. (1970) Barremianul inferior din munții Baraoltului. *D. S. Inst. Geol.*, LV, București.
- Mutihac V. (1968) Structura geologică a compartimentului nordic din sinclinalul marginal extern (Carpații Orientali). Ed. Academiei, București.
- Nicolaeșcu V., Ionescu S. (1970) Observații asupra filșului cretace din partea de sud a munților Giuceului. *D. S. Inst. Geol.*, LVI, București.
- Patrulius D. (1968) Geologia masivului Bucegi și a culoarului Dimbovicioara. Ed. Academiei, București.
- Popa Elena, Popescu Illeana (1969) Structura părții bucovinice în partea meridională a masivului cristalin moldav (Carpații Orientali). *An. Com. Stat. Geol.*, XXXVII, București.
- Popescu Gr., Patrulius D. (1964) Stratigrafia Cretacicului și a klippelor exotice din Rarău (Carpații Orientali). *An. Inst. Geol.*, XXXIV, 2, București.
- Thomelin G. (1964) Contribution à la connaissance des céphalopodes crétacés du sud-est de la France. Note sur les ammonites déroulées du Crétacé inférieur vocontien. XLIII, 2, mem. 101, Paris.
- Turculeț I. (1964) Stratete cu Aptychii din cuveta mezozoică a Rarăului (Carpații Orientali). *An. St. Univ. „Al. I. Cuza”*, X, Iași.

NOTE SUR UNE FAUNE DU BARRÉMIEN INFÉRIEUR LOCALISÉE DANS LA PARTIE MÉRIDIONALE DES MONTS HÄGHIMAS

(Résumé).

Les résultats des études sur la faune d'ammonites récoltée du flysch gréso-calcaire et calcarénitique de la partie méridionale des Monts Häghimas (ruisseau Covaci), à côté des résultats d'autres études améliorent le schéma stratigraphique du sédimentaire post-triasique de Patrulius et al. (1969). L'âge barrémien inférieur du flysch gréso-calcaire et calcarénitique a été établi à partir d'une association constituée de *Phylloceras* sp., *Hamulina alpina* d'Orb., *Barremites cf. charrieanus* d'Orb. et *Holcodiscus* sp., conservée dans une série pétillante avec des plantes (Filicale — *Gleichenia* et Gimnosperme — *Sequoia*). La lithologie, la flore et la faune indiquent une sédimentation rapide sur le plateau continental d'en face d'un delta, dans des eaux hiposalines contenant une grande quantité de matériel en suspension. Le climat était au moins tempéré et humide. La faune à ammonites d'écrite atteste que dans cette zone le dépôt du terme immédiatement supérieur — le Wildflysch — débute au Barrémien moyen.

Le flysch gréso-calcaire et calcarénitique a été corrélé aux grès et aux conglomérats de Munelu des Monts Rarău et à des faciès de l'Unité de Ceahlău situés vers l'E (de la zone méridionale des Monts Ciuc; des Monts Baraolt; de Valea Tirlungului; de Valea Doftanei; de Valea Prahovei).

Phylloceras sp.

Description: Des fragments de coquilles ont été attribués au genre *Phylloceras* vu les costules fines, légèrement convexes, disposées à des intervalles égaux, se resserrant vers la partie présumée ombilicale.

Hamulina alpina d'Orb. (pl. I, fig. 1)

Description: la crosse (diamètre 42 mm), montre une ornementation caractéristique formée sur la face aperturale, de côtes évidentes, bien marquées, régulières, sans tubercules. La hampe porte des côtes principales, moins marquées que celles de la zone aperturale, qui empiètent sur le bord interne de la coquille. Entre les côtes principales s'insèrent des côtes secondaires en nombre de moins en moins élevé à mesure qu'on approche de la zone d'incurvation de la crosse qui devient presque lisse.

Barremites cf. charrieanus d'Orb. (pl. I, fig. 2)

Description: coquille mince, aplatie, de forme largement ovale, portant des côtes faiblement convexes. Ombilic relativement large avec le bord évident. On distingue 5—6 côtes ondulées précédées d'un large sillon légèrement excavé à sa partie centrale. Les espaces intercotidaux, généralement lisses, peuvent toutefois présenter de très fines stries. *Dimensions*: D = 45 mm; h = 16 mm; g = —; o = 10 mm; o/D = 0,22.

Holcodiscus sp. (pl. I, fig. 3)

Description: coquilles de petite taille dont les tours d'accroissement rapide prennent directement contact, sans se superposer. Les tours des spires jeunes sont ornés de côtes fines,



rayonnantes. À mesure que la coquille gagne en dimensions sur les côtes apparaissent un tubercule latéral et un autre ombilical. La partie mature de la coquille est ornée de côtes faiblement incurvées et de rares tubercules latéraux.

DISCUȚII

M. Sandulescu: Comunicarea este valoroasă mai ales prin precizarea vîrstelor orizontului grezo-calcaros cu calcarenite. Parallelizările făcute sunt însă discutabile. După conținutul faunistic este evident sincronismul orizontului grezo-calcaros cu calcarenite cu stratele de Sinaia superioare. Poziția superioară, făță de acestea din urmă, a flișului barremian-apitan din valea Prahovei și a orizontului flișoid din Baraolt, exclude din parallelizarea amintită aceste ultime două entități litostatografice. Ipoteza avansată în legătură cu parallelizarea orizontului grezo-calcaros cu conglomeratele de Muncelu are toate şansele să fie corectă; rămâne însă să se stabilească dacă fauna citată de Tureculă din aceste conglomerate este în loc sau remaniată.

A. Baltres: Parallelizarea flișului grezo-calcaros și calcarenitic din partea meridională a munților Hăgimăș cu orizontul flișoid din munții Baraolt și cu flișul barremian-apitan din valea Prahovei se bazează pe următoarele considerente: 1. Kusko și Savu (1970) arată că orizontul flișoid din munții Baraolt reprezintă nivelul de la care a fost recoltată fauna barremian-inferioară de la Arcuș. Acest orizont întărește în constituiția complexului cu gresii și conglomerate care succede un fliș marno-grezos cu marnocalcare situat imediat deasupra orizontului superior al stratelor de Sinaia; 2. Dacă stratele de Sinaia superioare, așa cum se știe (Patriklius, 1969, p. 130) conțin o faună haueriviană superioară, urmează că complexul de fliș marno-grezos cu intercalări de conglomerate, care le succede, trebuie să includă la partea sa inferioară (marnele foioase din haza stratelor de Comarnic) Barremianul inferior. Evident, nu este exclus că, așa cum arată Avram (1970, p. 171–172), orizontul superior al stratelor de Sinaia să aibă caracter heterocron ilustrat de vîrsta lui haueriviană în valca Doftanci și barremiană în bazinul văii Tîrlungului.

EXPLICAȚIA PLANSEI



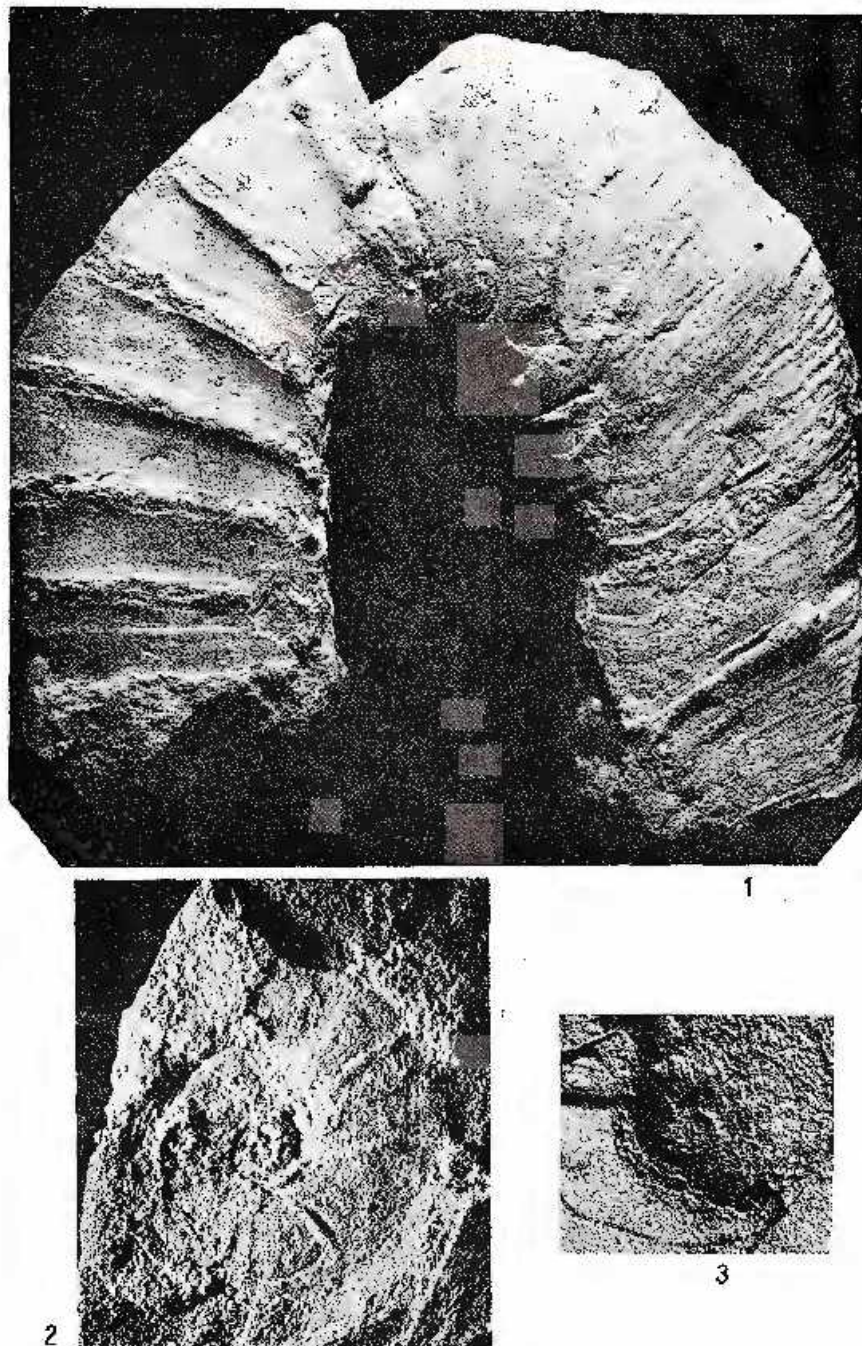
Institutul Geologic al României

XPLICATIA PLANSEI

- Fig. 1. — *Hanulina alpina* d'Orb. x 1 (col. Inst. Geol. P-8315).
Fig. 2. — *Barremilles cf. charrieraianus* d'Orb. x 1 (col. Inst. Geol. P-8313).
Fig. 3. — *Holodiscus* sp. x 1.



A. BALTRÈS, T. BRUSTUR. Fauna barremiană inferioară - munții Hăgimiaș.



Institutul Geologic. Dâri de seamă, vol. LIX/3.



Institutul Geologic al României

3. PALEONTOLOGIE

PALEOZOOLOGIE

FAUNA DE MOLUȘTE BESSARABIENE DE LA ZMEURATU (JUDEȚUL VILCEA). CONTRIBUȚII LA STUDIUL TAPHONOMIC ȘI PALEOECOLOGIC AL ASOCIAȚIEI DE FOSILE¹

DE

LUCIANA ARTIN¹, HINCULCV², ALEERT BALTRES³, NICOLAE TICLEANU⁴

Abstract

Fauna of Bessarabian Mollusks from the Zmeuratu Area (Vilcea District). Contributions to Taphonomic and Paleoecological Study of the Fossil Assemblage. This paper is dealing with the analysis of the faunal assemblage of Middle Bessarabian calcarenites developed within the Zmeuratu Zone (Vilcea district). The calcarenites which include a rich mollusk fauna (68 species) are represented by two microfacial types: pelspartite with scarce fragments of mollusks and biosparite which have evidenced an interesting mineralogical paragenesis. The latter has supported the taphonomical considerations which reconstitute the transformations occurred between the death of the organism and its final burying. The paleoecological study was concentrated on the analysis of reciprocation pairs in the framework of the paleoecosystem. There are discussed ways by means of which the habitat is affecting the organisms that populate it (action), the mode by which the organisms affect the habitat (reaction), and interorganism relationships (coaction). The interactions are analysed both at the level of the Middle Bessarabian and in the Lower Sarmatian-Upper Sarmatian interval. The abiotic and biotic criteria which were discussed have led to the conclusion that the fossil assemblage from the Bessarabian calcarenites (Zmeuratu) represents a residual fossil community.

1. Introducere

În pietrișurile și conglomeratele ce alcătuiesc Bessarabianul din zona de ramă nordică a Depresiunii Getice, la Zmeuratu, se întâlnesc călcarenite fosilifere din care am recoltat o bogată faună de moluște.

¹ Comunicare în ședință din 19 mai 1972.

² Institutul Geologic, Șoseaua Kiseleff nr. 2, București.

^{3,4} Întreprinderea Geologică de Prospecții, Str. Caransebes, nr. 1, București.

Punctele fosilifere sunt amplasate pe un aliniament lung de circa 160 m, situat în versantul drept al Văii lui Tobă, la 200 m amont de confluența acesteia cu Valea de Brădet, affluent drept al râului Olănești. Materialul faunistic prezentat în lucrarea de față a fost recoltat de Elena Ticleanu și N. Ticleanu în anii 1966, 1967.

Primele cercetări paleontologice privind fauna Sarmatiului mediu din apropierea zonei cercetate de noi aparțin lui Fontanier (1887) care a determinat o faună recoltată de Gr. Stefanescu din dealul Cetățuia și de pe valea Olăneștilor. Murgoci (1907) în lucrarea sa privind Terțiul Olteniei se referă printre altele și la punctele cu faună bessarabiană de la Stoenești, Buleta și Rimnicu Vilcea. În fine, Hristescu (1942) citează punctele fosilifere din dealul Cetățuia — Rimnicu Vilcea.

Cercetări geologice au mai fost efectuate în această zonă de Popescu (1954) și de Zberea et al.⁵ care au adus contribuții la deschiderea stratigrafiei depozitelor din partea nordică a Depresiunii Getice.

Este posibil ca punctele fosilifere de pe Valea lui Tobă să fi fost descoperite în jurul anului 1940 de Hristescu. Acesta a recoltat de aici o serie de exemplare pe care noi le-am găsit în colecția Catedrei de geologie de la Facultatea de geologie-geografie din București. Materialul faunistic a fost determinat dar nu a făcut obiectul unei comunicări.

2. Geologia regiunii

Depozitele sarmatiene ce formează obiectul studiului de față sunt cuprinse în flancul nordic al sinclinalului Boteni — dealul Teiș-Tricari (Popescu, 1951). În afara depozitelor sarmatiene, la alcătuirea structurii amintite mai participă și depozite tortoniene, helvețiene și oligocene superioare ce aflorează în nordul regiunii studiate.

Oligocenul superior este alcătuit din conglomerate polimictice, gresii, nisipuri și către partea superioară, marne cenușii.

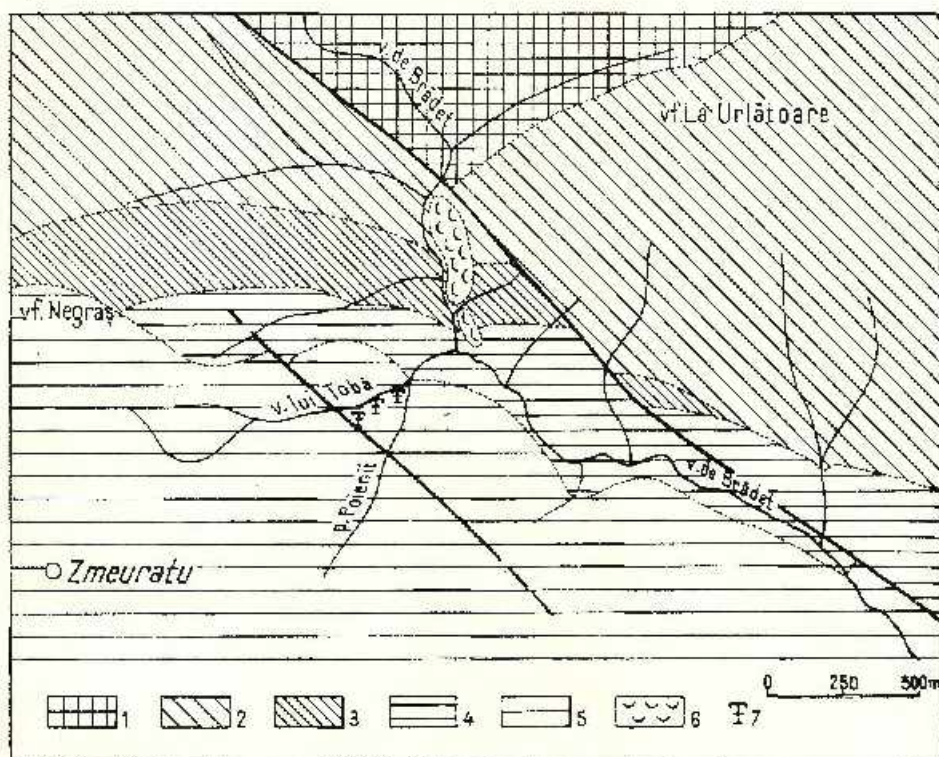
Peste pachetul de depozite oligocene, pe Valea de Brădet se dispun transgresiv conglomerate și nisipuri cu intercalări de argile și marne cenușii care au fost atribuite Helvețianului.

Tortonianul este reprezentat prin tufuri dacitice albicioase-verzui, marne cu globigerine și nisipuri care aflorează pe o fație îngustă în Valea de Brădet.

⁵ A. Zberea et al. Raport de prospecționi geologice pentru cărbuni, în regiunea dintre valea Otășăului și valea Topologului. Arh. 1964. I.G.P., București.

În Sarmatian se disting două complexe de roci.

Complexul inferior alcătuit din marne, nisipuri și pietrișuri ce afloră în cîteva puncte pe Valea de Brădet.



Schiță geologică a zonei Zmeuratu (județul Vilcea)

1. Oligocen superior; 2. Helvetician; 3. Tortonian; 4. Buglovien-Bessarabien inferior; 5. Bessarabien median-Kerszonian; 6. Quaternar (stănușări de teren).

Esquisse géologique de la zone de Zmeuratu (district de Vilcea)

1. Oligocène supérieur; 2. Helvétien; 3. Tortonien; 4. Buglovien-Bessarabien inférieur; 5. Bessarabien moyen-Kerszonien; 6. Quaternaire (glissements de terrain).

Complexul superior în care rolul preponderent il dețin pietrișurile polimietice constituite din elemente bine rulate de cuarț, sisturi cristaline și mai rar calcare albe-gălbui, gresii cenușii-vineții, jaspuri roșii. Prin cimentarea cu carbonat de calciu a unora din aceste pietrișuri s-au format conglomerate mai mult sau mai puțin consolidate. Subordonat apar lentile de nisip, gresii, argile cenușii-vineții, marne și rare lentile de calcaronite fosilifere. Dimensiunile maxime vizibile în afloamente ale acestor lentile ating 25 m lungime, 15 m lățime și 5 m grosime.

Calcarenitetele au fost întâlnite spre baza complexului superior, în versantul drept al Văii lui Tobă, la sud de confluența acesteia cu Valea Poienii (figura). Din cercetarea de teren se constată caracterul lentiliform al calcarenitelor, observindu-se treceuri gradate de la calcar bogat fosilifer și cu puțin material detritic, spre centrul lentilei, la conglomerate cu ciment de bază calcaros și cu apariții sporadice de fosile, în special gasteropode.

Examinarea microscopică a calcarelor sarmatiene a pus în evidență două tipuri microfaciale:

pelsparit cu rare fragmente de moluște;

biosparit, constituit dintr-o varietate dominantă cochiliferă și una dominantă algală.

Rocă mai include pelete ovoidale (probabil faecal pellets de gasteropode, frecvente în varietatea algală) și nori de granule silicicale de cuarț, subordonat fragmente mai mari de cuarțite. Varietatea algală, cu o porozitate originală mai mare, conține deseori druze tapetate cu ortosparit fibros, brun (grosimea crustelor de 0,05–2 mm) și cavități de solvare, cu contururi neregulate colmatate cu sparit granular, limpede.

Detritusul organogen este constituit din fragmente angulare de moluște, foraminifere bentonice și planctonice, și alge rhodophycace de tip *Lithothamnium*.

Detritusul de moluște și parțial, cel algal au suferit un fenomen de fosfatizare care a avut drept rezultat formarea unei mase optic amorfă și stergerea integrală a microstructurii originale. Fenomenul poate fi surprins în câteva cazuri în diverse stadii de evoluție. Se constată astfel că în cazul cochiliilor de lamelibranchiate, este afectat mai întâi stratul extern prismatic; la gasteropode, dimpotrivă, înlocuirea are loc începând cu stratul mijlociu. La algele rosii înlocuirea cu fosfat este neomogenă. Înlocuirea fosfatică are inițial un caracter pseudomorfic, ducând în final la o structură internă amorfă. Foraminiferele nu sunt afectate de fenomenul de fosfatizare, cu excepția miliolidelor și a foraminiferelor sesile.

Fenomenul de fosfatizare descris este confirmat de analiza microchimică precum și de prezența fosfatului de calciu în proporție de 0,25% în roă și 0,15% în cochilie.

Dacă în secțiuni subțiri nu se constată prezența mineralelor magneziene, analizele chimice au indicat conținuturi de 7,8% $MgCO_3$ în roă și 1,2% într-o cochilie de lamelibranchiat. Datele furnizate de ATD arată că $MgCO_3$ este fixat în roă în alt mod decât în formă cristalină.

Fosfatizarea și introducerea magneziului în sediment nu pare a fi un fenomen limitat la sedimentele descrise. O analiză chimică executată asupra unui eșantion provenind din reciful sarmatian de la Schela a arătat prezența carbonatului de magneziu în proporție de 1,04 % și a fosfatului de calciu în proporție de 0,21 %, deci valori apropiate de ale noastre. De asemenea Filipescu (1942) citează „gresii cu accidente fosfatice” din depozitele bessarabiene din partea de NW a Olteniei.

Din calcarenitele studiate a fost recoltată fauna de moluște alcătuită din:

Lamellibranchiata

Modiolus (Modiolus) incrassatus incrassatus (d'Orbigny)

Musculus (Musculus) sarmaticus (Gatuev)

Musculus (M.) naviculatus (Dubois)

Musculus (M.) cf. denysianus (d'Orbigny)

Ervilia dissita dissita Eichwald

Cardium (Cerastoderma) fischerianum Doenging

Cardium (C.) pseudofischerianum Sinzow

Cardium (C.) döningki Sinzow

Cardium (C.) loweni Nordmann

Cardium (C.) aff. pseudosemisulcatum Andrusov

Irus (Paphirus) italicus (d'Orbigny)

Irus (P.) italicus mediosarmaticus (Kolesnikov)

Irus (P.) tricuspius tricuspius (Eichwald)

Mactra (Sarmatimactra) fabreana d'Orbigny

Mactra (S.) italicana italicana d'Orbigny

Mactra (S.) tapesoides Sinzow

Mactra (S.) aff. podolica Eichwald

Gastropoda

Aemaca pseudolacvigala Sinzow

Gibbula (Gibbula) hommairei hommairei (d'Orbigny)

Gibbula (G.) pseudohommairei (Kolesnikov)

Gibbula (G.) hommairei caucasica (Eichwald)

Gibbula (G.) marginatosinzowi (Kolesnikov)

Gibbula (G.) costatopapilla (Kolesnikov)

Gibbula (G.) blainvillici (d'Orbigny)

Gibbula (G.) marginata (Eichwald)

Gibbula (G.) cingulata (Simionescu et Barbu)

Gibbula (Colliculus) picta (Eichwald)

Gibbula (C.) cordieriana (d'Orbigny)

- Gibbula (C.) affinis* (Eichwald)
Gibbula (C.) pseudoangulata (Sinzow)
Gibbula (C.) subbalatro (Kolesnikov)
Gibbula (C.) zonatopunctata (Sinzow)
Gibbula (Rollandiana) rollandiana (d'Orbigny)
Gibbula (R.) pseudorollandiana (Kolesnikov)
Gibbula (R.) subsigaretus (Sinzow)
Gibbula cf. urupensis Uspenski
Calliostoma (Anceps) anceps (Eichwald)
Calliostoma (A.) sarmatoanceps (Sinzow)
Calliostoma (A.) subturriculoides (Sinzow)
Calliostoma (A.) pageana (d'Orbigny)
Calliostoma (A.) angulatiformis (Sinzow)
Calliostoma (A.) woronzowi (d'Orbigny)
Calliostoma (Feneoniana) feneoniana (d'Orbigny)
Calliostoma (Sarmates) sarmates (Eichwald)
Calliostoma (S.) angulosarmates (Sinzow)
?Kishinewia kishineviae (d'Orbigny)
?Kishinewia bessarabica (d'Orbigny)
?Sinzowia elatior (d'Orbigny)
?Sinzowia striatotuberculata (Sinzow)
Barbotella omaliusi omaliusi (d'Orbigny)
Adeorbis striatosulcatus Sinzow
Adeorbis margaritoideus Sinzow
Odostomia fuchsi R. Hoernes
Amnicola zonata Eichwald
Amnicola nympha Eichwald
Pirenella pieta mitralis (Eichwald)
Hydrobia sp.
Dorsanum (Dorsanum) duplicatum corbianum (d'Orbigny)
Dorsanum (D.) duplicatum gradaria (Kolesnikov)
Dorsanum (D.) pseudogracile (Kolesnikov)
Dorsanum (D.) elegans (Simionescu et Barbu)
Dorsanum (D.) verneuilii (d'Orbigny)
Dorsanum (D.) seminudum (Kolesnikov)
Dorsanum (D.) repuerasco (Kolesnikov)
Dorsanum (Akburunella) impexum (Kolesnikov)

Acteocina (Acteocina) lajonkaireana lajonkaireana (B a s t.)

Cyllichna (Cyllichna) melitopolitana (S o k o l o w)

Retusa (Retusa) truncatula (Bruguière)

După autorii citați complexul inferior s-a depus în intervalul de timp Buglovian-Volhinian (Gr. Popescu, A. Zberea et al.) sau în Buglovian-Bessarabian inferior (Harta geologică 1 : 200000 foia 34-Pitești). Având în vedere că fauna recoltată de noi din baza complexului superior atestă vîrstă bessarabiană medie, considerăm acest complex ca aparținind Bessarabianului mediu și superior, pietrișurile din sudul zonei cercetate urmând a fi atribuite Kersonianului.

Comparind fauna bessarabiană de la Zmeuratu cu fauna de același vîrstă de la Visterniceni-Chișinău (R.S.S. Moldovenească) și cu fauna din Bulgaria se remarcă prezența a 47 și respectiv 38 forme comune. Cu toată ascențarea de facies ce există între zona cercetată și cea de la Schela-Gorj (Huieă, Hineulov, 1965) se constată prezența a numai 4 specii comune fapt perfect justificabil având în vedere vîrstă volhinian-bessarabiană a depozitelor de la Schela. La vest de Turnu Severin, pe dealul Vărănic, Marinescu (1959) citează calcare formate din cochilii de moluște; rolul preponderent jucându-l *Modiolus*. Aceste calcare sunt bessarabiene și din totalul de 7 forme cotate, 4 sunt comune cu formele de la Zmeuratu.

3. Studiul taphonomie și paleoecologie

3.1. Considerații generale. În reconstrucțiile paleoecologice, eșantionul colectat reprezintă mesajul emis în timp geologic de o biocoenoză anumită, dovada concretă a acțiunii reciproce, a relațiilor dintre elementele inițiatore (emitațioare) și clementele receptoare din cadrul paleoecosistemului. Pentru reconstituirea condițiilor de mediu și a vieții în acest mediu, se parcurge calea inversă, de la elementele receptoare la cele inițiatore, semnalele emise putind furniza însă și o informație de tip feed-back (de conexiune inversă) asupra elementelor receptoare originale. Descifrarea acestui drum implica analizarea în detaliu a evenimentelor petrecute în intervalul dintre moartea organismelor și îngroparea finală, precum și cunoașterea relațiilor post-mortem dintre resturile organice și mediul lor extern. Cercetarea în această direcție aparține domeniului „taphonomiei”, sau celor două ramuri paralele — biostratinomia și studiilor diagenetice ale resturilor organice („Fossildiagenese”). De-abia după elucidarea proceselor suferite de asociatie după moarte, se poate trece la studiul paleoecologic propriu-zis — adică la studiul interconexiunilor

dintre organisme și mediul lor de viață, la cercetarea evenimentelor petrente în intervalul dintre nașterea și moartea organismelor. Conceptul de bază fiind cel al acțiunii reciproce, studiul deci se concentrează asupra cuplurilor de acțiune reciprocă. În cadrul unui ecosistem, sunt posibile numai trei tipuri de interacțiuni (Lawrence, 1971).

Cuplu de coacțiune — ce concretizează relațiile interorganisme, comportamentul, atât în ceea ce privește activitatea de asociere (comportament societal) cât și în privința efectelor coacției asupra comportamentului individual.

Cuplu de reacție — ce insumează totalitatea efectelor organismelor asupra habitatului lor.

Cuplu de acțiune — ce reprezintă căile și modul în care habitatul poate afecta organismele ce-l populează.

Evident, în stabilirea raporturilor dintre elementele receptoare și cele inițiatore dintr-un paleoecosistem, se înregistrează multe pierderi de informație. Principalele pierderi se datoresc neconservării; la acesta se adaugă pierderile prin transport post-mortem. Din analiza comunităților actuale s-a constatat că între 7 și 67 % din speciile ce alcătuiesc biocenozele, au corpuri moi, deci sunt susceptibile de a avea potențial mic, sau nul, de conservare. Dacă ținem seama de faptul că fiecare element al biocenozei este un emițător de informație, pierderile de informație prin neconservare de-a lungul timpului, sunt foarte mari.

Stabilirea numerică și grafică a gradului de saturare, de complexitate a biocenozei, aprecierea echitabilității sau inechitabilității repartiției speciilor în biocenoză, se realizează prin calcularea entropiei de structură (inversul informației). Hărțile de entropie relativă construite pentru ecosistem, pun în evidență în mod sugestiv și punctele de maxim sau de minim de informație.

Pe de altă parte însă, imaginea reconstruită poate să fie deformată de redundanță, de apariția semnalelor duble sau multiple (ex. prezența scheletului conservat al organismului dar și a urmelor activității sale vitale), ce îngreunățează recunoașterea și analizarea asociatiilor de fosile.

În reconstituirea habiteelor și habitatelor de viață ale organismelor, nu se poate face o paralelizare strictă cu comportamentul faunelor actuale sau cu mediile actuale; acestea s-au schimbat în timp, iar admiterea a priori a ciclurilor naturale suprapuse, neschimbate în timp, statice, ar echivala în ultimă instanță, cu negarea evoluției. Desigur ecologia poate furniza date prețioase pentru înțelegerea mecanismelor relațiilor din cadrul ecosistemului, dar aceasta nu implică similaritatea riguroasă cu

paleoecosistemele; cel mult poate constitui o direcție a ariei de cercetare către problemele cheie.

3.2. Studiul taphonomic. Dintre cele două tipuri microfaciale descrise în capitolul anterior, microfaciesul biosparitic este mai interesant, permitând reconstituirea transformărilor petrecute în intervalul dintre moartea organismelor și îngroparea lor finală, în ultimă instanță istoria lor diagenetică.

a) Stadiul predepozitional. Materialul detritic cochilifer și algal suferă un proces de fosfatizare. Un asemenea proces este posibil în condițiile circulației unor soluții cu pH redus într-un mediu saturat cu apă dulce, atunci cînd materialul cochilifer rămîne expus subacvian în etapele de custasie negativă. Într-o ipoteză alternativă fenomenul de fosfatizare poate avea loc și în mediul marin la adâncimi de 50–200 m, în ape reci ascendente cu pH scăzut (Gibson, 1967).

Gradul deosebit de fosfatizare al resturilor de moluște comparativ cu al algejor își găsește explicația în aceea că primele sunt constituite dominant din aragonit (foarte susceptibil), iar celelalte din calcit magneziian. În cazul detritusului algal apare mareat fenomenul de recristalizare (degrading recrystallization). Dintre foraminifere au fost afectate de fosfatizare numai cele bentonice, prezente în masa sedimentului în acest timp.

Tot în acest stadiu este posibil să fi avut loc introducerea magneziului în sediment, eventual anterior fenomenului de fosfatizare, deoarece se știe că fenomenul are ca efect o sporire a porozității, favorabilă difuzării în masa materialului detritic a soluțiilor fosfatice sub formă de filme interstitiale. Introducerea magneziului în sediment, în cazul în care fenomenul a avut loc subacvatic poate fi pusă în legătură cu descompunerea bacteriană a materiei organice care are drept rezultat creșterea alcalinității apelor de fund pînă la valoarea critică pentru precipitarea neni-formă și în cantități reduse a mineralelor cu magneziu (G. V. Chilingar, H. J. Bissel și K. H. Wolff). Prezența corallinaceelor calcitice magneziene constituie un indiciu privitor la un furnizor posibil de magneziu în sediment.

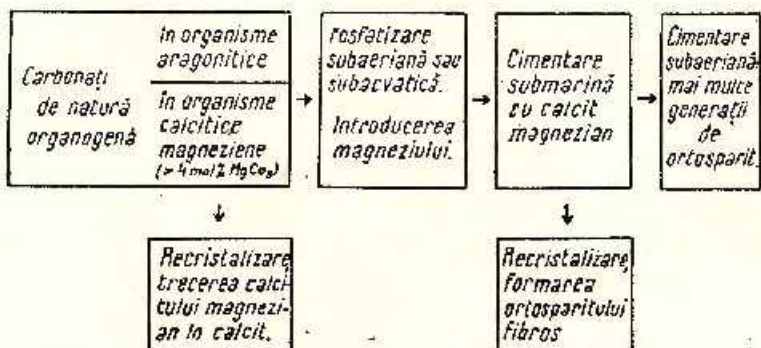
b) Stadiul singenetic. În substațiul sindepozitional – prediagenetic are loc acumularea nisipului organogen de moluște, foraminifere bentonice și alge, a siltului cuarțos, a foraminiferelor planctonice, în condițiile unei sortări mecanice. Este posibil ca poletele fecale să fie produsul unor organisme autohtone. Acest lucru este sugerat de faptul că nu au fost afectate de procese de fosfatizare. Pe de altă parte, par a lipsi dovezile directe

privind prezența unui organism pe seama căruia ar putea fi puse, în accepția că întreaga masă organică fosfatizată este allohtonă. Tot în acest stadiu s-au format și perforațiile algale fine care afectează unele cochilii și care sunt colmatate cu micrit. Asemenea perforații pot apărea numai în zona de fotosinteză.

c) Stadiul diagenetic. Substadiul sincimentare. Ortosparitul fibros prezent mai frecvent în varietatea algală, cu o porozitate originală mai mare, arată că cimentarea sedimentului a debutat subacvatic, cimentul fiind foarte probabil un calcit magneziian (cu peste 4 mol % $MgCO_3$) depus din soluțiile interstitiale. Cimentarea a fost definitivată în stadiul epidiagenetic (subaerian) cind în spațiile intergranulare și în druze a precipitat calcitul sparitic limpede.

În substadiul postcimentare au loc procese repetitive de formare a cavitațiilor de solvare (prin procese fizice) și de colmatare a acestora cu ortosparit granular cu granulație din ce în ce mai mare spre centrul cavitațiilor.

Pe scurt, istoria diagenetică a calcarenitelor bessarabiene poate fi redată prin următorul model paragenetic.



3.3. Studiul paleoecologic. Înainte de a trece la discutarea interconexiunilor din cadrul paleoecosistemului, credem că este bine să facem unele precizări. Aria restrinsă pe care s-a făcut studiul și caracteristicile faciesului care conține fauna, n-au permis decât surprinderea unui moment din dezvoltarea în spațiu și timp a faunei sarmatiene. Aceste motive, la care se adaugă pierderile prin neconservare, au contribuit la faptul că inventarul faunei din regiune este departe de a reprezenta totalul speciilor din Sarmatianul mediu.

Studiile efectuate asupra asociațiilor actuale, au demonstrat că în inventarierea faunei dintr-o regiune, în afara criteriilor cunoscute,

trebuie să se mai ia în considerare cel puțin doi factori biologici importanți : unul un atribut al populațiilor speciilor și altul un atribut al comunităților.

Aproape toate populațiile unei specii nu au distribuție neregulată sau fortuită, ci sunt grupate în petece. Aceste petece sunt variabile pe verticală și orizontală, variabilitatea lor fiind funcție de multe cauze.

Comunitățile naturale sunt alcătuite din cîteva specii cu număr mare de indivizi și din ocorențe rare de exemplare a celorlalte specii din ecosistem. Distribuția spațială ca și abundența relativă a speciilor în cadrul comunității, urmează o distribuție lognormală. În studiu lor, trebuie să se mai țină seama și de faptul că, la probare, organismele rare ocorente pot fi omise din cauza unei relații inverse între acumularea în petece și abundență (Warrene, 1967).

În discutarea interconexiunilor din cadrul paleoecosistemului cercetat, vom insista mai mult asupra cuplurilor de acțiune și de coacțiune. Nu vom reveni asupra dovezilor cuplului de reacție — varietatea dominantă algală a biosparitului și contribuțiile fecale la substratum (faecal pellets) — deoarece au fost analizate pe larg mai înainte.

Cuplul de acțiune se manifestă prin controlul exercitat de habitat asupra organismelor ce-l populează. Întregul complex al parametrilor fizici și chimici ai biotopului, determină distribuția și menținerea comunităților de viață.

Cuplul de coacțiune intervine la nivelul indivizilor speciilor sub formă relațiilor intra și interspecifice, a habitelor de nutriție, a grupărilor, etc.

În regiunea studiată, compoziția asociației de faună și condițiile de facies sugerează existența unei biocoenize bentale dezvoltate într-o zonă limitată a platformei continentale, cel mai probabil în zona infralitorală, cu acces limitat la marea deschisă (inner shelf).

Numărul relativ mare de specii și abundența indivizilor prin care acestea sunt reprezentate, atestă existența unui regim oarecum stabilizat al salinității apelor.

Prezența florei algale bentonice, indică un conținut relativ ridicat în oxigen al apei marine, iar existența lamelibranhiatelor cu sinus profund — ce trăiau afundate în substrat — demonstrează că limita potențialului de oxigen, trecea prin interiorul substratului. Compoziția asociației de viață sugerează existența unui bogat benthos scsil alcătuit în special din alge, ce formații adesea pajiști submarine, sursa principală de hrănă a moluștelor fitofage.

În structura trofică a ecosistemului, algele reprezintă producătorii; celelalte organisme se încadrează în grupa consumatorilor primari și secundari. Clasificarea pe grupe funcționale însă, nu este strict delimitată; majoritatea organismelor pot fi încadrate în două sau trei grupe funcționale.

Din punctul de vedere al habitului de nutriție lamelibranhiatele din fauna studiată, intră în categoria consumatorilor primari. Sunt moluște predominant fitofage, hrana de bază fiind alcătuită din fibre vegetale, diatomee, dar și bacterii, protiste, etc. Reprezentanții genurilor *Musculus* și *Mytilus*, trăiau fixați temporar prin intermediul bisnusului. Odată epuizată sursa de hrănă, își rupeau bisnusul, și se deplasau la o distanță oarecare unde se fixau din nou. Aceeași comportare o au toate lamelibranhiatele cu mușchii aductori sensibil încălzi și lipsito de sinus (organisme epibionte). Celelalte lamelibranhiate semnalate — *Ervilia*, *Cardium*, *Irus*, *Mactra* — la care existența sinusului indică prezența sifoanelor retractile, își duc viața afundată în substrat la adâncimi variabile (organisme endobionte).

Gasteropodele, organisme epibionte în general, au regim alimentar mai larg, omnivor, iar în ciclul trofic se situează în grupa consumatorilor primari și a consumatorilor secundari. Regimul preferențial de hrănă este indicat de gradul de dezvoltare al rădulei.

Gasteropode consumatori primari în fauna studiată, sunt reprezentanții genului *Acmaea* ce au ca hrănă de bază algele roșii (*Lithothamnium*), ai Trochidelor — genul *Gibbula* în special — ce se grupează în turme, preferind ca hrănă algele verzi; reprezentanții genurilor *Rissoa* și *Retusa* ce utilizează elementele pleustonului ca adăpost și hrănă (*Zostera*). *Hydrobia* prezintă un mod de nutriție combinat: pelagic în timpul fluxului și bentonic în timpul refluxului, cind se scufundă în substrat și ingerează hrana. Gasteropodele fitofage însă, își completează hrana cu elemente ale meroplantonului, în special cu larvele veligere ale lamelibranhiatelor.

Gasteropodele din grupa consumatorilor secundari, sunt predominant zoofage. Astfel hrana de bază a Buccinidelor o alcătuiesc celelalte moluște, în special lamelibranhiatele, dar funcționează uneori și ca saprofage, în sensul că pot consuma materie organică moartă bivalve, crustacei, pești. Un mod de viață deosebit îl duce *Odostomia* ce trăiește ca ectoparazită pe corpul altor moluște, pe polichete sau echinoderme.

Din cele expuse se constată că în paleoecosistem, cuplul de coacțiune la nivelul indivizilor speciilor, se manifestă sub forma relațiilor antagonice de formă prădare, jertfă — răpitor (- +), parazitism (+ -).

de neutralitate (0 0), de allotrophie (0 +) și sub forma relațiilor de competiție — allolimie (0 —).

Din ansamblul de criterii abiotice și biotice discutate, se poate trage concluzia că asociația de faună bessarabiană studiată, s-ar încadra la limita comunităților fosile reziduale (sau triate) din clasificarea Fagertstrom. În această concepție, comunitățile fosile reziduale prezintă o altă reație destul de mare înainte de ingropare, în sensul că, din comunitatea de viață originală au fost îndepărtați selectiv cochiliile mici, goale, ale speciilor bentonice și pelagice. Proprietățile hidrodinamice ale scheletelor organismelor fiind foarte deosebite, sortarea, realizată de curentii de competență scăzută ce circula la nivelul substratului, a determinat o acumulare preferențială a cochiliilor mai grele, în habitatul de origină. De fapt rezultatul este o reminiscență a unei comunități fosile, din care toate cochiliile mici originale au fost transportate.

Un argument în plus în favoarea transportului minim, implicit în favoarea existenței unei comunități fosile reziduale, este constatarea la lamelibranhiațe a unei valori ridicate a ratei cochiliilor articulare la dezarticulate, în special la genul *Irus*, iar la gasteropode, conservarea perfectă a ornamentației cochiliilor.

Făță de asociația fosilă transportată indigenă din concepția Craig, se deosebește prin: compatibilitatea ecologică a speciilor semnalate, prin apariția asociației în roci fin granulare sau carbonatice (turbulență redusă local) mai mult sau mai puțin lipsite de structuri sedimentare și prin lipsa dovezilor de transport (abraziune, zdrobită, alterarea cochiliilor).

Pentru ideia unei asociații fosile transportate indigene ar pleda numai condițiile de fosilizare — gradul diferit de diagenizare a organismelor. Nu trebuie uitat însă că microorganismele având testul ușor, au putut fi reluate de multe ori și menținute în suspensie, de curentii ce circulau la nivelul substratului, pe cind cochiliile de moluște, mai grele, au rămas în loc. Pe de altă parte, există o susceptibilitate diferențială la schimbările chimice ale testului. Moluștele prin natura chimică a scheletului au fost mult mai susceptibile la fosfatizare, pe cind microfauna chiar la un conținut de 16–17% în P_2O_5 a sedimentului, nu prezintă fosfatizări complete (vezi Gibbs, 1967).

Entropia de structură s-a calculat prin aplicarea funcției Shannon-Wiener (Peltó, 1951).

$$H_s = - \sum_{i=1}^n p_i \ln p_i$$

Valoarea obținută pentru cele 900 exemplare ce corespund la 71 de specii este: $H_s = 2,788$.

Entropia de structură relativă exprimată ca procentaj ar fi în acest caz: $100 H_s = 65$. Această cifră indică existența unui ecosistem multi-component și eterogen, relativ stabil alcătuit din destul de mulți risipitori de energie, deci și de emițatori de informație. Maximum entropic, deci minimum de informație, s-ar putea realiza numai în cazul conservării tuturor speciilor din biocenoză și a prezenței lor în abundență egală. Așa cum s-a amintit mai înainte însă, distribuția spațială ca și abundența relativă a speciilor într-o comunitate de viață urmează o distribuție lognormală, deci apariția speciilor cu număr egal de indivizi este un lucru imposibil. Pe de altă parte deși informația nu-i minimă, prin probări repetate nu s-ar extrage multă informație în plus, deoarece la cele spuse mai sus se adaugă pierderile prin neconservare și transport. Un maxim informational, deci un minim entropic, s-ar realiza numai în cazul unui excepțional al unei faune fosile monotypice — alcătuită din indivizii unei singure specii. Un asemenea tip ar aparține în mod categoric unei asociații fosile transportate.

Urmărirea cuplurilor de interacțiune poate fi extinsă la nivel de etaje, contribuind la elucidarea mecanismelor ce dirijează formarea asociațiilor sau distrugerea lor.

Schimbările condițiilor fizico-geografice survenite în bazinul Paratethysului, către finele Badenianului, au condus la remanierea compoziției și structurii ecosistemului. Aceasta s-a concretizat prin dispariția bruscă și treptată a formelor stenohaline și instalarea primelor stadii ale unei succesiuni ecologice secundare pe fondul unei biocoze alcătuite din supraviețuitorii formelor cu limite mai largi de toleranță la modificarea compoziției apelor. Concomitent cu acest proces, s-a produs o schimbare substanțială anatomică și morfologică a formelor deja existente, pînă la elaborarea unui număr însemnat de specii noi și chiar de genuri noi. În condițiile îndulciri progresive a apelor bazinului, unele forme marine deja adaptate, nu au rezistat cedind locul formelor imigrate. Acestei faze de eceză din succesiunea ecologică, îi urmează faza de competiție, de luptă pentru acapararea noului habitat, de ocupare a nișelor ecologice.

În bazinul dacic, la începutul Sarmatianului inferior, s-au menținut o serie de moluște marine: *Loripes*, *Ostrea*, *Clavatula*, *Ocinebrina*, *Natica*, *Pirenella*, *Cerithium*, etc., la care obligația de a se adapta condițiilor de îndulcire se concretizează în ușoare modificări morfologice. Alături de acești supraviețuitori, se remarcă popularea rapidă cu reprezentanții

imigrati ai genurilor *Cardium*, *Mactra*, *Abra*, *Ervilia*, *Mohrensternia*, *Dorsanum* etc.

Populările domeniului au fost fără îndoială interdependente, în sensul că limitările ariei specifice ale fiecărei specii, au fost funcție directă de condițiile de mediu, de concurență și de aria specifică a speciei ce i-a servit de habitat sau hrană.

În studiile sale asupra dezvoltării faunei miocene, V.P. Kolesov, dă cîteva exemple ce confirmă interdependența speciilor situate pe același nivel trofic, precum și exemple de incompatibilitate ecologică din pricina competiției.

La începutul Sarmatianului inferior, în bazinul euxinic, coexistau reprezentanții speciilor imigrate *Abra reflexa* (Eichwald) și *Ervilia dissita* Eichwald. Către sfîrșitul Sarmatianului inferior *Ervilia dissita* se dezvoltă vertiginos, se răspindește cu rapiditate și se comportă ca o specie politipică, dând o serie de subspecii prin allopatrie. Explicația este simplă. *Ervilia dissita* cu potențial ecologic mai ridicat, cu habit de hrană similar cu al speciei *Abra reflexa*, a intrat în concurență cu aceasta, i-a ocupat treptat nișa troficeă, limitîndu-i aria de populație pînă la dispariție. În partea mediană a Sarmatianului inferior *Abra reflexa* a fost obligată să părăsească zonele de apă puțin adincă și să se refugieze în zonele de apă adincă, unde a mai rezistat pînă la începutul Sarmatianului mediu.

La sfîrșitul Sarmatianului inferior, *Ervilia dissita* a fost înlăturată prin subalimentație, de populațiile genului *Irus* în plină dezvoltare, ale cărui specii extensive au atins în scurtă vreme limitele domeniului lor potențial. În Sarmatianul mediu *Ervilia dissita* găsește un refugiu de scurtă durată, alături de *Abra reflexa*, în zonele de apă mai adincă, unde ambele specii se mai păstrează un timp ca forme relicte.

Lupta pentru acapararea nișei trofice în cazul genurilor *Abra*, *Ervilia* și *Irus* reprezintă un exemplu de cuplu de coacțiune de tip allolimie la nivel de populații.

Comportarea multor specii sarmatiene ca specii „cryptogene” nu este un fenomen izolat. Populațiile cu structuri noi, născute dintr-o hibridație sau din altă cauză a variației, sau populațiile supraalimentate ca urmare a unei schimbări în echilibrul biogeografic prezintă în general tendință de creștere numerică rapidă, de extindere bruscă a ariei specifice, de polimorfism. Creșterea numerică este neconitenită în special la fitofage, a căror voracitate este cunoscută, atât timp cît acestea beneficiază de cantități mari de hrană și nu intră în competiție cu speciile situate pe același nivel trofic. În cazul apariției concurenței cu speciile situate

pe același nivel trofic, speciile supraalimentate sunt dezavantajate. Nu se pot adapta lipsei de hrana și de obicei pier bruse sau în cazuri mai rare, schimbă habitat. Acesta este unul din motivele pentru care faunele de adîncime își trag originea din faune mai vechi litorale.

În Sarmatianul mediu o dată cu stabilizarea regimului de salinitate, a avut loc dispariția treptată a formelor marine tipice și adaptarea perfectă a faunei imigrate. Condițiile propice de mediu au determinat — paralel cu creșterea numerică rapidă a populațiilor — apariția unei enorme variabilități intraspecifice. Se constată o dezvoltare explozivă a genurilor politipice *Cardium*, *Mactra*, *Irus*, *Gibbula*, *Calliostoma*, *Dorsanum* etc. Nu este exclus însă, ca numărul foarte mare de specii citate în Sarmatian mediu, să se bazeze doar pe o concepție artificială asupra existenței unor genuri politipice; s-ar putea că în realitate genurile să fi fost reprezentate doar prin cîteva specii polimorfice. Cu alte cuvinte o variabilitate intraspecifică ce poate conduce cel mult la separarea unor subspecii prin allopatrie, să fi fost apreciată eronat drept caracter diferențial între entități specifice. Din păcate criteriul separator — principiul sterilității interspecifice — nu poate fi utilizat în paleontologie. Lipsa de informații asupra patrimoniului genetic, trebuie înlocuită cu studiul căt mai amănuntit al cîmpului de variabilitate al cochiliei și cu demonstrarea că din punct de vedere taxonomic caracterele sale ocupă o poziție suficient de depărtată de cîmpul de variabilitate al speciei vecine. La aceasta se mai adaugă comparația cu exemplul oferit în sistematică de grupul viu cel mai apropiat.

În cazul faunei fosile, variabilitatea remarcată în cadrul populațiilor despărțite de un interval de timp suficient de mare poate oglindî o reală segregare în specii diferite sau în nivele taxonomicice diferite.

În Sarmatian datorită instabilității regimului de salinitate pot fi urmărite ușor modificările în evoluția unor genuri și specii.

Schemele singenetice de dezvoltare ale genurilor *Irus* și *Mactra* date de V.P. Kolesnikov pentru bazinul ponto-caspic, pot fi extinse și la bazinul dacic.

În acceptiunea lui V.P. Kolesnikov, *Irus modestus* (D'Orbigny) pătruns în bazinul ponto-caspic în Konka, a fost înlocuit în Sarmatianul inferior de *Irus aksajicus* (Bohg.). La sfîrșitul Sarmatianului inferior și începutul Sarmatianului mediu, *Irus aksajicus* a fost înăbușit de specia desprinsă din el *Irus italicus* (D'Orbigny), cu forma de apă adâncă *Irus naviculatus* (Anderson) și forma de țărm și apă puțin adâncă *Irus tricuspidatus* (Eichwald). La partea medie și superioară a Sarmatianului mediu, se remarcă predominantă speciei *Irus gregarius*, descendenta din *Irus*

tricuspius și apariția subspeciei prin allocronie *Irus vitalianus mediosarmaticus* (Kolesnikov). Genul *Irus* nu rezistă îndulciri progresive a apelor și se stinge la inceputul Sarmatianului superior.

O dezvoltare asemănătoare — prin radiație adaptivă — semnalează Kolesnikov pentru genul *Mactra*. Din *Mactra basteroti* Laskarev, în Sarmatianul inferior s-a desprins *Mactra eichwaldi* Laskarev, care a populat zonele de țărm și cele cu apă puțin adincă. În Sarmatian mediu se dezvoltă din *Mactra eichwaldi*, înăbușind-o, specia *Mactra fabreana* d'Orbigny și în zonele de apă adincă, grupa independentă puternică modificată de *Cryptomactra*. La partea inferioară a Sarmatianului mediu, *Mactra fabreana* se comportă ca o specie polimorfă, pentru că la partea superioară prin radiație adaptivă să elaboreze o serie de specii independente: *Mactra pallasi* Bayli, *M. subvitaliana* Kolesnikov, *M. vitaliana* d'Orbigny, *M. tapesoides* Sinzow, *M. georgei* Bayli, etc., pentru zonele de țărm și apă puțin adincă. În zonele de apă adincă apare *Mactra urupica* și se menține *Cryptomactra*. În condițiile de puternică îndulcire a mării în Sarmatian superior, aproape întreaga faună de moluște este reprezentată prin mactre desprinse din speciile sarmatian medii.

În accepțiunca nomenclaturii actuale a formei *Mactra vitaliana* ținem să remarcăm o incompatibilitate. În lucrările mai noi este semnalată apariția subspeciei *Mactra vitaliana eichwaldi* în Sarmatian inferior, iar în Sarmatian mediu sunt citate formele *Mactra vitaliana fabreana* și *Mactra vitaliana vitaliana*. O specie poate da subspecii prin allopatrie sau allocronie, iar la acestea în timp, segregarea caracterelor taxionomice poate deveni atât de evidentă încit să motiveze considerarea subspeciilor drept origină a unor specii noi, total diferite de specia mamă. În nici un caz însă, o subspecie nu poate conduce evolutiv la specia care ar fi trebuit să-i dea naștere. Deci *Mactra vitaliana eichwaldi* putea să fie originea oricărei alte specii, numai a speciei *Mactra vitaliana vitaliana*, nu. În consecință, credem că este corect ca cele trei forme *Mactra eichwaldi*, *M. fabreana* și *M. vitaliana* să se mențină la rangul de specie.

4. Concluzii

Sarmatianul din zona Zmeuratu este alcătuit din două complexe litologice: primul de vîrstă buglovian-bessarabian inferioară și cel de al doilea, bogat fosilifer, atribuit Bessarabianului mediu-Kersoniarului. Obiectul lucrării 1-a constituit calcarenitul din baza complexului superior, din care au fost recoltate 68 specii de moluște.

Calcarenите bessarabiene de la Zmeuratu синт репрезентате прн două tipuri microfaciale: pelsparit cu rare фрагменти de moluște și biosparit, care au пus in evidență o interesantă parageneză mineralogică. Interpretarea modelului paragenetic a stat la baza considerațiilor taphonomicе care reconstituie transformările petrecute in intervalul dintre moartea organismelor și îngroparea finală. Aceste transformări țin de stadiile predepozițional, singenetic și diagenetic. În stadiul predepozițional a avut loc fenomenul de fosfatizare și introducerea magneziului în sedimentul cochinifer precum și fenomenul de recristalizare. În stadiul singenetic are loc sărarea mecanică a sedimentului și incrustarea cu alge perforante. În stadiul diagenetic are loc precipitarea subacvatică a ortosparitului fibros și procese repetitive de formare a cavităților de solvare și colmatarea lor cu ortosparit granular, în mediul subaerian.

Din punct de vedere paleoecologic, varietatea dominant algală a biosparitului și peletele fecale de gasteropode, reprezintă dovada existenței cuplurilor de reacție.

Totalitatea parametrilor fizici și chimici ai biotopului ce acționează asupra organismelor — prezența unui anumit regim de salinitate al mediu-lui marin (salinastru), de temperatură (mediteraneană-subtropicală), aeriația bună, conținutul ridicat în oxigen al apei marine, turbulența redusă — reprezintă manifestările cuplului de acțiune în cadrul paleoecosistemului.

Se semnalează dovezi ale cuplului de coacțiune la nivel interspecific, sub forma relațiilor jertfă-răpitor, parazitism, neutralitate, allotrofie și allolimie. Aceste cupluri de coacțiune pot fi urmărite în timp, concretizate prin relațiile competiționale de tip allolimie, la genurile *Abra*, *Ervilia* și *Irus*. În Sarmatian inferior se remarcă o creștere a relațiilor competitive dependentă de instabilitatea regimului de salinitate. În Sarmatian mediu, o dată cu stabilizarea relativă a salinității, sursele de hrana devin mai abundente, structura trofică a sistemului tinde să se echilibreze iar relațiile competitive scad în intensitate. Se constată o populație explozivă a biotopului cu specii prin allocronie sau prin allopatrie, rezultate din dezvoltarea prin radiație adaptivă a unor genuri monotypice (*Irus*, *Mactra*, *Cardium*, *Calliostoma*, *Gibbula*). În Sarmatian mediu între speciile sinapatrice ale acestor genuri, relațiile sunt mai curind de neutralitate.

Valoarea entropiei de structură sugerează existența unui ecosistem multicomponent și eterogen.

Analiza comportamentului societal, indică compatibilitatea ecologică a speciilor recoltate.

Din convergența criteriilor abiotice și biotice prezentate rezultă că asociația de fosile din calcarenitele bessarabiene de la Zmeuratu, din punct de vedere paleoecologic, reprezintă o comunitate fosilă reziduală.

BIBLIOGRAFIE

- Chilingar G. V., Bissell H. J., Wolf K. H. (1967) Diagenesis of Carbonate Rocks in Larsen G., Chilingar G. V. (editori), *Diagnosis in Sediments*, Amsterdam.
- Craig G. Y. (1966) Concepts in palaeoecology. *Earth-Science Reviews*, 2, 2.
- Fagerstrom J. A. (1964) Fossil communities in palaeoecology; their recognition and significance. *Geol. Soc. Am. Bull.*, 75, 12.
- Filipescu M. G. (1942) Recherches géologiques sur le nord-ouest de l'Oltenie. *Bul. Soc. Rum. Geol.*, V, București.
- Fontanier F. (1887) Contributions à la faune malacologique des terrains néogènes de la Roumanie. *Archives du Muséum l'Histoire naturelle de Lyon*, IV, Lyon.
- Gibson T. G. (1967) Stratigraphy and paleoenvironment of the phosphatic Miocene strata of North Carolina. *Geol. Soc. Am. Bull.*, 78, 5.
- Hinculov Luciana (1970) Studiul paleoecologic al asociației de faună sarmatiiană de la Sacei, Banat. *D. S. Inst. Geol.* LV, 3, Paleontologie, București.
- Mristescu Elefterie (1942) Sur la transgression du Sarmatiens moyen dans la dépression gétique. *C. R. Acad. Romm.*, V, București.
- Huičă I., Hinculov Luciana (1965) Asupra prezenței unui recif sarmatiian în zonă Schela-Gorj. *D. S. Inst. Geol.*, LII/2, București.
- Kojumardgjeva Em. (1969) Fosile na Bulgaria. Sarmat VIII, *Bulgaria Akad. Nauk*, Sofia.
- Kolesnikov V. P. (1935) Die Sarmatischen Mollusken. *Paleontologija S.S.R.*, X, 2, Leningrad.
- (1948) Singeneticeskie shemă. *Bul. Mosk. ob. ispt. prirodi. ist. geol.*, 23, 1, Moskva.
- Lawrence D. R. (1971) The nature and structure of paleoecology. *Journ. Paleont.* 45, 4.
- Marinescu F. I. (1959) Contribuții la studiul Sarmatiului dintre Dunăre și V. Coșuștea (Oltenia de vest). *Com. Acad. R.P.R.*, 10, IX, București.
- Murgoci M. G. (1908) Terțiarul din Oltenia cu privire la sare, petrol și ape minerale. *An. Inst. Geol. Rom.*, I, București.
- Pelto C. R. (1954) Mapping of multicomponent system. *Jour. Geol.* 62, 5.
- Popescu G. r. (1954) Cercetări geologice în regiunea Govora-Rimnicu Vilcea -Olănești (Depresiunea Getică). *D. S. Com. Geol.*, XXXVIII, București.
- Simionescu I., Barbu I. Z. (1940) La faune sarmatiennes de Roumanie, *Mem. Inst. Geol. Rom.*, III, București.
- Tudor Mira (1955) Stratigrafia și fauna depozitelor tortoniene și sarmatiene dintre Jiu și Oltet. Ed. Acad. R.P.R., București.
- Warmer J. E. (1967) Comparisons of living and dead mollusks in quantitative samples from a coastal lagoon. 7-th. Intern. Sedimentological Congress Great Britain.

**FAUNE A MOLLUSQUES BESSARABIENS DE ZMEURATU
(DISTRICT DE VILCEA). CONTRIBUTIONS A L'ETUDE
TAPHONOMIQUE ET PALEOECOLOGIQUE DE L'ASSOCIATION
DE FOSSILES**

(Résumé)

L'étude géologique effectuée dans la zone de Zmeuratu révèle l'existence d'une riche faune de mollusques d'âge bessarabien moyen cantonné dans les lentilles de calcarénite.

Les dépôts sarmatiens qui comportent deux complexes lithologiques, constituent le flanc septentrional du synclinal de Bodești-colline Teluș-Uricani. Le complexe inférieur constitué de maraes, sables et graviers est faiblement développé et affleure dans quelques points dans la Valea de Brădet. On le considère d'âge buglovien-bessarabien inférieur. Le complexe supérieur, bien développé du côté méridional de la zone investiguée, est constitué de manière prépondérante par des graviers polymictiques, qui par endroits, par cimentation, conduisent à des conglomérats. De manière subordonnée apparaissent des lentilles de sables, grès et argiles. Vers la partie basale du complexe s'individualisent des lentilles de calcarénites fossilifères, dont on a prélevé une riche faune de mollusques (68 espèces, p. 53), qui indique l'âge bessarabien moyen. En conséquence le complexe supérieur est d'âge bessarabien moyen-kersonien.

Les calcarénites bessarabiques sont constituées par deux types de microcristallins : pelspatite à rares fragments de mollusques et biosparite avec deux variétés celle où prédominent les coquilles, et celle où prédominent les algues. Les biosparites contiennent outre les coquilles et les algues aussi des pellets ovoïdes, du quartz silite et des fragments de quartzites. La variété algale contient de fréquentes druses tapissées d'orthosparite fibreux, brun et des cavités de dissolution irrégulières, colmatées de sparite granulaire, claire. Le détritus organogène est constitué de fragments anguleux de mollusques, de foraminifères et d'algues rhodophyceae de type *Lithothamnium*. Le détritus de mollusques et partiellement celui d'algues rhodophyceae ont subi un processus de phosphatation (0,25 % phosphate de calcium dans la roche; 0,15 % dans une coquille) et un enrichissement en magnésium (7,8 % carbonate de magnésium dans la roche et 1,2 % dans la coquille). Les données fournies par DTA montrent que le carbonate de magnésium est fixé dans la roche d'une autre manière que sous forme cristalline. Les transformations subtiles le long du processus de diagenèse (phosphatation, introduction du magnésium, recristallisation) ont conduit à l'effacement intégral de la microstructure originale et à un aspect optique amorphe. Il y a des cas où l'on peut constater différents stades de transformations notamment : des coquilles de lamellibranches chez lesquelles a été affectée tout d'abord la couche externe prismatique, des coquilles de gastéropodes chez lesquelles a été affectée tout d'abord la couche médiane et des algues corallinacées chez lesquelles la substitution n'est pas homogène. Des foraminifères ne sont affectés que ceux sessiles et les miliolidés.

Le microfaciès biosparistique a fourni des données suffisantes qui ont permis la reconstitution des transformations subies par les restes organiques au cours de l'intervalle écoulé depuis la mort des organismes jusqu'à leur enfouissement final. Cette reconstitution revient au domaine de la taphonomie. Il s'agit, brièvement, de la reconstitution de l'histoire du processus de diagenèse des sédiments que l'on peut résumer comme il suit :

a) Au cours du stade prédépositionnel le matériel coquillier, les algues et les foraminifères benthiques ont été sujets à un processus de phosphatation et d'enrichissement en mag-



nésium survenu tant en milieu sphaérien que subaquatique en présence de solutions à pH peu élevé. Le gain en magnésium a, éventuellement, eu lieu avant la phosphatation, car il est bien connu que ce phénomène conduit à augmenter la porosité qui favorise la diffusion dans la masse du matériel détritique des solutions phosphatées sous forme de films interstitiels. Le milieu réducteur a été créé grâce à la décomposition bactérienne de la matière organique, et les fournisseurs possibles du magnésium ont été les algues calcitiques magnésiennes. A cette époque se fait remarquer aussi le phénomène de recristallisation (degrading recrystallization) chez les algues corallinacées.

b) Au cours du stade syngénétique — sous-stade syndépositionnel — a lieu l'accumulation des sables organogènes, du silté quartzeux et des foraminifères planctoniques en conditions d'un triage mécanique. Les pellets ovoïdes, possibles pellets fécales, non affectés par la phosphatation, sont probablement les produits de certains organismes (gastéropodes ?) autochtones. A cette même époque a lieu aussi l'incrustation du matériel coquiller d'algues perforantes dont l'existence est limitée à la zone de photosynthèse.

c) Le long du stade de diagenèse on peut reconnaître deux sous-stades : syncimentaire et postcimentaire. Durant le sous-stade syncimentaire débute la cimentation subaquatique matérialisée par la formation de l'orthosparite fibreux brun plus fréquent dans la variété algale où la porosité originale est plus accusée. Durant le sous-stade post-cimentaire ont lieu des processus répétés de formation des cavités de dissolution (processus physiques) et de colmatage des cavités par l'orthosparite granulaire, de plus en plus grossier vers le centre des cavités.

Au point de vue paléoécologique, la variété prédominante algale du biosparite et des pellets fécales des gastéropodes attestent l'existence des couples de réaction.

Les facteurs physiques et chimiques du biotope ayant exercé une influence sur les organismes dont un certain régime de salinité du milieu marin (saumâtre), de température (méditerranéen-sous-tropical), bonne aération, teneur élevée en oxygène de l'eau marine, turbulence réduite — représentent les manifestations du couple d'action dans le cadre du paléoécosystème. Dans la région examinée l'association faunique et les conditions de faciès suggèrent l'existence d'une biocénose benthique, développée dans une zone limitée du plateau continental, le plus probablement dans la zone infralittorale, avec un accès limité au large (inner shelf).

Le couple de coaction intervient au niveau des individus des espèces, sous forme de relations intra- et interspécifiques, du mode de nutrition, des groupements etc. Dans la structure trophique de l'écosystème les algues représentent les producteurs, les lamellibranches (surtout phytophages) les consommateurs primaires, alors que les gastéropodes représentent les consommateurs primaires, secondaires et saprophages.

Le couple de coaction au niveau des individus des espèces se manifeste sous forme de relations antagoniques de type pillage (genre *Dorsanum*), parasitisme (*Odoslimia*), neutralité, allotrophie et allofémie (*Abra*, *Ervilia*, *Irus*). Nous avons suivi en temps (Sarmatiens inférieur — Sarmatiens moyen), ces couples de coaction qui se concrétisent par des relations compétitives de type allolimie pour les genres *Abra*, *Ervilia* et *Irus*. Au cours du Sarmatiens inférieur on remarque un accroissement des relations compétitives, en fonction, tout d'abord, de l'instabilité du régime de saïnitité. Durant le Sarmatiens moyen, en même temps que la stabilisation relative de la salinité, les ressources en nourritures sont de plus en plus abondantes, la structure trophique du système tend à s'équilibrer et l'intensité des relations compétitives diminue. On constate le peuplement explosif du biotope avec des espèces par allochronie ou allopatrie, résultées du développement par radiation adaptive de quelques genres monotypiques (*Irus*, *Mactra*, *Callistoma*, *Gibula*, *Dorsanum*). Dans le Sarmatiens moyen entre les espèces sympathiques des genres énumérés, les relations sont plutôt de neutralité.

La valeur de l'entropie de structure calculée suggère l'existence d'un écosystème complexe multicomposant et hétérogène.

L'analyse du comportement social indique la compatibilité écologique des espèces récoltées. Il s'ensuit de la convergence des critères abiotiques (étude du processus de diagenèse subi par les restes fossiles, analyse des facteurs physiques et chimiques du bio-topo) et biotiques (rapport entre les valves articulées et celles désarticulées, degré d'altération de la faune, compatibilité écologique de la faune, analyse du couple de coaction) présentés que l'association fossile des calcarénites bessarabienennes de Zmeuratu représente une communauté fossile résiduelle au point de vue paléoécologique.



3. PALEONTOLOGIE

PALAEZOZOLOGIE

LUNADACNA NOV. GEN. IN PONTIANUL DIN BAZINUL DACIC¹

DE

IONEL C. MOTĂŞ, NICOLAE MIHĂILĂ²

Abstract

Lunadacna nov. gen. in the Pontian of the Dacic Basin. *Unio lunae* Voitești = *Phyllocardium planum lunae* (Voitești) apud Wenz represents in fact a new genus, *Lunadaena*, which owing to its characters is referable to the Paradacinae subfamily. The new genus with its type species, *Lunadaena lunae*, represents a fossil index for the Upper Pontian (Bosphorian).

În 1927 Voitești stabilește specia *Unio lunae*. Doi ani mai tîrziu Protescu (1929, p. 12) observă că această specie este un cardiid și nu un unionid.

Krejci-Graf și Wenz (1931) și Wenz (1942), consideră această formă ca o subspecie de *Phyllocardium planum*.

Această atribuire a fost posibilă datorită unor asemănări a suprafeței externe a valvelor și a necunoașterii șarnierei; probabil de asemenea și faptului că specia în cauză se asociază cu *Phyllocardium planum planum*³.

Cu mai mulți ani în urmă unul dintre noi (Motăș) a găsit în Pontianul superior din valea Doftana (Cimpina, județul Prahova) o valvă dreaptă cu șarniera parțial pusă în evidență. De atunci ne-am putut da seama că avem de-aface cu un gen nou. A trebuit însă să fie găsit (Mihăilă) un exemplar cu șarniera complet degajată (valea Slatinei, Blidari, județul Argeș) pentru a putea stabili acest gen nou.

Conform regulilor de nomenclatură denumim noul gen *Lunadacna*, derivat de la denumirea specifică *lunae* a lui Voitești.

¹ Comunicare în ședință din 28 aprilie 1972.

² Institutul Geologic, Șos. Kiseleff nr. 55, București, 63.

³ Din descrierea dată de Voitești (1927) pare să reiasă că autorul a considerat unele forme de *Phyllocardium planum planum* drept forme tinere de „*Unio*” *lunae*.

Fam.: CARDIIDAE Lamarck 1819

Subfam.: PARADACINAE Ebersin 1964

Genul: Lunadaena nov. gen.

Specia tip: *Unio lunae* Voitești 1927

Diagnoză. Cochilie de talie mare sau mijlocie, subțire cu contur oval triunghiular, având 7—9 coaste pe suprafața externă. Reliefate și înguste spre umbone, coastele se largesc și se turtesc spre marginea ventrală a cochiliei. Umbonele mic. Șarniera valvei drepte cu dintă cardinal obsolet.

Diagnose. Coquille de taille grande ou moyenne, mince, ovale-triangulaire avec 7—9 côtes sur la surface externe. Les côtes sont saillantes et étroites vers le crochet et vont en s'élargissant et s'aplatissant vers le bord ventral de la coquille. Le crochet est petit. La charnière de la valve droite avec dent cardinale obsolète.

Dăm în continuare descrierea unicei specii cunoscute în prezent în cadrul acestui gen. Exemplarul nostru servește de neotip, deoarece holotipul este pierdut.

Lunadaena lunae (Voitești)

pl. I, fig. 1a - 1b

1927 *Unio lunae*: Voitești, Contribution à la connaissance des Unionides pontiennes de Roumanie, Rev. Muz. geol.-min. Univ. Cluj, 2, 1, Cluj.

1931 *Phyllicardium planum lunae*: Wenz (în Krejci-Graf und Wenz) Stratigraphie und Paläontologie des Obermiozäns und Pliozäns der Muntenia (Rumänien), Z. deutsch. geol. Ges. 83, 154.

1942 *Phyllicardium planum lunae* (Voitești): Wenz, Die Mollusken des Pliozäns der rumänischen Erdöl-Gebiete, etc. Senckenbergiana, 24, 1—6, Frankfurt am Main, pag. 134, pl. 68, fig. 720.

Neotip: P-9.656, Colecția Institutului Geologic, București.

Locus typicus: Valea Slatinei, Blidari, județul Argeș.

Stratum typicum: Bosphorian (Pontian superior), 2—3 m argile marnease fin nisipoase, micaferă, cenușii-verzui cu: *Limnocardium* (*Tauricardium*) ex gr. *petersi* (M. Hörmanns), *Limnocardium* (*Arpadicardium*) *peregrinum* Ebersin, *Prosodacna* ex gr. *sturi* (Sabbatini Clobb.), *Charcoconcha rumana* (Wenz), *Phyllocardium planum planum* (Des.), *Viviparus neumayri neumayri* Brusina, etc.

Cochilie mare, subțire, oval-triunghiulară, cu convexitate redusă; umbone mic. Prezintă 9 coaste pe suprafața externă. Acestea sunt înguste și bine reliefate în treimea din spate umbone, și devin mai largi și aplăziate către marginea ventrală a cochiliei. Șarniera valvei drepte are dintele



cardinal obsolet; dinții laterali lipsesc cu desăvîrșire. Aria ligamentară deajuns de adincă, îngustă, bine marcată. Lama ligamentară alungită și ascuțită.

Coquille grande, mince, ovale-triangulaire, avec convexité réduite; crochet petit; 9 côtes sur la surface externe qui sont étroites et reliefs vers le crochet et deviennent larges et aplatis vers le bord ventral de la coquille. La charnière de la valve droite avec la dent cardinale obsolète; les dents latérales manquent totalement. L'aire ligamentaire assez profonde, étroite, bien marquée la lame ligamentaire allongée et aiguë.

Dimensiuni (în mm):

Lungimea (l) 56,2; înălțimea (h) 46,2; convexitatea (c) 12,5.

Observații. Specia *Lunadaona lunae* seamănă ca aspectul general cu unele specii de *Paradaona*, cum ar fi *Paradaona stratonis*. La costăție seamănă cu *Paradaona andrusovi*, dar coastele sunt mai puține și cochilia mai plată. Seamănă la costăție cu *Phyllocardium*, dar se deosebește net prin șarnieră. Costăția seamănă de asemenea cu cea de la *Parvidacna* dar șarnicrele sunt diferite. Prin șarniera sa adacnoidă genul *Lunadaona* prezintă analogii cu *Chartococoncha*.

Datorită acestor caractere morfologice, care arată înrudirile sale genul *Lunadaona* trebuie clasificat în subfamilia Paradaeninae.

Mai subliniem în încheiere că genul *Lunadaona* prin specia sa tipă constituie un fosil index pentru Bosphorian (Pontian superior).

BIBLIOGRAFIE

- Fedorzin A. G. (1951) Solonovatnovodni kardiidi plioțena S.S.S.R. Ciasti II. Tr. Paleont. Inst. XXXI, Moscova-Leningrad.
- (1955) Sistema i filogenia solonovatnovodnih kardiid. Vopr. teoret. i. priklad. malacologii. Tezisi doklada, Sb. 2, Moscova-Leningrad.
 - (1967) Solonovatnovodni kardiidi plioțena S.S.S.R. Ciasti V, (Pseudocardillus, Didacmonya, Macradacna), Tr. Paleont. Inst. 112, Moscova.
- Krejci-Graf K., Wenz W. (1931) Stratigraphie und Paläontologie des Obermiozäns und Pliozäns der Munténia (Rumänien). Z. deutsc. geol. Ges. 83.
- Protescu O. (1929) Zăcăminte de cărbuni plioceni din regiunea de curbură a Subcarpațiilor răsăriteni partea I-a, Inst. Geol. St. tehn. și econ., III/6, București.
- Stevanović P. (1950) Les genres de cardides dulcioles: *Parvidacna* n. gen. et *Pterodacna* Andrusov dans les couches pontiques de la Serbie. Bull. Museum d'Hist. Nat. du Pays Serbe, Serie A, livre 3, Beograd.

- Voitești I. P. (1927) Contribution à la connaissance des Unionides pontiennes de Roumanie, *Rev. Muz. geol.-min. Univ. Cluj*, 2, 1, Cluj.
- Wenz W. (1942) Die Mollusken des Pliozäns der rumänischen Erdöl-Gebiete, etc. *Senckenbergiana* 24, 1–6, Frankfurt am Main.

LUNADACNA NOV. GEN. DANS LE PONTIEN DU BASSIN DACIQUE

(Résumé)

Une valve droite de *Unio luna* Voitești = *Phyllicardiam planum luna* (Voitești) — apud Wenz — avec la charnière bien dégagée a permis aux auteurs d'établir un genre nouveau, *Lunadacna*.

Les caractères morphologiques de la coquille (costulation, forme, charnière, etc.) montrent des affinités avec les genres *Paradacna*, *Parvidacna* et *Charcoconcha* et permettent de ranger *Lunadacna* parmi les *Paradacninae*.

Le nouveau genre avec son espèce type — *Lunadacna luna* — constitue un fossile index pour le Pontien supérieur (Bosphorien).

EXPLICATIA PLANSEI

Fig. 1. — *Lunadacna luna* (Voitești), valva dreaptă, suprafață externă, valea Slatinei, Blidari, județul Argeș, Bosphorian (Pontian superior).

Lunadacna luna (Voitești), valve droite, surface externe; vallée Slatinei, Blidari, Dcp. Argeș, Bosphorien (Pontien supérieur).

Fig. 2. — Idem — suprafata interioară.

Idem — surface interne.

J.C. MOTĂŞ, N. MIHĂILĂ, *Lunadaena* nov. gen. din Ponțian.



1



2

Institutul Geologic. Dări de seamă, vol. LIX/3.



Institutul Geologic al României

3. PALEONTOLOGIE

PALEOZOOLOGIE

DOUĂ SUBSPECII NOI DE EUXINICARDIUM ÎN DACIANUL
SUPERIOR DIN MUNTENIA¹

DE

IOAN PAPAIANOPOL²

Abstrăct

Two New Subspecies of *Euxinicardium* in the Upper Dacian from Muntenia. The subspecies described here proceed from the Upper Dacian (Parscovian) deposits of Muntenia, and are localized in the complex of Beds with *Prosodacna (Psilodon) haueri haueri* Cob. Owing to the general features of their ribs these subspecies pertain to the species *subodessae*, differing from the latter by the outline, the form of the umbo, the number and character of the ribs as well as by some peculiarities of the dentition.

Studiul din ce în ce mai detaliat al cardiaceelor pliocene din Bazinul dacic, a pus în ultimul timp în evidență atât existența a numeroase elemente comune cu bazinile învecinate (euxinie și panonie) cât și prezența unor forme noi.

În perioada 1969–1971 am întreprins o serie de cercetări la est de valea Cricovul Sărat, care au avut drept scop studiul biostratigrafic al depozitelor neogen superioare.

În această ocazie, din depozitele Dacianului superior deschise în dealul Belciu Mare (2 km SW de comuna Călărași, județul Prahova), au fost recoltate exemplare a două forme noi aparținând subgenului *Euxinicardium*.

Acestea provin dintr-un pachet de nisipuri fine, cenușii sau ușor gălbui și se găsesc asociate cu *Horiodacna rumana* Sabba, *Limnodacna*

¹ Comunicare în ședință din 3 martie 1972.

² Institutul Geologic – București, Șos. Kiseleff nr. 2.

rumana Papaianolopol et I. Motas, *Prosodacna* (*Prosodacna*) *rumana* (Font.), *Limnocardium* (*Euxinicardium*) *insolidum* Ebers., *Pisidium amnicum* (O.F. Müller), *Dreissena polymorpha* (Pallas), *D. rostriformis* (Desh.), *Viviparus ex gr. rumanus* (Tourn.), *Pyrgula bicincta* Lör., *P. eugeniae* Nem., *Melanoides* (*Stenomelania*) *abcasica* Sen., *Hydrobia spicula* Sabba, *H. syrmica* Neum., *Gyraulus* (*Gyraulus*) *rumanus* Wenz, *G. (G.) inornatus* (Bruns.), *Lithoglyphus amplius* Bruns., *Theodoxus* (*Calvertia*) *rumanus* Sabba, *Bulimus* (*Daciella*) *carinalis valdecarinatus* Wenz.

Pachetul nisipos menționat are o grosime de 0,5–0,6 m și se găsește situat între argile cenușii, cu intercalări de argile cenușii-negricioase, dispuse în bancuri subțiri, care conțin *Prosodacna* (*Psilodon*) *haueri haueri* Cob., *P. (Prosodacna) ex gr. zamphiri* (Cob.), *P. (Prosodacnomya) stenopleura* Sabba, *Pseudocatillus dacianus* Ebers., *Zagrabica reticulata* Sabba și nisipuri galbui, pe alocuri ușor cimentate cu *Prosodacna* (*Psilodon*) *haueri haueri* Cob., *P. (P.) rumana* (Font.), *P. (P.) daciana* Papaianolopol, *Horiodacna rumana* Sabba, *Limnodacna rumana* Papaianolopol et I. Motas, *Pyrgula eugeniae* Nem.

Din succesiunea prezentată se remarcă faptul că subspeciile de *Euxinicardium* ce urmează a fi descrise mai jos, se găsesc localizate în complexul stratelor cu *Prosodacna* (*Psilodon*) *haueri haueri* Cob., deci în Dacianul superior.

Dacianul superior reprezintă intervalul cuprins între Gețian (Dacian inferior – strate cu *Pachydacna*) și Romanian (strate cu unionizi netezi și sculptați, însotiti de viviparide din grupul *bifarinatus*) și este caracterizat de o serie de elemente faunistice proprii cum sunt prosodacnele subgenului *Psilodon* (grupurile *haueri* și *neumayri*), prosodacnele din grupul *zamphiri*, *Horiodacna*, *Limnodacna* (Motas, Papaianolopol, 1972).

Analizând în detaliu numeroase profile ale Dacianului (majoritatea complete), din zona cuprinsă între valea Buzăului și valea Motnăului, Andreescu (1972) pune în evidență individualitatea Dacianului superior ca unitate stratigrafică independentă situată între Gețian și Romanian și propune pentru acesta denumirea de Parsecovian.

După toate probabilitățile, nisipurile în care au fost identificate noile subspecii de *Euxinicardium*, reprezintă un echivalent al nivelului cu limnocardiide, semnalat de Pană (1967) în Dacianul superior de pe valea Plopeasa (bazinele văii Buzăului).

Subfamilia LIMNOCARDIINAE Stoliczka, 1871

Genul Limnocardium Stoliczka, 1871

Subgen. Euxinicardium Ebersin, 1947

Specia tip *Limnocardium subsyrmense* Andrusov, 1903

Limnocardium (Euxinicardium) subodessae munteneiae

Papaianopol ssp. nov.

pl. I, fig. 1, 2

1967 *Limnocardium (Euxinicardium) subodessae* var. *ursina*; I. Pană, pag. 415, pl. II,
fig. 3 și 4.

Holotip: Nr. 9.270 Colecția Institutului Geologic, București.

Derivatio nominis: de la Muntenia, regiunea geografică în care se dezvoltă depozitele ce cuprind această formă.

Locus tipicus: Dealul Belciu Mare, 2 km SW de comuna Călugăreni, județul Prahova.

Stratum tipicum: orizontul nisipurilor cenușii sau ușor gălbui cu *Horiodaena rumana* Sabba, *Limnodacna rumana* Papaianopol et I. Motas, *Prosodaena (Prosodaena) rumana* (Font.), *Limnocardium (Euxinicardium) insolidum* Ebers., *Viviparus ex gr. rumanus* (Tourn.), de vîrstă dacian superioară (Parscovian).

Diagnoza. Valvele de dimensiuni mici, convexe, inechilaterale, cu contur oval-rotunjit. Umbonele mic, prosogir, puțin reliefat deasupra marginii cardinale. Pe cîmpul anterior se întîlnesc 10–11 coaste triunghiulare, netede, diferite ca simetrie. Cîmpul posterior cu 2–3 coaste fine. Șarniera valvei drepte conține doi dinți cardinali, un dintă lateral anterior și un dintă lateral posterior. Valva stîngă are un dintă cardinal și un dintă lateral anterior. Linia paleală întreagă.

Diagnose. Les valves de dimensions petites, convexes, inéquilatérales, avec contour oval-arrondi. Les crochets petits, enroulés, peu saillants sur le bord cardinal. La champ antérieur externe comporte 10–11 côtes triangulaires, lisses, différentes comme symétrie. Le secteur postérieur avec 2–3 costules fines. La charnière de la valve droite présente deux dents cardinales, une latérale antérieure et une latérale postérieure. La valve gauche a une dent cardinale et une latérale antérieure. Impression palliale entière.

Descrierea. Valvele mici, subțiri, inechilaterale, cu contur oval-rotunjit. Marginea cardinală alungită și areu ată are o ramură anteroiară mai scurtă, dreaptă sau chiar concavă și o ramură posterioară mai lungă și ușor convexă. Marginea anteroiară, senită și puternică convexă, se racordează printr-un unghii obtuz-rotunjit cu marginea cardinală și printre-o trecere

rotunjită și treptată cu marginea inferioară, care este alungită și convexă. Marginea posteroară scurtă, slab arcuată sau aproape dreaptă, formează un unghi obtuz cu ramura posteroară a marginii cardinale, iar cu marginea inferioară se unește gradat, printr-o zonă rotunjită.

Umbonele mică, apropiat de marginea anteroară, puțin răsucit, slab reliefat deasupra marginii cardinale, costat.

Coasta care coboară de la umbone în unghiul infero-posterior al valvelor separă un cîmp anterior larg și bombat, de un cîmp posterior ingust și aproape plan.

Cîmpul anterior este prevăzut cu 10–11 coaste netede, destul de înalte, cu secțiune triunghiulară. Ultima coastă a cîmpului anterior (cea care separă cele două cîmpuri) și cea din față acesteia sunt asimetrice, avind flancul posterior mai scurt decât cel anterior. Următoarele 5 coaste sunt simetrice. Cele 3–4 coaste anterioare sunt de asemenea asimetrice, dar de această dată flancul anterior este mai îngust decât cel posterior. Spațiile intercostale, plane și foarte bine delimitate, au lățimea egală sau ceva mai mică decât cea a coastelor învecinate. Atât coastele cît și spațiile intercostale sunt lipsite de orice sculptură, pe suprafața externă a valvelor fiind prezente doar numeroase striuri fine de creștere, mai clar marcate în regiunea spațiilor intercostale.

Pe cîmpul posterior se observă 2–3 costule subțiri, dintre care cea mai bine dezvoltată (înaltă și cu secțiunea transversală triunghiulară) este cea situată în vecinătatea ultimei coaste a cîmpului anterior.

Lunula mică și eliptică. Corseletul alungit și îngust este mărginit de o coastă cu aspect de plin.

Sarniera valvei drepte are doi dinți cardinali, un dintă lateral anterior și un dintă lateral posterior. Dintele cardinal posterior bine dezvoltat, alungit și dispus oblic față de platoul cardinal este separat printr-o fosetă triunghiulară, adincă, de cardinalul anterior care este rudimentar, având aspect de tubercul. Cu toate acestea cardinalul anterior este întotdeauna clar marcat. Dintele lateral anterior, lingual, cu tendință de a se ascuți către partea superioară, este separat printr-un șanț îngust și destul de adinc de marginea cardinală. Lateralul posterior alungit și lamelar. Deasupra lui se găsește o fosetă destul de alungită, dar puțin adincă.

Tițina valvei stîngi conține un dintă cardinal și un dintă lateral anterior. Dintele cardinal, situat sub umbone este mic și ascuțit la partea superioară. În părțile laterale ale acestuia se găsesc două fosete; cea din spate de formă triunghiulară este mai adincă decât cea din față care este mai

slab marcată. Lateralul anterior, lamellar și destul de puțin înalt este separat de marginea cardinală printr-un șanț foarte puțin adânc.

Pe suprafața internă se observă 9–10 coaste, late, separate prin spații care devin din ce în ce mai inguste către partea superioară, pînă se pierd cu totul. Coastele interne nu sunt prevăzute cu un șanț median. Dintre acestea, primele 2–3 se opresc la linia mantalei sau o depășesc cu puțin, în timp ce ultimele 3–4 se ridică mai mult, trecind chiar peste linia care unește impresiunile musculare.

Impresiunea mușchiului anterior rotunjită și superficială; cea posteroară, mai mare, este slab marcată.

Linia mantalei, întreagă, este situată destul de departe de marginea inferioară.

Dimensiuni (în mm) și *raporturi*:

	Lungimea (l)	Înălțimea (h)	Convexitatea (c)	Raporturi	
				h/l	c/h
<i>Holotip</i>	4,9	3,9	1,6	0,79	0,41
	5,0	4,0	1,6	0,80	0,40

Comparări: Subspecia descrisă se deosebește de *L. (E.) subodessae* Sînz., prin numărul mai mare de coaste de pe cîmpul anterior (10–11 în loc de 7–8) și mai mic pe cel posterior (2–3 în loc de 4–5), prin prezența dintelui cardinal anterior pe valva dreaptă ca și prin caracterul ultimelor 3 coaste de pe cîmpul anterior, care la specia lui Sînzov sunt cu mult mai înalte în raport cu celelalte coaste.

Numărul coastelor de pe cîmpul anterior (10–11) și alcătuirea șarnierei valvei stîngi (un cardinal și un lateral anterior) sunt asemănătoare cu ale formei *L. (E.) subodessae* var. *ursina* Eber s., dar subspecia descrisă diferă de aceasta prin numărul costulelor de pe cîmpul posterior (pînă la 6 la var. *ursina*), conturul mai rotunjit al valvelor, umbonele mai mici, mai turtit și mai puțin reliefat ca și prin modul cum se face trecerea dintre marginea anteroară și ramura anteroară a marginii cardinale (la var. *ursina* aceasta se realizează printr-un unghi aproape drept, în timp ce la subspecia *muntaniae* aceasta se face treptat, printr-un unghi obtuz, larg și rotunjit). Nu putem face comparații cu var. *ursina* în ce privește șarniera valvei drepte, deoarece aceasta nu este descrisă la forma euxinică.

Eberzin (1947) arată că *L. (E.) subodessae* var. *ursina* prezintă unele asemănări exterioare cu *Limnocardium ochetophorum* Brus., care are însă coastele anteroare rotunjite și doi dinți cardinali pe valva stîngă.

Din depozitele Dacianului superior de pe valea Plopeasa (bazinul văii Buzăului), Pa nă (1967) descrie ca *L. (E.) subodessae* var. *ursina* E bers., exemplare care prin caracterul și numărul coastelor (11 coaste, 3 costule) sunt identice cu subspecia noastră. În descrierea prezentată (pag. 415) autorul nu face însă nici un fel de referiri la șarnieră. În figurația dată (pl. II, fig. 4), se observă că dintele lateral anterior al valvei drepte are aceeași formă și același grad de dezvoltare cu ceca ce se remarcă la subspecia *munteiae*, dar din păcate nu se poate deduce nici numărul și nici caracterul dintilor cardinali. Partea posterioară a platoului cardinal fiind ruptă nu se pot face observații asupra dintelui lateral posterior.

Prin alcătuirea șarnierei și caracterele costăției, subspecia *munteiae* se apropie de *L. (E.) nobile amicorum* Andrus., de care se deosebește prin conturul rotunjit al valvelor, concavitatea ramurei anterioare a marginii cardinale ca și prin numărul coastelor și costulelor (10–11 și 2–3 în loc de 12–14 și 5–7).

Unele afinități le are și cu *L. (E.) seninski* Andrus., de care diferă prin umbonele mult mai slab dezvoltat ca și prin numărul coastelor de pe cimpul anterior (14 la specia lui Andrusov).

Observații asupra exemplarelor juvenile. Specimenele juvne prezintă aceeași caracter în ce privește costăția și șarniera (cu observația că dintele cardinal anterior al valvei drepte este extrem de redus, uneori chiar indistinct), dar se deosebesc prin convexitatea mai mare a valvelor, umbonele mai proeminent, concavitatea mai accentuată a ramurei anterioare a marginii cardinale ca și prin costulația cimpului posterior mai bine exprimată.

Limnocardium (Euxinicardium) subodessae prahovensis Pa pa i a n o p o l
ssp. nov.
pl., fig. 3–5

Holotip: Nr. 9.271. Colecția Institutului Geologic, București.

Derivatio nominis: de la județul Prahova.

Locus tipicus: Dealul Belciu Mare, 2 km SW de comuna Călugăreni, județul Prahova.

Stratum tipicum: Dacian superior (Parsecian), orizontul nisipurilor cenușii sau ușor gălbui cu *Horiodacna rumana* Sabba, *Limnodacna rumana* Pa pa i a n o p o l et I. M o t a s, *Prosodacna* (*Prosodacna*) *rumana* (Font.), *Limnocardium (Euxinicardium) insolidum* E bers., *Viviparus ex gr. rumanus* (Tourne), *Melanoides (Stenomelania) abchasica* Sen.



Diagnoza. Valve mici, convexe, inechilaterale, cu contur oval-alungit. Umbonele mic, puțin ridicat deasupra marginii cardinale. Cimpul anterior al suprafeței externe este prevăzut cu 8—9 coaste triunghiulare, diferite ca simetrie. Cimpul posterior, ingust, are 3—4 costule fine. Șarmiera valvei drepte are doi dinți cardinali, un dintă lateral anterior și un dintă lateral posterior. Pe valva stângă se remarcă un dintă cardinal și un dintă lateral anterior.

Diagnose. Valves petites, convexes, inéquilatérales à contour oval-allongé. Le crochet petit, peu saillant. Le champ antérieur externe est pourvu de 8—9 côtes triangulaires, différentes comme symétrie. Le champ postérieur étroit est muni de 3—4 costules fines. La charnière de la valve droite comporte deux dents cardinales, une dent latérale antérieure et une dent latérale postérieure. A la valve gauche on remarque une dent cardinale et une dent latérale antérieure.

Descrierea. Valve de talie mică, destul de subțiri, convexe și inechilaterale, cu conturul oval. Marginea cardinală, moderat arcuată, prezintă o ramură anterioară mai scurtă și concavă și o ramură posterioară alungită și ușor convexă. Marginea anterioară scurtă și puternic convexă se unește treptat (printr-o trecere rotunjită) cu marginea inferioară și printr-un unghi obtuz, larg și rotunjit cu cea cardinală. Marginea inferioară alungită și arcuată. Cea posterioară ușor convexă prezintă trecceri gradate către marginea inferioară. La zona de racord dintre marginea posterioară și ramura posterioară a marginii cardinale se observă fie un unghi obtuz, larg și rotunjit, fie o trecere gradată.

Umbonele mic, deplasat anterior, puțin răsucit, costat, slab reliefat deasupra marginii cardinale.

Cimpul anterior larg și convex este separat de cel posterior, mai ingust, ușor convex sau aproape plan, printr-o coastă triunghiulară, care coboară de la umbone în unghiu infero-posterior al valvelor.

Suprafața externă este prevăzută pe cimpul anterior cu 8—9 coaste, înalte și ascuțite și cu 3—4 costule pe cel posterior. Secțiunea coastelor cimpului anterior variază, astfel încât atât coasta principală (cea care separă cele două cimpuri), cât și cea din față acesteia, au flancul posterior mai scurt decât cel anterior. Următoarele 3—4 coaste devin simetrice. Primele 3—4 coaste ale cimpului anterior sunt din nou asimetrice având însă flancul anterior mai scurt decât cel posterior. Spațiile intercostale, late și plane, sunt bine delimitate. Lățimea acestora este în majoritatea cazurilor egală sau cu puțin mai mică decât lățimea coastelor învecinate.

Pe cimpul posterior se observă 3—4 costule fine, dintre care mai clar dezvoltată este cea învecinată ultimei coaste de pe cimpul anterior.

Atât pe coaste, dar mai ales în zona spațiilor intercostale se remarcă existența a numeroase striuri de creștere.

Lunula mică. Corseletul alungit și îngust.

Șarniera valvei drepte cuprinde doi dinți cardinali, un dintre lateral anterior și un dintre lateral posterior. Cardinalul posterior, bine dezvoltat, alungit și dispus oblic față de platoul cardinal, este separat printr-o fosetă adincă de cardinalul anterior, care deși mai rudimentar este clar marcat. Lateralul anterior destul de masiv, lingual, ușor ascuțit la partea superioară este separat de marginea cardinală printr-un șanț alungit, mai adinc în partea sa centrală. Dintele lateral posterior este lamelar, mai îngroșat în partea sa mediană și mai subțiat la extremități. O fosetă alungită separă acest dintă de marginea cardinală.

Pe valva stângă se remarcă existența a doi dinți: un cardinal și un lateral anterior. Dintele cardinal, situat sub umbone, are în spate o fosetă adincă. O altă fosetă, dar mai slab exprimată, se situează în fața acestuia. Lateralul anterior, alungit, este mai slab dezvoltat decât lateralul anterior al valvei drepte. Un șanț alungit și puțin adinc separă dintele lateral anterior al valvei stângi de marginea cardinală.

Pe suprafața internă a valvelor se remarcă existența a 7 coaste, separate de spații înguste. Coastele interne nu sunt prevăzute cu un șanț median. Majoritatea lor se ridică destul de mult, iar cele 2–3 posterioare depășesc chiar linia care unește impresiunile musculare.

Impresiunea mușchiului anterior, de o formă relativ rotundă este destul de bine marcată. Cea a mușchiului posterior, mai mare decât cea anterioară, este superficială.

Linia mantalei, întreagă, este uneori puțin distinctă.

Dimensiuni (în mm) și raporturi:

	Raporturi				
	Lungimea (l)	Înălțimea (h)	Convexitatea (c)	h/l	c/h
<i>Holotip</i>	6,7	5,0	2,0	0,74	0,40
	7,0	5,1	2,1	0,72	0,41
	4,3	3,1	1,3	0,72	0,41

Comparări. Dintre formele cunoscute de *Euxinicardium* se apropie cel mai mult de *L. (E.) subadessae* S i n z., de care se deosebește prin numărul coastelor de pe cîmpul anterior (8–9 în loc de 6–7) și posterior (3–4 în loc de 4–5), prin umbonele mai puțin proeminente și prin prezența dintelui cardinal anterior.

De *L. (E.) subodessae* var. *ursina* E bers., diferă prin numărul coastelor (10—11 pe cîmpul anterior și 5—6 pe cel posterior la var. *ursina*), prin umbonele mai slab dezvoltat și mai puțin reliefat, prin marginea anterioară mai convexă ca și prin forma conturului, mai ales în locul unde ramura anterioară a marginii cardinale se unește cu marginea anterioară (la var. *ursina* aceste două margini formează un unghi).

Se deosebește de *L. (E.) subodessae munteniae* ssp.nov., prin conturul oval-alungit al valvelor, numărul mai mic al coastelor, prin dintele cardinal anterior mai bine dezvoltat, prin marginea anterioară mai convexă, ca și prin coastele mai înalte și mai ascuțite de pe cîmpul anterior.

Observații asupra exemplarelor juvenile. Formele tinere se deosebesc de cele adulte prin convexitatea mai mare a valvelor, concavitatea mai accentuată a ramurei anterioare a marginii cardinale, umbonele mai proeminent și costulația mai bine exprimată pe cîmpul posterior. La acestea, chiar la dimensiuni foarte mici (1,5—2 mm lungime), dintele cardinal anterior al valvei drepte este observabil.

Observații. Prin caracterele generale ale costăției, adică atât prin forma coastelor cât și prin numărul redus al acestora, cele două subspecii de *Euxinicardium* identificate în Dacianul superior, se apropie mult de *Limnocardium (Euxinicardium) subodessae* Sinz.

După cum este bine cunoscut, *L. (E.) subodessae* Sinz. și *L. (E.) subodessae* var. *ursina* E bers. sunt cîtate în Bazinul euxinic din depozite poniene atribuite Novorossianului (Eberzin 1947).

Datele existente în literatură evidențiază faptul că în ceea ce privește alcătuirea șarnierei acestor forme există încă semne de întrebare.

În diagnoza originală a lui Sinzov pentru specia *subodessae* (1877 pag. 63) se arată că: „dentiția este slab dezvoltată și constituită dintr-un dinte cardinal și din doi dinți laterali, ca și din fosetele corespunzătoare pentru fiecare dintre ei” (fide Eberzin 1947, pag. 66).

Așa după cum remarcă Eberzin (1947) marele neajuns al diagnozei lui Sinzov este că nu precizează valva la care se referea acesta, atunci cînd a descris șarniera, astfel încît nu ne putem da seama dacă cei doi dinți laterali sunt prezenți numai pe valva dreaptă sau dacă au fost observații amindoi și pe valva stingă.

Eberzin (1947) pune la indoială prezența unui singur dinte cardinal pe valva dreaptă, arătînd că pe desenul original al lui Sinzov pare să fie marcat și dintele cardinal anterior.

Este util să precizăm că atît Andrusov (1903) cât și Eberzin (1947) care au descris (în realitate au reluat descrierea lui Sinzov)

și figurat specia *subodessae*, nu au avut la dispoziție decât materialul grafic dat de Sinzov, holotipul fiind pierdut. Ca urmare a acestui fapt, figurațiile date de Andrusov (1903 pag. 44 fig. 2; în Izbranie trudi, tom III, pag. 470, fig. 2) și Eberzin (1947, pl. VIII, fig. 2, 3) sunt de fapt reproduceri ale desenelor originale ale lui Sinzov.

Descriind forma *L. (E.) subodessae* var. *ursina*, din Ponțianul inferior (dintr-un foraj amplasat în Caucazul nordic) Eberzin (1947) menționează că „șarniera valvei drepte nu a fost studiată” (pag. 61) și că „nu au putut fi studiate impresiunea mușchiului posterior, linia mantalei și caracterele suprafeței interne” (pag. 61). Se accentuează însă că la această varietate, pe valva stingă în afară de dintele cardinal este prezent un singur dintă lateral (cel anterior).

L. (E.) subodessae Sinz. și *L. (E.) subodessae* var. *ursina* Ebers. au fost destul de frecvent menționate în depozitele pliocene din Bazinul dacic, fără însă a se face observații asupra șarnierei acestora, cu toate că acest lucru ar fi fost deosebit de util, dată fiind lipsa de informații privind structura șarnierei la formele ponțiene.

Lipsa din materialul paleontologic cunoscut pînă în prezent a unor exemplare apropiate de *L. (E.) subodessae* în intervalul Bosphorian-Geian ne împiedică deocamdată să abordăm problemele legate de raporturile filetice ale celor două subspecii identificate în Dacianul superior.

Am considerat totuși că, în ceea ce privește costăția, acestea se apropie atât de mult de formele ponțiene ale grupului *subodessae* (chiar în lipsa unor date exacte referitoare la șarniera celor din urmă) încit separarea lor în calitate de specii independente ar fi avut un caracter forțat, motiv pentru care le-am descris ca subspecii ale speciei *T. (E.) subodessae* Sinzov.

BIBLIOGRAFIE

- Andreeescu I. (1972) Contribuții la stratigrafia Dacianului și Romanianului din zona de curbură a Carpaților Orientali. *D. S. Inst. Geol.* LVIII/4, București.
- Andrusov N. I. (1903) Solonovatovodnie kardiidi. Ciasti I. *Izbranie trudi*, III, Moskva, 1964.
- Eberzin A. G. (1947) Rod Limnocardium Stoliczka v ploșene Ponto-Kaspiskogo basseina. *Trudi. Paleont. Inst.*, XIII, 4, Moskva-Leningrad.
- Motaș L. C., Papaianopol I. (1972) Biostratigrafia succesiunii Meotian-Pleistocen dintră Câlăgăreni și Vadu-Săpat (jud. Prahova). *D. S. Inst. Geol.*, LVIII/4, București.



Pană Ioana (1967) Elemente noi în fauna de cardacee pliocene din bazinul văii Buzăului. *Acad. R.S.R. St. Cerc. Geol., Geof., Geogr. (Geologie)*, 12/2, , București.

DEUX NOUVELLES SOUS-ESPÈCES DE EUXINICARDIUM DANS LE DACIEN SUPÉRIEUR DE MUNTÉNIE

(Résumé)

Les formes décrites dans cette note sont *Limnocardium (Euxinicardium) subodessae munteniae* ssp. nov. et *L. (E.) subodessae prahovensis* ssp. nov., provenant des dépôts sableux d'âge dacien supérieur.

Ces formes ont été trouvées à Dealul Belciu Mare (2 km SW de Călugăreni, Prohova) ensemble avec *Horiodacna rumana* Sabba, *Limnodacna rumana* Papaiopol et Motas, *Prosodacna (Prosodacna) rumana* (Font.), *Limnocardium (Euxinicardium) insolidum* Eber., *Viniparus ex gr. rumanus* (Tourn.), *Melanoides (Stanomeleia) abchasica* Sen.

En décrivant les nouvelles sous-espèces, l'auteur montre les différences entre celles-ci et les formes connues de *Euxinicardium*, qui présentent des caractères comparables.

Les nouvelles formes approchent sensiblement, par les caractères généraux de la costulation de *L. (E.) subodessae* Sinz., s'en distinguant par le contour, le crochet moins saillant, le nombre et les caractères des côtes et par certaines particularités de la charnière.

DISCUȚII

Andreeșcu Ion: Nota de față se inscrie în efortul general al cercetătorilor de a completa inventarul faunistic al terenurilor pliocene din țara noastră. Prin această comunicare mai obținem încă un punct de sprijin pentru corelările atât din cadrul aceluiași bazin de sedimentare, cât și din bazinele diferite. Se știe că reprezentanții și subgenului *Euxinicardium* au mai fost semnalati deja de către Ioana Pană, în depozitele dacian superioare din zona văii Buzăului. Noi am constatat că diverse specii ale acestui subgen se întâlnesc în mod constant în partea superioară a Parcovianului (adică în partea superioară a stratelor cu psilodonti). Anume, euxinicarzii, dau un nivel constant (deci reper) la nivelul cu *Prosodacna (Psilodon) neumayri stefanescui*, începând după cum se vede ceva mai de jos în zona Călugăreni (valea Budureasa) și avansând spre nord pînă în valea Rimnicului, la Lunca. Menționăm că din Kimmerianul euxinic se cunoaște de asemenea unele specii din grupul subodessac. Acest fapt, alături de alte elemente faunistice comune cu cele din Dacianul superior (cum ar fi *Horiodacna*, *Limnodacna*, *Panticapaea* etc.) ne va permite într-un viitor apropiat corelări mai lesnicioase între subdiviziunile Pliocenului din bazinele dacice și euxinic.

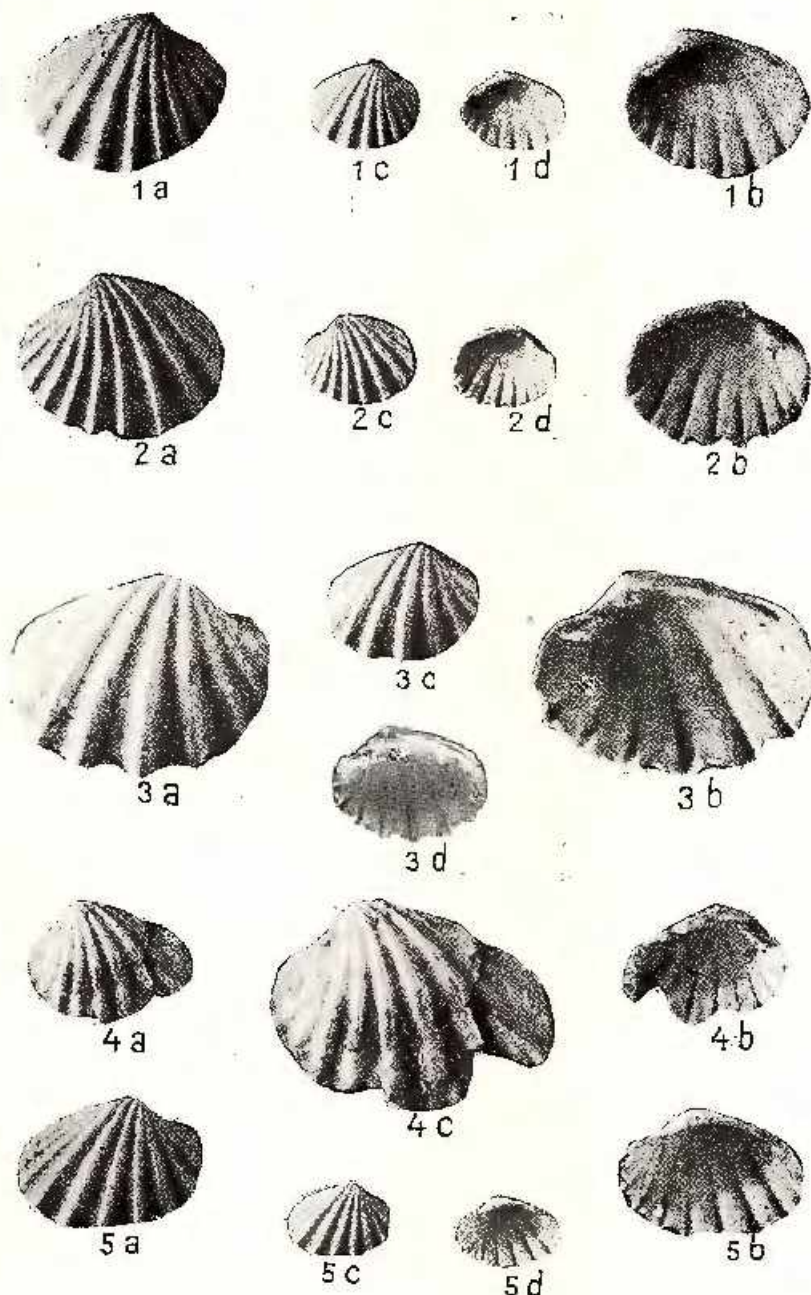


EXPLICATIA PLANSEI

- Fig. 1. — *Limnocardium (Euxinicardium) subodessae muntentiae* ssp. nov., holotip, (1a, 1b \times 5,5; 1c \times 3; d1 \times 2,7), dealul Belciu Mare, Dacian superior (Parsecovian).
- Fig. 2. — *Limnocardium (Euxinicardium) subodessae muntentiae* ssp. nov., holotip, (2a, 2b \times 5,5; 2c \times 3; 2d \times 2,7), dealul Belciu Mare, Dacian superior (Parsecovian).
- Fig. 3. — *Limnocardium (Euxinicardium) subodessae prahovensis* ssp. nov., holotip, (3a, 3b \times 5,5; 3c, 3d \times 3), dealul Belciu Mare, Dacian superior (Parsecovian).
- Fig. 4. — *Limnocardium (Euxinicardium) subodessae prahovensis* ssp. nov., holotip, (4a, 4b \times 3; 4c \times 5,5), dealul Belciu Mare, Dacian superior (Parsecovian).
- Fig. 5. — *Limnocardium (Euxinicardium) subodessae prahovensis* ssp. nov., paratip, (5a, 5b \times 5,5; 5c, 5d \times 3), dealul Belciu Mare, Dacian superior (Parsecovian).



I. PAPAIANOPOL. Subspecii noi de *Euxinicardium*.



Institutul Geologic. Dări de seamă, vol. LIX/3.



Institutul Geologic al României

3. PALEONTOLOGIE

PALEOZOOLOGIE

PREZENȚA SPECIILOR *AUSTINOCRINUS RADIATUS ANTHULA*,
CONULUS ALBOGALERUS KLEIN ȘI *ISOMICRASTER FAASI*
ROUCHADZE, ÎN SENONIANUL ZONEI ALBEȘTI-MUȘCEL
(JUDEȚUL ARGEȘ)¹

DE

GEORGETA TRIFAN²

Abstract

The Presence of the Species *Austinoocrinus radiatus Anthula*, *Conulus albogalerus Klein* and *Isomicraster faasi* Rouchadze in the Senonian of the Albești-Mușcel Zone (Argeș District). In this paper there are described and figured the species *Austinoocrinus radiatus Anthula* and *Isomicraster faasi* Rouchadze encountered for the first time in the Senonian deposits from Romania, Albești-Mușcel Zone.

Cercetările efectuate în anul 1971, în imprejurimile localității Albești ne-au condus la identificarea în depozitele Senonianului, a unor specii de crinoide și echinoide (*Austinoocrinus* și *Isomicraster*), încă nesemnalate la noi în țară.

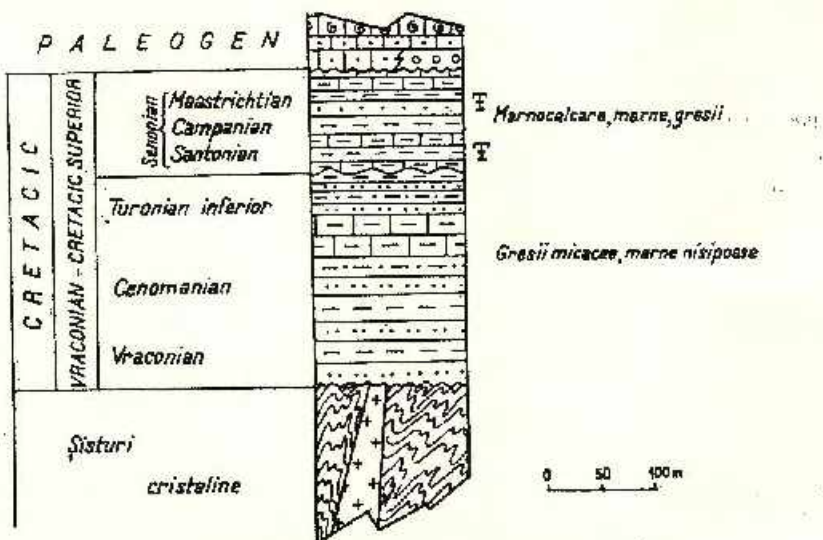
Mentionăm faptul că unele din exemplarele determinate de noi au fost colectate de Lebrun³.

¹ Comunicare în ședință din 23 mai 1972.

² Întreprinderea Geologică de Prospecționi, Str. Caransebeș nr. 1, București.

³ Cecilia Ștefănescu, M. Iavorschi, E. Lebrun, Georgeta Trifan, Constanța Furtunescu, Sofia Luță. Sinteză lucrărilor de cercetare geologică în zona mio-pliocenă și flisol cretacic-paleogen dintr-o valea Doftana și Culmea Vînturarița, pentru gipsuri. (Sectorul văii Bratia – riu Topolog județ Argeș) 1971, Arh. I.G.P. Buc., MMPG.

Pe valca Albeștilor, la ieșirca din localitatea Albești, aflorează depozite marnoase, cenușii ușor breccioase, cu intercalării subțiri de gresii cenușii, calcaroase, din care am colectat și determinat specia *Austinocrinus radiatus* Anthula, asociată cu brahiopodele: *Terebratulina gracilis*



Coloană stratigrafică și litologică a Cretacieului din zona Albești-Mușcel.
Colonne stratigraphique et lithologique du Crétacé de la zone d'Albești-Mușcel.

(Schloeth.) și *Crania* sp. Mai în aval, în versantul stîng al văii, de sub depozitele calcarelor eocene ale vechii cariere Albești, aflorează marnocalcare albicioase, cenușii din care am colectat speciile *Conulus albogalerus* Klein și *Isomicraster faasi* Rouehadze, în asociatie cu: *Spondylus* sp. ex gr. *S. latus* Sow., *Inoceramus* sp. și *Voluta elongata* Sow. Amințim că specia *Conulus albogalerus* Klein citată de noi în Senonianul acestei zone, a mai fost întlnită și în deschiderea din localitatea Albești, cunoscută sub numele de „Izvorul de Leac” împreună cu: *Inoceramus balticus* Bohm și *Micraster coranguinum* Klein.

Speciile citate de noi din această zonă, completează lista fannei care atestă vîrstă Santonian-Maastrichtian, depozitelor ce le conțin.

DESCRIERE PALEONTOLOGICĂ

Încrengătura: ECHINODERMATA

Clasa: CRINOIDEA

Subclasa: ARTICULATA

Ordinul: ISOCRINIDA

Familia: Isoerinidae Gil sen, 1924

Genul: Austinoerinus Loriol, 1889

Austinoerinus radiatus Anthula, 1899

pl., fig. 1

Austinoerinus radiatus Anthula (1899), p. 57, pl. II, fig. 1; Poslavskii H. A. și Moskvina M. M. (1959) p. 241, pl. I, fig. 13–14 și fig. 38, în text.

Descriere. Pe suprafața articulară a placii columnale, circulară, se observă un canal axial foarte îngust, de la care pleacă petalele relativ scurte, triunghiulare. Limbul este lat, cu striuri (coaste subțiri) lungi, grupate cîte două. În intervalul acestora, se intercalează striuri mai scurte, situate la periferia limbului.

Nivel stratigrafic: Maastrichtian.

Citată în Campanianul superior-Maastrichtianul inferior din Caucaz.

Clasa: ECHINOIDEA d'Orbigny

Subclasa: IRREGULARIA Latereille

(= ECHINOIDEA EXOCYCLICA Wright)

Ordinul: HOLECTYPOIDA Duncan, 1889

Subordinul: HOLECTYPINA Duncan, 1889

Familia: Conulidae Lambert, 1911

Genul: *Conulus* Klein (in Leske, 1778)*Conulus albogalerus* Klein (in Leske, 1778)

pl., fig. 2, 3, 4

Conulus albogalerus Klein; Leske (1778), p. 98 pl. XIII, fig. A, B; Mortensen (1948), p. 43, fig. 32; Szörenyi (1955), p. 183, pl. II, fig. 8–12.

Conulus conicus Breynius; Chirlac (1956), p. 78, pl. III, fig. 3 a–3 c.

Conulus albogalerus Klein; Poslavskii H. A. și Moskvina M. M. (1959), p. 251, pl. II, fig. 5 a, b; pl. III, fig. 1 a, b.

Conulus conicus Breynius; Patruilius (1969), p. 206.

Observații: asupra speciei *Conulus albogalerus* Klein, sintem de același parere că Erzsébet Szörenyi (1955), care afirmă că, în general această specie prezintă două varietăți: una conică, zveltă, puternic ridicată și altă varietate mai puțin înaltă. Exemplarele noastre au testul în cca mai mare parte deteriorat, uneori lipsind complet (ex. fig. 3). Exemplarele întlnite de noi, după măsurările efectuate, se încadrează în grupa celor descrise și figurate de Erzsébet Szörenyi (1955).

care sunt mai robuste, în comparație cu cele prezentate de M. Chiriac (1956).

Nivel stratigrafic: Santonian.

Citat în Senonianul din România (Dobrogea și valea Dimboviței), R.P. Ungară, U.R.S.S. (Caucaz), Franța, Anglia, în orizontul cu *Micraster coranguinum* — Santonian.

Ordinul : SPATANGOIDA Ol a u s s, 1876

Subordinul : TOXASTERINA F i c h e r

Familia : Toxasteridae L a m b e r t, 1920

Subfamilia : Micrasterinae L a m b e r t, 1901

Genul : Isomicraster L a m b e r t, 1901

Isomicraster faasi R o u e h a d z e, 1940

pl., fig. 5—6

Isomicraster faasi R o u e h a d z e, (1940), p. 124, pl. 3, fig. 4 a—c; P o s l a v s k i i H. A. și M o s k v i n a M. M., (1959), p. 285, pl. XXIII, fig. 1 a—g, în text fig. 100 A, B.

Descriere: cochlia puțin deformată, păstrează totuși caracterele necesare determinării specifice. Fața aborală are un aspect conic, iar cea orală este aproape plană. Partea anteroară are o brazdă adâncă, cea posterioară, slab convexă are profil oblic și este puțin alungită. Zonele ambulaclare petaloide, adânci și relativ lungi. Orificiile bulce și anal nefiind conservate, nu le putem descrie.

Dimensiuni: lungime = 58 mm ; lățime = 55 mm ; înălțime = 37 mm.

Nivel stratigrafic: Santonian.

Citat în Santonianul din Kopet-Dag și Campanianul Transcaucaziei.

BIBLIOGRAFIE

- Chiriac M. (1956) Contribuții la cunoașterea faunei de echinoide cretacice din Dobrogea de Sud. *Bul. st. secf. geol. și geogr.* I—2, p. 72. Ed. Acad. București.
- Mortensen Th. (1918) A monograph of the Echinoidea, IV, 1, Holotypoida, Cassiduloida. Copenhaga.
- Orbigny A. d' (1853—1860) Paléontologie Française. Terrain crétacé, 6, Paris.
- Patruțiu D. (1969) Geologia masivului Bucegi și a coloanei Dimbovițoara, Ed. Acad. București.
- P o s l a v s k i i H. A., M o s k v i n a M. M. (1959) Atlas verhnemelovoi fauny severnovo Kavkaza i Krimsa. Echinodermata; Tradit VNIIGAZ Moskva.



Szörényi Erzsébet (1955) Echinides crétacés de la Bakony, *Geologica Hungarica s. paleontologica*, 26, Budapest.

Tătarim Niță (1963) Contribuții la studiul faunei cretacicului superior de la Albești (NW Cimpulung-Muscel). *Anal. Univ. București, Ști. Naturii, geol. geogr.*, 36. București.

**PRÉSENCE DES ESPÈCES AUSTINOCRINUS RADIATUS
ANTHULA, CONULUS ALBOGALERUS KLEIN ET
ISOMICASTER FAASI ROUCHADZE DANS LE SÉNONIEN DE LA
ZONE D'ALBEȘTI-MUȘCEL (DISTRICT D'ARGES)**

(Résumé)

Les recherches paléontologiques ont conduit l'auteur du présent ouvrage à identifier quelques espèces, notamment : *Austinocrinus radiatus Anthula* et *Isomicaster faasi Rouchadze* non encore signalées dans les dépôts sénoniens de Roumanie ni d'Europe.

Aussi des interprétations paléontologiques qui expliqueraient l'existence des voies de communications entre les bassins d'Europe et ceux de l'Asie durant le Crétacé supérieur s'en suivraient-elles.

L'ouvrage traite aussi de l'espèce *Conulus albogalerus Klein*, rencontrée dans les dépôts du Sénonien de la zone en question, signalée aussi dans d'autres régions de Roumanie, telles la Dobrogea et la Vallée de la Dâmbovița.

EXPLICATIA PLANSEI

Fig. 1. — *Austinocrinus radialis* Anthula $\times 3,2$. Maastrichtian; Albești-Mușcel.
Austinocrinus radialis Anthula $\times 3,2$. Maastrichtien; Albești-Mușcel.

Fig. 2, 3, 4 — *Conulus albogalerus* Klein (in Leske) $\times 1$. 2, poziție aborală; 3, poziție orală; 4, profil. Santonian; Albești-Mușcel.

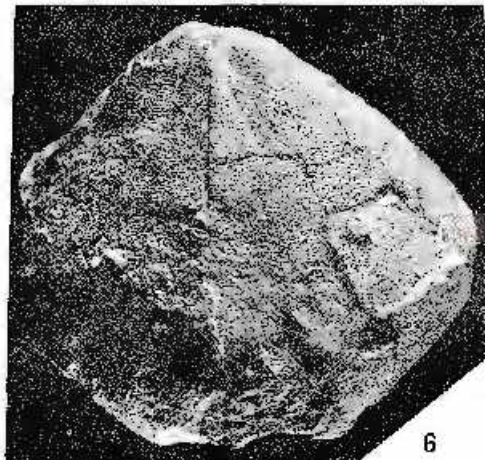
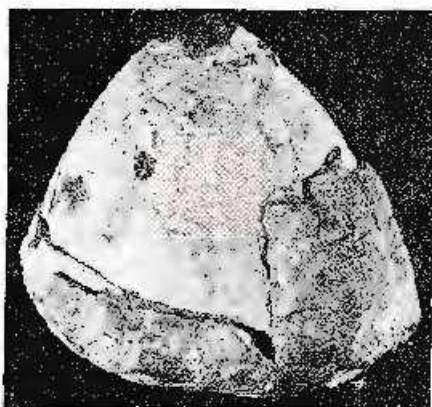
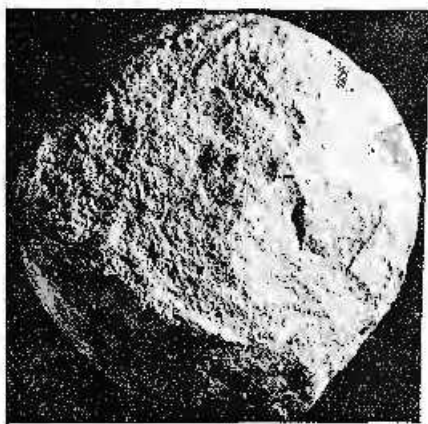
Conulus albogalerus Klein (in Leske) $\times 1$. 2, position aborale; 3, position orale; 4, profil. Santonien; Albești-Mușcel.

Fig. 5, 6 — *Isomicraster faasi* Rouchadze $\times 1$. 5, poziție aborală; 6, profil Santonian; Albești-Mușcel.

Isomicraster faasi Rouchadze $\times 1$. 5, position aborale; 6, profil. Santonien; Albești-Mușcel.



G. TRIFAN. Crinoide și echinoide la Albești.



Institutul Geologic. Dări de seamă, vol. LIX/3.



Institutul Geologic al României

MICROPALEONTOLOGIE

SPIROLOCULINA — SPECII DIN BADENIAN DESCRISE DE
L. NEUGEBOREN¹

DE

M. GHEORGHIAN²

Résumé

Spiroloculina — espèce du Badénien décrite par L. Neugeboren. Dans cet ouvrage l'auteur figure les espèces de *Spiroloculina* décrites par L. Neugeboren: *S. minima* Neugeboren, *S. transylvanica* Neugeboren et *S. trigonostoma*. Les holotypes et les paratypes se trouvent en dépôts au Musée Brukenthal de Sibiu — Roumanie.

Neugeboren a publicat între anii 1846 și 1872, o serie de lucrări în care descrie și figurează genurile și speciile de foraminifere întâlnite în materialul colectat din depozitele badeniene de la Lăpușul de Sus — județul Hunedoara.

În nici una dintre lucrările sale Neugeboren nu dă informații asupra locului unde a depus materialul descris cu toate acestea, recent a fost identificată o parte din colecția sa la Muzeul Bruckenthal din Sibiu (Gheorghian, Gheorghian, 1968).

În nota de față semnalăm existența în colecția de la Sibiu, a trei specii (cu mai multe exemplare) de *Spiroloculina* care au fost descrise în lucrarea din 1869 dar nu au fost figurate de autor.

În conformitate cu hotărîrile prevăzute în Codul Internațional de Nomenclatură Zoologică de la Londra 1961, completăm în cele ce urmează diagnozele date de Neugeboren, cu figurarea speciilor descrise³.

¹ Comunicare în ședință din 23 mai 1972.

² Institutul Geologic, Sos. Kiseleff nr. 55, București.

³ Încadrarea sistematică după Loeblich & Tappan, 1964.

Familia NÜBECULARIIDAE Jones 1875

Subfamilia SPIROLOCULININAE Wiesner 1920

Genul *Spiroloculina* d'Orbigny 1826

***Spiroloculina minima* Neugeboren**

Pl. I, fig. 1, 2, 3

Spiroloculina minima Neugeboren: — Neugeboren, 1869, p. 28 descr. non fig.; Cushman, Todd, 1944, p. 73; Gheorghian, Gheorghian, 1968, p. 234.

Holotip: Col. Muz. Bruk. Sibiu nr. 44128.

Observații: Față de descrierea originală redactată de Neugeboren exemplarul din colecția de la Sibiu, prezintă doar 5 camere și nu 6—7; raportul lățime/lungime este de 1/2. Dimensiunile testului diferă și ele (lungimea apreciată de Neugeboren 1/3 mm, cea măsurată de noi 0,55 mm), lățimea 0,25 mm iar grosimea 0,09 mm.

Stratum tipicum: Badenian inferior, zona cu Lagenidae.

Locus tipicus: Lăpușu de Sus, județul Hunedoara.

***Spiroloculina transsylvaniaica* Neugeboren**

Pl. I, fig. 4, 5, 6

Spiroloculina transsylvaniaica Neugeboren: — Neugeboren, 1869, p. 27 descr. non fig.; Cushman, Todd, 1944, p. 73; Gheorghian, Gheorghian, 1968 p. 234.

Holotip: Col. Muz. Bruk. Sibiu nr. 44134.

Paratipi: Col. Muz. Bruk. Sibiu nr. 44133/1—5.

Observații: La exemplarul separat ca holotip, și pe care l-am figurat, numărul de camere este de 8 și nu circa 12. Printre paratipi sunt și exemplare care au mai mult de 8 camere dar nici unul nu ajunge la 12 camere așa cum se menționează în descrierea originală.

Stratum tipicum: Badenian inferior, zona cu Lagenidae.

Locus tipicus: Lăpușu de Sus, județul Hunedoara.

***Spiroloculina trigonostoma* Neugeboren**

Pl. I, fig. 7, 8, 9

Spiroloculina trigonostoma Neugeboren: — Neugeboren, 1869, p. 27, descr. non fig.; Cushman, Todd, 1944, p. 73; Gheorghian, Gheorghian, 1968, p. 234.

Holotip: Col. Muz. Bruk. Sibiu nr. 44135/1.

Paratipi: Col. Muz. Bruk. Sibiu nr. 44135/2.

Observații: Holotipul păstrat în colecția de la Sibiu are partea inferioară deteriorată. Din acest motiv dimensiunile lui nu pot fi stabilite decit cu



aproximație. Exemplarul respectiv are șase camere. Camera numărul 4 prezintă vizibil gâtul alungit ca și al ultimei camere, de care este acoperită numai lateral.

Stratum tipicum: Badenian inferior, zona cu Lagenidae.

Locus tipicus: Lăpușiu de Sus, județul Hunedoara.

BIBLIOGRAFIE

- Cushman J. A., Todd Ruth (1944) The Genus Spiroloculina and its Species. *Cushm. Lab. Foram. Res. Sp. Pub.* 11, Sharon, Ma. USA.
- Gheorghian M., Gheorghian Mihaela (1968) Tipurile de foraminifere fosile din colecția Neugeboren de la Lăpușiu de Sus—Hunedoara depuse la Muzeul Brukenthal din Sibiu. *Rev. Muzeelor* 4/4, București.
- Loeblich A. R. Jr., Tappan Helen (1964) Foraminiferida — in Moore R.C. Treatise on Invertebrate Paleontology Part C, *Protista* 2/1, Kansas—New York.
- Neugeboren L. (1869) Neue miozäne Spiroloculinen aus dem Tegel von Ober-Lapugy. *Verh. Mitt. Siebenb. Ver. Nat. Wiss. Hermannstadt* XX, Sibiu.
- Stoll N. R., Dollfus R. Ph., Forest J., Riley N. D., Saborsky C. W. Wright C. W., Melville R. V. (1961) International Code of Zoological Nomenclature adopted by the XV International Congress of Zoology. London.

SPIROLOCULINA — SPECIES OF BADENIAN DESCRIBED BY L. NEUGEBOREN

(Summary)

Summarizing the material collected from the Badenian formations from Lăpușiu de Sus locality, L. Neugeboren published a series of papers (1846—1872) in which he described and figured the genus and the species studied.

In none of these works, Neugeboren has given any references about the place where the respective specimens can be found.

In the present paper, we point out the existence of three species of *Spiroloculina* described from collections of the Brukenthal Museum of Sibiu (Hermannstadt) Romania.

According to the International Code of Zoological Nomenclature Decisions, we complete in the following text the diagnoses of Neugeboren, and also give figures of the described species.



Genus *Spiroloculina* d'Orbigny, 1826
Spiroloculina minima Neugeboren

Pl. I, Fig. 1, 2, 3

Holotypus: No. 44128 Coll. Bruk. Mus. Sibiu.

Stratum typicum: Badenian (lower), Lagenidae zone.

Locus typicus: Lăpușu de Sus, Hunedoara District, Romania.

Remarks: Examining the specimen of the Sibiu Collection, it was stated that it presents only 5 and not 6-7 chambers as it was originally described by L. Neugeboren. The ratio width/length = 1/2. The size of the test differs from the data given by L. Neugeboren (length = 1.3 mm) i.e. length = 0.55 mm, width = 0.25 mm and thickness = 0.09 mm.

Spiroloculina transsybanica Neugeboren

Pl. I, Fig. 4, 5, 6

Holotypus: No. 44134 Coll. Bruk. Mus. Sibiu.

Paratypus: No. 44133/1-5 Coll. Bruk. Mus. Sibiu.

Stratum typicum: Badenian (lower), Lagenidae zone.

Locus typicus: Lăpușu de Sus, Hunedoara District, Romania.

Remarks: The specimen established by L. Neugeboren as holotype and figured in sketch I, Fig. 4-6, shows only 8 chambers and not „approx. 12”. Among the paratypes there are also specimens which have more than 8 chambers but none reaches the number of 12.

Spiroloculina trigonostoma Neugeboren

Pl. I, Fig. 7, 8, 9

Holotypus: No. 44135/1 Coll. Bruk. Mus. Sibiu.

Paratypus: No. 44135/2 Coll. Bruk. Mus. Sibiu.

Stratum typicum: Badenian (lower), Lagenidae zone.

Locus typicus: Lăpușu de Sus, Hunedoara District, Romania.

Remarks: The lower part of the holotype from the Sibiu Collection is deteriorated. That is the reason why its dimensions can be but approximately established. The specimen mentioned has 6 chambers. Chamber no. 4 has the neck visibly prolonged as that of the last chamber by which it is covered only on one side.

The description of the 3 species, published by L. Neugeboren in 1869 is clear but we consider as necessary to add the above remarks in order to define more accurately small details which escaped his attention because of the rudimentary apparatus he worked with.



EXPLICAȚIA PLANȘEI

7 ~ c. 592



Institutul Geologic al României

EXPLICATIA PLANSEI

Fig. 1—3. — *Spiroloculina minima* Neugeboren; 1, vedere laterală; 2, vedere marginală; 3, vedere aperturală.

Spiroloculina minima Neugeboren; 1, lateral view; 2, marginal view; 3, apertural view.

Fig. 4—6. — *Spiroloculina transsylvaniaica* Neugeboren; 4, vedere laterală; 5, vedere marginală; 6, vedere aperturală.

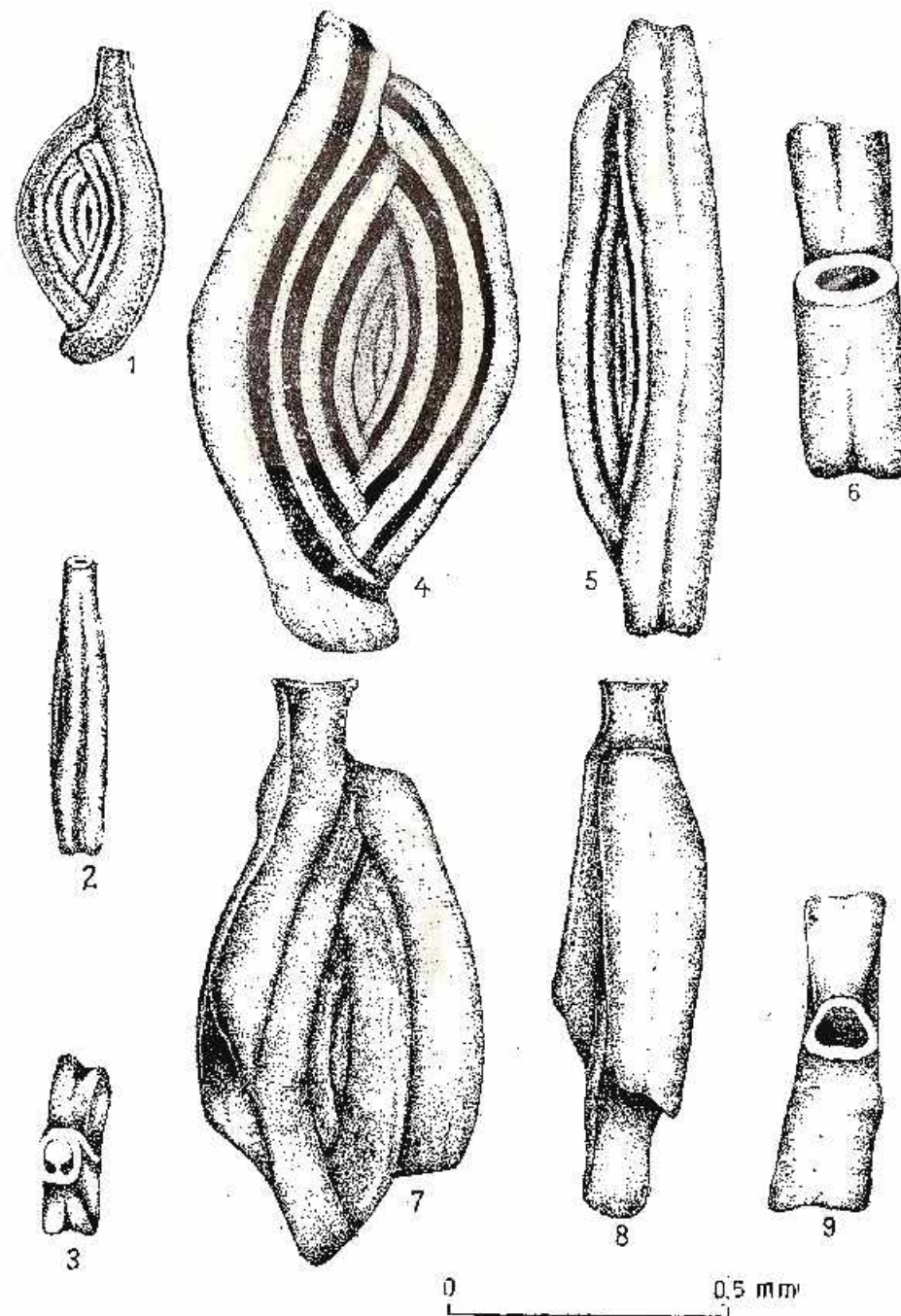
Spiroloculina transsylvaniaica Neugeboren; 4, lateral view; 5, marginal view; 6, apertural view.

Fig. 7—9. — *Spiroloculina trigonostoma* Neugeboren; 7, vedere laterală; 8, vedere marginală; 9, vedere aperturală.

Spiroloculina trigonostoma Neugeboren; 7, lateral view; 8, marginal view; 9, apertural view.



M. GHEORGHIAN. *Spiraloculina* -- specii din Badenian.



Institutul Geologic. Dări de seară, vol. LIX/3.

MICROPALEONTOLOGIE

**MICROFACIESUL CU PITHONELLA OVALIS (KAUFMANN)
ÎN CRETACICUL SUPERIOR DIN SEMIFEREASTRA BISTRITÉI
(CARPAȚII ORIENTALI)¹**

DE

MIHAI MICU²

Abstract

Pithonella ovalis (Kaufmann) Microfacies in the Upper Cretaceous from the Bistrița Half-Inlier (East Carpathians). In this paper, the microfacies with *Pithonella ovalis* (Kaufmann) was firstly pointed out in the Lepșa Beds (Marginal Folds Unit). This microfacies is associated with calcareous Foraminifera (*Rotalipora*, *Globotruncana*, a.o.), Upper Turonian-Lower Senonian in age. This paper yields some new data concerning the age of the lower part of the Lepșa Beds.

Microorganisme cu o poziție sistematică asupra căreia se mai poartă încă discuții, fiind plasate deocamdată în grupul Incertae sedis, speciile de *Pithonella* s-au dovedit a fi deosebit de utile în precizarea vîrstei unor depozite calcaroase ale Cretacicului superior, datorită abundenței și constanței apariției lor în intervale stratigrafice strict delimitate.

Prezenta lucrare semnalează, pentru prima oară în fisiul extern al Carpaților Orientali, existența unui microfacies cu *Pithonella ovalis* (Kaufmann) în stratele de Lepșa din semifereastra Bistriței (unitatea cutelor marginale).

Până în prezent, pe teritoriul României, această specie fusese recunoscută doar în formațiuni aparținând vorlandului Carpaților. Prima mențiune în acest sens se datorează lui Filipescu (1939) care, în depo-

¹ Comunicare în ședință din 19 mai 1972.

² Institutul Geologic, Șos. Kiseleff nr. 55, București.

zite cretacic-superioare, aparținând Platformei Moldovenesci, traversate de forajul de la Horodnic, alături de foraminifere calcaroase, remarcă și prezența a numeroase „Fissurine”.

Ulterior, Patrulius și Chiriac (1965) și Saraiman et al. (1968) menționează existența speciei *Pithonella ovalis* (Kaufmann) în depozite cretacic-superioare ale Platformei Moldovenesci interceptate de forajele de la Putna, respectiv Secuieni și Bacău.

Recent Patrulius³ recunoaște prezența acestei specii și în Cretacicul superior din Platforma Moesică (forajele de la Salcia și Zăvoaia).

Date geologice și microbiostratigrafice

Depozitele în care a fost identificat microfaciesul cu *Pithonella ovalis* aparțin, așa cum am arătat⁴, stratelor de Lepă din semifereastra Bistriței. Aceste strate apar pe ambele flancuri ale anticlinialului Horața-Doamna, cu grosimi variabile datorită laminărilor tectonice. O succesiune completă a Cretacicului și Paleogenului de aici există doar pe flancul invers al acestei cufe, pe pîriul Horăicioara (bazinul văii Almașului), de unde provin de altfel majoritatea probelor care ne-au furnizat informații cu privire la existența microfaciesului cu *Pithonella ovalis* în Cretacicul superior din semifereastra Bistriței.

Grosimea stratelor de Lepă pe pîriul Horăicioara este de cca 100–150 m, fiind dispuse peste orizontul șisturilor vărgate și suportind în continuitate de sedimentare conglomeratele de Horăicioara.

Litologic, stratele de Lepă sunt alcătuite dintr-o alternanță ritmică de gresii calcaroase, microconglomeratice la partea inferioară, cu grosimi variind între 6–30 cm, calcare micritice alb-gălbui sau cenușii cu frecvențe silicifieri de tip „chaille”, avînd grosimi de 10–40 cm și marne cenușii verzui sau roșii în strate centimetriche. Caracteristica stratelor de Lepă de aici este dată de frecvența mare a secvenței calcaroase a ritmilor comparativ cu celelalte componente.

Microfaciesul cu *Pithonella ovalis* a fost întlnit pe o grosime de cca 15–20 m chiar în baza stratelor de Lepă (figura). În secțiunile subțiri efectuate în micrite, alături de exemplarele de *Pithonella ovalis* (Kauf-

³ D. Patrulius. Informații verbale. Exprimă și pe această cale mulțumiri dr. Dan Patrulius, pentru amabilitatea cu care ne-a pus la dispoziție spre comparație materialul său și ale cărui îndemnuri și sfaturi au făcut posibilă prezentarea lucrării de față.

⁴ M. Micu. Studiu geologic al flișului extern dintre pîriul Horața și valea Bistriței (jud. Neamț). 1972. Arh. Inst. Geol. București.

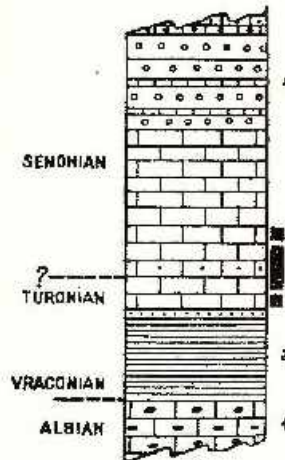
mai nănn), extrem de abundente, ajungind uneori să constituie 80—90 % din masa rocii, am mai identificat și forme de *Calcisphaerula innominata* Bonnet, *Rotalipora turonica* Brötzen, *Globotruncana globigerinoides* Brötzen, *Globotruncana* sp., *Hedbergella* sp., *Heterohelix* sp., radiolaci parțial calcitizați, spiculi de spongieri etc.

Coloană stratigrafică pe pîrul Horăchioara (Almaș) — unitatea cutelor marginale.

1. orizontul calcarilor cu silicificeri; 2. orizontul schisturilor vărgate; 3. strate de Lepsa; 4. conglomerații de Horăchioara.
(Linia de pe marginea coloanei indică intervalul în care s-a întîlnit microfaciesul cu *Pithonella ovalis* (Kaufmann).

Colonne stratigraphique dans le ruisseau Horăchioara (Almaș)
— unité des pîls marginaux.

1. horizon des calcaires à silicifications; 2. horizon des schistes barbotés; 3. couches de Lepsa; 4. conglomérats de Horăchioara.
(La ligne tracée en marge de la colonne indique l'intervalle dans lequel on a rencontré le microfaciès à *Pithonella ovalis* (Kaufmann).



Numeroase exemplare de *Pithonella ovalis* (Kaufmann) am mai identificat și în micritele provenite de asemenea din stratele de Lepșa de pe pîrul Sărata și pîrul Cărbunosu, afluenti ai Bistriței în amonte de Piatra Neamț.

Vîrstă senoniană în ansamblu a stratelor de Lepșa din semifereastră Bistriței a fost acordată pe baza corelării acestora cu stratele de Lepșa din semifereastră Vrancei și a analizelor micropaleontologice care au atestat prezența Maastrichtianului la partea superioară a acestora în valea Cucejdilului⁵.

Avînd în vedere însă asociația de foraminifere calcaroase citată mai sus din baza stratelor de Lepșa de pe pîrul Horăchioara, precum și datele din literatura de specialitate asupra extensiunii microfaciesului cu *Pithonella ovalis*, inclinăm să credem că partea inferioară a stratelor de Lepșa din semifereastră Bistriței cuprinde și Turonianul superior.

⁵ I. Dumitrescu, Th. Joja, M. Sandulescu, Gr. Alexandrescu, Jana Sandulescu, Elena Bratu, M. Ștefănescu, M. Micu, Maria Mărunteanu. Monografia formațiunilor din zona externă a fișului Carpaților Orientali. 1971, Arh. Inst. Geol. București.

Din consultarea literaturii asupra microfaciesului cu *Pythonella ovalis* reiese că acesta are o largă răspândire în numeroase regiuni ale domeniului mesogeean și ale bazinelor epicontinentale din NW Europei, fiind întâlnit cu regularitate în faciesurile calcaroase ale Albian superior—Cenomanianului și, cu deosebire, în cele de vîrstă turonian superioară—senonian inferioară.

Din consultarea literaturii asupra microfaciesului cu *Pythonella ovalis* reiese că acesta are o largă răspândire în numeroase regiuni ale domeniului mesogeean și ale bazinelor epicontinentale din NW Europei, fiind întâlnit cu regularitate în faciesurile calcaroase ale Albian superior—Cenomanianului și, cu deosebire, în cele de vîrstă turonian superioară—senonian inferioară.

Astfel, C a y e u x (1897) semnalizează în depozitele de cretă turonian superioare—senonian inferioare din bazinul Parizian numeroase „foraminiere monoloculare” pe care le atribuie genurilor „*Fissurina*” și „*Orbulina*” Ulterior, B i g n o t și L e z a u ñ (1964) fac o trăiere în revistă a „foraminiiferelor monoloculare” citate de diversi autori în bazinul Parizian și Normandia, raportîndu-le speciile *Pythonella ovalis* (K a u f m a n n) și *Pythonella cf. sphaerica* (K a u f m a n n), remarcînd cu această ocazie și importanța lor stratigrafică.

Tot în depozite de cretă, aparținînd seriei de Lublin, S u j k o w s k i (1931) identifică un facies cu „*Fissurine*”.

B o n e t (1956) individualizează în depozitele cretacic-superioare din estul Mexicului o biozonă cu *Pythonella ovalis* (K a u f m a n n) și *Calci-sphaerula innominata*. B o n e t, caracteristică intervalului Turonian superior—Senonian inferior.

Microfaciesuri cu *Pythonella ovalis* au mai fost descrise în formațiuni calcaroase de aceeași vîrstă din Spania, Baleare, nordul Africii (C o l o m, 1948; C o l o m et al., 1953), Iugoslavia (R a d o i c i c, 1960), Iran (A d a m s et al., 1967) etc.

În Carpați occidentali și nordici acest microfacies este citat de K s i a z k i e w i c z (1956) în calcarile de Bachowice (Turonian superior—Senonian inferior), de N o w a k (1963) în depozite turoniene sănăde vîrstă apropiate din pinzele sileziană și subsileziană și de B o r z a (1969) în klippele pienino.

Punerea în evidență a microfaciesului cu *Pythonella ovalis* în stratele de Lepșa din semifereastra Bistriței aduce unele precizări în ceea ce privește vîrsta acestora, oferînd în același timp un nou instrument de lucru în

vîitoarele încercări de corelare a diverselor formațiuni calecaroase din zona flisului carpatic.

BIBLIOGRAFIE

- Adams T. D., Khalili M., Khesrovi, Said A. (1967) Stratigraphic significance of some oligoseginid assemblages from Lurestan Province, Northwest Iran. *Micro-paleontology*, 13, 1, New York.
- Bignot G., Lezaud L. (1964) Contributions à l'étude des Pithonella de la craie parisienne. *Rev. Micropal.*, 7/3, Paris.
- Bonet F. (1956) Zonificación microfaunística de las calizas Cretácicas del este de México. *Bol. Asoc. Mex. Geol. Petrol.*, 8, 7-8, XX Congr. Geol. Inst., Mexico.
- Borza K. (1969) Die Mikrofazies und Microfossilien des Oberjuras und der Unterkreide der Klippenzone der Westkarpaten, Bratislava.
- Cayeux L. (1897) Contribution à l'étude micrographique des terrains sedimentaires. *Mém. Soc. Geol. Nord*, 4/2, Paris.
- Colom G. (1948) Estudios sobre la sedimentación profunda de las Baleares. *Inst. Geol. „Lucas Mallada”*, Madrid.
- Castany G., Durand-Delga M. (1953) Microfaunes pélagiques (Calpionelles, Fissurines) dans le N-E de la Berbere. *Bull. Soc. Geol. France*, sér. 6, 3/4-6 (1953), Paris.
- Filipescu G. M. (1939) Sur la nature et l'âge des dépôts du soubassement du Sarmatiens rencontrés dans le forage de Horodnic - Bucovine (Roumanie). *Bull. Sect. Sc. Acad. Roum.*, XXI, 1-2, Bucureşti.
- Ksiązkiewicz M. (1956) Jura i Kreda Bachowice. *Roczn. Polsk. Tow. Geol.*, 24, 2-3 (1954), Varșovia.
- Nowak W. (1963) Występowanie Pithonella ovalis (Kaufmann) w zachodnich Karpatach Fliszowych. *Roczn. Polsk. Tow. Geol.*, 33, 3, Varșovia.
- Patrulius D., Chiriac I. (1965) La couverture Paléogène-Mésozoïque de la Plate-forme Podolo-Bessarabie sous le Chariages carpathiques. *Carp. Balk. Geol. Ass. VII-th Congr. Sofia, Report*, II, 2, Sofia.
- Radoičić R. (1960) Microfacies du Crétacé et du Paléogène des Dinarides extérieurs de Yougoslavie. *Paleont. des Dinarides Youg.*, sér. A : *Micropaléontologie*, Titograd.
- Saraiman A., Costea I., Comşa D. (1968) Contribuții la studiul cretacieului din Platforma Moldovenească. *An. St. Univ. „Al. I. Cuza” Iași*, II, XIV, Iași.

MICROFACIÈS À PITHONELLA OVALIS (KAUFMANN) DU CRÉTACÉ SUPÉRIEUR DE LA DEMI-FENÊTRE DE BISTRITZ (CARPATES ORIENTALES)

(Résumé)

C'est dans cette note qu'on signale pour la première fois la présence du microfacès à *Pithonella ovalis* (Kaufmann) dans le flysch des Carpates Orientales. On l'a identifié

dans l'unité des plis marginaux de la demi-fenêtre de Bistrița, notamment dans les dépôts du Crétacé supérieur (couche de Lepșa) qui constituent les flancs de l'anticlinal de Horaița-Doamna.

Pithonella ovalis abonde dans les micrites de la partie basale des couches de Lepșa qui longent le ruisseau Horăicioara, accompagnée de *Calcsphaerula innominata* Bonnet, *Rotalipora turonica* Brötzen, *Globotruncana globigerinoides* Brötzen, *Globotruncana* sp., *Hedbergella* sp., *Heterohelix* sp., radiolaires partiellement calcitisés, spicules de spongiaires etc. L'épaisseur des couches où apparaît le microfacies à *Pithonella* est de 15 à 20m à partir même de la base des couches de Lepșa.

Bon nombre d'exemplaires de *Pithonella ovalis* ont été identifiés aussi dans les micrites provenant des couches de Lepșa qui longent les ruisseaux Sărata et Cărbunaru, affluents de gauche de la Bistrița, en amont de Piatra Neamț.

L'âge sénonien de l'ensemble des couches de Lepșa a été accordé en les corrélant aux couches de Lepșa de la demi-fenêtre de Vrancea et à partir des analyses micropaléontologiques effectuées antérieurement, qui attestent la présence du Maestrichtien à leur partie supérieure dans la vallée du Cucujiu.

L'identification de ce microfacies associé aux foraminifères calcaires ci-dessus cités nous porte à affirmer que la partie inférieure des couches de Lepșa de la demi-fenêtre de Bistrița comporte aussi le Turonien supérieur.

PLANŞA I

Fig. 1-4. — Microfaciesul cu *Pithonella ovalis* (Kaufmann): micrite din baza stratelor de Lepșa, pînă Horăicioara; $\times 100$.

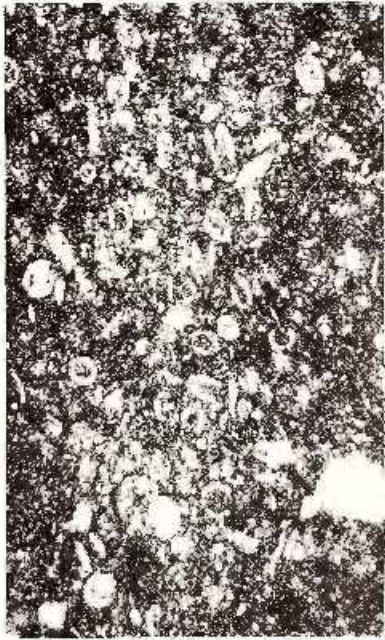
Microfacies à *Pithonella ovalis* (Kaufmann): micrites de la partie basale des couches de Lepșa, ruisseau Horăicioara; $\times 100$.

M. MIRE. Microfacies en *Pithonella* din Carpații Orientali,

Pl. I.



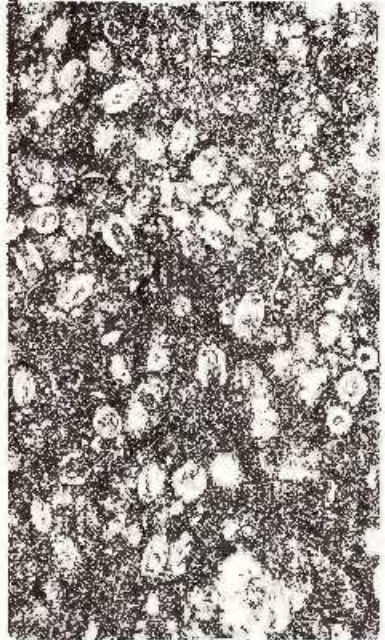
1



2



3



4

Institutul Geologic. Dări de scarmă, vol. LIX/3.



Institutul Geologic al României

PLANSA 11

Fig. 1. — Micrit cu *Pithonella ovalis* (Kaufmann), *Globotruncana globigerinoides* Broeze n., *Heterohelix* sp.; parte inferioră a stratelor de Lepșa, pîrîul Horăicioara; $\times 100$.

Micrite à *Pithonella ovalis* (Kaufmann), *Globotruncana globigerinoides* Broeze n., *Heterohelix* sp.; partie inférieure des couches de Lepșa, ruisseau Horăicioara; $\times 100$.

Fig. 2. — Micrit cu *Pithonella ovalis* (Kaufmann), spicule de spongieri și radiolari calcitizati; zona stratelor de Lepșa, pîrîul Horăicioara; $\times 100$.

Micrite à *Pithonella ovalis* (Kaufmann), spicules de spongiaires et de radiolaires calcifiés; partie basale des couches de Lepșa, ruisseau Horăicioara; $\times 100$.

Fig. 3-4. — Micrit cu *Pithonella ovalis* (Kaufmann); parte inferioră a stratelor de Lepșa, pîrîul Horăicioara; $\times 100$.

Micrite à *Pithonella ovalis* (Kaufmann); partie inférieure des couches de Lepșa, ruisseau Horăicioara; $\times 100$.



M. MICU. Mierotacies cu *Pithonella* din Carpații Orientali.

Pl. II.

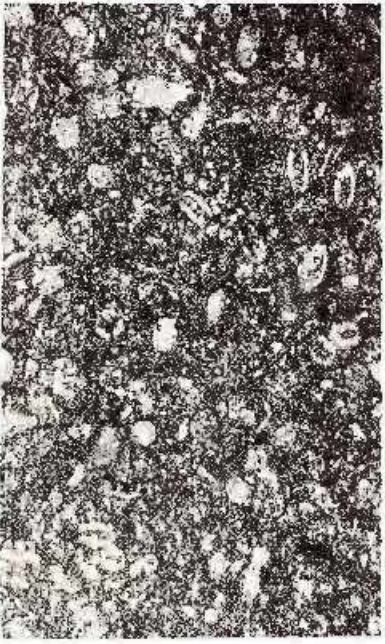


1

2



3



4

3. PALEONTOLOGIE

MICROPALEONTOLOGIE

ASUPRA UNOR SPECII DE CHARACEAE DIN EOCENUL DE LA RONA — JIBOU¹

DE

MARIANA STOLERIU²

Abstract

On Some Species of Characeae of the Eocene from the Rona-Jibou. This note records the presence in the limestone from Rona (Ypresian) and in the Turbuța Beds (Napocian) from the same region, of some fruits of *Chara* determined by the author as pertaining to the following species: *Actistochara ciliata* Peck et Reker, *A. compressa* (Knowlton), *A. coronata* Peck et Reker, *A. mitella* Peck et Reker, *Techtochara conica lagenalis* (Straub), *T. cf. T. meriani globula* Mädler, *T. cf. T. meriani helvetica* Mädler, *T. meriani meriani* Grambast, *T. meriani oestospirae* Mädler, *T. minutissima* Mädler, *T. ulmensis* (Straub), *Rhabdochara tangeri* (Ettingshausen), *Kosmogyna ovalis* Mädler, *Chara caelata* Reid et Groves, *C. distorta* Reid et Groves, and *C. strobilocarpa* Reid et Groves.

Studiul materialului colectat de la nivelul calcarului de apă dulce din împrejurimile localității Rona și din stratele de Turbuța, de la NE de localitatea tip³, a pus în evidență prezența, în aceste depozite, a unei asociații bogate în specii și exemplare de Characeae.

Probele care conțin Characeae sunt constituite litologic din calcare cenușii compacte — calcarul de apă dulce de vîrstă ypresiană de la Rona, iar cele care provin din stratele de Turbuța de la nivelul Napocianului, sunt constituite din argile nisipoase verzui-roșcate.

¹ Comunicare în ședință din 23 mai 1972.

² Fabrica de ciment Medgidia.

³ Probele micropaleontologice au fost colectate cu ocazia lucrărilor de teren în vederea elaborării lucrării de diplomă, sub conducerea conf. univ. O. Gîlichici.

De menționat că, în studiile anterioare efectuate în regiune, Hauer și Stache (1863) sunt primii care consemnează existența în calcarul de apă dulce de la Rona a unor fructificații de *Chara*, fără a le determina specific.

Mențiunea a fost reluată mai târziu de Koch (1894) care o discută critic atribuind exemplarele întâlnite speciei *Chara stacheana* Ung.

Până în anul 1956 nu mai semnalăm nici o altă mențiune asupra existenței characeelor în calcarul inferior de apă dulce (Koch) sau stratele de Rona (Joga, 1956). Răileanu și Săulea (1956) arată că formațiunea menționată „conține numeroase exemplare de specii de apă dulce: *Limneus* sp., *Planorbis* sp., *Paludina* sp. și fructe de *Chara*”⁴.

Bărbu, în 1960, consemnează prezența speciei *Kosmogryra superba* Stache, cu exemplare abundente în calcarele de apă dulce.

În lucrări ulterioare nu s-a reluat studiul characeelor din această formățiune ci doar, cu totul recent, Iva et al. (1970) studiază acest grup taxonomic care a fost întâlnit în stratele de Turbuță pe valea Hirtoapelor, situată la est de perimetru nostru, în apropiere de Frâncenii de Piatră – Dej.

Oogoanele de characee din calcarul de la Rona sunt de talie mare, atingând uneori chiar 2 mm diametru. Din observațiile pe care le-am efectuat, am ajuns la concluzia că acestea aparțin la mai multe genuri și specii. Pe baza materialului bibliografic și prin comparație cu exemplarele de characee depuse de Mariana Iva la colecția Institutului Geologic din București, am ajuns la concluzia că asociația pe care am identificat-o este constituită din următoarele genuri și specii: *Actistochara ciliulata* Peck și Reker, *A. compressa* (Knowlton), *A. coronata* Peck et Reker, *A. midella* Peck et Reker, *Tectochara conica lagena* (Straub), *T. cf. T. meriani globula* Mädler, *T. cf. T. meriani helvetica* Mädler, *T. meriani meriani* (A. Braun), *T. meriani octospirae* Mädler, *T. minutissima* Mädler, *T. ulmensis* (Straub), *Rhabdochara langeri* (Ettingshausen), *Kosmogryra ovalis* Mädler, *Chara cuelata* Reid et Groves, *C. distorta* Reid et Groves și *C. strobilocarpa* Reid et Groves.

De la caz la caz vom prezenta repartitia geografică și distribuția pe scara stratigrafică a fiecărei dintre speciile de mai sus. În acest scop am preluat atât date de literatură privitoare la țara noastră cît și detalii din literatura de specialitate apărută în străinătate.

⁴ Gr. Răileanu, Emilia Săulea (1956) p. 275.

Familia Characeae Richardson, 1815
 Subfamilia Aclistocharaceae Mädlér, 1955
 Genul *Aclistochara* Peck, 1937
Aclistochara clivulata Peck et Reker

Pl. I, fig. 1–5

Aclistochara clivulata Peck et Reker, 1948, p. 88, pl. 21, fig. 1–7.

Colecția Inst. Geol. București Nr. P. 101204 – P. 101209.

Descriere. Oogon de mărime medie-mare, sferic sau alungit, avind la exemplarele holotip și paratipuri 0,65–1 mm lungime. Coronula, care la specimenele tip este separată uneori printr-o zonă depresionată de terminațiile convexe ale spiralelor, nu se poate delimita la exemplarele noastre. În vedere laterală oogoanele au 8–10 ture de spiră și proeminențe așezate regulat pe celulele spirale. Ca și la exemplarele tip, ridicătura intercelulară poate fi sau nu mascată de tuberculii.

Răspândire. Holotipul provine din depozitele Eocenului mediu din Florida. Exemplarele noastre provin din probele colectate de la nivelul calcarului de apă dulce de la Roma.

Aclistochara compressa (Knowlton)

Aclistochara compressa (Knowlton): Peck et Reker, 1948, p. 87, 88, pl. 21 fig. 31–33.

Colecția Inst. Geol. Nr. P. 101210, P. 101211.

Descriere. Oogonul acestei specii este de talie mare, holotipul avind 1,16 mm lungime. Aspectul din profil este ovoid, trunchiat, cu coronula proeminentă la exemplarele tip, separată de porțiunea convexă a spiralelor printr-un sănt adâncit. Celulele spirale au cîte o ridicătură longitudinală continuă.

Proveniență. Specimenele tip provin din argilele de Flagstaff ce aflorează la vest de Wales-Utah – USA și sunt de vîrstă Eocen inferior. Exemplarele noastre au fost întâlnite în probele colectate de la nivelul calcarului de apă dulce de la Roma.

Aclistochara coronata Peck et Reker

Pl. I, fig. 6–7

Aclistochara coronata Peck et Reker, 1948, p. 88, 89, pl. 21, fig. 21, 22, 26, 27; Iva et al., 1970, p. 425, pl. II, fig. 5 a, b, c.

Colecția Inst. Geol. Nr. P. 101212.

Descriere. Conturul oogoanelor este ovoid pînă la subcilindric, cu diametrul maxim în partea mijlocie. Unele oogoane sunt trunchiate și la

formele tip există sau nu coronulă. Lateral sînt vizibile șase sau șapte turări de spiră.

Proveniență. Specimenele tip provin din formațiunea de Evanston din Wyoming și din argilele de Flagstaff din Utah-USA, de la nivelul Eocenului inferior. Exemplarele noastre au fost întlnite în calcarul de apă dulce de la Rona.

Aclistochara mitella Peck et Reker

Aclistochara mitella Peck et Reker, 1948, p. 89, pl. 21, fig. 16–20; Iva et al., 1970, p. 425, pl. I, fig. 4 a, b.

Colecția Inst. Geol. Nr. P. 101213.

Descriere. Oogon ovoid de dimensiuni relativ mari, coronula nu este prezentă decit la unele exemplare la fel ca și în materialul tip. În vedere laterală se observă 8–9 ridicături spirale. Iva et al. 1970, au întlnit exemplare cu suturi proeminente, convexe, cu rozeta apicală constituită din cinci celule petaloide și o coronulă.

Proveniență. Exemplarele tip provin din formațiunea de Evanston (Eocen inferior) de la Sublette County, Wyoming USA. Specimenele descrise și figurate de Iva provin din stratele de Turbuța de pe valea Hirtoapelor, Frâncenii de Piatră–Dej, iar materialul nostru din aceeași formațiune din regiunea profilului tip.

Genul *Tectochara* Grambast, 1954

Tectochara conica lagenalis (Straub)

Tectochara conica lagenalis (Straub): Mädlér, 1955, p. 294–295, pl. 26, fig. 12.

Colecția Inst. Geol. Nr. P. 101214.

Descriere. Oogoanele sunt subovale, celulele spirale sunt concave la formele tinere devenind convexe la cele mature, după observațiile lui Mädlér.

Proveniență. Materialul tip provine din depozitele miocene din sudul Germaniei. Specimenele noastre au fost întlnite în calcarul de apă dulce de la Rona.

Tectochara cf. *T. meriani globula* Mädlér

Pl. I, fig. 8–9

Tectochara meriani globula Mädlér, 1955, p. 281, pl. 23, fig. 6–8.

Colecția Inst. Geol. Nr. P. 101215.

Descriere. Oogoanele acestei varietăți de *Tectochara* au suprafața celulelor cu porțiuni concave și cu nodozități. Mädlér consemnează

existență chiar a unor specimene cu partea externă a celulelor netedă.

Proveniență. Exemplarele tip provin din molasa de apă dulce, oligocene, din sudul Germaniei. Specimenele noastre provin din calcarul de apă dulce de la Rona.

Tectochara cf. T. meriani helvetica Mädlér

Pl. II, fig. 1

Tectochara meriani helvetica Mädlér, 1955, p. 282–283, pl. 23, fig. 22.

Colecția Inst. Geol. Nr. P. 101216.

Descriere. După descrierea lui Mädlér oogoanele au talie mică, conică sau rotundă. Turele de spiră sunt concave sau plate; privit din profil se observă 7–9 ture de spiră.

Proveniență. Exemplarele tip au fost colectate din Stampianul din Germania de sud. Specia a mai fost menționată și în Miocenul din Elveția. Specimenele noastre provin din calcarul de apă dulce de la Rona.

Tectochara meriani meriani (Brogna)

Chara meriani meriani (Brogna): Papp, 1951, p. 283–284, fig. 3, 4; Hangau, 1964, pl. I A, fig. 3a–c

Tectochara meriani meriani (Papp): Mädlér, 1955, p. 278–280, pl. I, fig. 1–3; Grambast et Paul, 1965, p. 241, pl. I, fig. 5–7; Iva et al., 1970, p. 422–424, pl. I, fig. 1a, b, c; Boimbiș et al., 1971, pl. II, fig. 18–20.

Colecția Inst. Geol. Nr. P. 101217.

Observații. Oogoanele acestei varietăți au, după Mädlér, formă de pară, conică spre partea bazală. Exemplarele noastre au în vedere laterală 8–9 ture de spiră. Grambast și Paul au analizat această specie executând măsurători pe 100 de exemplare.

Proveniență. Grambast (1962) citează specia în depozitele oligocene din Languedoc, Grambast și Paul (1965) în Stampianul din bazinul Parisului, Papp în Mio-Pliocenul din Ungaria și Austria, Iva et al. (1970) în stratele de Turbuța de pe valea Hîrtoapelor — Frâncenii de Piatră — Dej iar noi în aceeași formăjune în regiunea tip.

Tectochara meriani octospirae Mädlér

Pl. II, fig. 2–3

Tectochara meriani octospirae Mädlér, 1955, p. 282, pl. 23, fig. 13, 14; Iva et al., 1970, p. 424, pl. I, fig. 2a, b, c.

Colecția Inst. Geol. Nr. P. 101218.

Descriere. În descrierea originală oogoanele acestei varietăți au 7–9 ture de spiră văzute lateral, exemplarele noastre au 7–8.

Proveniență. Specimenele tip au fost descrise din molasa de apă dulce din Oligocenul din sudul Germaniei. Iva et al. o menționează de la nivelul stratelor de Turbuța din imprejurimile localității Frâncenii de Piatră — Dej. Exemplarele noastre provin din probleme colectate de la nivelul calcarelor de Roma.

Tectochara minutissima Mädlér

Tectochara minutissima Mädlér, 1955, p. 292—293, pl. 26, fig. 4—6.

Colecția Inst. Geol. Nr. P. 101219.

Descriere. După autorul speciei, oogoanele sunt de talie foarte mică și au baza rotunjită sau puțin conică. Celulele spirale sunt plate sau convexe, în număr de 11—13.

Proveniență. Exemplarele descrise de Mädlér provin din depozitele stampiene din sudul Germaniei. Specimenele noastre din stratele de Turbuța din regiunea tip.

Tectochara ulmensis (Straub)

Pl. II, fig. 4—5

Tectochara ulmensis (Straub): Mädlér, 1955, p. 290, pl. 25, fig. 25—28.

Colecția Inst. Geol. Nr. P. 101220.

Descriere. După Mädlér oogoanele acestei specii sunt de talie mică, trecind cu puțin de 500 microni. Celulele spirale sunt rotunjite la exterior.

Proveniență. Exemplarele lui Mädlér provin din molasa de apă dulce (Chattian) din Germania de sud. Exemplarele noastre au fost întîlnite în stratele de Turbuța din regiunea tip.

Genul *Rhabdochara* Mädlér, 1955

Rhabdochara langeri (Ettingshausen)

P. II, fig. 6—7

Rhabdochara langeri (Ettingshausen): Mädlér, 1955, p. 299, pl. 26, fig. 27; Iva et al., 1970, p. 424—425, pl. 1, fig. 3 a, b.

Colecția Inst. Geol. Nr. P. 101221.

Descriere. Pe suprafața celulelor spirale se observă tuberculi aplatizați sau rotunjiți, de dimensiuni diferite.

Observații. Exemplarele noastre, ca și cele ale lui Iva et al., sunt lipsite de celule coronale și au porul bazal relativ mare așezat în mijlocul rozetei bazale constituită din cinci celule spirale.

Proveniență. Exemplarele lui Mädlér provin din Oligocenul din Elveția și din sudul Germaniei. Grambast (1962) după Maitauer

o menționează în Oligocenul de la Mattelles, Franța. Specimenele descrise și figurate de către Iva et al. provin din stratele de Turbuță de pe valea Hirtoapelor, la sud de Frâncenii de Piatră – Dej, iar ale noastre din probele colectate de la nivelul calcarelor de apă dulce de la Rona.

Subfamilia Kosmogyreac Stache, 1889

Genul Kosmogryra Stache, 1889

Kosmogryra ovalis Mädlér

Pl. II, fig. 8–9

Kosmogryra ovalis Mädlér, 1959, p. 302–303, pl. 26, fig. 30–31.

Colecția Inst. Geol. Nr. P. 101222.

Descriere. Oogoanele au turele de spiră concave, cu nodozități de formă neregulată, cu suturile intercelulare adincite și cu număr variabil de ture de spiră.

Proveniență. Exemplarele tip provin din depozitele de vîrstă Oligocen medie din Germania de sud. Specimenele noastre provin din calcarul de apă dulce de la Rona.

Subfamilia Characeae Leonhardi

Genul Chara Linnaeus, 1753

Chara caelata Reid et Groves

Chara caelata Reid et Groves, 1921, p. 184–185, pl. IV, fig. 4–6; Iva et al., 1970, p. 426, pl. II, fig. 6a, b.

Colecția Inst. Geol. Nr. P. 101223.

Descriere. După Iva et al. oogoanele speciei au cinci celule spiralelate, cu numeroase noduri așezate la distanțe aproximativ egale. Celulele spirale formează, la exemplarele noastre, 6–8 ture de spiră cu suturile dintre ele ușor reliefate. Rozeta bazală este pentagonală, cea apicală deformată.

Proveniență. Specimenele tip provin din formațiunea de Headon de vîrstă bartoniană din Anglia. În România a fost menționată din baza stratelor de Turbuță de pe valea Hirtoapelor, de către Iva et al., și întîlnită de noi în calcarul de apă dulce de la Rona.

Chara distorta Reid et Groves

Chara distorta Reid et Groves, 1921, p. 186, pl. V, fig. 6; Iva et al., 1970, p. 426, pl. II, fig. 7a–c.

Colecția Inst. Geol. Nr. P. 101224.



Descriere. Oogoanele acestei specii au formă globulară, cu celulele spirale ușor bombate la exterior. În profil se observă 6—7 ture de spiră.

Proveniență. Materialul tip provine din formațiunea de Headon de vîrstă bartoniană. *Graham* (1962) o menționează sub numele de *Grovesichara distorta* (*Reid et Groves*) în Bartonianul inferior din Languedoc în timp ce *Bondonneau et al.* (1965) din Bartonianul superior din bazinul Parisului sub numele de *Gyrogona distorta* (*Reid et Groves*). În România a fost menționată și figurată în stratele de Turbuța din nord-vestul Transilvaniei și anume de către *Iva et al.*, de pe valea Hîrtoapelor — Frîncenii de Piatră — Dej, iar de noi în regiunea tip a aceleiași formațiuni.

Chara strobilocarpa Reid et Groves

PL. II, fig. 14—16

Chara strobilocarpa Reid et Groves, 1921, p. 187—188, pl. V, fig. 7, 8; *Dally et Darham*, 1966, p. 1194—1195, textfig. 2, fig. 18—26; *Iva et al.*, 1970, p. 426—428, pl. II, fig. 8 a—c.

Colecția Inst. Geol. Nr. P. 101225.

Descriere. Oogoanele au formă aproape ovoidală, cu cinci celule spirale concave la exterior.

Observații. Exemplarele noastre corespund ca aspect celor depuse de *Mariana Iva* la Colecția Institutului Geologic și care nu sunt atât de alungite ca cele figurate în lucrarea citată.

Proveniență. Specimenele tip au fost descrise din formațiunea de Headon din Bartonianul din Anglia. În România a fost întlnită în nord-vestul Transilvaniei, în stratele de Turbuța de pe valea Hîrtoapelor — Frîncenii de Piatră — Dej, de către *Iva et al.* și de noi în aceeași formațiune în regiunea Turbuța — Jibou, la nivelul Napocianului.

BIBLIOGRAFIE

- Blondeau A., Cavélier C., Feugueur L., Pomérol Ch. (1965) Stratigraphie du Paléogène du bassin de l'Paris en relation avec les bassins avoisinants. *Bull. Soc. géol. Fr.* 7/VII/2, Paris.
- Bombiță G., Gheorghian Doina, Gheorghian M. (1971) Asupra semnificației microfaunelor paleogene din Transilvania de sud. *D.S. Inst. Geol.* LVIII/3, București.

- Dally F. K., Durham J. W. (1966) Miocene Charophytes from Ixtapa, Chiapas Mexico. *Journ. Pal.* 40/5, Menasha, USA.
- Grambast L. (1962) Aperçu sur les Charophytes tertiaires du Languedoc et leur signification stratigraphique. *C.R. Somm. Soc. géol. Fr.* 10/1962, Paris.
- Paul P. (1965) Observations nouvelles sur la flore de Charophytes du Stampien du bassin de Paris. *Bull. Soc. géol. Fr.* 7/VII/2, Paris.
- Hanganu Elisabeta (1964) Contribuții la cunoașterea repartiției characeelor în Pliocenul dintră văile Teleajen și Prahova. *An. Univ. Buc. Geol. Geogr.* XIII/2, București.
- Hauer Fr., Stache G. (1863) Geologie Siebenbürgens. Wien.
- Iva Marilana, Mărgărit Maria, Mărgărit M. (1970) Asupra cîtorva caracee din stratele de Turbuță de pe valea Hîrtoapelor (nord-vestul bazinului Transilvaniei). *Stud. cerc. geol. geof. geogr. Ser. geol.* 15/2, București.
- Koch A. (1894) Die Tertiärbildungen des Beckens der Siebenbürgische Landesteile. I *Paleogene Abth.*, Budapest.
- Mädler K. (1955) Zur Taxonomie der terziären Charophyten. *Geol. Jb.* 70/1955, Hanovra.
- Papp A. (1951) Charophytenreste aus dem Jungtertiär Österreichs Sitzb. Öster. Ak. Wiss. Mat. Nat. Kl. I/180/3—4, Wien.
- Peck R. E., Reker C. (1948) Eocene Charophyta from North America. *Journ. Pal.* 22/1, Tulsa, Oklahoma, USA.
- Răileanu Gr., Saulca Emilia (1956) Paleogenul din regiunea Cluj și Jibou (NW-ul bazinului Transilvaniei). *An. Com. Geol.* XXIX, București.
- Reid Cl., Groves J. (1921) The Charophyta of the Lower Headon Beds of Hordle (Hordwell) Cliffs (South Hampshire). *Quart. Journ. Geol. Soc.* LXXVII/3, London.
- Stoica C. (1944) Cîteva Characee fosile din Mio-Pliocenul Subcarpaților. *Rev. Muz. Miner. Geol. Univ. Cluj* VIII/1, Timișoara.

SUR QUELQUES ESPÈCES DE FRUITS DE CHARA DE L'EOCÈNE DE RONA-JIBOU

(Résumé)

L'ouvrage attire l'attention sur la présence dans „le calcaire d'eau douce“ de Ronă et dans les couches de Turbuță de la même région d'une association très bien représentée d'espèces de *Chara*.

Y sont figurées et on y discute sur la morphologie, la distribution stratigraphique et géographique des espèces : *Aclistochara ciliulata* Peck et Reker, *A. compressa* (Knowlton), *A. coronata* Peck et Reker, *A. mitella* Peck et Reker, *Tectochara conica lagenalis* (Straub), *T. cf. T. meriani globula* Mädler, *T. cf. T. meriani helvetica* Mädler, *T. meriani meriani* Grambast, *T. meriani oclospirae* Mädler, *T. minu-*

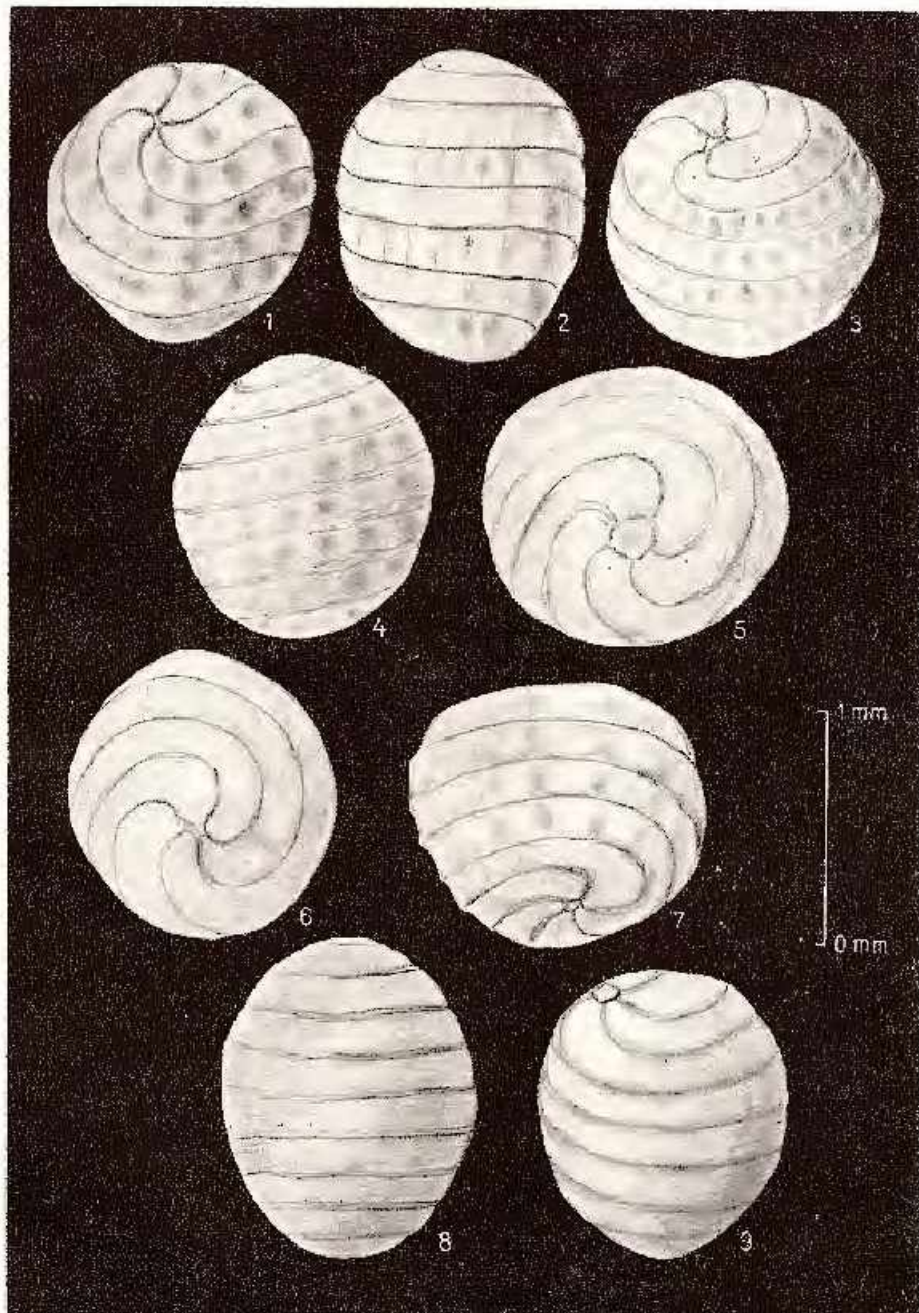
tissima Mädler, *T. ulmensis* (Straub), *Rabdochara tangri* (Ettingshausen),
Kosmogyna ovalis Mädler, *Chara coerulea* Reid et Groves, *C. distorta*, Reid et
Groves et *C. strobilocarpa* Reid et Groves.

PLANSA I.

Fig. 1—5. — *Aclistochara ciliolata* Peck et Reker.

Fig. 6, 7. — *Aclistochara coronata* Peck et Reker.

Fig. 8, 9. — *Tectochara* cf. *T. merianae globula* Mädler.

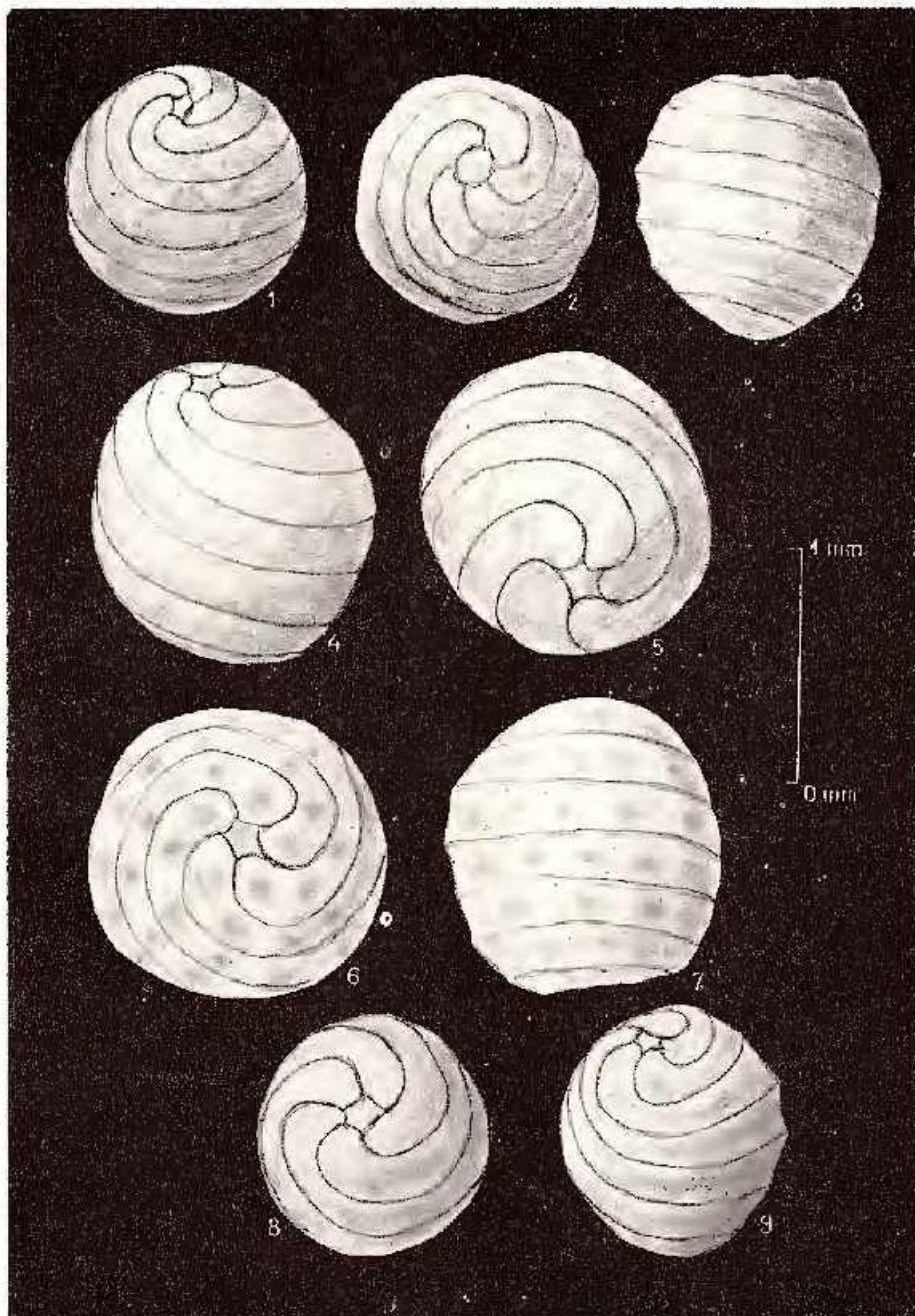


Institutul Geologic. Dări de seamă, vol. LIX/3.

PLÂNSA II

- Fig. 1. — *Tectochara cî*, *T. merianii helvetica* Mâdler.
Fig. 2, 3. — *Tectochara merianii odospirae* Mâdler.
Fig. 4, 5. — *Tectochara ulmenensis* (Straub).
Fig. 6, 7. -- *Rhabochara longeri* (E.L.) Ingshausen.
Fig. 8, 9. -- *Kostmuggea ventris* Mâdler.





Institutul Geologic. Dări de seamă, vol. LIX/3.

ASOCIAȚII PALINOLOGICE CARACTERISTICE
UNOR FORMAȚIUNI CRETACICE DIN MUNȚII METALIFERI¹

DE

EMANUEL ANTONESCU²

Abstract

Characteristic Palinologic Assemblages of Some Cretaceous Formations in the Metaliferi Mountains. There are presented the first data on systematic palinologic studies, carried out in the Cretaceous deposits from the Metaliferi Mts. A number of 100 forms of genera and 220 forms of species of spore pollen and paleoprotists have been totally identified. The palinological listing of Cretaceous formations beginning with the Hauterivian? — Barremian up to the Upper Maestrichtian is made. The differentiated stratigraphical spreading of the microflora allowed the identification of seven palinological zones with regional value. The studying of the microflora has led to a precise dating for some Cretaceous formations from the Metaliferi Mts which were lacking on fossils. Relying on palinological data, stratigraphical correlations are made between the Cretaceous formations from the Metaliferi Mts and deposits similar as to age both in Romania and other countries throughout the world.

TABLA DE MATERII

	<u>Pag.</u>
Sumar	115
I. Introducere	116
II. Asociații palinologice caracteristice unor formațiuni cretacice din Munții Metaliferi	118
A) Complexul silicos violaceu-stratele de Curechiu	118
B) Stratele de Feneș inferioare-faciesul vulcanogen sedimentar grosier; stratele de Feneș superioare	119

¹ Comunicare în ședință din 31 martie 1972.

² Institutul Geologic — București, Sos. Kiseleff nr. 55.

	Pag.
C) Seria flișoldă grezoasă-stratele de Căbești. IIaoterivian ?-Barremian-Aptian inferior?	119
D) Stratele de Valea Dosului-seria flișului calcaros. Barremian ?-Aptian-Albian inferior sau mediu	123
E) Faciesul de Wildflysch-stratele de Meteș. Aptian superior-Albian inferior sau mediu	129
F) Flișul aleurolitic-stratele de Piatră Izvorului, Albian superior	135
G) Stratele de Valea lui Paul. Albian superior-Cenomanian inferior	137
H) Stratele de Deva. Cenomanian superior-Turonian-Santonian	139
I) Stratele de Valea Lășilorului. Cenomanian superior-Turonian-Santonian	141
J) Stratul de Bozeș-faciesul de fliș. Turonian-Santonian	143
K) Faciesul proximal-detritic grosier. Santonian-Maestrichtian inferior	147
L) Faciesul detritic roșu. Maestrichtian mediu și superior	149
III. Zonarea microbiostratigrafică pe baza datelor palinologice, a depozitelor cretace din Munții Metaliferi	155
A) Zona palinologică Cret. ^{II} ₁ -B-Ap.1 (IIaoterivian ?-Barremian-Aptian inferior)	155
B) Zona palinologică Cret. ^{Ap.2} ₁ -Al.1- ² (Aptian superior-Albian inferior sau mediu)	156
C) Zona palinologică Cret. ^{Al.3-Ce.1} ₁₋₂ (Albian superior-Cenomanian inferior)	157
D) Zona palinologică Cret. ^{Ce.2-T.1} ₂ (Cenomanian superior-Turonian inferior)	157
E) Zona palinologică Cret. ^{T.1-S⁺} ₂ (Turonian inferior-Santonian)	158
F) Zona palinologică Cret. ^{Su.-Ma.1} ₂ (Santonian-Maestrichtian inferior)	158
G) Zona palinologică Cret. ^{Ma.2-3} ₂ Maestrichtian mediu și superior)	159
IV. Concluzii	159
V. Bibliografie	162
VI. Rezumat	166
VII. Explicațiile planșelor	169

I. Introducere

Scopul acestei lucrări îl constituie prezentarea primelor rezultate ale studiilor palinologice sistematice pe care le întreprindem asupra Cretacicului din Munții Metaliferi, studii care au inceput din anul 1968.

Aceste studii palinologice, care se vor termina spre anul 1975 cind vom fi reușit să facem o investigare măcar informativă a majorității formațiunilor cretace din Munții Metaliferi, au două obiective majore. Primul este studiul microflorei existente, a eventualei ei răspândiri stratigrafice

diferențiale, putind să servească la o zonare biostratigrafică. Al doilea obiectiv este precizarea vîrstei formațiunilor cretacice din Munții Metaliferi, formațiuni care cîteodată sunt lipsite complet de resturi fosile, și corelarea lor cu depozite similare din România sau alte regiuni de pe glob.

Prezentăm deci primele date asupra palinologiei Cretacicului din Munții Metaliferi, constînd din asociațiile microfloristice caracteristice unor formațiuni cretacice investigate, precizări asupra vîrstei în ansamblu a unor dintre formațiunile cercetate — sau numai a unor puncte unde microflora a permis precizarea vîrstei depozitelor, și o schemă cu zonarea biostratigrafică pe baza datelor palinologice. Apoi, cîteva comparații și corelari și, ilustrarea sporilor, polenului și paleoprotistelor (pl. I—XXVII).

Nu vom da deseriști paleontologice. Ele vor fi făcute în teza noastră de doctorat, care va avea ca subiect studiul microflorei Cretacicului din Munții Metaliferi. De asemenea, tot atunci, vom descrie toate tipurile de palinomorfe identificate în formațiunile cretacice din Munții Metaliferi.

Conținutul palinologic al Cretacicului din Munții Metaliferi este foarte variabil de la o formațiune la alta, ca număr de genuri, specii, ca număr de indivizi și ca grad de conservare. Unele formațiuni s-au dovedit a fi pînă în prezent complet sterile, altele conțin la 100, 150 gr. de rocă cîteva exemplare — un astfel de conținut avînd doar o valoare informativă sau neconcludentă, cînd este vorba de palinologia Cretacicului. Multe formațiuni sunt însă bogate palinologic, și tocmai studiul lor reprezintă baza cercetărilor noastre.

Multe din determinările pe care le prezentăm în lucrarea de față sunt aproximative sau provizorii. Aceasta din mai multe cauze. Mai întîi lipsa unor lucrări de specialitate pe care nu le-am putut procura. Apoi, unele genuri cum ar fi *Classopollis* necesită, pentru a fi determinate cu exactitate, observarea la microscopul scanning pe care deocamdată nu am putut-o face. Alte grupe de spori foarte răspîndite în Cretacic, cum ar fi cei cu exina cicatriceozată (grupul *Cicatricosporites-Appendicisporites*) după ultimele lucrări ale lui H u g h e s & M o d y-S t u a r t (1966, 1967, 1969), necesită un mare număr de exemplare pentru a fi determinate, iar acest lucru nu a fost întotdeauna posibil, la dispoziție avînd dintr-un esantion doar cîteva exemplare sau chiar unul. În sfîrșit, grupe mari de polen cum sunt cei de tip *Normapolles* nu au încă taxonomia bine precizată, fiind încă pe scară mondială în curs de cercetare.

Palinofaciesurile Cretacicului din Munții Metaliferi, rezultate din urma preparării-standard pentru rocile Mezozoicului din cadrul Laboratorului de Palinologie al Institutului Geologic, conțin în genere foarte

multe resturi cărbunoase și multe fragmente de origine vegetală, care chiar în urma sitărilor, sunt greu de eliminat, înrăutățind observarea la microscop.

Până în prezent nu s-au efectuat alte cercetări palinologice sistematice în Cretacicul din Munții Metaliferi. Înaintea studiilor noastre, Olteanu³ face cîteva cercetări sumare în depozitele Senonianului foșei Brucium ale căror date lo vom discuta la capitolul respectiv.

Vom trece astfel la examinarea conținutului palinologic al formațiunilor cretacice, cercetate pînă în prezent din Munții Metaliferi, și apoi la examinarea caracterelor zonelor palinologice identificate. Repetăm că în nici una dintre formațiunile de care ne vom ocupa, nu vom cita întreg conținutul palinologic, ci doar ceea ce deocamdată nu s-a părut esențial. De asemenea, procentele frecvenței genurilor și speciilor nu sunt încă definitive, ci urmăresc să dea doar o imagine de ansamblu asupra conținutului.

Vrem să aducem mulțumiri celor care, direct sau indirect, ne-au ajutat să realizăm acest studiu. Întii, mulțumim dr. M. Bleahu, Director adjunct al Institutului Geologic, pentru încurajările pe care ni le-a dat cînd am inceput studiul palinologic al Cretacicului din Munții Metaliferi, și pentru îndrumările pe care a binevoit să ni le dea în cercetările noastre asupra geologiei Munților Metaliferi. Vreau să aduc, de asemenea, mulțumiri colegilor mei cu care am străbătut împreună Munții Metaliferi, și care au binevoit să-mi pună la dispoziție unele probe pentru studiile noastre palinologice, geologilor Ștefana Panin, Josefina Bordea, Camelia Tomescu, Floriana Georgescu, Gh. Mantea, S. Bordea, R. Puricel, V. Georgescu; iar geologilor Jana Sandulescu, N. Mihăilescu, Al. Dinca, E. Avram, le mulțumim pentru că ne-au dat probe pentru a putea face studii comparative cu alte regiuni ale țării.

II. Asociații palinologice caracteristice unor formațiuni cretacice din Munții Metaliferi

A) Complexul silicos violaceu — stratele de Curechiu

A fost cercetat din punct de vedere palinologic în anii 1971—1972 în zona de izvoare a Crișului Alb, pe valea Stinului (afuent al Crișului

³ M. Olteanu, Raport geologic, 1965, Arh. Inst. Geol. București.

Alb), și este paralelizat de Bordaea (1971) cu stratele de Curechiu. Denumirea de complexul silicos violaceu este dată acestei formațiuni de Lupu & Lupu (1964).

Rocile silicioase reprezintă elementul predominant al acestei serii litologice, reprezentate prin jaspuri și argilite violacee.

Acest complex este atribuit Neocomianului de Ianovici et al. (1969), pe baza asemănării cu stratele de *Aptychus* din munții Trascău.

Practic, pînă în prezent, s-au dovedit sterile din punct de vedere palinologic; am identificat numai un exemplar de *Dictyophyllidites* sp.

B) *Stratele de Feneș inferioare - faciesul vulcanogen sedimentar grosier; stratele de Feneș superioare*

Sunt dezvoltate în partea centrală și de SE a Munților Metaliferi – partea centrală a fosei Mureșului și spre E în bazinul văii Ampoița. Aceste depozite denumite strate de Feneș inferioare de Bleahu & Dimian (1967), și cercetate în același an și de Pașiu (1967), sunt caracterizate prin coexistența rocilor de natură sedimentară și eruptivă. Termenul litologic predominant al acestei formațiuni, îl constituie după Ianovici et al. (1969) argilitele șistoase, silitice, de culoare violacee-verzui. În bazinele văilor Ampoița și Ighiel, elementul litologic predominant îl reprezintă breciile vulcanogen-sedimentare (Ianovici et al. 1969).

Sunt paralelizate, de autorii care le-au descris, cu stratele cu *Aptychus* fiindu-le atribuite vîrstă neocomiană.

Au fost cercetate palinologic în 1969–1970, sumar, din cauza facieișului nefavorabil acestei metode de studiu. Pînă în prezent, nu am găsit microfloră în cuprinsul acestor depozite.

Stratele de Feneș superioare, atribuite de Bleahu & Dimian (1967) Barremian-Aptianului inferior, urmează să fie cercetate palinologic în amănunțime în anii viitori; rezultatele palinologice de care dispunem pînă în prezent sunt neconcluente.

C) *Seria filoïdă grezoasă – stratele de Căbești. Hauterivian? – Barremian – Aptian inferior?*

Ghițulescu & Socolescu (1941) denumesc această formățiune – strate de Căbești definind-o ca atare în sudul Munților Metaliferi. Ianovici et al. (1969) afirmă largu ei răspindire în fosa Bucium. Lupu & Lupu (1964) arată că-n zona de izvoare a Crișului Alb, acest complex este constituit din gresii de tip subgrauwacke și argilite cenușii argiloase. Bordaea (1971) semnalizează și intercalări de piroclastite bazice.

Formațiunea este lipsită de macro sau microfaună. Ianovici et al. (1969) citează pe Mücke (1915) care găsește fragmente de *Barremites difficilis* d'Orb., *Nodosaria aff. monile* Cornell, *Nodosaria communis* d'Orb., *Terebratula cf. hantii* Etallon, și afirmă vîrstă barremiană a acestei formațiuni, pe criteriul superpoziției stratelor de Valea Dosului — aptiene peste stratele de Căbești. Bordea (1971) reafirmă că în zona Buceș-Blăjeni-Vulcan, în aceste depozite nu s-au găsit fosile, și consideră stratele de Căbești de vîrstă barremian-aptian inferioară.

Acești cercetători afirmă că este posibil ca limita dintre Barremian și Aptian să nu corespundă exact cu limita dintre stratele de Căbești și stratele de Valea Dosului.

Am cercetat în acest an, informativ, din punct de vedere palinologic stratele de Căbești, în următoarele sectoare : profilul văii Lupului-Buninginea, profilul văii Cinruleasa, și am colectat o serie de probe de pe șoseaua Buninginea-Vulcan.

Probele din stratele de Căbești de la Ciuruleasa sunt practic sterile, conținând cîteva exemplare de :

Cyathidites sp.

Dictyophyllidites sp.

O probă colectată la 2 km de Buninginea pe șoseaua Buninginea-Vulcan, conține :

Cyathidites sp.

Gleicheniidites sp.

Appendicisporites sp.

Vitreisporites pallidus (Reissinger) Nilsson 1958

Hystriophphaera sp.

asociație ce nu poate da o indicație de vîrstă mai precisă de Cretacic inferior.

Pe valea Lupului, de la bifurcarea pîriului, pe afluentul drept, pe circa 1,5 km am colectat zece probe din sisturi argiloase negricioase frămințate (destul de puțin deschise din cauza alunecărilor de teren), care sunt intercalate între gresile calcaroase cu diaclazo cu calcitul dizolvat — element litologic tipic al acestei formațiuni. Asociația palinologică stabilită în acest an, reprezintă unul din primele elemente paleontologice găsite în această formațiune și totodată împreună cu asociația palinologică din partea inferioară a stratelor de Valea Dosului, microflora de tipul cel mai vechi identificată pînă în prezent în Munții Metaliferi.

Asociația cuprinde :

Cyathidites australis Cooper 1953

- Matomisporites equievinus* Couper 1958
Stereisporites (Sculptisporis) hauderiviensis Döring 1966
Stereisporites sp.
Ischyosporites sp.
- cf. *Pilosporites notensis* Cookson & Dettmann 1958
Rotverrusporites obscurilaevisuratus (Pocock) Döring 1964
Concavissimisporites punctatus Brenner 1963
Cicatricosisporites cf. *loodbroki* Dettmann 1963
Cicatricosisporites sp.
Callialasporites turbatus (Balme) Schulz 1967
Callialasporites triletus Singh, Srivastava & Roy 1964
- cf. *Cooksonites reticulatus* Pocock 1962
Vitreisporites pallidus
Pinuspollenites sp.
Podocarpites sp.
Cycadopites sp.
Classopollis cf. *senegalensis* Reyre, Kieser & Pujol 1970
Appendicisporites (Anemia) pschekhaensis Bolkhovitina 1961
Classopollis cf. *noeli* Reyre 1970 (determ. prov.)
Classopollis sp. (cu verruce de 1 μ)
Dinoflagelat tip A (*Operculodinium?*)
Dinoflagelat tip C
Gonyaulacysta sp.
Gonyaulacysta cf. *cretacea* Neale & Sarjeant 1962
Hystrichosphaera furcata (Ehrenberg) O. Wetzel 1959 ex
 Goecht 1959
Hystrichosphaera ramosa (Ehrenberg) variet. nedeterm.
Hystrichosphaera cf. *cornuta* Gerlach 1961 determ. prov.
Achromosphaera ramulifera (Deflandre) Evitt 1963
- cf. *Achromosphaera* sp.
Oligosphaeridium sp.
?Cordosphaeridium eoinodes (Eisenack) Davy & Williams
 1966
- cf. *Deflandrea pirnaensis* Alberti 1959 determ. prov.
cf. *Palaeoperidinium* sp.
Trichodinium cf. *intermedium* Eisenack & Cookson 1958
Mierodinium sp.
- cf. *Doidyx anaphrissa* Sarjeant 1966
cf. *Baltisphaeridium* sp.

Cleistospheridium multisporosum (Singh) Brideaux 1971
cf. *Tenua hystrix* Eisebeck 1958

Cantitativ, asociația este dominată de *Classopollis* și dinoflagelate mai ales *Cleistospheridium*.

Examinând răspindirea stratigrafică a componentelor asociației stratelor de Căbești, după autorii consultați, constatăm că intervalul în care se interferează majoritatea genurilor și speciilor este Barremianul. Este posibil ca și o parte din Hauterivian și Aptianul inferior să fie reprezentate de această asociație.

Astfel, unele forme din asociație ca *Stereisporites* (*Sculptisporis*) *hauteriviensis* sunt descrise în IIauterivianul din Germania (Döring 1966); alte specii ca *Rotverrusporites obscurilaesuratus* apar în Wealdian zonele C, G din N Germanie, acestea fiind speciile care ne fac să credem că partea inferioară a stratelor de Căbești poate să cuprindă și Hauterivianul superior. Majoritatea elementelor constitutive ale asociației sunt caracteristice pentru Neocomianul superior. Astfel, *Cordospheridium eoinodes* este citat de Milliou (1967) la localitățile Hauterive, Valangin, Angles (localitatea tipică pentru Barremian), și Apt; Eisebeck (1958) o menționază în Neocomianul din Germania. *Cleistospheridium multisporosum* (= *Cometodinium* sp.) apare în argilele de Speeton — Barremian inferior, și este prezentă și în Albianul mediu și superior din formațiunile Joli Fou — Wiking din Alberta Canada. Aceeași specie este prezentă și în marnocalcarele cu silicifici haueriviene de la Svința (valea Vodinicki). *Gonyaulacysta cretacea* apare în IIauterivianul din Anglia — argilele de Speeton, *Deflandrea pirnaensis* a fost citată de Alberti (1959 după Eisebeck 1964) în Turonianul mijlociu, însă ulterior a fost întîlnită în Hauterivianul superior — Aptianul de la Hauterive și Apt; exemplarele noastre sunt atribuite cu semn de întrebare acestui gen și specie. *Trichodinium intermedium* este o specie care apare mai mult în Aptian și Albian; ea seamănă foarte mult cu *Doidyx* și *Cyclonephelium*. *Doidyx* a fost întîlnită în Barremianul inferior din Anglia — argilele de Speeton. *Cooksonites reticulatus* este citat în formațiunea Lower Mannville, complexul Quartz Sand (apartenind Hauerivian — Barremianului inferior Poecil 1962). În sfîrșit *Cicatricosporites loobroki* apare în Barremian — Aptianul din Australia (Dettmann 1963), speciile genului *Callialasporites* urcă în scara stratigrafică, în genere pînă-n Cretacicul inferior, *Appenacisporites* (*Anemia*) *pschekhaensis* este descrisă în Neocomianul din Caucaz (Bolkhovitina 1961), *Classopollis noeli* și *senegalensis* apar în Jurasicul superior — Aptianul din Sahara și Aptian — Albianul din Senegal (Reyre

1970), *Concavissimisporites* este citat în diferite regiuni din Siberia, America de Nord, din Valanginian pînă-n Albian.

Avind în vedere răspîndirea stratigrafică a componentelor microflorei stratelor de Căbești, credem că ele pot indica un interval stratigrafic cuprîndîn Hauerivianul superior, Barremianul, și probabil o parte din Aptianul inferior. Trebuie să menționăm că faptul de a nu fi întîlnit pînă în prezent în această formațiune forme cu o răspîndire mai limitată stratigrafic ca: ?*Cordospheridium fasciatum*, *Microdinium deflandrei*, ?*Dingodinium alberti*, *Muderongia staurota*, etc., elemente tipice pentru Barremian și faptul că nu sunt deosebiri esențiale între această asociație și cea întîlnită în partea inferioară a stratelor de Valea Dosului, ne fac să atribuim unui interval mai larg Hauerivian superior — Aptian inferior stratele de Căbești.

Studii viitoare mai detaliate asupra microflorei stratelor de Căbești din NW-ul Munților Metaliferi și din S, în regiunea Deva, vor aduce fără îndoială precizuni mai de amănunt asupra acestei formațiuni.

D) Stratele de Valea Dosului seria flîșului calcaros.

Barremian? — *Aptian* — *Albian inferior sau mediu*

Această formațiune este răspîndită în NW-ul Munților Metaliferi, fosa Bucium și-n partea centrală a Munților Metaliferi-golful Feneș (Iancovici et al., 1969).

Cercetătorii care au studiat-o, insistă asupra predominării în unele nivele a stratelor de calcarenite cu orbitoline, cît și asupra apariției unor secvențe de tip Wildflysch la partea superioară. Sunt de asemenea caracteristice conglomeratele, microbreciile, caleiruditele cu elemente verzi și orbitoline, care în sectorul Abrud — Cîmpeni, apar în mai multe puncte ca: valea Virtop (în șosea), valea Șerbanului — Sohodol spre izvoare, valea Sohodolului spre Poiana.

Iancovici et al. (1969) citează în cuprinsul acestei formațiuni *Orbitolina*, *Coskinolina*, *Belbekella gybsiana* (Sowerby) determinată de Denisa Lupu și în sectorul Stânișa *Callisoniceras murgeanui* (Patruilius).

Vîrsta este considerată de Iancovici et al. (1969) ca fiind aptiană. Bordea (1971) încadrează depozite de acest tip, din zona Blăjeni-Buceș-Vulcan la Aptianul superior.

Primele probe din stratele de Valea Dosului le-am lucrat în anul 1970, fiind date de geologul Bordea, iar în anii 1971—1972 am făcut colectări pe teren din această formațiune. Profilele cele mai interesante

palinologie sint pe văile Muntarului, Leurdăș, Pîrîul Arsurii, valea Geamăna din sectorul Bucium - Mogoș, valea Roșia între Gura Roșia și Roșia Montană, valea Virtop situată între Abrud și Cîmpeni, valea Șerbanului de la Sohodol și valea Lupului la Buninginea.

Doar probele din valea Sohodolului, de la Sohodol spre Poiana, sint sterile. Cele mai bogate și reprezentative probe sint cele de pe valca Muntarului, pîrîul Leurdăș, pîrîul Arsurii, valea Geamăna, prima sută de m de la confluența cu valea Mogoșului. Conținuturi mai sărace, dar asemănătoare, sint pe valca Iupului-Buninginea puțin în amonte de bifurcarea văii, valea Roșiei (la aflorimentul situat la cîteva sute de m de Gura Roșici), valea Șerbanului - Sohodol (spre izvoare).

Tată conținutul asociației determinat pînă-n momentul de față:

Cyathidites australis

Cyathidites minor Couper 1958

Stereisporites sp.

Gleicheniidites senonicus Ross 1949

Gleicheniidites (Triremisporites) minor Döring 1965

Matonisporites sp.

cf. *Transbaculisporites* sp.

Obtusisporis sp.

Deltoidespora sp.

cf. *Pilosporites notensis*

Pilosporites delicatus Norris 1969

Pilosporites sp.

Concarissimisporites verucosus Delcourt & Sprumont 1955

Concarissimisporites sp. (nedeterm.)

Trilobosporites cf. *berniartensis* (Delcourt & Sprumont)
Potonie 1956

Trilobosporites cf. *crassangularis* Döring 1965

Foraminisporis sp.

Spinotriletes sp.

Foveotriletes parviretus (Balme) Dettmann 1963

Sestrosporites pseudoalveolatus (Couper) Dettmann 1963

Ischyosporites cf. *pseudoreticulatus* (Couper) Schult 1967

Spor nidentificat (*Rubinella* sp.?)

Varirugosporites sp.

Coronatispora valdensis (Couper) Dettmann 1963

Aequitiriradites spinulosus (Cookson & Dettmann)

Cookson & Dettmann 1958

- Appendicisporites* cf. *A.* fsp. V222 Döring 1966
Appendicisporites (*Anemia*) *pschekhaensis* Bolkhovitina 1961
Appendicisporites cf. *tuberculatus* Döring 1966
Appendicisporites *potomacensis* Brenner 1963
Appendicisporites *tricornitatus* Weyland & Greifeld 1953
Appendicisporites cf. *tricuspidatus* Weyland & Greifeld 1953
Plicatella sp.
Cicatricosisporites sp.
Cicatricosisporites *magnus* Kemp 1970
Cicatricosisporites *brevilaevigatus* (Copper) Kemp 1970
Cicatricosisporites cf. (*Anemia*) *phylliditiformis* Ilonova 1960
Cicatricosisporites cf. *ticoensis* Arhangelski & Gamero 1965
Cicatricosisporites cf. *gigantus* Arhangelski & Gamero 1965
Cicatricosisporites *hallei* Deleourt & Sprumont 1955
Cicatricosisporites cf. *striatus* Bürger 1966
Cicatricosisporites *hughesi* Dettmann 1963
Cicatricosisporites cf. *abacus* Bürger 1966
Cicatricosisporites cf. *venustus* Déák 1963
Cicatricosisporites sp. ex Norris 1967
Pelletieria sp.
Contignisporites *major* Döring 1965
Classopollis cf. *noeli* Reyre
Pinuspollenites sp.
Alisporites sp.
Vitreisporites *pallidus*
Araucariacites *australis* Cookson 1947
Microcachridites sp.
Cleistosphaeridium sp.
Dinoflagelat tip B
Dinoflagelat tip C
Gonyaulacysta cf. *orthoceras* Eiseenack 1958
Gonyaulacysta cf. *aptiana* (Deflandre) Sarjeant 1966
Cyclonephilum *distinctum* Deflandre & Cookson 1955 ex Goehrt 1959
Cleistosphaeridium *multispinosum*
Trichodinium cf. *intermedium*

Callialasporites trileatus

Achomosphaera sp.

Cantitativ polenul bisaccat domină asociația.

Examinind răspândirea stratigrafică a componentelor asociației, observăm în primul rînd o categorie în care intră genuri și specii cu o răspândire stratigrafică mai largă ca: *Cyathidites australis*, *C. minor*, *Sestrosporites pseudoalveolatus*, *Gleicheniidites seronicus*, frecvent întâlnite în Jurasic sau Cretacicul superior.

O altă categorie de elemente o formează genurile și specile care sunt prezente deobicei la limita Jurasic-Cretacic, în Purbeckian, Wealdian, etc. Astfel *Pilosporites delicatus* a fost descris (Norris 1969) în Purbeckianul superior din S Angliei. *Transbaeulites* apare în Wealdianul din N Germaniei zona B (Döring 1965), echivalentă cu Purbeckianul mijlociu din Anglia și Beriassianul din SE Franței. *Varirugosisporites* este de asemenea citat în Wealdianul din Germania (Döring 1965). *Appendicisporites potomacensis* este o specie prezentă în Purbeckianul din Anglia și Cretacicul inferior din U.S.A. (Norris 1969). *Cicatricosisporites* cf. *striatus* și *C. cf. abacus* sunt descrise inițial în Wealdianul din Olanda (Burgess 1966).

Alt grup de genuri și specii este cel în care formele incep din partea inferioară a Cretacicului inferior, Beriassian sau Valanginian și se continuă pînă-n Aptian-Albian. Astfel este grupul *Trilobosporites-Concavissimisporites* citat în Wealdianul din Germania, Belgia (Döring 1965, Deleourt & Sprumont 1955, Deleourt, Dettmann & Hughe 1963), dar cunoscut și-n partea superioară a Cretacicului inferior în Aptian și Albian din Anglia (Kemp 1970), Canada (Pocock 1964), Australia (Dettmann 1963). *Cicatricosisporites brevilaesuratus* este o specie interesantă pentru asociatia de față, întrucît incepe din Purbeckian (Döring 1966), și nu depășește Aptianul inferior din Anglia (Kemp 1970). Dintre dinoflagelate *Gonyaulacysta aptiana* a fost menționată mai întîi în Aptian de către De Landre 1935 (după Eisenack 1964); apoi a fost găsită în stratotipurile Cretacicului inferior de la Beriass, Valangin, Apt, Angles, Hauterive.

În sfîrșit, o serie de forme incep din Barremian sau Aptian și se continuă pînă-n Albian sau Cretacicul superior, cum sunt *Cicatricosisporites (Anemia) phylliditiformis*, *C. giganteus*, și *C. ticoensis* (Barremian-Aptian Argentina, Angelski & Gamero 1966), *C. venustus* (Aptian Cenomanian Ungaria, Déák 1963), *C. hughesi* (Aptian-Albian Australia,

Dettmann 1963), *Appendicisporites tuberculatus* (Barremian-Aptian Germania, Döring 1966).

Menționăm în mod special specia *Aequitriradites spinulosus*, care în nume are în genere o răspindire stratigrafică destul de largă în Cretacicul inferior și mai rar în cel superior (Siberia); în Europa ea apare mai frecvent în Cretacicul inferior, iar în România Balteș (1971) consideră această specie ca reprezentativă pentru Beriassian, Valanginian și Hauterivianul inferior. În regiunea Leicăi — valea Dimboviței, *A. spinulosus* nu apare mai sus de conglomeratele de Bucegi, iar în Munții Metaliferi această specie nu a fost găsită decât în partea inferioară a stratelor de Valea Dosului dind asociației o notă caracteristică.

Astfel că, după extinderea stratigrafică a palinomorfelor, asociația din partea inferioară a stratelor de Valea Dosului, din regiunea Buninginea, Abrud, Bucium, Mogoș, pare să indice o vîrstă barremian? — aptian inferioară.

La prima vedere asociația din stratele de Căbești și stratele de Valea Dosului diferă foarte mult, în prima predominând *Classopollis* și unele dinoflagelate, iar a doua având mult mai multe genuri și specii. Considerăm însă că între aceste două asociații nu sunt deosebiri esențiale. Acest fapt rezultă din răspindirea stratigrafică a genurilor și speciilor din ambele asociații; ele indicând un interval stratigrafic destul de apropiat, Hauterivian-Barremian-Aptian inferior pentru stratele de Căbești și Barremian? — Aptian inferior pentru partea inferioară a stratelor de Valea Dosului. Din acest motiv, vom considera și la stabilirea zonelor palinologice că asociația palinologică a stratelor de Căbești și a părții inferioare a stratelor de Valea Dosului pot fi considerate ca făcând parte din aceeași zonă palinologică, care cuprinde pînă la această dată microflora de cel mai vechi tip din Cretacicul Munților Metaliferi.

Am menționat de mai multe ori termenul de „partea inferioară a stratelor de Valea Dosului”. Am fost nevoiți să facem această împărțire deoarece în stratele de Valea Dosului din regiunea Blăjeni-Bucaș-Vulcan, „la podul Șipot” în probele pe care ni le-a dat geologul Bordeea (care a și definit în regiune acesta depozite ca strate de Valea Dosului, Bordeea 1971), apare o microfloră deosebită de asociația același depozite din regiunea Buninginea-Abrud-Bucium-Mogoș. Această microfloră este comparabilă cu asociația palinologică a stratelor de Meteș — faciesul de Wildflysch de vîrstă aptian superior-albian inferioară sau medie din regiunea Zlatna-Ighiu-Cricău.

Ea cuprinde :

- Dictyophyllidites harrisi* Couper 1958
 cf. *Biretisporites potoniei* Delcourt & Sprumont 1955
Gleicheniidites cf. *cercinidites* (Cookson) Deltmann 1963
Gleicheniidites senonicus
Pilosisporites cf. *trichopapillous* (Thiergart) Delcourt & Sprumont 1955
Trilites sp.
Trilobosporites uralensis (Bolkhovitina) Pocock 1964
Concarissimisporites asper (Bolkhovitina) Pocock 1964
Retitriteles austroclavatidites (Cookson) Döring, Krutzsch, Mai & Schulz 1963
Densoisporites cf. *foveocingulatus* Schulz 1962
Corrugatisporites toratus Weyland & Greifeld 1953
Cicatricosisporites hughesi
Cicatricosisporites cf. *baconicus* Déák 1963
Cicatricosisporites sp. 3
Appendicisporites degeneratus Thiergart 1953
Appendicisporites tricornitatus
Appendicisporites tricornitatus
Parvisaccites radiatus Couper 1958
Pinuspollenites sp.
 cf. *Palaeoperidinium* sp.

Asociația este dominată de *Parvisaccites radiatus* 20 %, *Pinuspollenites* 7 %, *Cicatricosisporites* sp. 3 plus *Corrugatisporites toratus* 13 %, *Dictyophyllidites harrisi* 10 %, *Appendicisporites degeneratus* 2 %, *Gleicheniidites senonicus* plus *G. cf. cercinidites* 2 %, restul elementelor fiind sub 5 %.

Această asociație este comparabilă cu microflora stratelor de Meteș. Prezența elementelor remaniate ca *Nannoceratopsis gracilis* Alberti 1961, și *Densosporites* sp., accentuează asemănarea cu microflora stratelor de Meteș, în care remanierile sunt foarte frecvente. Însăși răspândirea stratigrafică a unor elemente componente, cum sunt *Corrugatisporites toratus*, *Trilobosporites uralensis*, *Cicatricosisporites baconicus*, *Concarissimisporites asper*, citate în Aptian – Albianul din Canada, Europa, U.R.S.S., lipsa unor genuri și specii caracteristice părții inferioare a Cretacicului inferior, lipsa în fine a majorității elementelor din partea inferioară a stratelor de Valea Dosului, ne fac să credeam că sintem în prezență unei asociații deosebite de microflora părții inferioare a stratelor de Valea Dosului din sectorul Buningine – Abrud – Bucium Mogoș.

Microflora de la „Podul Șipot” este asemănătoare cu microflora stratelor de Meteș.

Această asociatie palinologică a părții superioare a stratelor de Valea Dosului și a stratelor de Meteș de vîrstă aptian superioară—albian inferioară sau medie, constituie o zonă palinologică aparte, superioară celei din stratele de Căbești și partea inferioară a stratelor de Valea Dosului.

Stabilim deci în acest an, pe baza datelor palinologice, că stratele de Valea Dosului au o vîrstă ce corespunde intervalului Aptian inferior—Albian inferior sau mediu, în baza lor putind fi cuprins și o parte din Barremianul superior ?, și că-n cuprinsul lor există două asociatii palinologice ce aparțin la două zone palinologice distincte. În stratele de Valea Dosului există deci un „prag palinologic” sau o limită palinologică.

E) *Faciesul de Wildflysch — stratele de Meteș. Aptian superior — Albian inferior sau mediu*

Bleahu & Dimian (1963, 1967) recunosc caracterul de Wildflysch al acestei formațiuni pe care o denumesc strate de Meteș.

După acești autori, caracteristice stratelor de Meteș sunt următoarele tipuri litologice. Argile aleurolitice verzui-violacee, conglomerate tiloide cu galeti sau blocuri de calcare urgoniene, ofiolite, gresii cretacice, roci eruptive într-o matrice argiloasă, și gresii fine cenușii-verzui cu laminăție oblică. Intercalate în anumite nivele pot apărea concrețiuni feruginoase, calcarenite de culoare albă-cenușie-verzuie, remanieri intraformatiionale, olistolite de calcar de tip Stramberg, argile nisipoase violacee. Subordonat, tot după acești autori, mai pot apărea paraconglomerate cu liant detritic, gresii oligomictice cuarțoase, și, vom adăuga noi, gresii în plăcuțe centimetrice, eiteodată curbicorticale, satinate, de culoare cenușie-albăstruie sau verzui-violacee.

Vîrsta acestei formațiuni este rezolvată de Bleahu, Yvonne Babuc ea & Ana-Maria Piliuță (1968), care pun în evidență o asociatie micropaleontologică bogată, în care cele mai caracteristice forme sunt *Hippocrepina depressa* Vasicsek și *Plectorecurroides alternans* Noth. care indică vîrstă aptian superioară — albian inferioară. Menționăm că în anul 1971 Mantea, Josefina Bordea & Maria Tocorjeșcă denumesc formațiunea în facies de Wildflysch—strate de Bulbuc-Bucerdea, atribuindu-i o vîrstă aptian superioară — albiană medie pe baza microfaunei. Deși această denumire este mai justă, intrucât în denumirea de strate de Meteș Bleahu & Dimian (1967) includ și stratele de Valea lui Paul, optăm deocamdată pentru denumirea de

strate de Meteș din cauza priorității termenului și pentru că sub această denumire este în general cunoscut faciesul de Wildflysch din SE-ul Munților Metaliferi.

Formațiunea a fost cercetată din punct de vedere palinologic în anii 1970–1971. Profilele cele mai interesante sunt pe văile Tăuți, Găureni, Ighiel, Bucerdea, Telna, Tibru, Craiva, valea lui Paul (amonte de șaua principală al văii).

Revizuind determinările pînă în prezent în microflora stratelor de Meteș am identificat:

- Cyathidites australis*
- C. minor*
- cf. *Biretisporites potomiei*
- Gleicheniidites senonicus*
- G. (Triremisporites) minor*
- Gleicheniidites cf. (Triremisporites) latifolius* Döring 1965
- Gleicheniidites carinatus* (Bolkhovitina) Bolkhovitina 1968
- Ceratosporites egalis* Cookson & Dettmann 1958
- cf. *Ceratosporites distalgranulatus* (Couper) Kemp 1970
- Baculatisporites* sp.
- cf. *Rousciosporites* sp.
- Concarissimisporites longiverrucatus* Döring 1965
- Trilobosporites* sp.
- Pilosporites trichopapillosus*
- Spor tip B
- Kolverrusporites* sp.
- Retitrichites* cf. *austroclavatidites*
- Foveosporites multifoveolatus* Döring 1965
- Corrugatisporites toratus*
- Plicatella trichacantha* Maljaka
- Cicatricosisporites* sp. 1
- C. cf. hallei*
- Cicatricosisporites (Anemia) sibirica* (Karata-Murza) Hughes & Moody-Stuart 1969
- Cicatricosisporites* sp. 2
- Cicatricosisporites* sp. 3
- C. cf. venustus*
- cf. *Appendicisporites grandis* Pocock 1964
- A. cf. tricoraitatus*
- Appendicisporites* sp. ex Kemp 1970

- Appendicisporites degeneratus* Thiergart 1935
Trilites sp.
Densoisporites perinatus Couper 1958
Cingutriletes sp. (specia nedeterm.)
Duplexisporites generalis Deák 1965
Polypodiaceoisporites sp. 1
 „*Euryzonotriletes commixtus*” Bolkhovitina 1953 deterrn. prov.
Vitreisporites pallidus
Alisporites grandis (Cookson) Dettmann 1962
Parvisaccites radiatus
Podocarpites sp.
Densoisporites cf. *foreocingulatus* Schulz 1962
Pinuspollenites sp.
Alisporites bilateralis Ronse 1959
Araucariacites australis
Classopollis classoides (Pflug) Pocock & Jansoni 1961
Eucomiidites troedssonii Erdmann 1948
 cf. *Deflandrea pirnaensis*
 cf. *Deflandrea cincta* Cookson & Eisenack 1958
 cf. *Hystrichosphaera cingulata* (Wetzel) Deflandre 1954
Oligosphacridium sp.
Micrhystridium sp.
Cleistospheridium sp.
Pterodinium sp.
Cyclonephelium distinctum
Trichodinium cf. *intermedium*
Tasmanites sp.

Microflora este dominată cantitativ de polenul de tip *Parvisaccites radiatus* 27–43 %, și *Pinuspollenites* 8–21 %. *Classopollis* apare în cantități variabile 2–37 %. Urmează ca frecvență sporii netezi 2–10 %, *Heicheniidites* div. sp. 5–17 %, *Corrugatisporites toratus* 1–10 %, *Vitreisporites pallidus* 1–9 %, *Cyclonephelium* 2–4 %, *Appendicisporites degeneratus* 0,5–2 %, *A. cf. tricornitatus* 0,5–4 %, *Araucariacites australis* 0,5–2 %, *Ischyosporites* 0,5–2 %, *Eucomiidites* 0,5–2 %. Restul elementelor componente sunt sub 1 %.

Asociația palinologică a stratelor de Meteș are unele trăsături comune cu microflora Aptianului și Albianului din diferite regiuni de pe glob, dar și unele caracteristici particulare.

Într-un sondaj din Charente-Maritime, Franța, Deák și Comba (1967) atribuie Albianului superior — Cenomianianului o asociație palinologică, ce pe lângă polen de Taxodiacee (neîntlnit în microflora stratelor de Meteș) conține și polen tip *Klausipollenites* (= *Pareisaccites*) și spori ca *Appendicisporites tricuspidatus*, *A. stylosus*, *Plicatella tricornitata*, *Cicatricosporites venustus* și *Gleicheniacee*. Autorii arată că Gleicheniaccele în cantitate mare într-o asociație palinologică, pot indica Albianul.

O microfloră cu care asociația palinologică a stratelor de Meteș are multe trăsături comune, este cea din partea superioară a formațiunii Upper Mannville, albiană, din regiunea Saskatoon, Canada, descrisă de Pock (1964). Speciile comune sunt *Appendicisporites grandis*, *A. triangularis* (= *A. tricornilatus*), *Trilobosporites uratensis*, *T. spinosus* (= *Pilosporites*). Diferența între aceste două asociații constă în faptul că în stratele de Meteș, Ephedraceele sunt mai puțin răspândite decât în Canada.

Aptianul din munții Bakony și Verzi din Ungaria (Deák 1965) cuprinde ca elemente comune cu microflora stratelor de Meteș, *Classopolites*, *Appendicisporites* div. sp., *Duplexisporites generalis*, *Eucomiidites*. Lipsesc din stratele de Meteș o serie de spori ca *Microreticulatisporites ureuticus* (care în Metaliferi apare din Cretacicul superior), *Ephedripites*, *Nodosisporites*. Deák (1965) arată că la Apt din Franța și în bazinul Moscoviei, Gleicheniaccele sunt bine reprezentate.

În U.R.S.S., Iarosenko (1965) pentru Aptianul din Caucazul de N, indică un conținut ridicat de Gleicheniacee, spori de tip *Pilosporites* și *Trilobosporites*, alături de polen de conifere și remarcă apariția Cupresaceelor (neîntlnite în stratele de Meteș). Tot în U.R.S.S., regiunea Zea-Burensk, Hionova (1969) arată că pentru Aptian-Albian sunt caracteristice printre alte specii, spori de tip *Lyyodium* div. sp. (= grupul *Trilobosporites-Concarissimisporites*), *Pilosporites verus*, *P. trichopapillatus*, *Rousiesporites triangularis*, comune cu asociația palinologică a stratelor de Meteș.

Hedlund & Norris (1968) indică pentru Albianul din stratele de Frederiksburg — U.S.A., un conținut ridicat de polen tricolpat, care lipsește în stratele de Meteș, alături de spori comuni cu cei din stratele de Meteș, ca *Gleicheniidites senonicus*, *Biretisporites potonici*, *Appendicisporites tricornitatus*, *Alisporites grandis*.

De asemenea, asociația palinologică a Aptian-Albianului din Anglia descrisă de Kemp (1970), prezintă multe elemente comune cu microflora stratelor de Meteș.

prezent complexe litologice capabile să furnizeze prin remaniere material palinologic, adică extrem de bogate în spori și polen.

O a doua ipoteză ar fi că materialul permno-triasic provine dintr-o regiune de unde a fost complet erodat și ca atare nu î se mai poate identifica locul de origine.

Nu se poate stabili regiunea de unde ar fi putut să provină materialul jurasic mediu. El trebuie să fi fost deosebit de abundent deoarece elementele de Jurasic mediu s-au întîlnit remaniate în mai toate probele examineate din stratele de Meteș și cîteodată pînă în procente de 4% ceea ce este destul de mult. Este un fapt cert că blocul de calcar citat de Herrehey și Herbich (după Hermann 1943) pe creasta dintre valea Cricăului și valea Craivei conținînd *Nautilus mojsisovici* N. a. m., *Phylloceras kudernatschi* Haub., *Peltoceras athleta* Phillips, *Oppelia fusca* Qu., etc. și blocul de calcar cu *Perisphinctes titzianii* Oppel găsit de Ilie (1950) în valea Bucerdei sunt în primul rînd o dovedă sigură de existența unei mari cantități de material jurasic mediu depus în marea Wildflyschului, și nu atît a existenței Jurasicului mediu în actuala masă de depozite din Munții Metaliferi. Întrucît nu se cunoaște pînă în prezent conținutul palinologic al depozitelor jurasice medii din Pădurea Craiului, o zonă de unde ar fi putut să provină materialul, nu putem să facem nici-o precizare asupra locului de origine. În partea de S a zonei cristalino-mezozoice, și în Platforma Moesică, în Dogger sunt forme absolut identice cu cele remaniate în Wildflysch; aceasta nu exclude însă posibilitatea remanierilor din alte direcții deoarece există regiuni cu depozite asemănătoare ca facies cu cele din Carpații Orientali sau Platforma Moesică al căror conținut palinologic nu a fost încă cercetat, ca de exemplu în Banat.

Remanierea se facea sub apă în mediul lichid, fie că era vorba de transportul materialului pe calea apei fie că era vorba de erodarea unor depozite submarine, deoarece în mediul subaerian este greu de presupus că forme remaniate s-ar fi păstrat.

În sfîrșit, este probabil că aceste două tipuri de surse de material, care fie că aveau regiuni de amplasare diferite fie că aveau o regiune comună, au furnizat material pînă la sfîrșitul Cretacicului întrucît un element de *Taeniaepollenites* sp. (Permno-Triasic) a fost întîlnit în stratele de Valea Lăstelorului cenomanian superior — santoniene, iar un exemplar de *Nannocongeropsis gracilis* (Jurasic mediu) s-a întîlnit în depozite senonian superioare de pe valea Stănișorii - Vînțul de Jos.

F) *Flișul aleurolitic — stratele de Pîriul Izvorului. Albian superior*

Sunt definite pentru prima dată de S. Borda, Josefina Borda & Puricel (1965) în regiunea Buceş din NW-ul Munţilor Metaliferi. După aceşti autori, sunt caracterizate printr-o alternanță de gresii dure, curbicorticeale, micaferoase, în alternanță cu gresii șistuoase micaferoase și marne cenușii. Ianovici et al. (1969) denumesc această formătunie „flișul aleurolitic”.

Vîrstă a fost atribuită de Borda, Josefina Borda & Puricel (1965) Albianului superior, pe baza ammonitului *Hysteroceras orbignyi* Spath. și *Puzosia* sp.

Stratele de Pîriul Izvorului fiind una dintre formațiunile bine date din paleontologie din Munții Metaliferi, conținutul lor palinologic a început să fie cercetat încă din anul 1968. Anul acesta însă microflora lor a fost examinată mai în amănunt în două locuri: pe pîriul Izvorului chiar în locul de unde provine macrofauna și, într-o serie de probe colectate de S. Borda de pe valea Babii.

Rezultând determinările din anii trecuți, iată care este conținutul palinologic al acestei formațiuni:

Leiotrilletes maxoides Krantzsch 1962

Leiotrilletes sp.

Baculatisporites sp.

Spinotrilletes sp.

Polypodiaceoisporites sp. 2

Polypodiaceoisporites sp. 3

Polypodiaceoisporites sp. 4

cfr. *Trilobosporites heteroverrucatus* Levet-Carette 1966

Corrugatisporites toratus

Plicatella cf. *erdmanii* (Pocock) Van Amerom 1965

Plicatella sp. 1

Cicatricosisporites cf. *venustus*

Cicatricosisporites (*Anemis*) *crimensis* (Bolkhovitina) Hughes & Moody-Stuart 1969

C. cf. *hallei*

Appendicisporites matesovae (Bolkhovitina) Norris 1967

A. tricornitatus

A. stylosus

Costatoperforosporites triangulatus Deák 1962

Parvisaccites radiatus

Pinuspollenites sp.

Triolpites sp.

Gonyaulacysta sp.

Asociația este dominată de speciile genului *Polypodiaceoisporites* 26 %, *Corrugatisporites toratus* 11 %, *Appendicisporites* div. sp. 10 %, *Pinuspollenites* 6 %. Restul componentelor asociației sunt sub 5 %.

Deosebirile dintre microflora stratelor de Pîrul Izvorului și cea a părții superioare a stratelor de Valea Dosului sau a stratelor de Meteș sunt importante.

Trăsătura cea mai caracteristică, dar nu întotdeauna sesizabilă, este apariția primelor tipuri de polen angiospermic, de tip tricolpat. Aceasta este o modificare a microflorei deosebit de importantă, marcând în Munții Metaliferi apariția florei de angiosperme în timpul Albianului superior, pe cînd se depuneau stratele de Pîrul Izvorului.

Lucrările lui Norris (1967) în partea inferioară a formațiunii de Colorado albian superior-cenomaniană din Canada, ale lui Held und & Norris (1968) asupra stratelor de Frederiksburg — U.S.A., albiene, ale palinologilor sovietici (Andreeva et al. 1966), ale lui Groot & Groot (1962) în Albianul din Portugalia, menționează apariția năsivă a polenului tricolpat de tip angiospermic la nivelul Albianului.

În România, este posibil ca dezvoltarea florei angiospermice să fi început poate mai tîrziu, întrucât Balteș (1967) în semnaliză polen de tip angiospermic în Albianul din Platforma Moesică, și în 1971 arată că apariția polenului de tip angiospermic se situează în Cenomanianul superior. În Metaliferi s-ar părea că există aceeași situație, polenul de tip angiospermic se găsește în cantități mai importante de la Cenomanianul superior în sus, dar momentul apariției, în cantități foarte reduse, este din Albianul superior.

Microflora stratelor de Pîrul Izvorului mai prezintă o deosebire importantă față de asociațiile palinologice mai vechi descrise pînă acum și anume apariția unor noi tipuri de spori, care vor fi comuni Cretacicului superior. Este interesant genul *Polypodiaceoisporites* care își face apariția în Aptian-Albian, în microflora stratelor de Meteș. În Albianul superior, el apare în cantități mult mai mari și este reprezentat prin mai multe specii nedeterminate. O specie a genului *Leiotriletes*, probabil *maxoides*, asemănătoare cu cea din Tertiär, își face acum apariția și va fi prezentă, în procente scăzute, în tot Cretacicul superior din Munții Metaliferi.

G) *Stratele de Valea lui Paul. Albian superior—Cenomanian inferior*

În partea centrală a Munților Metaliferi se depune o formațiune, care după nota explicativă din harta geologică sc. 1:200.000 foaia 18-Turda, a fost denumită de Bleahu & Dimian (1967) ca strate de Valea lui Paul.

Accastă formațiune, cel mai bine deschisă în Valea lui Paul situată la 2 km E de Zlatna, este constituită din argile și marne cenușii-albăstrui, uneori nisipoase, în alternanță cu gresii friabile cenușii-albicioase. Tot pe Valea lui Paul la partea superioară a formațiunii, la limita cu conglomeratele de Fața Băii, predomină gresii în bancuri metrice, friabile, nisipoase, de culoare albicioasă-gălbuiu-cenușie. Contactul pe Valea lui Paul a acestei formațiuni cu stratele de Meteș este greu de observat stratigrafic, întrucât trecerea este continuă și litologia relativ asemănătoare. Limita se poate pune pe baza datelor palinologice.

Gresiile friabile albicioase reapar spre E, pe șoseaua Zlatna-Alba Iulia, în apropierea gării Șard. În anul 1960 am colectat o probă micro-paleontologică din aceste depozite care conține *Rotalipora montsalvensis* Mornod și *Rotalipora cf. evoluta* Sigala⁴.

În suita principală de depozite de pe Valea lui Paul nu s-au găsit pînă în prezent macro sau microfauna care să argumenteze vîrstă. În gresiile masive apar, după Bleahu & Dimian (1967), *Orbitolina lenticularis* Blum și *Orbitolina discoidea* Gras, care sunt considerate ca fiind remaniate; autorii arată că orbitolinele au fost determinate de M. Ilie ca numuliți.

În 1969 am efectuat primele analize palinologice asupra acestei formațiuni, care s-a dovedit a fi foarte bogată în spori-polen și paleoprotiste.

Revizuind uncle determinări, am identificat pînă în prezent:

Leiotriletes maxoides

Gleicheniidites (Triremisporites) sp. ex Potonié 1966

Gleicheniidites sp. (nedeterm.)

G. senonicus

G. cf. cercinidites

G. (Triremisporites) sp. (nedeterm.)

Todisporites major Couper 1958

Vinculisporites flexus Deák 1965

Biretisporites potoniei

⁴ G. Manlea, E. Antonescu, Ștefana Balș, Josefina Bordea, S. Bordea, Camelia Tomescu 1961. Raport geologic, 1961, Arh. Inst. Geol.

- Trilites* sp. 1
Trilites sp. 2
Spinotrilletes sp. (nedeterm.)
Apiculatisporites babsae Brenner 1961
Verrucosisporites sp. 1
Ischyosporites estherae Deák 1965
Cicatricosisporites proxiradiatus Kemp 1970
Cicatricosisporites venustus Deák 1963
Cicatricosisporites sp. ex Van Amerom 1965
Cicatricosisporites sp. 4
Cicatricosisporites sp.
C. hallei
Appendicisporites degeneratus
A. stylosus
A. tricornitatus
A. matesorae
Costatoperforosporites fistulosus Deák 1962
C. triangulatus
Polypodiaceoisporites potoniei Kedves 1961
Polypodiaceoisporites retirugatus Müller 1968
Polypodiaceoisporites sp. 5
Polypodiaceoisporites sp. 6
 Spor tip D
Pinuspollenites sp.
Tricolpopollenites sp.
Tricolpites sp.
Lithosphaeridium siphoniphorum (Cookson & Eisenack) Davy & Williams 1966
Hystrichosphaera cingulata (Wetzel) Deflandre 1954
Cleistosphaeridium ancoriferum (Cookson & Eisenack) Davy, Downie, Sarjeant & Williams 1966
Cleistosphaeridium heteracanthum (Deflandre & Cookson) Davy, Downie, Sarjeant & Williams 1966
Gonyaulacysta sp. (nedeterm.)

Microflora poate prezenta diferite variații cantitative în funcție de nivelul din care provine. În general, este dominată de *Litosphaeridium siphoniphorum* 28%, *Corrugatisporites toratus-Appendicisporites degeneratus* 12–18%, *Polypodiaceoisporites* div. sp. 20%, grupul *Cicatricosisporites-Appendicisporites* 5%, restul elementelor având între 5–1%.

Prin apariția polenilui tricolpat de tip angiospermic în cantitate foarte redusă, această formațiune poate fi paralelezată cu stratele de Pîriul Izvorului.

Lithosphaeridium siphoniphorum este o specie întâlnită în genere în Albianul superior din România (Baltes 1967), Albianul din Australia și Cenomanianul din Anglia.

Polypodiaceoisporites pare să fie de asemenea un gen interesant pentru palinostatigrafia Cretacicului, deoarece el nu apare în Albianul superior numai în Munții Metaliferi, ci se pare că și în alte regiuni din lume acest gen începe din Cretacicul superior, continuându-se și în Tertiär.

Prin compoziția sa, asociația palinologică a stratele de Valea lui Paul se asemănă cu microflora complexului nisipurilor verzi — Albianul din Platforma Moesică descrisă de Baltes (1967), de care se deosebește prin faptul că are mai puține elemente de microplaneton, și cu microflora părții inferioare a formațiunii de Colorado din Canada (Norris 1967) albian-cenomaniană de care se deosebește printr-o cantitate mai mică de polen tricolpat-angiospermic.

Pe baza acestor date, atribuim stratele de Valea lui Paul intervalului stratigrafic corespunzător Albianului superior-Cenomanianului inferior.

O formațiune caracterizată printr-un facies flisoid apare în regiunea Bucerdeia-Teiua, stind transgresiv peste stratele de Meteș, sterilă din punct de vedere palinologic, macro și microfaunistic; provizoriu o corelăm pe criterii stratigrafice cu stratele de Valea lui Paul.

H) Stratele de Deva, Cenomanian superior-Turonian-Santonian

Lupu & Denisa Lupu (1967) pun la punct stratigrafia strateelor de Deva la S de valea Mureșului, în sectorul Chergheș-Bretelin atribuindu-le vîrstă cenomanian superior ?-turonian coniaciană. Un seurt istoric al cercetărilor făcute de diferiți autori, este dat, și deocamdată nu vom insista asupra lui.

Litologic, această formațiune este alcătuită din gresii grosiere cenușii-albicioase-gălbui în alternanță cu marne cenușii.

Nu am cercetat sistematic microflora strateelor de Deva, acest lucru urmând să se facă în anii viitori. Am analizat din punct de vedere palinologic doar allorimentul de pe șoseaua Brad-Deva, de la Șoimuș în dreptul podului de vale ferată de peste șosea. Pînă în prezent s-au identificat, în ansamblu, următoarele genuri și specii:

- ... *Leiotriletes grandiosus* Krantzsch ex Kunert & Lenk 1964
- ... *L. maxoides*

- Leiotriletes* sp.
Dictyophyllidites sp.
Gleicheniidites sp. 2
Deltoidospora cf. *taenia* Rouse ex Drugg 1967
Microreticulatisporites urticatus Deák 1964
Trilites sp.
Polypodiaceoisporites sp.
Camarozonosporites insignis Norris 1966
Cicatricosisporites sp. 3
Cicatricosisporites sp. 5
cf. *Cicatricosisporites crassistriatus* Bürgger 1966
C. cf. venustus
Pelletieria minutaestriata Bolkhovitina 1961
cf. *Mohria* sp. Thiergart 1949 ex Bolkhovitina 1961
Appendicisporites sp. 1
A. tricornitatus
A. matesovae
Densosporites sp.
Ephedripites sp.
Pinuspollenites sp.
cf. *Santonipollis* sp.
Complexiopolis praeatumescens Krutzsch 1959
Complexiopolis cf. *turonis* (Krutzsch) Krutzsch 1967
Suemegipollis triangularis Gómezán 1964
Papillopollis sp.
Trudopollis sp.
Tricolpopollenites sp.
Tricolpites sp.
Tricolpites microreticulatus (Belsky, Boltenhagen & Potonié) Brenner 1968
Oculopollis orbicularis Gómezán 1964
Tricolpites cf. *sagax* Norris 1967
Concentricystes sp.
Cleistosphaeridium heteracanthum
Odontochitina sp.
Deflandrea cf. *belfastensis* Cookson & Eisenack 1961
Hystrichospshaera sp.

Partea inferioară a stratelor de Deva în aflorimentul de la Șoimuș conține polen de tip *Normapolles* și tricolpat în cantitate mică. Compo-

ziția este aproximativ următoarea : sporii netezi 29 %, *Microreticulatisporites ureuticus* 13 %, *Polypodiaceoisporites* 5 %, *Trilites* sp. 3 %, *Tricolpites* div. sp. 5 %, *Pinuspollenites* 5 %, *Gleicheniidites* 4 %, restul componentelor fiind sub 5 %.

Această asociație inferioară în care apar primele tipuri de *Normapolles* -- în special *Complexiopolis praeatumescens*, este extrem de caracteristică. Asociații asemănătoare sunt cotate în Cenomanian-Turonianul din Spania de V a n A m e r o m (1965) și de K r u t z s c h i n Germania (1957, a, 1957 b, 1959). În partea superioară a aflorimentului predomină cantitativ polenul de tip *Normapolles* dintre care amintim *Santonipollis*, *Trudopollis*, *Oculopollis*, *Complexiopolis*, *Suemagipollis*, și apare *Deflandrea cf. belfastensis*. Predominarea cantitativă a polenului de tip *Normapolles* este în Munții Metaliferi, după părerea noastră, un indice al intervalului Turonian inferior – Santonian. Este un tip de asociație pe care l-am observat de altfel în stratele de Bozeș (Turonian inferior – Santonian), strate cu care paralelizăm partea superioară a aflorimentului de strate de Deva de la Soimuș-Deva.

Acestea sunt deocamdată primele date pe care le posedăm asupra microflorei stratelor de Deva; în anii următori ele urmând să fie completeate.

În stratele de Deva există deci un prag palinologic dat de creșterea bruscă a polenului de tip *Normapolles* de tip angiospermic. Două zone palinologice par să se individualizeze în stratele de Deva, una inferioară în care polenul de tip angiospermic este încă în cantitate redusă – corespunzătoare Cenomanian-Turonianului inferior și una superioară în care polenul angiospermic devine predominant cantitativ – corespunzătoare Turonianului inferior -- Santonianului.

I) Stratele de Valea Lăstiorului. Cenomanian superior – Turonian – Santonian ?

La S de valea Ampoiului, la W de valea Galați, și SE de Zlatna, în regiunea comunei Valea Mică apare o formațiune constituită din conglomerate cu clemente de calcare cenușii, gresii grosiere micaferice cenușii brunegălbui, și sisturi argilo-grezoase sau argilo-marnoase, frămintate, satinante, de culoare cenușie negricioasă. Faciesul lor aparte dat de sisturile argilo-marnoase satinante, poziția lor ce pare să se interpună între stratele de Valea lui Paul și stratele de Bozeș, ce aflorează la S de fâșia de roci bazice Cib-Valea Mică-Presaca Ampoiului, par să indice o formațiune aparte. În

1971⁵ am propus cu titlu provizoriu pentru această formățină numele de strate de Valea Lăstiorului, după valea în care apare cel mai bine deschisă. Microflora acestei formațiuni, pe care am cercetat-o sumar în anul 1971, conține :

- Leiotriletes maxoides*
- Dictyophyllidites* sp.
- Microreticulatisporites urticatus*
- Camarozonosporites insignis*
- Trilites* sp.
- Corrugatiosporites toralus*
- Cicatricosisporites* sp.
- Costatoperforosporites triangulatus*
- C. fistulosus*
- Appendicisporites tricornitatus*
- A. matesovae*
- Ephedripites* sp.
- Oculopollis* sp.
- Trudopollis* sp.
- Tricolpites* sp.
- Densosporites* sp.
- Pinuspollenites* sp.
- Dinogymnium* sp.
- Hystrichosphaeridium* sp.
- Concentricystes* sp.

Asociația pare mai nouă ca vîrstă decât stratele de Valea lui Paul, conținind polen de tip *Normapolles* în cantitate redusă, și mai veche decât stratele de Bozeș (Turonian inferior — Santonian) în care polenul tip *Normapolles* domină cantitativ.

Deși este mai săracă în genuri și specii decât microflora straturilor de Deva, asociația palinologică a straturilor de Valea Lăstiorului din cîte reiese pînă în prezent, prin apariția în cantitate redusă a polenului de tip *Normapolles* și prezența genului *Dinogymnium*, pare să se încadreze în intervalul Cenomanian superior — Santonian. Cercetările viitoare vor infirma sau confirmă atît individualitatea acestei formațiuni, sau apartenența la alte formațiuni, cît și vîrstă atribuită.

⁵ E. Antonescu. Raport geologic. 1971. Arh. Inst. Geol. București.

J) *Stratele de Bozeș - faciesul de fliș. Turonian — Santonian*

Referitor la regiunea Geoagiu-Vînțul de Jos vrem să menționăm că formațiunile separate de Camelia Tomescu et al. (1969) sub numele de strate de Bobilna și strate de Geoagiu s-au dovedit a fi pînă în prezent sterile palinologic, astfel că nu le vom discuta. Avind în vedere fauna pe care o conțin, și vîrstă care li s-a atribuit de Camelia Tomescu et al. (1959) turonian — coniacian superioară și faptul că stratele de Bozeș sunt de vîrstă turonian — santoniană, considerăm că este posibil ca stratele de Bobilna și Geoagiu să reprezinte variații de facies ale stratelor de Bozeș cauzate de ridicarea cristalinului din zona Vârmaga — Bobilna.

Stratele de Bozeș — faciesul de fliș au fost denumite ca atare de Ghîțulescu & Socolescu (1941), care le atribuie Cenomanianului. În 1963 Bleahu & Dimian, printre alte fosile, citează la baza straturilor de Bozeș specia *Inoceramus labiatus* Schloeth. și *Baculites anceps* la partea superioară acordindu-le vîrstă turonian — senoniană, cuprinzând însă la faciesul de fliș și depozitele în facies proximal-detritic din regiunea Vînțul de Jos. Dimian & Elena Dimian-Pop (1964) separă stratele de Bozeș — faciesul de fliș de depozitele faciesului proximal-detritic grosier, însă arată că se întrepătrund stratigrafic și consideră stratele de Bozeș de vîrstă turonian-campaniană, și depozitele faciesului proximal-detritic de vîrstă turonian — maestrichtian inferior. Camelia Tomescu et al. (1969) cuprind sub denumirea de strate de Bozeș faciesul de fliș și faciesul proximal-detritic și le atribuie Santonian — Maestrichtianului inferior. Mantea et al. (1971) denumesc faciesul de fliș și faciesul proximal detritic ca strate de Bozeș considerindu-le turonian — maestrichtiene. Deosebesc trei faciesuri: cel de fliș, wildflyschul (semnalat pentru prima dată, reprezentind depozitele din sectorul Bulbuc — Ciungii) și faciesul de molasă (= faciesul proximal-detritic). Ianovici et al. (1969) păstrează concluziile lui Dimian & Elena Dimian-Pop (1964) și denumirea de strate de Bozeș și facies proximal-detritic; pentru faciesul proximal-detritic reiese că se atribuie vîrstă santonian-maestrichtiană, iar pentru stratele de Bozeș vîrstă turonian — maestrichtiană ?.

Am insistat asupra acestui istorie, întrucât considerăm depozitele faciesului de fliș și faciesului proximal-detritic ca două formațiuni stratigrafice deosebite care sunt și de vîrste diferite. Faciesul de fliș trebuie să păstreze denumirea de strate de Bozeș, întrucât pentru faciesul de fliș care aflorează în partea de vestă regiunii Geoagiu-Vînț a fost dată denu-

mirea inițială de Ghîțuleșeu & Socolescu (1941), care le atribuie de fapt și altă vîrstă. Tipul litologic caracteristic al faciesului de fliș, alternanță monotonă și continuă de ritmuri de gresii și marne, este prezent în regiunea Geoagiu-Vîntul de Jos pînă la o linie care ar trece aproximativ pe la Sărăcsău – Acmariu, apoi puțin la E de Răcătău, și s-ar îndrepta spre N către valea Ampoiului întrre Prisaca Ampoiului și Poiana Ampoiului. La E de această linie, faciesul începe să se schimbe prin apariția unor gresii grosiere în banchuri metrice (bine dezvoltate în valea Cîrna-Blandiana) care trece la conglomerate ce marchează baza depozitelor faciesului proximal-detritic grosier.

Observind răspândirea faunei și microfaunei, după autorii citați mai sus care au cercetat faciesul de fliș și faciesul proximal-detritic, se observă că faună sau microfaună mai nouă decît Santonianul, în spate campaniană, apare doar la E de linia Sărăcsău – Răcătău. Nicăieri la W de această linie nu sunt argumente paleontologice care să indice o vîrstă mai nouă decît Santonianul.

Deçi depozitele faciesului de fliș – stratele de Bozeș sunt de vîrstă turonian – santoniană și apar în W regiunii Geoagiu-Vînt, iar depozitele faciesului proximal-detritic grosier sunt de vîrstă santoniană – maestrichtiană inferioară, și se dezvoltă în E regiunii Geoagiu-Vînt.

Cercetările palinologice incepute de noi în anul 1969–1970 asupra acestor formațiuni ne-au sugerat și confirmat această ipoteză – a două complexe diferite unul de celălalt, deci care nu se indințează : faciesul de fliș – stratele de Bozeș (cuprinzînd și faciesul de wildflysch al straturilor de Bozeș, cum denumesc Mantea et al. 1971 depozitele cu intercalări de material eruptiv din sectorul Cimngi-Bulbuc) inferior, și depozitele faciesului proximal-detritic, superior. Aceste două formațiuni au fiecare o asociere palinologică bine definită, cea din depozitele faciesului proximal-detritic fiind net mai superioară, prin genurile și speciile care o compun, decît microflora faciesului de fliș – stratele de Bozeș.

Cercetările noastre din 1970⁶ au pus în evidență în depozite atribuite Apfianului de antecercetători pe valea Fierului lîngă Ampoia, o asociere palinologică identică cu cea a straturilor de Bozeș. Deci, întreaga succesiune a depozitelor în facies de fliș de pe valea Fierului (de la limita cu Tortonianul pînă la limita cu eruptivul bazic) conține aceeași microfloră și, trebuie atribuită straturilor de Bozeș, reprezentînd singura lor apariție la N de valea Ampoiului.

⁶ E. Antonescu. Raport geologic. 1970. Arh. Inst. Geol. București.

Determinările noastre asupra microflorei stratelor de Bozeș au dus pînă în prezent la identificarea următoarelor genuri și specii:

- Leiotriletes maxoides*
- Intertriletes scrobiculatus* Anderson 1960
- Retitriletes* sp. 1
- Zlavisporites blanensis* Pacltova 1961
- Microreticulatisporites urcuticus*
- Trilites* sp.
- Cicatricosporites* sp. (nedeterm.)
- C. hughesi*
- Trilobosporites canadensis* Pocock 1962 ex Göczán 1964
- Corrugatisporites toratus*
- Polypodiaceoisporites* sp.
- Densosporites* sp.
- Pinuspollenites* sp.
- Suemegipollis triangularis*
- Complexipollis* cf. *turonis*
- cf. *Semiovulipollis* sp.
- Interporopollenites proporus* Weyland & Krieger 1953
- Emscheripollis gracilis minutus* Pacltova & Krutzsch 1969
- Oculopollis* cf. *semimaximus* Krutzsch 1968
- Oculopollis* cf. *maximus* Krutzsch 1968
- Oculopollis* „*rond-verruqueux*” ex Medus 1970
- Oculopollis* cf. *parvoculus* Göczán 1964
- Oculopollis zaklinskaie* Göczán 1964
- O. orbicularis*
- Longanulipollis* cf. *longianulus* (Göczán) Göczán 1967
- Longanulipollis* sp.
- „*Extratriporopollenites triceps*” ex Skarby 1968
- Vacuopollis* sp.
- Normapolles* tip 4
- Dinogymnum* cf. *acuminatum* Evitt, Clarke & Verdier 1967
- Dinogymnum* cf. *nelsonense* Cookson 1966
- Dinogymnum* sp.
- Deflandrea* cf. *cooksoni* Alberti 1959
- Deflandrea* cf. *belfastensis* Cookson & Eisenack 1961
- cf. *Lejeunia* sp.
- Concentricystes* sp.

Asociația este dominată de polenul tip *Normapolles* și cel tricolpat. Specia preponderentă este *Oculopollis orbicularis* 22–64%. *O. cf. semima-*

ximus și *O. cf. maximus* sint în procente de 3–15 %, *Suemegipollis* 4–6 %, *Emscheripollis* 2–3 %, *Longanulipollis* 4–10 %, *Complexiopollis* 2–5 %, *O. cf. parvulus* 5–15 %, restul componentelor fiind sub 5 %.

Cîteva considerații asupra vîrstei pe care o indică această asociație palinologică. Remarcăm că singurele argumente pentru vîrsta turoniană a stratelor de Bozeș sint *I. labiatus* determinat de Popa-Dima și Elena (1963) de pe valea Galațiului, și probele micropaleontologice determinate de Maria Tooreanjescu (dnpă Mantea et al. 1971) din sectorul Ciungi-Bulbuc care indică Turonianul superior – Coniacianul. Restul speciilor ca *Inoceramus cardissoides* Goldf. și *Inoceramus decipiens* Zittel, indică Santonianul. Amintim acest lucru întrucât microflora stratelor de Bozeș este uniformă cantitativ și calitativ, pe tot intervalul stratigrafic, de la partea lor inferioară – sectorul Bozeș, valea Galațiului, și pînă la nivelele conglomeratice din partea superioară – sectorul Aemariu, Răcătău, vîrful Tîrnicioarei.

Să vedem care sunt indicațiile de vîrstă pe care le dă microflora. În Europa, următorii cercetători studiază palinologia Cretacieului superior din Germania, Ungaria, Cehoslovacia, Franța, Suedia: Krutzsch (1957 a, 1957 b, 1959, 1968), Pfug (1953), Weyland & Greifeld (1953), Weyland & Krieger (1953), Göczán (1964), Göczán, Groot, Krutzsch & Paeltova (1967), Krutzsch (1966 în Döring, Krutzsch, Mai & Schulz), Paeltova (1961, 1967), Paeltova & Mazanecova (1966), Medus (1970 a, 1970 b), Skarby (1968), Amerom (1965) și Groot & Groot (1962) cercetează Cenomanian – Turonian din Spania și Portugalia. Nu ne vom referi la lucrările asupra Cretacieului superior din America de N ca cele ale lui Norton & Hall (1969), Srivastava (1966), sau U.R.S.S., Zaklinskaja (1963), Bratzeva (1967), întrucât din Cretaceul superior începe diferențierea microflorelor și asociațiile palinologice din Europa nu mai seamănă cu cele din alte părți ale lumii. Comparind lucrările citate mai sus, se observă că microflora Turonianului este diferită de cea a stratelor de Bozeș prin faptul că genul *Oculopollis* nu este așa de răspândit. În schimb în Santonianul din munții Bakony – Ungaria (Göczán 1964), sau Franța – Piolenc (Krutzsch 1968, Medus 1970 a, b) genul *Oculopollis* este prezent în procente mari, și specii ca *O. orbicularis*, *O. cf. maximus* și *O. cf. semimaximus*, printre altele, descrise în aceste regiuni se întîlnesc și în microflora stratelor de Bozeș.

Deci, microflora stratelor de Bozeș este tipică în primul rînd pentru Senonianul inferior, putînd fi corelată cu microflora Santonianului din

Ungaria și Franța. Că acest tip de asociație poate fi în Munții Metaliferi caracteristic și pentru Turonian, este un fapt foarte posibil; în România palinologia Turonianului este puțin cunoscută (Balteș 1971 nu dă pentru acest etaj date concluzive). Deci, dacă argumentele macro și microfaunistice asupra existenței Turonianului în stratele de Bozeș sunt valabile, putem afirma că întreg intervalul Turonian inferior — Santonian îl este caracteristică asociația cu *O. orbicularis*, și că pe baza microflorei, deocamdată, nu se poate separa Turonianul de Senonianul inferior în Munții Metaliferi.

Microflora stratelor de Bozeș se deosebește de cea din partea inferioară a stratelor de Deva de la Șoimuș, prin predominarea polennului tip *Normapolles*. Faptul că se asemănă cu cea din partea superioară a stratelor de Deva, ne îndreptățește să o plasăm într-o zonă palinologică corespunzătoare Turonianului inferior — Santonianului.

K) Faciesul proximal-detritic grosier, Santonian — Maestrichtian inferior

Aceste depozite aflorează în partea de SE a Munților Metaliferi, într-un sector mărginit la W de linia Sărăcsău-Acmariu-Răcătău-Vîrful Mare, la N de limita stratelor de Meteș ce trece pe la S de Poiana Ampoiului și Tăuți, iar la E și S de limita cu depozitele faciesului detritic roșu maestrichtian superioare, sau șesul aluvial al Mureșului — limită ce trece prin apropierea dealului Mamutului-Piclișa-Stăuinii-Vurpăr.

Formațiunca este alcătuită din punet de vedere litologic din depozite detritice grosiere.

Conglomeratele sunt poligene și pot atinge grosimi de zeci de metri mai ales spre baza formațiunii. Sunt dezvoltate cu precădere în partea de W a zonei de apariție. Într-o parte superioară a formațiunii devin mai importante gresile, care pot fi de mai multe tipuri: grosiere, fine, în genere polimictice, puternic sau slab consolidate; sunt în alternanță cu marne și argile slab nisipoase. În partea cea mai superioară a seriei care aflorează în văile Piclișa, Mihai, Stăuinii, alternanțele de argile marnoase și nisipuri cenușii devin din ce în ce mai frecvente.

Formațiunea este bogat fosiliferă, iar diferenți autori ca: Iacob (1945, 1949, 1953), Ghîțulescu & Socolescu (1941), Pálfy (1903), Nopcsa (1905), Dimian & Elena Dimian-Pop (1964), Elena Dimian-Pop (1963), Camelia Tomescu et al. (1969) fac inventarul ei. Rezultă din aceste date că vîrstă formațiunii este santonian — maestrichtian inferioră. Cităm că fosile doar pe *Hoplitoplacentic*

ceras vari (Schilt) și *Inoceramus balticus* Böhl în pentru partea superioară a seriei, și microfauna cu *Globotruncana lapparenti* Brotz. și *Globotruncana fornicata* Pium. la partea inferioară a seriei.

Formaținnea în facies proximal detritic este bogată palinologic, ca și stratele de Bozeș, iar microflorele acestor două complexe se pot deosebi cu ușurință una de cealaltă. Iată care sunt genurile și speciile determinante pînă în prezent din această associație:

- Leiotriletes maxoides*
- Trilites* sp.
- Gleicheniidites semonicus*
- Retitriletes* sp. 1
- Polypodiaceoisporites* sp.
- Emscheripollis gracilis minutus*
- Trilobosporites canadensis*
- Zlirisporites blanensis*
- Cicatricosporites hughesi*
- Contignisporites perplexus* (Singh) Norris (1967)
- Trudopollis* ? sp. 1
- Interporopollenites proporus*
- Hungaropolis krutzschii* Göczán 1964
- Hungaropolis* sp.
- Longanulipollis* ? *coronatus* (Göczán) Göczán 1967
- cf. *Plicapollis* sp.
- Semioculopollis* sp.
- cf. *Piolencipollis* sp.
- Suemegipollis triangularis*
- Pseudopupillipollis praesubherzynicus* (Göczán) Göczán 1967
- cf. *Trudopollis hemiperfectus* (Pflug) Pflug 1953
- Tricolpites* sp. 1
- T.* sp. (en reticul)
- Tricolporopollenites* sp.
- cf. *Triporopollenites robustus* Pflug 1953
- Pistilipollenites* sp.
- Membranilarcia* sp.
- Deflandrea* cf. *minor* Albrecht 1959
- Dinogymnium* sp. 1
- Dinogymnium* sp. 2

În nivelul cu *H. vari*, microflora are ca specii mai frecvente: cf. *Triporopollenites robustus* 15%, *Interporopollenites* 14%, *Longanulipollis*

și *Trudopollis* 5 %, *Emscheripollis* 6 %, polenul tricolpat și cel tricolporat 10 %, restul genurilor și speciilor fiind sub 5 %. Este o compoziție în genere heterogenă, microflora nefiind dominată de o specie anume.

Față de microflora stratelor de Bozeș se vede că o deosebire esențială este dispariția speciilor de *Oculopollis* cu „oculi” mari, *O. orbicularis* nu mai depășește conținutul mediu, și apar o serie de genuri și specii noi *Hungaropolis*, cf. *Plicapollis* sp., *Longanulippolis*? cf. *coronatus*, *Pseudopapillopolis prae subherzynicus*, cf. *Triporopollenites robustus*, etc.

Această asociație are multe puncte comune cu Senonianul din Germania dar mai ales cu Campanianul — Valdonianul, Fuvelianul și Maestrichtianul superior din Franța (M e d u s 1970 b), și cu Campanianul și Maestrichtianul din munții Bakony — Ungaria (G ó c z á n 1964).

Această asociație, prin caracterile sale specifice, constituie o zonă palinologică bine individualizată corespunzătoare intervalului Santonian — Maestrichtian inferior.

L) Faciesul detritic roșu. Maestrichtian mediu și superior

În jurul localității Alba-Iulia apar depozite detritice de culoare roșie a căror vîrstă a suscitat multe discuții din cauza lipsei de argumente paleontologice.

Ne vom referi la pietrișurile cu ciment roșcat din SE-ul dealului Bilag, aflorimentul de pietrișuri cu ciment roșu, nisipuri gălbui și cenusii, argile roșii și gresii grosiere polimietice gălbui de la Șard (punctul unde valea Ampoiului întreține șoseaua Alba-Iulia — Zlatna), argilele roșii-violacee și nisipurile cenușii de la Ighiș, la formațiunea detritică roșie ce apare la W de Alba-Iulia în malul drept al Mureșului în sectorul Vîrnpăr-Piclișa-dealul Mamutului, și formațiunea detritică roșie de la Oarda din malul stâng al Mureșului. Nu am văzut pe teren formațiunea roșie care apare în prelungirea fâșiei de la Oarda și anume sectorul Ciugud-Hăpria și Lanerăm, iar la Ripa Roșie lingă Sebeș mai urmează să mai facem cercetări.

Cei care au abordat prin studiile lor depozitele faciesului detritic roșu din jurul localității Alba-Iulia, au adoptat în ceea ce privește vîrstă părerile pe care le vom expune în cele ce urmează.

Elena Dimian-Popa (1963) admite pentru formațiunea roșie din malul drept al Mureșului, sectorul Vințul de Jos — Piclișa, vîrstă maestrichtian medie și superioară.

Dimian & Elena Dimian-Popa (1964) fac un istoric al concepțiilor diferenților cercetători asupra acestei formațiuni. Arată că

Nopcsa în 1904 găsește în formațiunea roșie dinti de *Rhabdodon priscus* și oase de ornithopode la Vurpăr, iar la Rîpa Roșie fragmente de oase de Sauropode, și-i atribuie vîrstă daniană. Acești autori arată că, ținind seamă de lucrările lui Jelletsky (1951, 1960, 1962), vîrsta depozitelor roșii trebuie să fie maestrichtian-superioară admitînd acest lucru și pentru regiunea Hațeg-Pui-Rusca Montană.

Ulterior Bleahu & Dimian (1967) atribuie depozitele de la Șard, Ighiu, Rîpa Roșie, Ciugud, „cît și pe malul drept al Mureșului, de la Șard spre Sud”, Oligocenului paraleлизîndu-le cu stratele de Tic. Argumentele sunt existența unor fragmente de calcare cu *Nummulites fabiani* și alveoline, într-o zonă „urmărită de la dealul Bilag spre sud prin Ciugud pînă la Rîpa Roșie”. Bleahu & Dimian (1967) citează și pe Koch care găsește la Rîpa Roșie *Aceratherium cf. goldfussi*.

În Harta Geologică a României sc. 1:200.000 foaia 18 Turda depozitele faciesului detritic roșu din malul drept al Mureșului, cele din dealul Mamutului, Șard, Ighiu, dealul Bilag, și fîșia Ciugud-Lanerăm, sunt atribuite Oligocenului și paralelizate cu stratele de Tic.

Ianovici et al. (1969) citind pe Hermann (1938) și Bleahu & Dimian (1967) atribuie tot Oligocenului depozitele faciesului detritic roșu, pe care le-ai specificat la foaia Turda, figurîndu-le și pe hartă la fel.

Camelia Tomescu et al. (1969) atribuie depozitele roșii din malul drept al Mureșului, sectorul Vurpăr — Pielișa vîrstă maestrichtian-superioară, amintind că Palliy în 1902 și Iacob citează în formațiunea roșie *Sabal major Vida*, iar Nopcsa în 1909 fragmente de oase de dinosaurieni.

În raportul geologic din anul 1970⁷ am arătat că am găsit o asociație palinologică în depozitele faciesului detritic roșu de pe valea Pielișa la circa 100—200 metri de limita cu drumul Alba-Iulia-Pielișa, deci la partea cu totul superioară a formațiunii detritice roșii. La acea dată, neputînd determina cu precizie din lipsa literaturii microflora găsită, am presupus că asociația este de vîrstă paleogen superioară-oligocenă și că în fîșia de depozite roșii din malul drept al Mureșului ar exista de fapt două formațiuni. Una inferioară aparținând Maestrichtianului superior, deoarece trecerea continuă între depozitele faciesului proximal-detritic santonian — maestrichtian inferior și cel detritic roșu este evidentă, și una transgresivă, superioară, însă a cărei limită nu se poate sesiza din cauză similitudinii de facies, aparținând Paleogenului superior — Oligocenului⁸.

⁷ E. Antonescu. Raport geologic. 1970. Arh. Inst. Geol. București.

Totodată arătam că această situație este valabilă pentru zona văii Pielișa; pentru restul regiunii în jurul localității Alba-Iulia fiind greu de spus care este situația, din lipsă de date.

Între timp am mai colectat probe din același punct, am reușit să ne procurăm lucrările de specialitate care ne lipseau, am revizuit determinările și iată care sunt concluziile noastre privitor la formațiunea detritică roșie din sectorul Pielișa, și imprejurimile localității Alba-Iulia.

Microflora este extrem de caracteristică, fiind dominată de specia *Pseudopapillipollis praesubherzynicus* (Góczán) Góczán 1967. Eroarea noastră a provenit din faptul că am confundat această specie, figurată foarte neclar și descrisă inițial de autor ca aparținând genului *Trudopollis*, cu *Subtriporopollenites simplex* (Potonie & Venkatachala) subsp. *circulus* Pfug 1953. (La data cînd am scris raportul nu posedam lucrarea lui Góczán, Groot, Krutzsch & Pacłtová 1967, în care este descris nouă gen *Pseudopapillipollis praesubherzynicus*). Această specie — *P. praesubherzynicus*, este dată ca fiind prezentă în procente mari și caracteristică pentru Maestrichtianul din Ungaria (Góczán 1964), și intervalului Campanian superior — Maestrichtian superior din provincia mediteraneană (Góczán, Groot, Krutzsch & Pacłtová 1967). Medus (1970 b) semnalează și el această specie în Fuvelianul din Provence — Franță.

Această specie este foarte rară în depozitele faciesului proximal detritic santonian — maestrichtian inferior, la partea superioară unde apare *H. vari*. Faptul că ea apare acum dominant la partea superioară a depozitelor faciesului detritic roșu de pe valea Pielișa și ținind cont de faptul că este caracteristică pentru Maestrichtian, ne face să atribuim Maestrichtianului mediu și superior întreaga stivă de depozite în facies detritic roșu de pe valea Pielișa și implicit, din sectorul Vurpăr — valea lui Mihai — Pielișa.

Ce se întimplă cu restul depozitelor roșii din jurul localității Alba-Iulia?

Trebuie să admitem în primul rînd că în regiune există și o formătiune roșie detritică post-eocenă, în spăță oligocenă?, deoarece la SE-ul dealului Bilag se vede clar cum pietrișuri cuarțoase cu ciment roșu stau transgresiv peste depozitele eocene cu *Nummulites fabiani*. Deci în orice caz, în jurul localității Alba-Iulia există două formațiuni detritice roșii, una maestrichtiană și una terțiară — probabil oligocenă.

Acest lucru odată admis, intrînd în domeniul ipotezelor, trebuie să mai admitem că există posibilitatea ca aceste două formațiuni detritice

roșii să vină în contact și acest lucru să nu fie sesizabil din cauza similitudinii de facies.

Astfel, fișia de depozite roșii ce sunt la W de Alba-Iulia, în malul drept al Mureșului în continuare de la Pielișa spre dealul Mamutului — Șard poate fi în întregime maestrichtiană sau, admisind că depozitele roșii de la Șard (punctul unde valea Ampoiului întrețineștește Alba-Iulia — Zlatna) sunt oligocene, putem admite că o parte din aceste depozite de la Șard pînă la dealul Mamutului sunt oligocene — contactul între ele și depozitele maestrichtiene neputind fi sesizat.

Probabil că depozitele detritice roșii din dealul Bilagului și de la Ighiu sunt oligocene. Palinologic ele sunt sterile.

La Oarda de Sus, în malul stîng al Mureșului, unde există intercalate între depozitele detritice roșii nisipuri cu fragmente cărbunoase și trunchiuri de arbori fosili de cîțiva metri lungime, similare într-un fel cu depozitele de nisipuri argiloase cărbunoase cu microfloră maestrichtiană de pe valea Pielișa, este posibil să fie prezent Maestrichtianul. Probele palinologice de aici sunt sterile, iar J. Petrescu de la Facultatea de Geologie a Universității din Cluj căruia i-am dat spre determinare un fragment de trunchi fosil, ne-a comunicat că este vorba de un *Podocarpus* sp. ceea ce nu aduce vreun argument asupra vîrstei în cazul de față. Nu știm ce se petrece cu depozitele roșii din restul fișiei Ciugud — Lancrâm, nefăcind încă studii palinologice în acest sector.

La Ripa Roșie, datele paleontologice de pînă acumă sunt contradictorii deoarece Nopcsa (1904 după Dimian & Elena Dimian-Popa 1964) a găsit oase de reptile, iar Koch (după Bleahu & Dimian 1967) citează *Aceratherium* cf. *goldfussi*. Pe de altă parte menționăm că Filipescu (1971) consideră Ripa Roșie ca unul din punctele fosilifere cu reptile din țara noastră. Să fie vorba și aici de o suprapunere a depozitelor roșii oligocene peste depozitele roșii maestrichtiene?. Este greu de spus deocamdată. Palinologic, pînă în prezent acest punct este steril.

Iată care sunt, după determinările pe care le-am făcut pînă în prezent, genurile și speciile din asociația palinologică de pe valea Pielișa:

Leiotriletes sp.

L. mazoides

Gleicheniidites cercinidites

Cicatricosisporites cf. *dorogensis* Potonié & Gelleitch 1953

C. cf. hughesi

Ephedripites sp.

- Densoisporites perinatus*
Echinatisporites cf. *longechinus* Krutzsch 1959
Pistilipollenites sp.
Trilites sp.
Trudopollis sp. 2
Trudopollis cf. *imperfectus* (Pflug) Pflug 1953
Oculopollis sp.
O. cf. *orbicularis*
cf. *Semioculopollis* sp. determ. prov.
Normapolles tip 1
Normapolles tip 2
Normapolles tip 3
Suemegipollis triangularis
Interporopollenites proporus
Papillopollis cf. *clarescens* Weyland & Krieger 1953
P. sp.
cf. *Pflugipollis* sp.
Emscheripollis cf. *gracilis gracilis* Pacltova & Krutzsch
1969
Pseudopapillopollis praesubherzynicus
cf. *Triplopollenites robustus*
cf. *Triatriopollenites coryphaeus* (Pontonie) microcoryphaeus Thomason & Pflug 1953
cf. *Oacolpopollenites* sp.
Tricolpopollenites cf. *geranioides* (Copper) Elsik 1968
Tricolpites sp. 2
Tricolpoporites sp.

Asociația este dominată de *Pseudopapillopollis praesubherzynicus* 40%, și cf. *Triplopollenites robustus* 13%. Urmează ca frecvență *Interporopollenites* 10%, *Emscheripollis* 9%, restul componentelor fiind sub 5%.

Ar fi prematur să spunem că acest tip de asociație palinologică în care predomină *P. praesubherzynicus* constituie o zonă palinologică, mai ales că este posibil ca în depozitele faciesului detritic roșu de la Piclișa să avem de-a face cu o asociație sărăcită, cu un caracter local, depusă într-o mlaștină sau bazin continental. Este deci foarte diferită ecologic de asociația depozitelor faciesului proximal-detritic — nivelul cu *H. vari* depusă într-un mediu marin, deci într-un mediu cu surse de material polinic variat. Însă în favoarea existenței unei zone la partea superioară a Maestrichtianului, din această regiune a țării, în care *P. praesubherzy-*

nicus să fie foarte răspindit, ca în Ungaria, intervine alt fapt. Am cercetat informativ cîteva probe (date de A. Dîncă) din orizontul cărbunos de la Rusca Montană, care recent a fost atribuit de Dîncă, Tocorjeșeu & Stîllă (1972) Maestrichtianului. Asociația palinologică a orizontului cu cărbune de la Rusca Montană este foarte asemănătoare cu microflora faciesului detritic roșu de la Piclișa. Microflora de la Rusca Montană este mai bogată în genuri și specii, însă la prima vedere nu se deosebește prin trăsături esențiale de asociația de la Piclișa conținând *P. praesubherzynicus*, cf. *T. robustus*, *Interporopollenites*, *Emscheripollis*, *Trudopolis* (specii asemănătoare) etc. Baltes (1966 b) studiind microflora orizontului cărbunos de la Rusca Montană, susține vîrstă daniană-palcocenă a acestor depozite. Fără să infirmăm această vîrstă deoarece nu am făcut un studiu sistematic propriu-zis al acestor depozite, afirmăm pe baza datelor de care dispunem actualmente că în orizontul cu cărbuni de la Rusca Montană trebuie să fie cuprins și Maestrichtianul. Similaritatea, în mare, a asociației palinologice a depozitelor faciesului detritic roșu de la Piclișa cu cea a orizontului cu cărbuni de la Rusca Montană și asemănarea cu Maestrichtianul din munții Bakony, ne face să admitem că microflora de la Piclișa se încadrează într-o zonă palinologică caracteristică Maestrichtianului mediu și superior din această regiune a țării.

Asociația palinologică a depozitelor faciesului detritic roșu de la Piclișa reprezintă pînă în momentul de față microflora cretacică de tipul cel mai superior din Munții Metaliferi.

Cercetările efectuate pînă în prezent în formațiunile cretacice din Munții Metaliferi nu au pus în evidență o asociație palinologică care să indice Danian — Paleocenul. Ne referim acum la depozitele Senonianului din fosa Bucium, unde Ianovici et al. (1969) citează la Lupșa, pe valea Arieșului o asociație palinologică determinată de M. Olteanu care conține: *Triplanosporites* sp. Thomson & Pflug, *Toroisporis torus* Pflug subf. *torus* (Krantzsch) Krantzsch 1959, *Punctatosporites palaeogenicus* Krantzsch; asociație care după M. Olteanu ar indica Danian — Paleocenul. După părerea noastră această asociație este cu totul insuficientă pentru a motiva existența Danianului sau a Palcocenului, etaje ce necesită asociații bogate și anumite forme caracteristice pentru a fi dovedite palinologice. Studiile noastre palinologice asupra Senonianului din fosa Bucium sunt în curs de efectuare; primele date însă sunt neconclu-dente majoritatea probelor fiind sterile. Bineînțeles, aceasta nu înseamnă că Danianul sau Paleocenul nu ar putea exista în Munții Metaliferi; deocamdată însă nu există argumente palinologice în acest sens.

III. Zonarea microbiostratigrafică, pe baza datelor palinologice, a depozitelor cretacice din Munții Metaliferi

Cercetările palinologice efectuate de noi pînă în prezent în Munții Metaliferi, au pus în evidență distribuția diferențială pe verticală a microflorei (zone palinologice) în depozitele Cretacicului din Munții Metaliferi.

Cîteva cuvinte asupra metodei folosite de lucru în identificarea zonelor biostratigrifice și a paraleлизărilor făcute. Am căutat în primul rînd să vedem care este conținutul palinologic în punctele sau nivelele care erau bine datează macro sau micropaleontologic. În al doilea rînd am utilizat acele puncte sau nivele care conțineau asociații palinologice bogate, caracteristice, ce puteau prin însăși conținutul lor preciza vîrstă sau caracteriza nivelul respectiv. Prin comparare cu aceste prime asociații, am corelat celelalte depozite care nu aveau alte elemente paleontologice sau care conțineau anumite elemente dintr-o asociație palinologică caracteristică.

S-au putut identifica astfel o serie de zone palinologice care deocamdată credem că au doar valoare regională, deși s-ar putea ca unele dintre ele să fie valabile și în afara Munților Metaliferi.

A) Zonă Cret.₁^{H.?}-₂^{B.-AD.1} (*Hauterivian*?—*Barremian*—*Aptian inferior*)

Se desprinde din studiul microflorei stratelor de Căbești și a părții inferioare a stratelor de Valea Dosului.

Caracteristic părții inferioare a acestei zone este prezența în cantitate mare a genului *Classopollis* cu granule (probabil *C. cf. noeli*).

Există spori ce sunt specifici Cretacicului inferior ca *S. (Sculptisporis) hauteriviensis*. Apăr specii ca: *Pilosporites delicatus*, *Gonyaulacysta* cf. *aptiana*, *Cordosphaeridium eoinodes*, *Cicatricosporites brevilaesuratus*, cf. *Cooksonites reticulatus*, specii din grupul *Cicatricosporites-Appendicisporites* cu sculptură pozitivă și coaste așezate în formă de triunghiuri rare pe suprafață distală, care nu au mai fost întlnite pînă acum în zonele mai superioare.

Sunt de menționat speciile genului *Calliasporites* care mai apar doar în număr foarte mic în zona imediat superioară.

O serie de specii mai pot fi întlnite și în zonele mai superioare ca *Cyathidites australis*, *C. minor*, *Vitreisporites pallidus*, *Rotverrusporites obscurilaesuratus*, *Sestrosporites pseudoalveolatus*, spori din grupul *Concavissimisporites* — *Trilobosporites*. În catităte ridicată pot fi disaccatele — *Alisporites*, *Pinuspollenites*, *Podocarpites*.

Presupunem că variația cantitativă a unor genuri și specii din această zonă precum și faptul că unele specii au fost întâlnite numai în stratele de Căbești sau parte din inferioară a stratelor de Valea Dosului și viceversă sunt condiționate de variații de sedimentare sau ecologie.

B) Zona palinologică Cret.^{Ap. 2 - Al. 1 - 2} (*Apitan superior — Albian inferior sau mediu*)

Această zonă a fost pusă în evidență în stratele de Meteș — faciesul de Wildflysch apitan superior — albian inferior sau mediu și în partea superioară a stratelor de Valea Dosului, fapt ce a permis corelarea acestor două formațiuni stratigrafice.

Se deosebește de precedenta prin apariția unor noi genuri, caracteristice sau comune acestui interval stratigrafic, sau prezintă unele specii care deși în alte regiuni sunt în etaje mai inferioare decât Apitanul și Albianul, totuși în Metaliferi apar pentru prima dată la această zonă.

Dintre acestea sunt *Polypodiaceoisporites* sp., *Corrugatisporites toratus*, *Gleicheniidites carinatus*, *Ceratosporites equalis*, *Biretisporites potoniei*, *Plicatella trichacantha*, *Parrisuccites radiatus*, *Appendicisporites degeneratus*, *Trilites* sp., cf. *Deflandrea pirnaensis*, cf. *Deflandrea cincta*.

O serie de specii apar cantonate numai în această zonă, probabil prin faptul că sunt foarte rare în Cretacicul din Metaliferi, în alte regiuni din lume având o răspândire mai largă stratigrafică. Deși acest criteriu de separare este subiectiv, totuși aici este valabil deoarece citoletală aceste elemente rare, greu de observat, dău într-o asociație palinologică nota caracteristică. Printre aceste elemente sunt *Cicatricosisporites* sp. 2, *C. (Anemia) sibirica*, *Appendicisporites* cf. *grandis*, *Trilobosporites* sp., *Duplexisporites generalis*, *Pterodinium* sp.

Din zona palinologică inferioară Hautevian? — Apitan inferior, mai persistă *Trichodinium* cf. *intermedium*, *Cyclonephelium distinctum*, *Cicatricosisporites halpei*, *C. cf. venustus*, *Appendicisporites tricornitatus*, *A. cf. stylous*, *Oligosphaeridium*.

Dispar elementele tipice zonei H?.-B.-Ap. I, *Aequitriradites spinulosus*, *Cicatricosisporites brevilaesuratus*, *Gonyaulacysta apitana*, *S. (Sculptisporis) hautevicensis*, unele specii din grupul *Concarissimisporites*-*Trilobosporites* și *Cicatricosisporites*.

C) Zona palinologică *Cret.*^{Al.8}₁₋₂ *Ce.1* (*Albian superior -- Cenomanian inferior*)

Această zonă a fost dedusă din studiul microflorci stratelor de Pîriul Izvorului albian superioare și a stratelor de Valea lui Paul albian superior — cenomanian inferioare. Această zonă se caracterizează prin următoarele trăsături.

Marea răspindire a genului *Polypodiaceoisporites* care apare cu mai multe specii, dintre care unele neidentificate, *Polypodiaceoisporites reticulatus*, *P. potoniei*, *P. sp. 2*, *P. sp. 3*, *P. sp. 4*, *P. sp. 5*, *P. sp. 6*.

Sporii de tip *Trilites*, *Corrugatisporites toratus*, *Appendicisporites degeneratus*, spor tip D, sunt bine reprezentați.

Din grupul *Cicatricosisporites-Appendicisporites*, apar specii noi neînținute în zonele inferioare ca, *A. matesovae*, *C. venustus*, *C. proximoradiatus*, *Plicatella* cf. *erdmanii*, *Costatoperforosporites* div. sp.

Leiotriletes maxoides, una din speciile de spori tipici Cretacicului superior din Munții Metaliferi, își face apariția. Microplanctonul are specii neînținute în zonele inferioare ca *Lithosphaeridium siphoniphorum*, *Cleistosphaeridium ancoriferum*, *C. heteracanthum*.

Cel mai important eveniment care s-a petrecut în intervalul de timp corespunzător acestei zone este apariția primelor tipuri de polen angiospermic-polenul tricolpat.

O serie de spori din zonele inferioare dispar, sau sunt prezenti doar ca apariții sporadice, ca *Cyathidites*, *Parrisaccites radiatus*, *Pilosisporites* cf. *trichopapillosum*, *Classopollis*, majoritatea sporilor din grupul *Concavissimisporites-Trilobosporites*.

D) Zona palinologică *Cret.*^{Ce.2-T.1}₂ (*Cenomanian superior -- Turonian inferior*)

Este una din zonele care deși nu este încă prea bine localizată stratigrafic, fiind necesare studii de amănunt în stratele de Deva, este caracteristică prin apariția primilor poleni de tip *Normapolles* -- *Complexiopollis*, cf. *Santonipollis*, și dezvoltarea polenului tricolpat. Această schimbare în microfloră este generală în majoritatea depozitelor cretacice din Europa și se petrece la nivelul Cenomanianului superior — Turonianului inferior.

În partea superioară a zonei își fac apariția alte tipuri de polen din grupul *Normapolles* ca *Suemegipollis*, *Oculopollis*.

Ca elemente de microplancton sunt *Odontochitina*, *Cleistosphaeridium heteracanthum*, iar la partea superioară apare *Deflandrea* cf. *belfastensis*.

Sporii își păstrează importanța cantitativă la partea inferioară; către partea superioară încep să descrească procentual în favoarea polenului angiospermic.

Accastă zonă a fost identificată la partea inferioară a aflorimentului de strate de Deva de la Șoimuș și-n partea inferioară a stratelor de Valea Lăstiorului.

E) Zona palinologică Cret.^{T1-S1} (*Turonian inferior-Santonian*)

A fost identificată în cuprinsul stratelor de Bozeș, partea superioară a aflorimentului de strate de Deva de la Șoimuș, și partea superioară a stratelor de Valea Lăstiorului.

Se deosebește de zona precedentă prin predominarea cantitativă a polenului de tip *Normapolles* asupra sporilor.

Dintre spori sunt caracteristici *Leiotriletes maxoides*, *Microreticulatispories urcuticus*, *Trilobosporites canadensis*, *Zlivilisporites blanensis*, *Retitriletes* sp. 1, specii care în afară de *L. maxoides* își fac acum apariția.

Persistă spori ca *Polypodiaceoisporites*, *Trilites*, *Appendicisporites* și *Cicaticosisporites* div. sp. Un spor de tip *Densosporites* (posibil remaniat) este interesant prin faptul că apare și-n stratele de Deva și-n stratele de Bozeș; este unul din elementele care au permis paraleлизarea acestor două formațiuni fiind cantonat numai în ele.

Elementele caracteristice și totodată predominarea cantitativă sunt *Oculopollis orbicularis*, *O. cf. semimaximus*, *O. cf. maximus*, *O. zaklinskaie*, *O. rond-verruqueux* ex Meduns 1970, *Longanulipollis* cf. *longianulus*, *Normapolles* tip 4, și alte tipuri de polen tip *Normapolles*.

Ca elemente de microplaneton sunt caracteristice *Dinogymnum* cf. *nelsonense*, *Deflandrea* cf. *belfastensis*, *D. cf. cooksoni*.

F) Zona palinologică Cret.^{S1-M1} (*Santonian-Maestrichtian inferior*)

Este asociația depozitelor faciesului proximal-detritic din regiunea Vințul de Jos. Se deosebește de precedenta prin:

Dispariția speciilor de *Oculopollis* cu „oculi” mari ca *O. cf. semimaximus*, *O. cf. maximus*, *O. cf. zaklinskaie*, iar *O. orbicularis* nu depășește 5% din asociație.

Continuă aceleași tipuri de spori caracteristici Cretacicului superior pe care i-am menționat la zona precedentă. Dintre poleni continuă *Suemegipollis*, *Interporopollenites*, *Emscheripollis*.

Își face apariția noi tipuri de polen ca : *Hungaropolis*, *Pseudopapillipollis praesubherzynicus*, cf. *Triceropollenites robustus*, unele specii de *Longanulipollis* și *Semioculopollis*, diverse specii de polen tricolpat.

G) Zona palinologică Cret.^{Ma.2-3} (Maestrichtian mediu și superior)

Apartine depozitelor formațiunii detritice roșii cu dinosaurieni de la Vințul de Jos — Pițlișa.

Este caracterizată prin predominarea cantitativă a speciilor *Pseudopapillipollis praesubherzynicus*, cf. *Triplopollenites robustus*.

Apar o serie de specii de polen ca : *Normapolles* tip 1, 2, 3, *Trudopollis* cf. *imperfectus*, cf. *Triatriopollenites coryphaeus*, *Tricolporopollenites* sp.

Existența unei zone palinologice cu aceste caractere în depozitele maestrichtiene din Munții Metaliferi pare să fie argumentată și de asemănarea cu microflora orizontului cu cărbuni (studiată palinologic doar informativ deocamdată) de la Rusea Montană.

IV. Concluzii

Lucrarea de față aduce o serie de date noi cu caracter paleontologic și stratigrafic asupra depozitelor Cretacicului din Munții Metaliferi. Sunt prezentate primele rezultate ale cercetărilor palinologice sistematice, începute din anul 1968. Cercetările vor continua pînă aproximativ în anul 1975 dată la care se presupune că vor fi studiate din punct de vedere palinologic măcar informativ toate formațiunile cretacice din Munții Metaliferi.

Vom prezenta, în cîte ce urmează, concluziile ce reies din acest studiu.

1. Sunt identificate pînă în prezent aproximativ 100 genuri și 220 specii de spori polen și paleoprotiste în formațiunile cretacice care au fost cercetate din punct de vedere palinologic. Multe din determinări au încă un caracter provizoriu și nu este citat întreg conținutul palinologic al formațiunilor investigate, accasta urmînd să se facă într-o lucrare viitoare, ca și descrierile paleontologice ale fiecărui gen și specie.

2. Studiile palinologice au adus argumente paleontologice pentru trei formațiuni care erau sterile pînă în prezent din acest punct de vedere : stratele de Căbești, stratele de Valea lui Paul, formațiunea detritică roșie din SE-ul Munților Metaliferi.

3. Din studiul prezent reiese că dintre formațiunile cercetate, următoarele sunt pînă acum sterile sau au un conținut palinologic neconcludent : complexul silicos violaceu — stratele de Curechiu, faciesul vulcanogen

sedimentar grosier --stratele de Feneș inferioare, stratele de Feneș superioare. Aceste complexe au fost cercetate doar informativ din cauza faciesului neprielnic studiilor palinologice; este posibil totuși ca și în aceste depozite să se găsească în viitor date palinologice interesante.

Următoarele formațiuni cretacice din Munții Metaliferi conțin spori polen și paleoprotiste.

4. Seria flișoidă grezoasă -- stratele de Căbești. Microflora descrisă reprezintă primele fosile identificate în această formățiune. Asociația pare să indice intervalul Hauterivian? — Barremian — Aptian inferior. Microflora a fost întlnită într-o serie de probe pe valea Lupului — Buninginea.

5. Seria flișului calcaros-stratele de Valea Dosului. S-au identificat în cuprinsul acestei formațiuni două asociații palinologice. Prima, inferioară, pare să indice Barremian? — Aptianul inferior, a fost întlnită în regiunea Buninginea, Abrud, Bucium-Mogoș. A doua, superioară, provine de la punctul denumit „podul Șipot” între Vulcan și Buceș și pare să indice Aptianul superior — Albianul inferior sau mediu. Această asociație superioară se poate paraleliza cu microflora faciesului de Wildflysch — stratele de Meteș din partea centrală și de SE a Munților Metaliferi.

6. Faciesul de Wildflysch — stratele de Meteș. Microflora confirmă vîrstă aptian superioară — albian inferioară sau medie atribuită acestei formațiuni de către ante-cercetători. Conține un mare număr de elemente remaniate ceea ce a permis emiterea unor ipoteze asupra surselor de material care au dat naștere la aceste depozite.

7. Stratele de Valea lui Paul. Microflora identificată în cuprinsul acestor depozite constituie primele fosile care permit datarea lor. Se atrbuie vîrstă albian superioară — cenomanian inferioră pe baza datelor palinologice acestei formațiuni.

8. Stratele de Piriul Izvorului. Microflora confirmă vîrstă albiană superioară atribuită de ante-cercetători acestei formațiuni. Asociația palinologică a acestor depozite poate fi paralelizată cu cea a straturilor de Valea lui Paul. În timpul depunerii acestor două formațiuni, își făceau apariția primele elemente ale florei de angiosperme pe uscatul învecinat — acest lucru fiind dedus din identificarea pentru prima oară în microflorele acestor complexe a polenului de tip tricolpat.

9. Stratele de Deva. Au fost cercetate doar parțial în aflorimentul de la Șoimuș împărtășită Deva. În cuprinsul lor par să fie două asociații palinologice, una inferioară care indică Cenomanianul superior — Turonianul inferior, și una superioară de vîrstă turonian — santoniană.

10. Stratele de Valea Lăstilorului. Se acordă cu titlu provizoriu această denumire unui pachet de strate ce aflorează în regiunea localității Valea Mică, la SE de Zlatna, ce pare să se intercaleze între stratele de Valea lui Paul și stratele de Bozeș. Microflora acestor depozite pare să indice Cenomanianul superior — Santonianul și se corelează cu cea a stratelor de Deva de la Șoimuș.

11. Stratele de Bozeș — faciesul de fliș conțin o microfloră ce indică mai mult Senonianul inferior dacă o comparăm cu microfloarele altor formațiuni asemănătoare din Europa. Existența argumentelor paleontologice în favoarea Turonianului citate de ante-cercetători, fac ca această microfloră, unitară pe întreaga succesiune stratigrafică a stratelor de Bozeș să fie considerată ca reprezentativă pentru întreg intervalul Turonian — Santonian.

Se consideră că denumirea de strate de Bozeș trebuie aplicată doar faciesului de fliș ce apare în W regiunii Geoagiu — Vințul de Jos din S Munților Metaliferi, depozitele în facies proximal-detritic din regiunea Vințul de Jos fiind socotite ca o formăjune aparte superioară stratigrafic stratelor de Bozeș.

Pe baza datelor palinologice, depozitele atribuite Aptianului de către ante-cercetători, de pe valea Fierului lângă Ampoia, sunt considerate ca având o vîrstă turonian-santoniană și ca făcind parte din stratele de Bozeș.

12. Faciesul proximal-detritic grosier. Conține o microfloră ce indică Santonianul — Maestrichtianul inferior. Microflora acestei formațiuni ce aflorează în E regiunii Geoagiu — Vințul de Jos este de tip mai superior decit cea din stratele de Bozeș — faciesul de fliș.

13. Faciesul detritic roșu. Are o microfloră ce indică Maestrichtianul mediu și superior. A fost găsită la partea superioară a depozitelor detritice roșii de pe valea Piclișa, lângă Alba-Iulia. Se precizează astfel vîrsta faciesului detritic roșu din malul drept al Mureșului, ce era considerat pe Harta Geologică a României sc. 1 :200.000 foaia Turda ca aparținând Oligocenu lui și care acum trebuie atribuit în întregime Maestrichtianului. Se presupune și existența unui facies detritic roșu de vîrstă tertiară, probabil oligocenă, în imprejurimile localității Alba-Iulia.

14. Studiul asociațiilor palinologice al unor formațiuni cretacee din Munții Metaliferi, a pus în evidență răspândirea stratigrafică diferențială pe verticală a sporilor polenului și paleoprotistelor. S-au identificat următoarele zone palinologice cu valoare regională :

a) Zona Hauterivian? — Barremian — Aptian inferior, corespunzătoare stratelor de Căbești și stratelor de Valea Dosului, (partea inferioară).

- b) Zona Aptian superior — Albian inferior sau mediu identificată în stratele de Meteș — faciesul de Wildflysch și-n partea superioară a stratelor de Valea Dosului.
- c) Zona Albian superior — Cenomanian inferior pusă în evidență în stratele de Pirful Izvorului și, stratele de Valea lui Paul.
- d) Zona Cenomanian superior — Turonian, dedusă din studiul microflorelor părții inferioare a stratelor de Deva, și de Valea Lăstiorului.
- e) Zona Turonian — Santonian evidențiată de microflorelle stratelor de Bozeș, și a părții superioare a stratelor de Deva și de Valea Lăstiorului.
- f) Zona Santonian — Maestrichtian inferior, ce reiese din trăsăturile microflorei depozitelor faciesului proximal-detritic din regiunea Vințul de Jos.
- g) Zona Maestrichtian mediu și superior ce corespunde depozitelor faciesului detritic roșu din regiunea Vurpăr — Pielișa în malul drept al Mureșului.

Zonele palinologice ce au fost identificate pînă în prezent reprezintă prima etapă în stabilirea unor zone microbiostratigrafice pe baza datelor palinologice în depozitele cretacee din Munții Metaliferi. Cercetări viitoare vor duce la completarea acestei imagini a palinostratigrafei Cretacicului din Munții Metaliferi.

BIBLIOGRAFIE

- Amerom H. W. J. Van (1965) Upper Cretaceous pollen and spores assemblages from the so-called Wealden of the province of Leon (Northern Spain). *Pollen et Spores*, VII, 1, Paris.
- Andreeva E. M., Boițova E. P., Jejel O. N., Krucinina N. V., Luber A. A., Osurkova N. V., Panova L. A., Pekrovskaja I. M., Romanovskaja G. M., Siberteva I. A., Smelak H. K., Talișeva A. A., (1966) Paleopalinologhia I—III. *Trad. vsesoiuz. nauchno-issledov. Geolog. Inst. V.S.E.G.E.I.* Nov. ser. 141, Leningrad.
- Antonescu E. (1966) Asupra vîrstei calcarului de la valea Lăstiorului (sud-vest de Zlatna). *D.S. Com. Geol.* LII, București.
- Arhangelski S., Gamero C. J. (1966) Estudio palinológico de la formation Baqueró (Cretácico), provincia de Santa Cruz. *Ameghiniana*, IV, 10, Buenos-Aires.
- (1967) Spore and pollen types of the Lower Cretaceous in Patagonia, Argentina. *Rev. of Palaeotol. and Palyn.*, 1, 1 - 4, Amsterdam.
- Balteș N. (1966 a) Cretaceous microfloristic complexes from the Moesian Platform, Romania. *Pollen et Spores*, VIII, 3, Paris.
- (1966 b) Remarques sur la microflore de certains dépôts charbonneux du bassin de Rusca Montană, Roumanie, *Pollen et Spores*, VIII, 1, Paris.

- (1967) The microflora of the Albian Green Sands in the Moesic Platform, Rumania. *Rev. of Paleobot. and Palyn.* 5, 4, Amsterdam.
- (1971) Studiu actual al cercetărilor palinologice asupra formațiunilor cretacee și terțare de interes petrolier din România. În „Progrese în Palinologia românească”. Ed. Acad. R.S. România, București.
- Bleahu M., Dimian M. (1963) Caractere stratonomice ale seriilor cretacee din Munții Metaliferi. *Asoc. Geol. Corp.-Balc.*, Congr. V, III, 1, București.
- Dimian M. (1967) Studii stratigrafice și tectonice în regiunea Feneș-Ighiel-Intre-galde (Munții Metaliferi). *D.S. Inst. Geol.* LIII, 1, București.
- Babucea Yvonne, Piliuță Ana-Maria (1968) Contribuții la microstratigrafia eocretacicului din Munții Metaliferi. *Stud. cerc. geol.* B, 1, București.
- Bolkhovitina N. A. (1961) Iskopaemie i sovremenije spori semeistva shizofitov. *Trud. Geol. Inst.* 40, Moskva.
- Bordea S., Bordea Josefina, Puricel R. (1965) Asupra prezenței Albianului în Munții Metaliferi. *D.S. Com. Stat. Geol.* LII, București.
- (1971) Date stratigrafice și tectonice noi în zona Blăjeni-Buceș-Vulcan (Munții Metaliferi). *D.S. Inst. Geol.* LVII, București.
- Bratzeva G. M. (1967) The problem of the Tsagaiansk flora with regard to spore and pollen analytical data. *Rev. of Paleobot. and Palyn.* 2, 1-4, Amsterdam.
- Burger D. (1966) Palynology of Uppermost Jurassic and lowermost Cretaceous strata in the eastern Netherlands. *Leid. Geol. Med.* 25, Leiden.
- Busnardo R., Taugourdeau J. (1964) Intercalations végétales dans le Flysch albien de Los Villares (Jaen, Andalousie). Introduction stratigraphique et étude palynologique. *Rev. de Micropaléontologie*, 7, 2, Paris.
- Davey R. J., Downie C., Sarjeant W. A. S., Williams G. L. (1966) Studies on Mesozoic and Cainozoic dinoflagellates cysts. *Bull. of the British Mus. (Nat. Hist.) Geol.* 3, London.
- Deák M. H. (1965) Recherches palynologiques des dépôts aptiens de la Montagne Centrale de Transdanubie. *Geol. Hung. Ser. Palaeont.* 2, Budapest.
- Combaz A. (1967) „Microfossiles organiques” du Wealdien et du Cenomanien dans un sondage de Charente-Maritime. *Rev. de Micropaléontologie*, 10, 2, Paris.
- Delcourt A., Sprumont G. (1955) Les spores et grains de pollen du Wealdien de Hainaut. *Mém. Soc. Belg. nouv. ser.* 5, Bruxelles.
- Dettmann M. E., Hughes N. F. (1963) Revision of some Lower Cretaceous microspores from Belgium. *Paleontology*, 6, 2, London.
- Dettmann M. E. (1963) Upper Mesozoic microfloras from southeastern Australia. *Proc. Roy. Soc. Victoria*, 77, 1.
- Dimian M., Popa-Dimian Elena (1964) Date stratigrafice și sedimentologice privind formațiunile cretacee dintre valea Mureșului și valea Ampoiului. *D.S. Com. Geol.* I, București.
- Dincă A., Tocorjescu Maria, Stîlă A. (1972) Despre vîrstă depozitelor continentale cu dinosaurieni din Bazinul Hațeg. *D.S. Inst. Geol.* LVIII, 4, București.
- Döring J. (1964) Trilete sporen aus dem Oberen Jura und dem Wealden Norddeutschlands. *Geologie*, 13, 9, Berlin.
- (1965) Die sporenpaläontologische Gliederung des Wealden in Westmcklenburg (Struktur Werle). *Geologie*, 14, 47, Berlin.
- (1966) Sporenstratigraphischen Vergleichzwischen dem Wealden Norddeutschlands und Südenglands. *Geologie*, 15, 55, Berlin.

- Krutzsch W., Mai D. H., Schulz E. (1966) Erläuterungen zu den sporenstratigraphischen Tabellen vom Zechstein bis zum Oligozän. *Abhandl. Zentr. Geol. Inst. H.*, 8, Berlin.
- Eisenack A. (1964) Katalog des fossilen Dinoflagellaten, Hystrichosphären und verwandten Mikrofossilien. I, E. Schweizer. Verlags. Stuttgart.
- Filipescu M. G. (1971) Curs de Paleontologia Vertebratorilor. Univ. Bucureşti.
- Gherman I. (1943) Cercetări geologice în colțul de SW al depresiunii Transilvanice între valea Stremtului și valea Ampoiului. *Rev. Muze. Geol. Min. Univ. Cluj*, VII, Cluj.
- Ghițulescu T. P., Socolescu M. (1941) Étude géologique et minérale des Monts Metalifères. *An. Inst. Geol. Rom.*, XXI, Bucureşti.
- Gáczán F. (1964) Stratigraphic palynology of the Hungarian Upper Cretaceous. *Acta Geol. Acad. Sci. Hung.*, 8, Budapest.
- Groot J. J., Krutzsch W., Pacłtova B. (1967) Die Gattungen des „Stemma Normapolles“ Pfing 1953 b" (Angiospermae). *Pal. Abhandl. B., Paläobot.* II, 3, Berlin.
- Groot J. J., Groot C. H. (1962) Plant microfossils from Aptian, Albian, and Cenomanian deposits of Portugal. *Com. dos Serv. Geol. de Portugal*, XI.VI, Lisboa.
- Harta Geologică a României (1967) sc. 1 : 200.000 foaia 18 Turda. Com. Stat. Geol. Bucureşti.
- (1968) sc. 1 : 200.000 foaia 17 Brad. Com. Stat. Geol. Bucureşti.
- (1968) sc. 1 : 200.000 foaia 26 Orăştie. Com. Stat. Geol. Bucureşti.
- (1968) sc. 1 : 200.000 foaia 25 Deva. Com. Stat. Geol. Bucureşti.
- Hedlund R. W., Norris G. (1968) Spores and Pollen grains from Frederiksburgian (Albian) strata, Marshall County, Oklahoma. *Pollen et Spores*, X, 1, Paris.
- Hilonova A. F. (1969) Sporovo-pilțevie karakteristika melovih otlojenii Zea-Burensk vpadini. *Akad. Nauk. S.S.R. Slivsk. Otd.* 91, Moskva.
- Hughes N. F., Moody-Stuart J. C. (1966) Descriptions of Schizaeaceous spores taken from early Cretaceous macrofossils. *Palaeontology*, 9, 2, London.
- (1967) Proposed method of recording Prequaternary palynological data. *Rev. of Palaeobot. and Palyn.* 3, 1–4, Amsterdam.
- (1969) A method of stratigraphic correlation using early cretaceous miospores. *Palaeontology*, 12, 1, London.
- Iacob D. (1934) Contributions à la connaissance du Crétacé supérieur dans le Sud des Monts Apuseni. *Rev. Min. Geol. Min. Univ. Cluj*, VIII.
- (1945) Contributions à la connaissance du Sénonien dans la vallée du Geoagiu de Jos (Hunedoara). *Cr. Acad. Sci. Roumanie*, VII, Bucureşti.
- (1949) Sur la présence de Baculites cf. anceps d'Orb. dans les dépôts maestrichtiens de Vințul de Jos (district d'Alba). *Rev. Min. Geol. Min. Univ. Cluj*, VIII, Cluj.
- (1953) Contribuții la stratigrafia și letonica regiunii vestice a Munților Metaliferi. *Acad. R.P.R., Fil. Cluj, St. cere*, st. V, Cluj.
- Ianovici V., Giușcă D., Ghițulescu T. P., Borcoș M., Lupu M., Bîzău M., Savin H. (1969) Evoluția geologică a Munților Metaliferi. Ed. Acad. R.S.R., Bucureşti.
- Iarošenko O. P. (1965) Sporovo-pilțevie kompleksi iurskih i nijnemelovih otlojenii severnogo Kavkaza i ih stratigrafskoe znachenie. *Trid. Geol. Insti.*, 117, Moskva.
- Kamp E. M. (1970) Aptian and Albian miospores from southern England. *Palaeontographica*, B, 131, Stuttgart.

- Krutzsch W. (1957 a) Sporen und Pollengruppen aus der Oberkreide und dem Tertiär Mitteleuropas und ihre stratigraphische Verteilung. *Zeitschr. für angew. Geol.* II/12, Berlin.
- (1957 b) Sporenpaläontologische Untersuchungen in der sächsisch-böhmischem Kreide und die Gliederung des Oberkreide aus mikrobotanischen Grundlage. *Ber. Geol. Ges. D.D.R.* 2, 2, Berlin.
 - (1959) Einige neue Formgattungen und Arten von Sporen und Pollen aus des Mitteleuropäischen Oberkreide und den Tertiär. *Palaeontographica B*, 105, Stuttgart.
 - (1968) Zwei neue extreme Oculopollis arten (Normapolles Angiospermen) aus dem Santon Südfrankreich. *Palaeontographica B*, 123, Stuttgart.
- Lupu M., Lupu Denisa (1964) Asupra dislocațiilor rupturale din partea de NW a Fosei Metaliferelor. *D.S. Inst. Geol.*, L, București.
- (1967) Stratigrafia și faciesurile depozitelor cretacee superioare din regiunea Bretelelor-Cherghez (sud de Deva) *D.S. Com. Stat. Geol.* I.II/2, București.
- Mantea G., Bordea Jósefina, Tocorjescu Maria (1971) Structura geologică a regiunii cuprinsă între Valea Mică-Giungi-Tâmpă (Bazinul văii Ampoiului-Muntii Metaliferi). *D.S. Inst. Geol.* LVII, București.
- Medus J. (1970 a) Une analyse morphologique de quelques populations polliniques du Santonien de Piolenc (France). *Palaeontographica B*, 130, Stuttgart.
- (1970 b) Contribution à la connaissance des associations polliniques du Crétacé terminal dans le SE de la France et le NE de l'Espagne. *Rev. de Micropaléontologie*, 13, 1, Paris.
- Million M. (1969) Dinoflagellates and acritarchs from some western European Lower Cretaceous type localities. *Proc. First Internat. Conf. Plankt. Microfoss.* Geneva 1967, II, Leiden.
- Nopcsa F. (1905) Der Nördlich von Mörösflus auftretende Danian. *Föld. Közl.* XLI, Budapest.
- Norris G. (1967) Spores and pollen from the Lower Cretaceous Colorado Group (Albian?-Cenomanian) of central Alberta. *Palaeontographica B*, 120, Stuttgart.
- (1969) Miospores from the Purbeckian Beds and marine Upper Jurassic of Southern England. *Palaeontology*, 12, 4, London.
- Norton J. N., Hall W. J. (1969) Palynology of the upper Cretaceous and lower Tertiary in the type locality of the Hell Creek formation, Montana, U.S.A. *Palaeontographica B*, 125, Stuttgart.
- Facitova B. (1961) On some plant microfossils from fresh-water sediments of the Upper Cretaceous (Senonian in the South Bohemian Basin). I, Spori. *Ustred. Ust. Geol. et Paleont.* 26, Praha.
- Mazancova M. (1966) Nachweis von Pollen der „Normapolles“ Gruppe in der Peruc-Schichten des Böhmisches Cenomans. *Vestn. Ustred. Ustav. Geol.* 41, 1, Praha.
 - (1967) Some new pollen grains from the Bohemian Cenomanian. *Rev. of Palaeobot. and Palyn.* 7, 2, Amsterdam.
- Pálfy M. (1903) Zwei neue Inoceramenreste aus den oberen Kreideschichten der siebenbürgischen Landesteile. *Föld. Közl.* XXXIII, Budapest.
- Papiu C. V. (1968) Considerații litogeneze asupra formațiunii barremiene din Muntii Metaliferi. *D.S. Inst. Geol.* LIII, 2, București.
- Pflug H. D. (1953) Zur Entstehung und Entwicklung des angiospermiden Pollens in der Erdgeschichte. *Palaeontographica B*, 95, Stuttgart.

- Pocock S. A. J. (1962) Microfloral analysis and age determination of strata at the Jurassic-Cretaceous boundary in the Western Canada plains. *Palaeontographica B*, III, Stuttgart.
- (1964) Pollen and Spores of the Chlamidospermide and Schizaeaceae from Upper Mannville strata of the Saskatoon area of Saskatchewan. *Grana Palynologica*, 5 : 2, Uppsala.
 - Popa-Dimian Elena (1963) Contribuții la studiul inoceramilor și amonitilor neocraciți din imprejurimile Vîntului (Munții Apuseni). *Stud. cerc. geol.* VIII, 4, București.
 - Reyre Y. (1966) Palynologie du Crétacé Moyen du Sahara Tunisien. *Rev. de Micropaléontologie*, 9, 1, Paris.
 - (1970) Stereoscan observations on the pollen genus *Classopollis* Pflug 1953. *Palaeontologia*, 13, 2, London.
 - Kieser G., Pujo C. (1970) Intérêt stratigraphique de quelques espèces du genre *Classopollis* (Pflug) Reyre. *Rev. de Micropaléontologie*, 13, 3, Paris.
 - Skarby A. (1968) Extratriporopollenites (Pflug) emend. from the Upper Cretaceous of Scania, Sweden. *Acta Univ. Stock.* XVI, Stockholm.
 - Srivastava S. K. (1966) Upper Cretaceous microflora (Maestrichtian) from Scotland, Alberta, Canada. *Pollen et Spores*, VIII, 3, Paris.
 - Tomescu Camelia, Panin Stefană, Georgeanu Floriana, Mantea G., Antonescu E. (1969) Contribuții la stratigrafia depozitelor neocraciice din Munții Apuseni de Sud. *Stud. cerc. geol. geogr. ser. Geol.* 14, 1, București.
 - Weyland H., Greifeld G. (1953) Über strukturbielende Blätter und pflanzliche Mikrofossilien aus dem untersenonen Tonen der Gegend von Quedlinburg. *Palaeontographica B*, 95, Stuttgart.
 - Krieger W. (1953) Die sporen und Pollen des Aachener Kreide und ihre Bedeutung für die Charakterisierung des mittleren Senons. *Palaeontographica B*, 95, Stuttgart.
 - Zaklinskaja E. D. (1963) Pitca pokritozemianih i ee znacenie dlia obosnovania stratigrafiï verhnego mela i paleogena. *Trud. Geol. Inst.* 74, Moskva.

ASSOCIATIONS PALYNOLOGIQUES PROPRES À CERTAINES FORMATIONS CRÉTACÉES DES MONTS MÉTALLIFÈRES

(Résumé)

Dans cet ouvrage sont présentés les premiers résultats des études palynologiques entreprises par l'auteur sur les formations du Crétacé des Monts Métallifères.

L'étude complète de la microflore du Crétacé des Monts Métallifères avec les descriptions paléontologiques de toutes les espèces de spores, pollens et paléoprotistiques de l'ensemble des formations crétacées des Monts Métallifères, constituant l'objet de la thèse de doctorat de l'auteur sera faite ultérieurement. Aussi une partie des déterminations qui y sont présentées ne sont-elles que provisoires ou approximatives. Nous ne donnons pas le contenu palynologique de chaque formation examinée, et la proportion quantitative n'a qu'une valeur orientative, n'étant pas définitive.

On examine du point de vue palynologique les suivantes formations crétacées des Monts Métallifères: complexe siliceux violacé — couches de Cirechii, faciès volcanogène sédimentaire — couches de Feneș, inférieures, couches de Feneș supérieures, série flysch-

choïde — couches de Căbești (Hauterivien ?-Barrémien-Aptien inférieur), série du flysch calcaire-couches de Valea Dosului (Barrémien ?-Albian inférieur ou moyen), faciès du Wildflysch-couches de Meteș (Aptien supérieur-Albian inférieur ou moyen), série du flysch aleurolitique-couches de Pirlul Izvorului (Albian supérieur), couches de Valea lui Paul, (Albian supérieur-Cénomanien inférieur), couches de Deva, partiellement, (Cénomanien inférieur-Turonien-Santonien), couches de Valea Lăslorului (Cénomanien-Santonien), couches de Bozeș (Turonien-Santonien), faciès proximal-détritique (Santonien-Maestrichtien inférieur) et faciès détritique rouge (Maestrichtien moyen et supérieur). Le reste des formations crétacées des Monts Métallifères feront l'objet d'études palynologiques ultérieures.

L'étude de la distribution stratigraphique des spores, du pollen et des paléoprotistes des dépôts crétacés des Monts Métallifères révèlent sept zones palynologiques.

La zone palynologique Crét.₁^{H²-B-A².1} correspondant à l'intervalle Hauterivien ?-Barrémien-Aptien inférieur a été mise en évidence dans les couches de Căbești et vers la partie inférieure des couches de Valea Dosului. Les couches de Căbești sont dépourvues de faune et de microfaune, alors que les couches de Valea Dosului surmontantes renferment *Orbitolina*, *Cochinolina*, *Belbekella gybsiana* (Soerby), *Callisoniceras murgeanui* Patruțiu. Bien que les microflores de ces deux formations soient différentes au premier abord, elles ne présentent pas des distinctions essentielles en ce qui concerne la distribution stratigraphique connue des genres et des espèces constitutants. Pour cause nous considérons qu'elles reviennent à une seule zone. A la partie inférieure de cette zone prédominent au point de vue quantitatif : *Glassopolis* cf. *noeli* et *Cleistosphaeridium* (div. sp.), et à la partie supérieure les disaccates. Quelques genres et espèces n'ont été rencontrés que dans cette zone dont : *Stereisporites* (*Sculptisporites*) *hauteriviensis*, *Cicatricosporites brevilaesuratus*, *Aequitriradites spinulosus*, *Concavissimisporites punctatus*, *C. univerrucatus*, spores du groupe Cicatricosporites-Appendicisporites à ornementation positive arrangée du côté distale sous forme de grands triangles : *Gongaulacysta* cf. *apiana*, *G. cf. cretacea*, ? *Cordosphaeridium coenodes*, *Microdinium* sp. Le fait que des genres et des espèces qui apparaissent dans cette zone, quelques-uns se trouvent seulement dans les couches de Căbești et quelques autres seulement dans les couches de Valea Dosului est mis sur le compte des conditions de sédimentation et écologiques, leur distribution stratigraphique étant similaire. Une partie des genres et des espèces de cette zone se continue aussi dans la zone immédiatement surjacente notamment : *Rotverrusporites obscurilaesuratus*, *Gleicheniidites* (*Triremisporites*) *minor*, *Calliasporites*, *Coronatispora naldensis*, *Sestrosporites pseudoalveolatus*, *Cyclonephelium distinctum*, *Trichodinium* cf. *intermedium*, *Cleistosphaeridium multispinosum*.

La zone palynologique Crét.₁^{Ap.2- Al. 1-2} correspondant à l'intervalle Aptien supérieur-Albian inférieur ou moyen a été mise en évidence dans la microflore de la partie supérieure des couches de Valea Dosului et dans les couches de Meteș — faciès de Wildflysch. Dans cette zone disparaissent les éléments caractéristiques à la zone Crét.₁^{H²-B-A².1}. Apparaissent des genres et des espèces nouvelles dont : *Polygodiaceoisporites*, *Tritites*, *Gleicheniidites carinatus*, *Corrugatisporites toratus*, *Ceratosporites equalis*, *Biretisporites potoniei*, *Appendicisporites* cf. *tricornatus*, *Plicatella trichocantha*, *Porosaccites radiatus*, cf. *Deflandrea cincta*. Des espèces comme *C. (Anemid) sibirica*, *Appendicisporites* cf. *grandis*, *Trilobasporites* cf. *uralensis*, *Duplexisporites generalis*, *Pterodinium* sp. sont cantonnées uniquement dans cette zone, étant probablement très rares dans les Monts Métallifères, car dans d'autres régions du globe elles connaissent une plus large distribution stratigraphique.

La zone palynologique Crét.₁₋₂^{Al.3-Ce.1} correspond à l'Albian supérieur-Cénomanien inférieur. Elle a été mise en évidence dans les couches de Pirlul Izvorului (Albian supérieur) à

Hysteroceras orthogni Sp.ath., et dans les couches de Valea lui Paul dépourvues de macro- et microfaune et datées à partir de la microflore. Les traits caractéristiques de cette zone sont : large distribution du genre *Polypodiaceoisporites*, avec plusieurs espèces dont quelques unes non-identifiées, P. sp. 2, 3, 4, 5, 6, *P. retigresus*, *P. poloniei*, spores type *Trilites*; *Corrugatisporites toratus*, *Appendicisporites degeneratus* sont également nombreux. Des espèces nouvelles du groupe de *Cicatricosisporites*-*Appendicisporites* — *C. venustus*, *C. proxiradiatus*, *A. malesovae*, *Plicatella* cf. *erdmanii* apparaissent. Font leur apparitions quelques-unes des spores caractéristiques au Crétacé supérieur des Monts Métallifères telles : *Leiotriletes maxoides*. Le microplancton contient des espèces non encore rencontrées dans les zones inférieures telles : *Lithosphaeridium siphoniphorum*, *Cleistosphaeridium ancoriferum*, *C. heteracanthum*. Le trait saillant est l'apparition en faibles quantités du pollen tricolpé marquant le début de la flore à angiospermes, de type nouveau, au niveau de l'Albien supérieur-Cénomanien inférieur des Monts Métallifères. Enfin une série de spores caractéristiques pour les zones inférieures disparaissent ou n'apparaissent que sporadiquement telles : *Classopollis*, *Pilosporites*, *Parvisaccites radiatus*, le groupe *Concavissimisporites* — *Trilobosporites*.

La zone Crét.₂^{C₂—T₁} correspondant au Cénomanien supérieur-Turonien inférieur a été mise partiellement en évidence dans les couches de Deva d'âge cénomanien supérieur-santonien et dans les couches de Valea Lăstiorului, formation établie provisoirement par l'auteur. Elle se caractérise par l'apparition, en base, des premiers pollens de type *Normapolles* — *Complexipollis*, cf. *Santonipollis* et le développement du pollen tricolpé. Vers la partie supérieure de cette zone débivent d'autres types de *Normapolles* — *Suemegipollis*, *Oculopollis*. Cependant les spores y sont toujours prédominantes. On trouve encore *Polypodiaceoisporites*, *Trilites*, *Appendicisporites malesovai*, *Leiotriletes maxoides*, et font leur apparition *Microreticulatisporites ureucus* et *Camarazonosporites insignis*. Le microplancton débute par *Deflandrea* cf. *belfastensis*, à la partie supérieure de la zone, *Odontochina*, et se continue par *Cleistosphaeridium heteracanthum*. Vers la partie supérieure de la zone c'est le pollen qui devient prédominant.

La zone Crét.₃^{T₁—S₁} correspondant au Turonien-Santonien a été mise en évidence à la partie supérieure des couches de Deva les couches Valea Lăstiorului, et dans les couches de Bozeş. Les couches de Bozeş sont d'âge Turonien inférieur-santonien établi à base de faune déterminée par les prédécesseurs, notamment : *Inoceramus labiatus*, *I. decipiens*, *I. cardissoides*. Elles sont représentées par un faciès de flysch. Dans cette zone prédomine le pollen de type *Normapolles*, surtout *Oculopollis orbicularis* (40%). Les spores sont moins nombreuses et sont représentées par des espèces nouvelles, non-encore rencontrées, telles : *Retitriletes* sp. 1, *Trilobosporites canadensis*, *Zlîvisorites blarensis*, *Inertitriletes scrobiculatus*. Il y a des types de spores qui se continuent dans les zones inférieures à *Trilites* sp., *Polypodiaceoisporites* sp., *Leiotriletes maxoides*, *Corrugatisporites toratus*, *Appendicisporites tricornitatus*. Quantitativement prédominent les espèces du genre *Oculopollis*, *O. orbicularis*, *O. cf. semimaximus*, *O. maximus*, *O. zatkinskiae*, *O. rond-errueux ex Medius 1970*, et *Longanulipollis* cf. *longianulus*, *Normapolles* type 4, etc. Le microplancton est représenté par *Dinogymnium acuminatum*, *D. cf. nelsonense*, *Deflandrea* cf. *belfastensis*, *D. cf. cooksoni*.

La zone palynologique Crét.₃^{S₁—M₁} correspondant à l'intervalle Santonien-Maestrichtien inférieur, a été mise en évidence dans les dépôts du faciès proximal-détritique de la partie SE des Monts Métallifères. L'âge de cette formation a été établi à partir de la macrofaune représentées entre autres par *Hopliplacenticeras vari* (Schütt), *Inoceramus botticus* Böhm à la partie inférieure et la microfaune à *Globotruncana lapparenti* Brotzen et *G. fornicate* Plum. à la partie inférieure. Elle se caractérise par l'apparition de nouveaux types de pollen tels : *Hungaropollis*, cf. *Plicapollis*, *Semiculopollis* sp., *Longanulipollis*? cf. *coronatus*

cf. *Triporopollenites robustus*, *Papillipollis*, *Pseudopapillipollis praesubherznicus* (dans le niveau à *H. vari*). Disparaissent les espèces à grands „œufs” telles : *O. cf. semimaximus*, *O. cf. maximus*, *O. zatkinskiae*, alors que *O. orbicularis* ne dépasse pas 5% de l'association. Se maintiennent les mêmes types de spores communes du Crétacé supérieur des Monts Métallifères telles : *Trilobosporites canadensis*, *Zlăviesporites blanensis*, etc.

La zone Crét.₂^{M_{1,2-3}} correspond aux dépôts sous faciès détritiques rouge de la rive droite du Mureș, à l'W d'Alba-Iulia, du secteur de Vințul de Jos-Petrișa, où les prédecesseurs ont signalés des os de dinosaures. Prédominent les *Pseudopapillipollis praesubherznicus* et cf. *Triporopollenites robustus* ensemble avec quelques espèces de la zone immédiatement inférieure, et *Normapolites* type 1, 2, 3, *Trudopollis cf. imperfectus*, cf. *Triatriopollenites coryphaeus*, *Tricorporopollenites*, *Tricolpites*. Cette microflore est corrélatable, selon toute vraisemblance à celle de l'horizon à charbons du Maestrichtien de Rusea Montană.

EXPLICATION DES PLANCHES

Planche XXVIII

Esquisse de l'emplacement des gisements fossilières palynologiques dans le Crétacé des Monts Métallifères.

Planche XXIX

Distribution stratigraphique des spores, pollens et paléoprotistes dans quelques formations crétacées des Monts Métallifères. (État des recherches en 1972).

PLANSA I



Institutul Geologic al României

PLANŞA I

× 1000

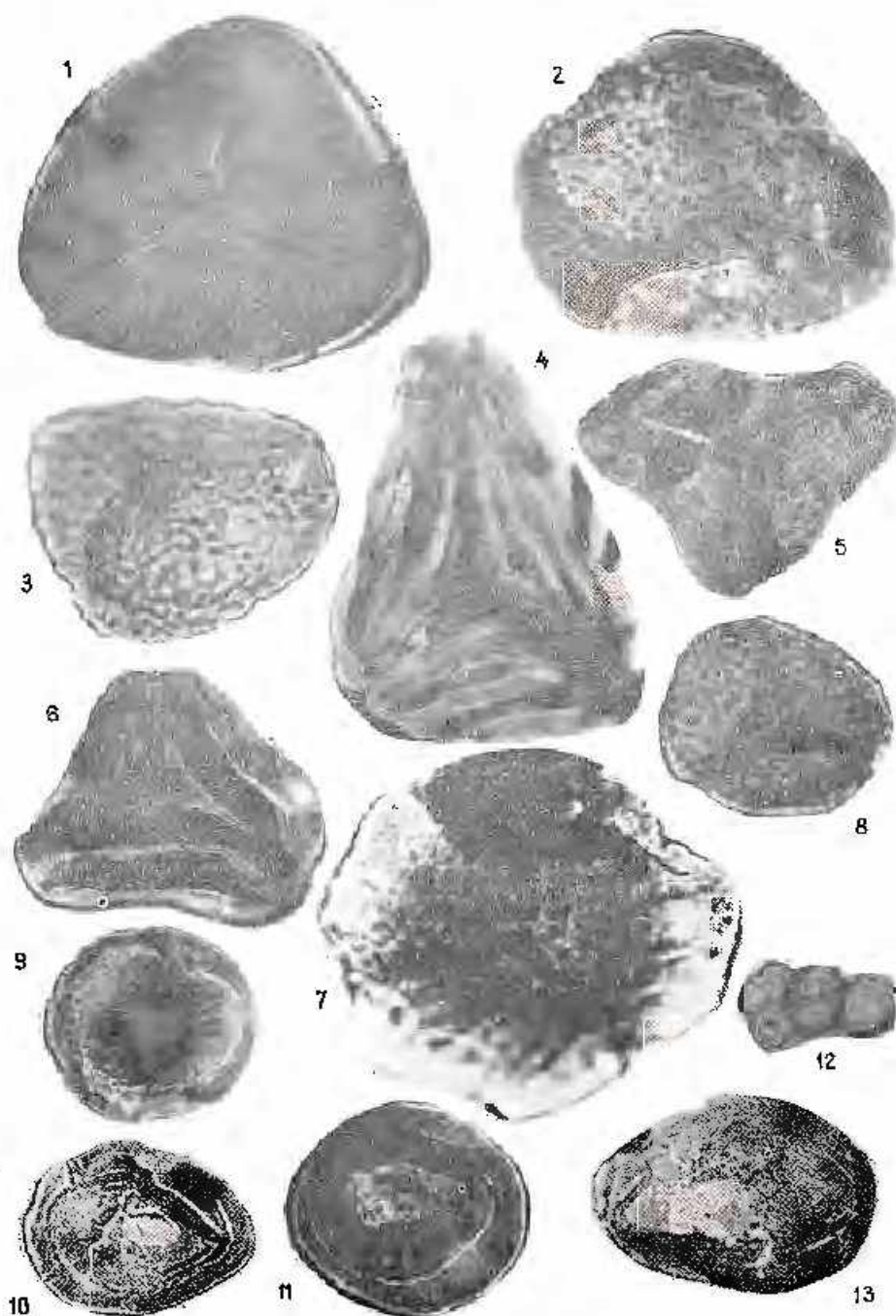
Elemente din microflora stratelor de Căbeşti.
Éléments de la microflore des couches de Căbeşti.
Hauterivian? — Barremian — Aptian inferior.
Hauterivien? — Barrétain — Aptien inférieur.

- Fig. 1. — *Malonisporites equicrinus* Couper 1958, Valea Lupului-Buninginea, lama 7117/12.
- Fig. 2. — cf. *Transbacilisporites* sp., Valea Lupului-Buninginea, lama 7096/3.
- Fig. 3. — *Telegospores* sp., Valea Lupului-Buninginea, lama 7096/1.
- Fig. 4. — *Circatrisisporites* cf. *leobruchi* Delimanian 1963, Valea Lupului-Buninginea, lama 7096/5.
- Fig. 5. — *Concavisimisporites punctatus* (Delcourt & Sprumont) Poerck 1961, × 500, Valea Lupului-Buninginea, lama 7096/7.
- Fig. 6. — *Circatrisisporites* cf. *hughesi* Delimanian 1963, Valea Lupului-Buninginea, lama 7096/7.
- Fig. 7. — *Callidospores tritetus* Singh, Srivastava & Roy 1964, Valea Lupului-Buninginea, lama 7096/6.
- Fig. 8. — *Stereisporites (Sculptisporites) hauterivensis* Döring 1956, Valea Lupului-Buninginea, lama 7117/17.
- Fig. 9. — *Glossopollis* sp. (nudeterr.; verzure de 1/2), Valea Lupului-Buninginea, lama 7096/5.
- Fig. 10. 13. — *Glossopollis* cf. *noeli* Reyre 1970, Valea Lupului-Buninginea, fig. 10 lama 7096/1, fig. 13 lama 7117/9.
- Fig. 11. — *Glossopollis* cf. *senegalensis* Reyre, Kieser & Pujol 1970 dtermin prov., Valea Lupului-Buninginea, lama 7096/1.
- Fig. 12. — *Vitreisporites pallidus* (Reissinger) Nilsson 1958, Valea Lupului-Buninginea, lama 7117/9.

Toate exemplarele figurate, în afară de cîteva excepții menționate, se găsesc în colecția laboratorului de Palinologie al Institutului Geologie.

Tous les exemplaires figurés, sauf quelques exceptions mentionnées, se trouvent dans la collection du laboratoire de Palynologie de l'Institut Géologique.





PLANŞA II

× 1000

Elemente din microflora stratelor de Căbeşti.

Éléments de la microflore des couches de Căbeşti.

Hauterivian? — Barremian — Aptian inferior.

Hauterivien? — Barrémien — Aptien inférieur.

Fig. 1—2. — *Palaeospirites* sp. Valea Lupului-Buninginea, fig. 1 lama 7095/10, 2 lama 7090/4.

Fig. 3. — cf. *Deflandrea piercensis* Alberti 1959, determin. prov., Valea Lupului-Buninginea lama 7095/7.

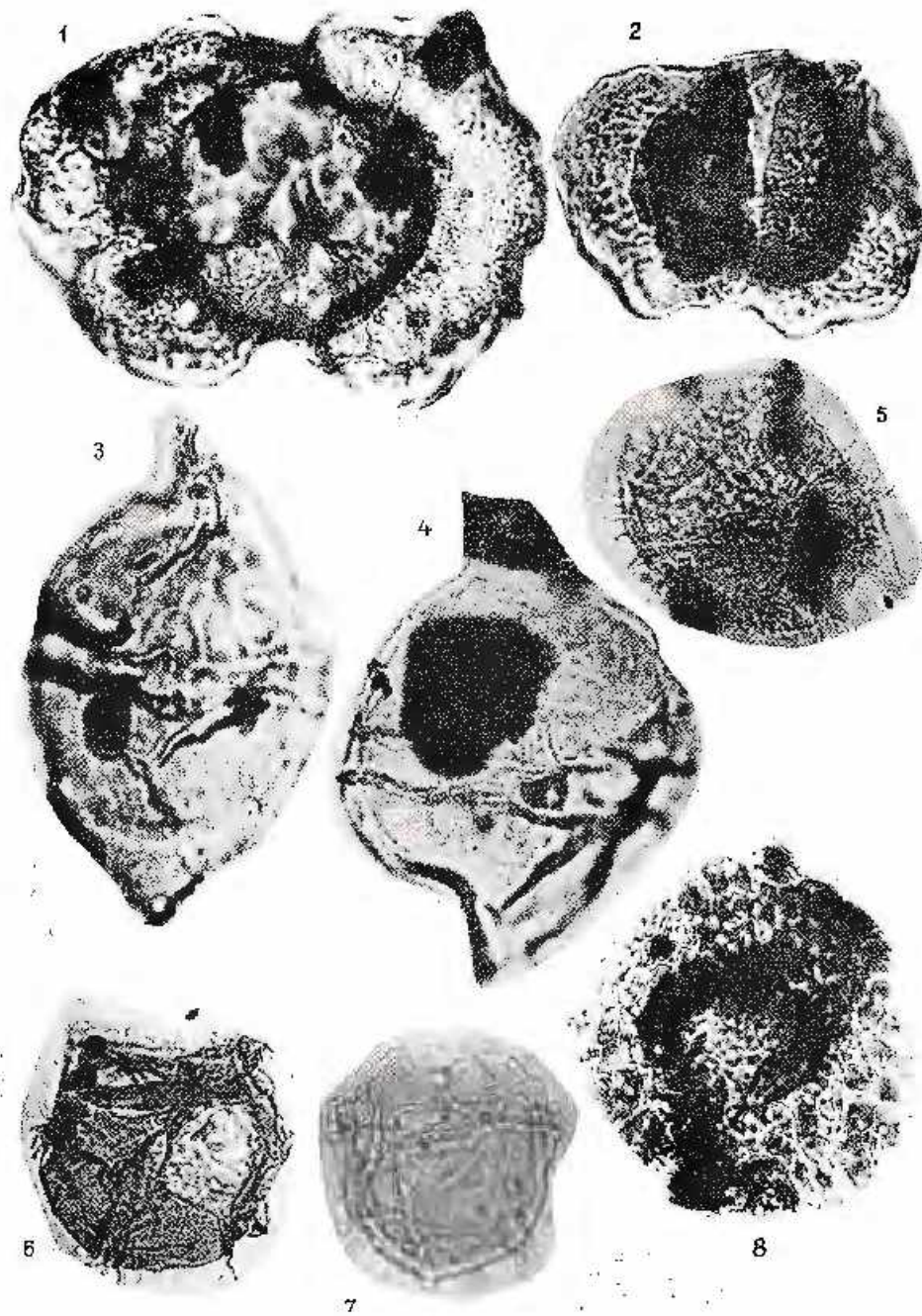
Fig. 4. — cf. *Palaeoperidinium* sp. Valea Lupului-Buninginea, lama 7095/1.

Fig. 5. — *Cleistosphaeridium* sp. Valea Lupului-Buninginea, lama 7117/5.

Fig. 6—7. — *Microstinium* sp. Valea Lupului-Buninginea, fig. 6 lama 7117/18, fig. 7 lama 7117/17.

Fig. 8. — *Rotternsporites* cf. *obscuritaestratus* (Pöcök) Döring 1984, Valea Lupului-Buninginea, lama 7096/1.





PLANŞA III

× 1000

Elemente din microflora stratelor de Căbeşti.

Éléments de la microflore des couches de Căbeşti.

Hauterivian? — Barremian — Aptian inferior.

Hauterivien? — Barrémien — Aptien inférieur.

Fig. 1. — *Cleistosphaeridium multispinosum* (Singh) Bridoux 1971. Valea Lupului-Buningineea, lama 7095/1.

Fig. 2. — *Hystrichosphaera ramosa* (Ehrenberg) var. nedeterm. Valea Lupului-Buningineea, lama 7095/2.

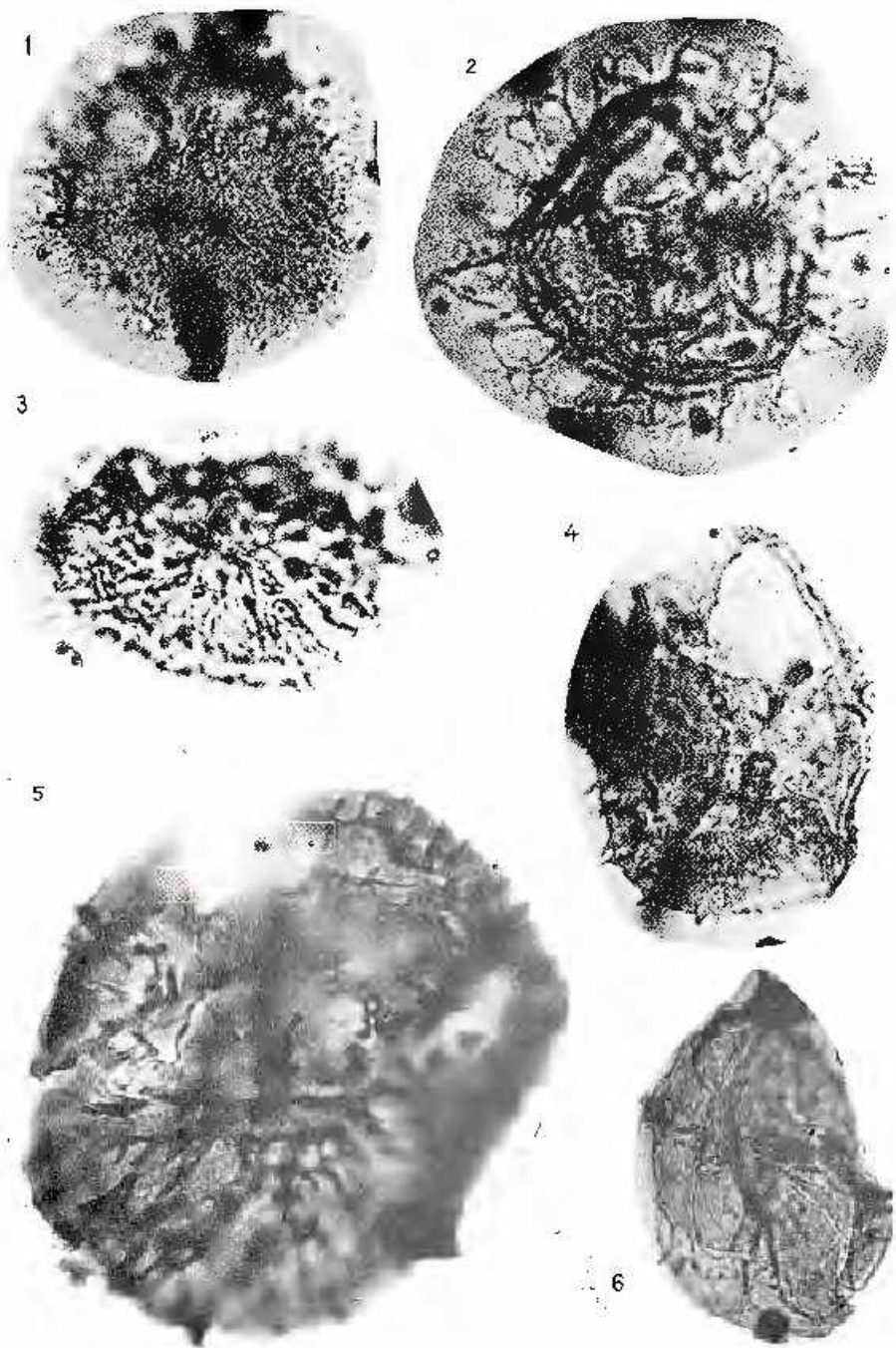
Fig. 3. — *Cleistosphaeridium* sp. Valea Lupului-Buningineea, lama 7095/2.

Fig. 4. — Dinoflagelat tip A (*Opercudinium*?). Valea Lupului-Buningineea, lama 7095/3.

Fig. 5. — *Trichodinium* cf. *intermedium* Eisnerick & Cookson 1958. Valea Lupului-Buningineea, lama 7095/1.

Fig. 6. — *Gonyaulacysta* sp. × 500. Valea Lupului-Buningineea, lama 7117/9.





Institutul Geologic. Dări de știință, vol. LIX/3.

PLANSĂ IV

× 1000

Elemente din microflora stratelor de Căbești.

Éléments de la microflore des couches de Căbești.

Hauterivian? — Barremian — Aptian inferior.

Hauterivien? — Barrémien — Aptien inférieur.

Fig. 1. — *Hystrichosphaera* sp. Valea Lupului-Buningineea, lama 7117/11.

Fig. 2. — *Achaeosphaera* sp. Valea Lupului-Buningineea, lama 7117/5.

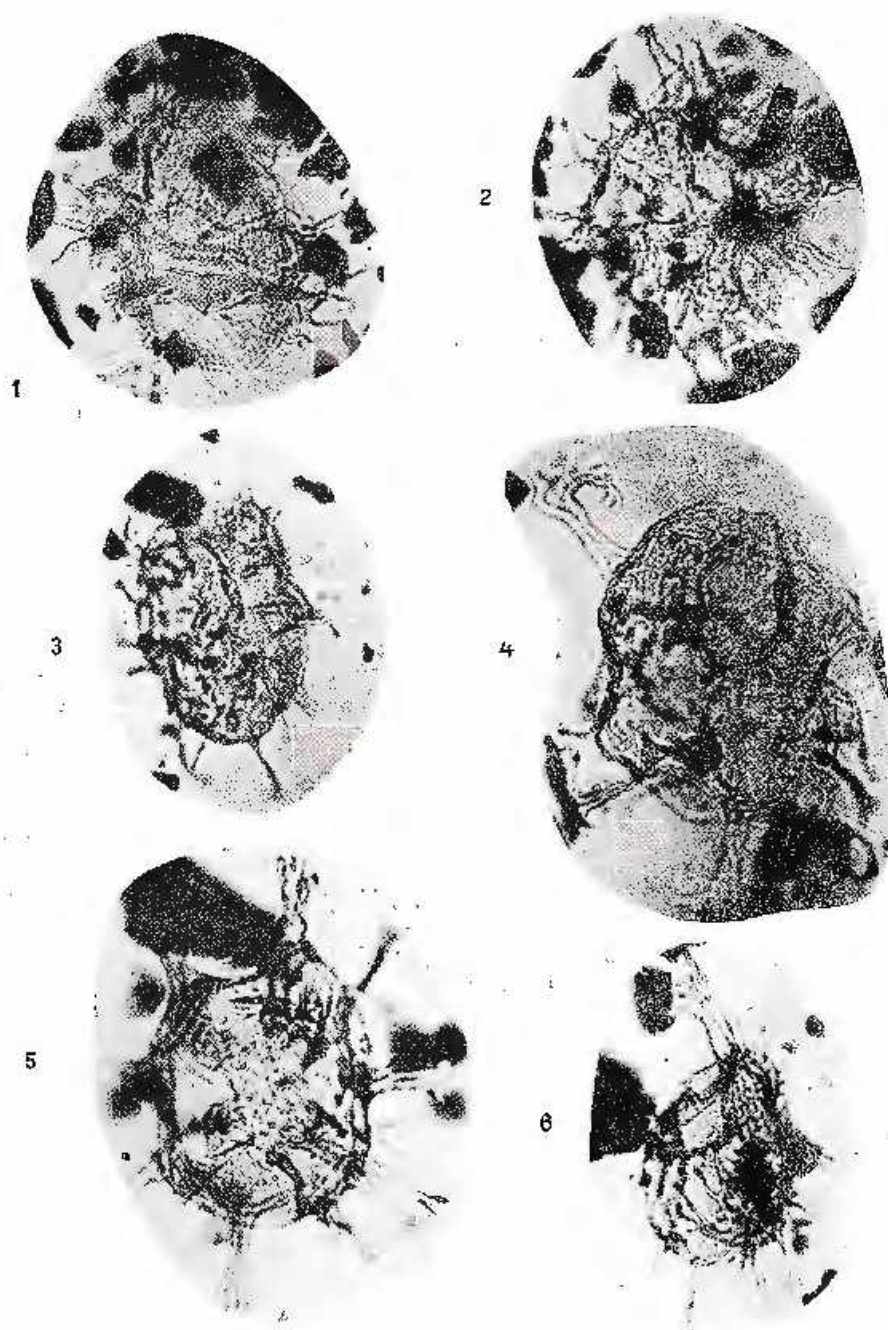
Fig. 3. — *Hystrichosphaeridium* sp. Valea Lupului-Buningineea, lama 7117/11.

Fig. 4. — *Oligosphaeridium* sp. Valea Lupului-Buningineea, lama 7005/9.

Fig. 5. — ?*Cordosphaeridium evanescens* (Eisenack) Davy & Williams 1966.
Valea Lupului-Buningineea, lama 7095/2.

Fig. 6. — *Achaeosphaera ramosa* (Deflandre) Evitt 1963. Valea Lupului-Buningineea, lama 7005/9.





Institutul Geologic. Dări de seamă, vol. LIX/3.

PLANSĂ V

× 1000

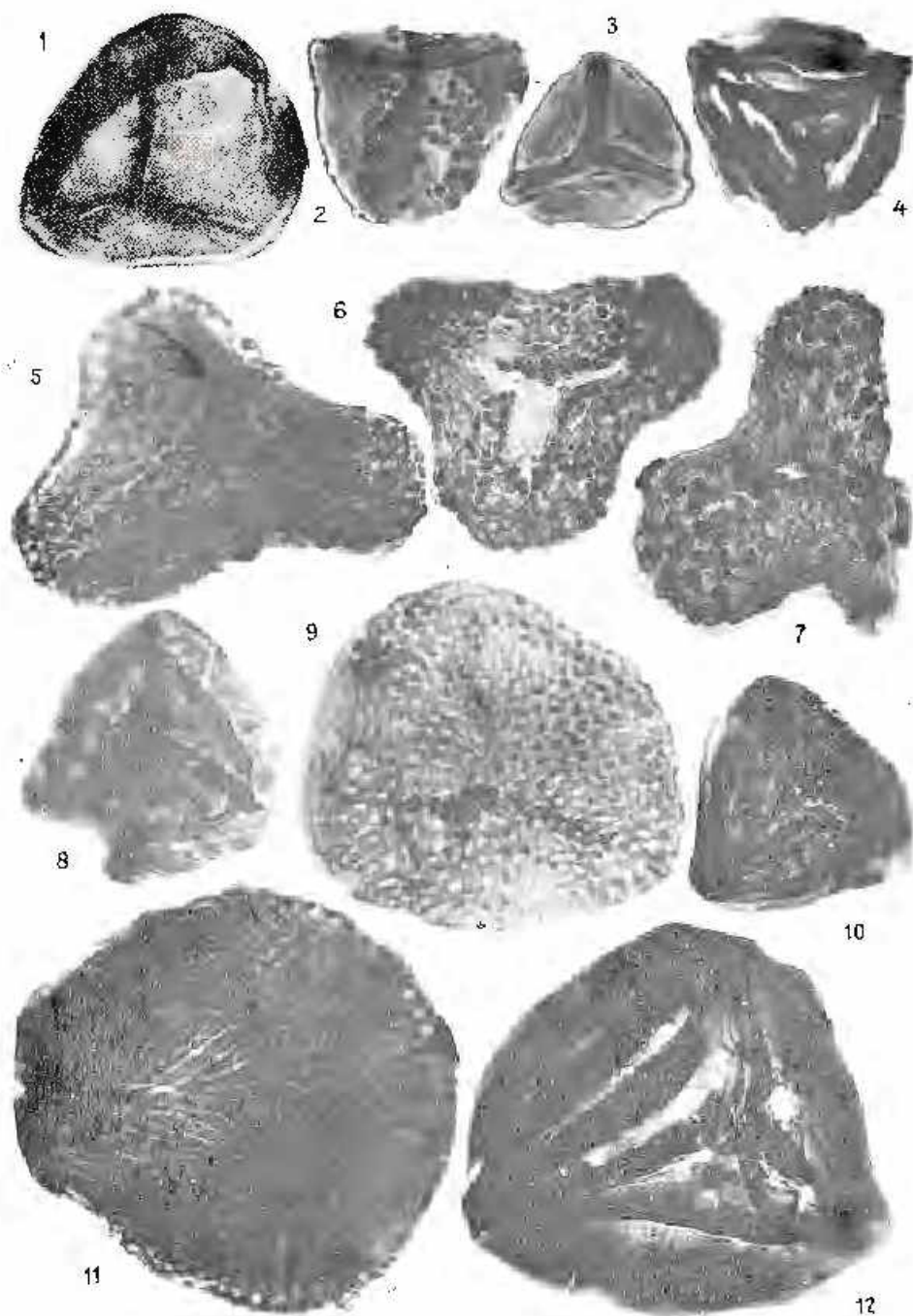
Elemente din partea inferioară a stratelor de Valea Dosului.
Éléments de la partie inférieure des couches de Valea Dosului.

Barrémian ? — Aptian inferior.

Burrémian? --- Aptien inférieur.

- Fig. 1. - *Cyathidites minor* Couper 1958. Piatră Leurdis - Bucium-Rodă, lama 7004/9.
- Fig. 2. - *Foraminisporites* sp. Valea Muntarului-Bucium, lama 7007/8.
- Fig. 3. - *Gleicheniidites (Trilemispores) minor* Döring 1985. Valea Muntarului-Bucium lama 7007/1.
- Fig. 4. - *Appendicisporites* cf. *tuberulatus* Döring 1966. Valea Muntarului-Bucium, lama 7007/2.
- Fig. 5. - *Concavissimispores* sp. × 500. Valea Muntarului-Bucium, lama 7029/1.
- Fig. 6 - 7. - *Concavissimispores apicervicatus* (Couper) Döring 1965. × 500. Fig. 6 lama 7029/3, valea Muntarului-Bucium; Fig. 7 lama 7114/6, valea Geamăna Negoi.
- Fig. 8. - *Coronatispora ravidensis* (Couper) Dettmann 1963. Valea Muntarului-Bucium, lama 7027/3.
- Fig. 9. - *Sextasporites pseudotuberculatus* (Couper) Dettmann 1963. Piatră Leurdis-Bucium-Rodă, lama 7004/16.
- Fig. 10. - *Cleaticosporites* cf. *striatus* Bürgler 1956. Valea Oașului-Moții, lama 7114/4.
- Fig. 11. - *Cleaticosporites hallei* Delcourt & Spurnmont 1955. Valea Oașului, lama 7111/10.
- Fig. 12. -- *Cleaticosporites* cf. *irregularisporatus* (Couper) Kemp 1970. Valea Muntarului-Bucium, lama 7007/4.





PLANŞA VI

× 1000

Elemente din partea inferioară a stratelor de Valea Dosului.
Éléments de la partie inférieure des couches de Valea Dosului.

Barremian? — Aptian inferior.

Barémien? — Aptien inférieur.

Fig. 1. — *Peltieria* sp. Valea Geamăna-Mogoș, lama 7114/9.

Fig. 3. — *Cicatricosporites* sp. Valea Muntarului-Bucium, lama 7097/1.

Fig. 4. — *Concavissimoporites normicosus* Delcourt & Spurnmont 1955. Valea Geamăna-Mogoș, lama 7114/8.

Fig. 5. -- *Cicatricosporites* sp. ex Norris 1967. Valea Muntarului-Bucium, lama 7007/1.

Fig. 6. — *Cicatricosporites* cf. *brevitarsatus* (Copper) Kemp 1970. Pârful Arsurii-Bucium-Șasa, lama 7003/1.

Fig. 7. — *Cicatricosporites* cf. *ticoensis* Athangelski & Gamero 1966. Valea Muntarului-Bucium, lama 7007/9.

Fig. 8. — *Cicatricosporites* cf. *abacus* Bürger 1963. Valea Muntarului Bucium.

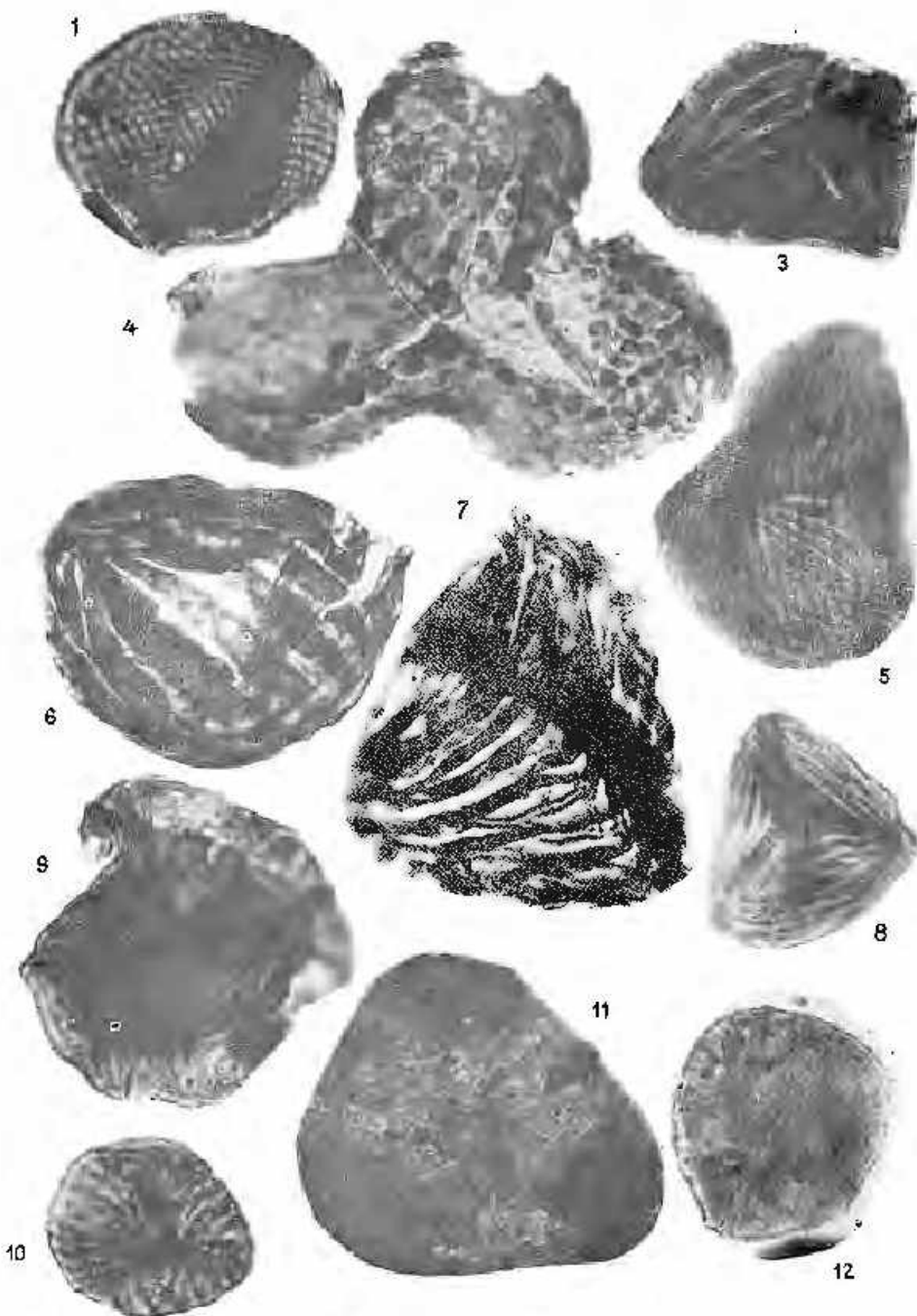
Fig. 9. — *Cottiasporites trilectus* Singh, Srivastava & Ito 1964. Valea Muntarului-Bucium, lama 7029/4.

Fig. 10. — *Peltieria* sp. Valea Muntarului-Bucium, lama 7007/6.

Fig. 11. — *Trilobosporites* cf. *crassangularis* Döring 1965. Valea Muntarului-Bucium, lama 7097/3.

Fig. 12. -- *Pilosporites delicatulus* Norris 1969. Valea Muntarului-Bucium, lama 7007/2.





PLANSĂ VII

× 1000

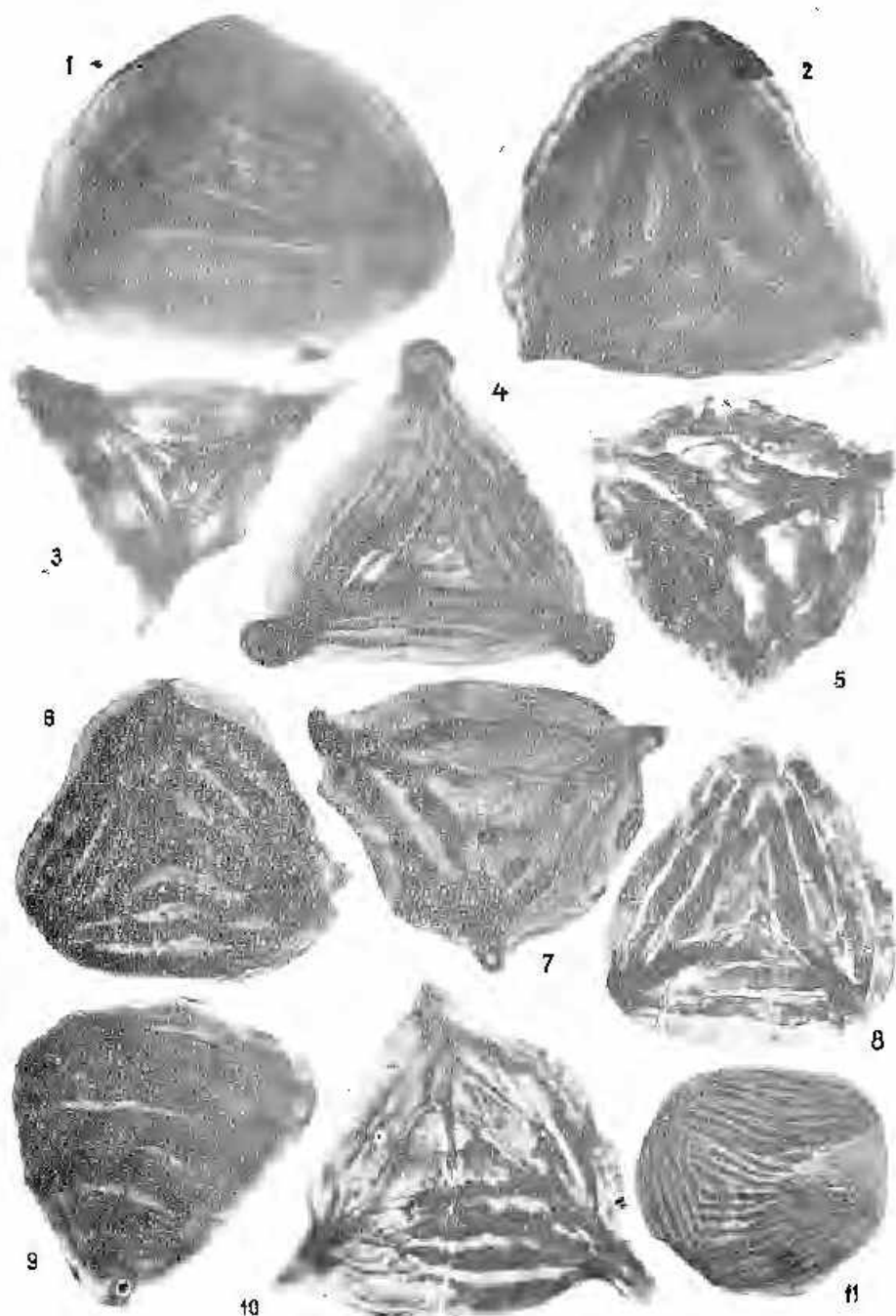
Elemente din partea inferioară a stratelor de Valea Dosului.
Éléments de la partie inférieure des couches de Valea Dosului.

Barremian? — Aptian inferior.

Barrémien? — Aptien inférieur.

- Fig. 1. — *Cicadicosisporites brevitaesulatus* (Copper) Kemp 1970. Pirlul Leurdă-Buciūm-Roia, lama 7004/5.
- Fig. 2. — *Appendicisporites* cf. A. Isp. № 222 Döring 1966, Valea Geamăna-Mogoș, lama 7114/3.
- Fig. 3. — *Appendicisporites* cf. *tricuspidatus* Weyland & Greifeld 1953. × 500. Pirlul Arsuri-Buciūm-Șasa, lama 7003/6.
- Fig. 4. — *Appendicisporites stylatus* Deák 1963. Pirlul Leurdă-Buciūm-Roia, lama 7001/14.
- Fig. 5. — *Appendicisporites* cf. *tuberculatus* Döring 1966. Pirlul Arsuri-Buciūm-Șasa, lama 7003/7.
- Fig. 6. — *Cicadicosisporites* cf. (*Anemia*) *phyllidiformis* Ionova 1960. Valea Geamăna-Mogoș, lama 7114/2.
- Fig. 7, 10. — *Appendicisporites potosiensis* Brenner 1963. Fig. 7 lama 7080/2, valea Roșia-Roșia Montană; fig. 10 lama 7003/5, valea Arsuri-Buciūm-Șasa.
- Fig. 8. — *Cicadicosisporites* sp. Pirlul Arsuri-Buciūm-Șasa, lama 7003/7.
- Fig. 9. — *Contigrisporites* sp. Valea Muntarului-Ineacu, lama 7007/5.
- Fig. 11. — *Peltiferia* sp. Valea Geamăna-Mogoș, lama 7114 /6.





PLANŞA VIII

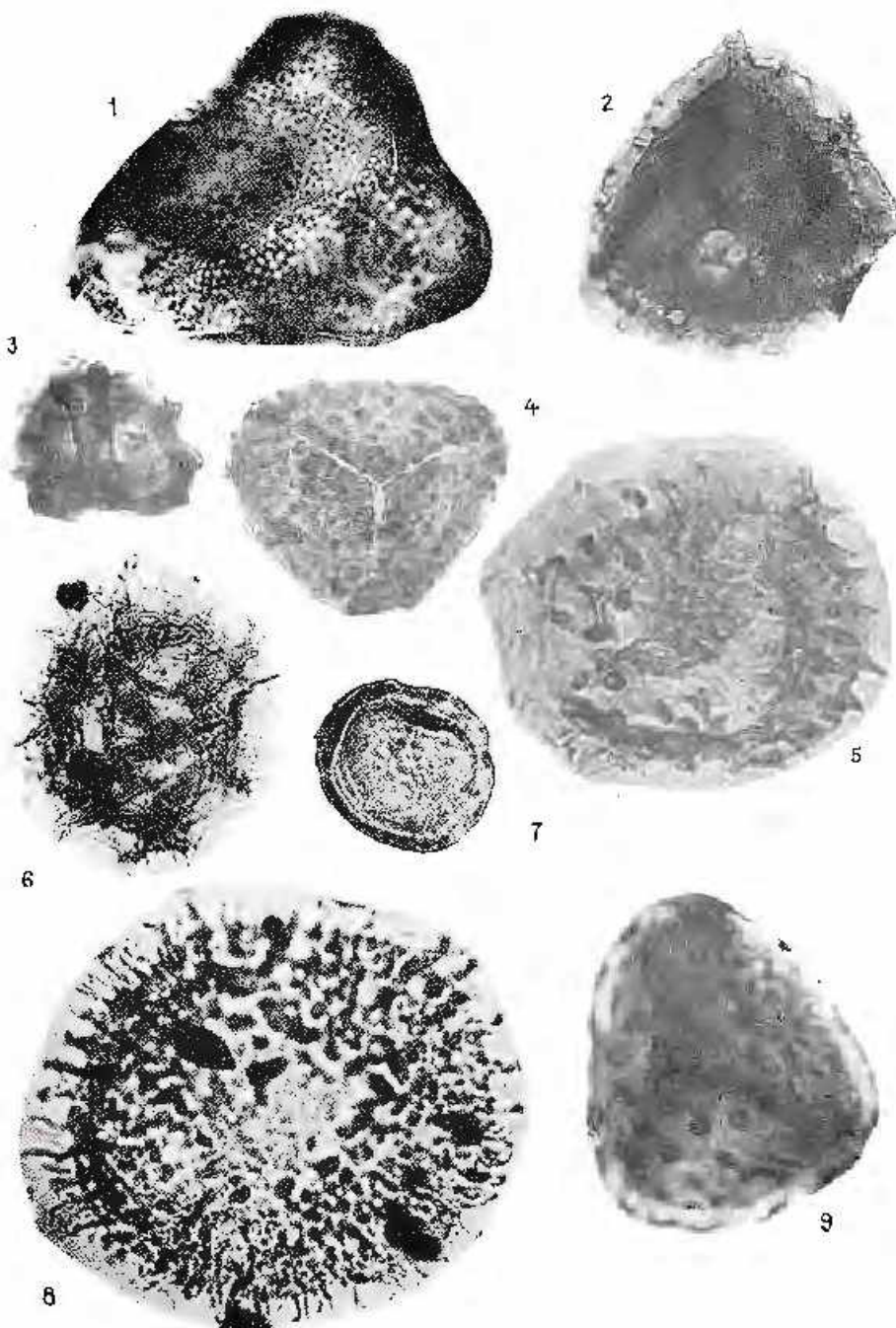
× 1000

Elemente din partea inferioară a stratelor de Valea Dosului.
Éléments de la partie inférieure des couches de Valea Dosului.

Barremian? — Aptian inferior.
Barrémien? — Aptien inférieur.

- Fig. 1. — *Powelliletes paucisetos* (Balme) Dettmann 1963. Valea Muntarului-Buciul, lama 7007/1.
- Fig. 2. — *Aequitriradiles spinulosus* (Cookson & Dettmann) Cookson & Dettmann 1961, × 500. Valea Muntarului-Buciul, lama 7029/1.
- Fig. 3. — Spor cu spini mari (*Rubinella* sp. ?), × 500. Valea Roșia-Roșia Montană, lama 7080/1.
- Fig. 4. — Spor cu verruce nconservat. Valea Muntarului-Buciul.
- Fig. 5. — *Aequitriradiles spinulosus* (Cookson & Dettmann) Cookson & Dettmann 1961, Pirtul Leurdis-Buciul-Roșă, lama 7001/19.
- Fig. 6. — Dinoflagelat tip C. Pirtul Arsuri Buciul Șasa, lama 7003/8 × 500.
- Fig. 7. — *Classopeltis* cf. *neeli* Reyre 1970. Pirtul Leurdis-Buciul-Roșă, lama 7004/6.
- Fig. 8. — *Cyclenephelium distinctum* Deblangere & Cookson 1955 ex Goebel 1959. Pirtul Leurdis-Buciul-Roșă, lama 7004/2.
- Fig. 9. — *Ischyrosporites* sp. Valea Roșia-Roșia Montană, lama 7080/1.





Institutul Geologic. Dări de seară, vol. LIX/3.

PLANSĂ IX.

× 1000

Elemente din partea inferioară a stratelor de Valea Dosului.
Éléments de la partie inférieure des couches de Valea Dosului.

Barremian? — Aptian inferior.

Barrémien? - Aptien intérieur.

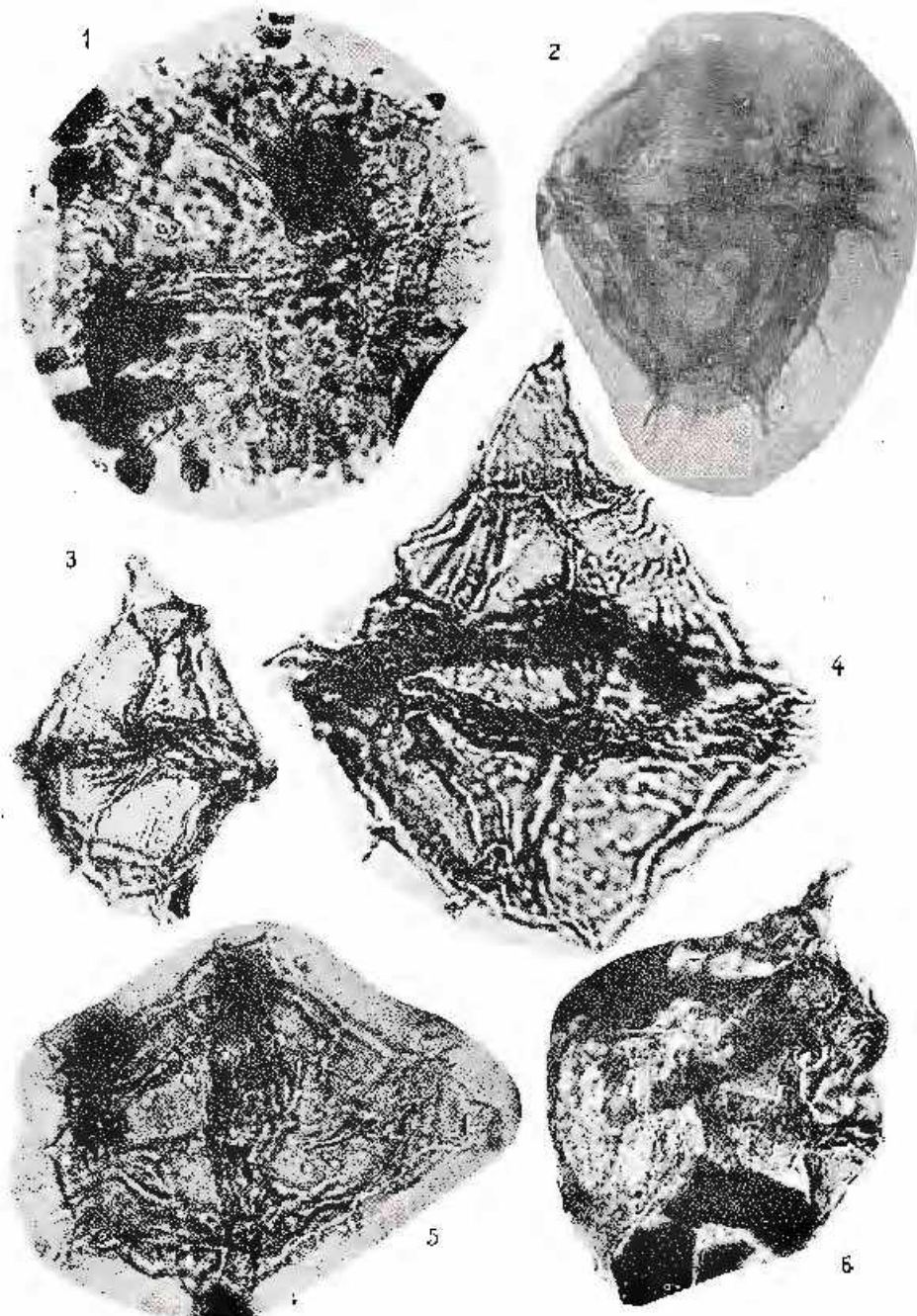
Fig. 1. — *Trichotinum* cf. *intermedium* Eisenack & Cockson 1958, Valea Rosia-Rosia Montană, lama 7080/1.

Fig. 2. — Dinoflagelat ilg. B, Valea Măntărești-Bucium, lama 7007/1.

Fig. 3-5. — *Gonggulacysta* cf. *aptiana* (Bedland) Săcăeană 1966. Fig. 3 lama 7034/12, Părău Lendriș-Bucium-Ruda × 500; fig. 4 lama 7004/8, idem; fig. 5 lama 7004/15, idem.

Fig. 6. — *Gonggulacysta* cf. *orthoceras* Eisenack 1958, Părău Arsuri-Bucium-Șasa, lama 7003/8.





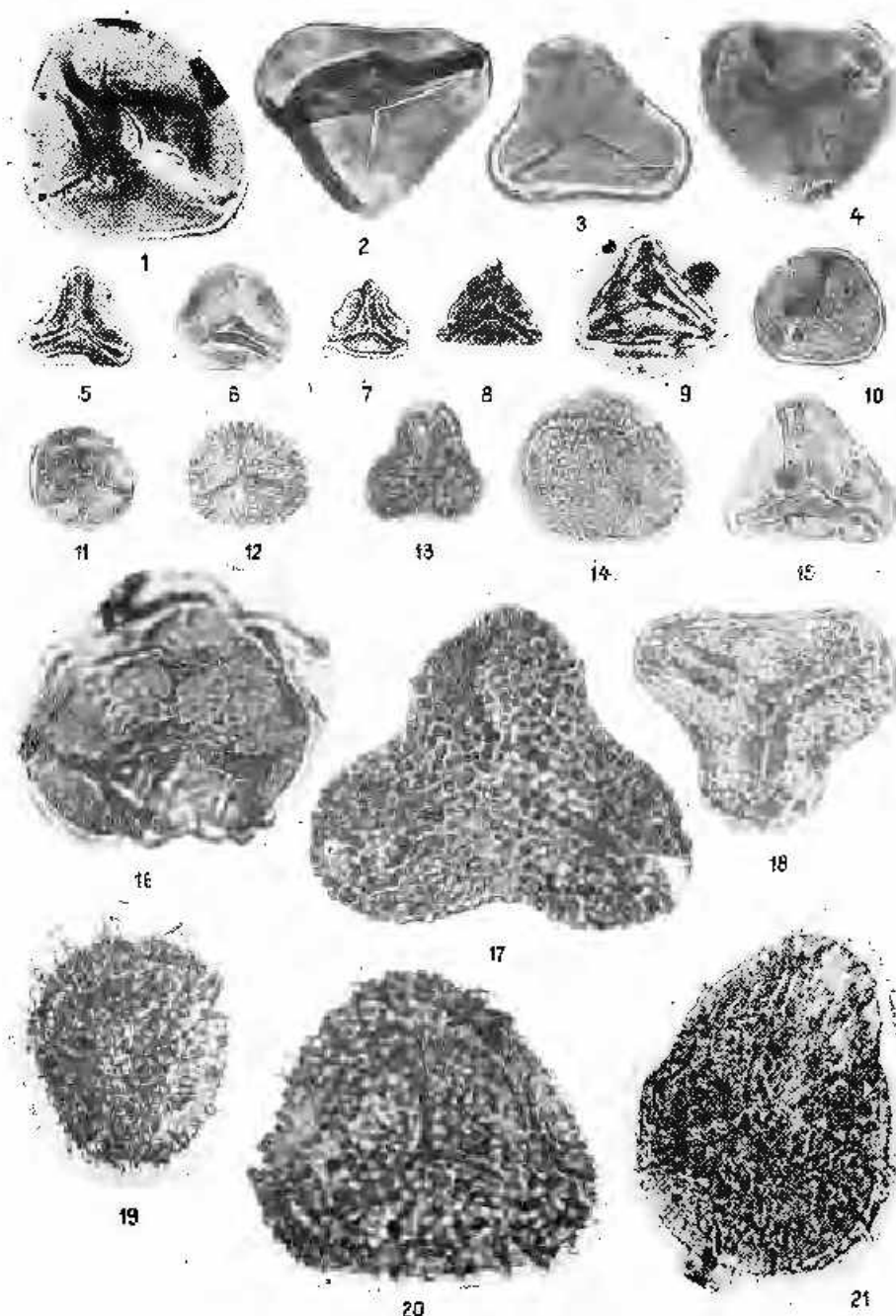
Institutul Geologic. Dări de seamă, vol. I.IX/3.

PLANSA X

× 500

Elemente din microflora stratelor de Meteș.
Éléments de la microflore des couches de Meteș.
Aptian superior -- Albian inferior sau median.
Aptien supérieur — Albien inférieur ou moyen.

- Fig. 1. *Cyathidites australis* Couper 1953. Valea Telna-Ighic, lama 1910/2.
- Fig. 2--3. -- *Cyathidites minor* Couper 1953. Fig. 2. lama 1910/3.1, valea Telna; fig. 3 lama 1490/19 valea Tăuți — Tăuți.
- Fig. 4. -- cf. *Biretisporites potoniei* Delcourt & Sprumont 1955. Afuent valea Bucerdeea, lama 1908/1.
- Fig. 5. -- *Gleicheniidites securicus* Ross 1949. Valea Bucerdeea, lama 1253/9.
- Fig. 6. -- *Gleicheniidites* cf. (*Trilemisporites*) *lalifolius* Döring 1965. Valea Bucerdeea lama 1253/1.
- Fig. 7—8. -- *Gleicheniidites* (*Trilemisporites*) *minor* Döring 1965, fig. 7 lama 1253/10 valea Bucerdeea; fig. 8 lama 1908/1, affluent valea Bucerdeea.
- Fig. 9. -- *Gleicheniidites carinatus* (Bolkhovitina) Bolkhovitina 1961. Valea Bucerdeea, lama 1230/1.
- Fig. 10—11. -- *Garniaporites* sp. Romania? Fig. 10 lama 1904/3, affluent valea Bucerdeea; fig. 11 lama 1910/3, valea Telna.
- Fig. 12. *Cerasosporites equalis* Cookson & Dettmann 1958. Valea Craiva, lama 1502/8.
- Fig. 13. -- cf. *Cerasosporites dissialgranulatus* (Couper) Kemp 1970. Valea Telna, lama 1910/4.
- Fig. 14. -- *Bacatalisporites* sp. Valea Bucerdeea, lama 1253/18.
- Fig. 15. -- *Dictyophylidites* sp. Valea Bucerdeea, lama 1230/6.
- Fig. 16. -- cf. *Rousseisporites* sp. Valea lui Paul, lama 1478/5.
- Fig. 17. -- *Concavissimisporites longiterrucatus* Döring 1965. Afuent valea Bucerdeea, lama 1908/1.
- Fig. 18. -- *Trilobusporites* sp. Valea Tăuți, lama 1490/15.
- Fig. 19—21. -- *Pilosporites* cf. *trichopapillatus* (Thiergart) Delcourt & Sprumont 1955. Fig. 19 lama 1501/12, valea Craiva; fig. 20 lama 1501/14, valea Craiva; fig. 21 lama 1501/18, valea Craiva.



Institutul Geologic. Dări de seamă, vol. LIX/3.

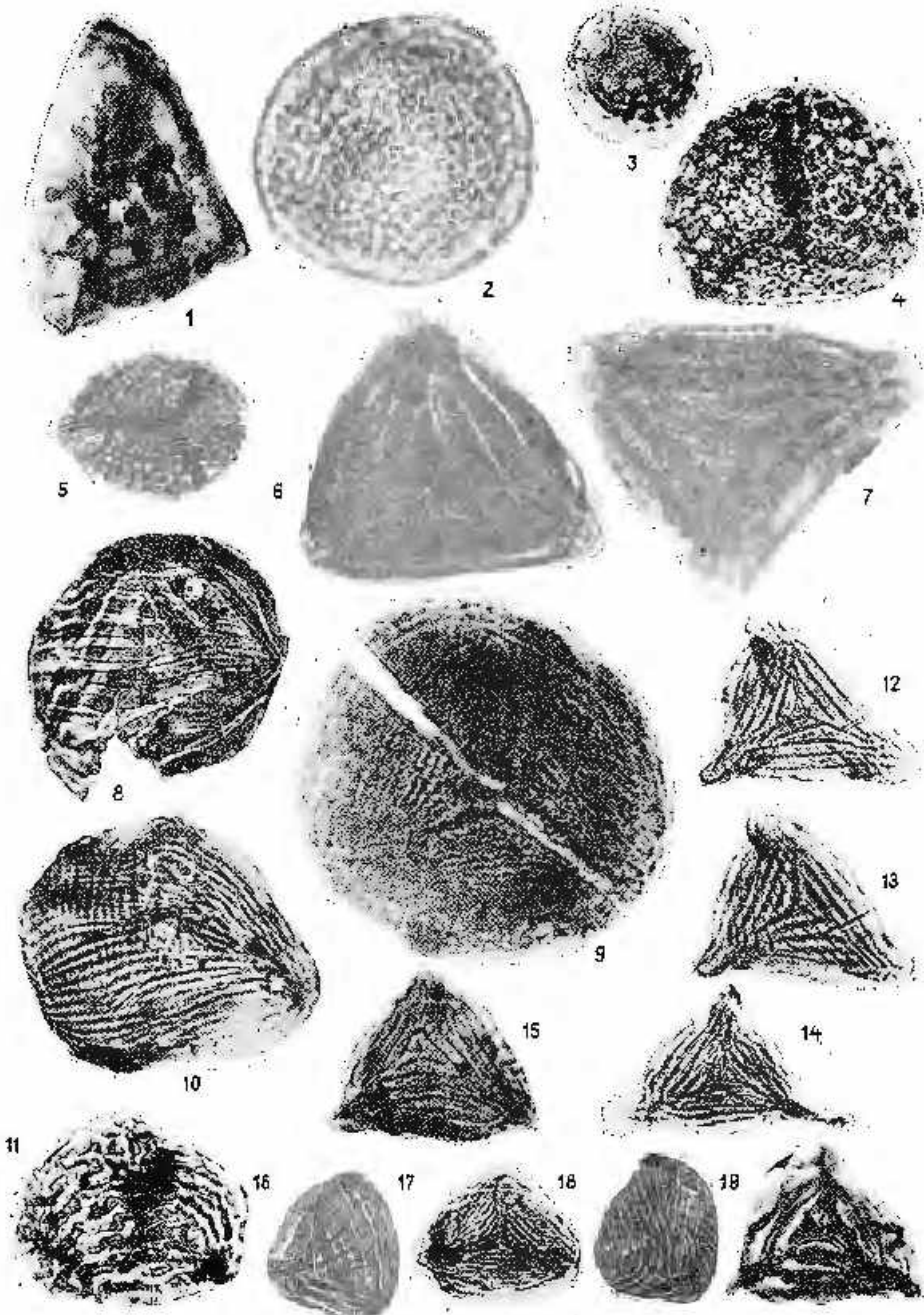
PLANSA XI

× 500

Elemente din microflora stratelor de Metes.
Éléments de la microflore des couches de Metes.
Aptian superior — Albian inferior sau median.
Aptien supérieur — Albien inférieur ou moyen.

- Fig. 1. — Spor. tip B. Valea Craiva, lama 1501/3.
- Fig. 2. — *Rolvellasporites* sp. Valea Tăuți 1490/2.
- Fig. 3. — *Relitritetes* cf. *austroclavatidites* (Cookson) Döring, Krutzsch, Mai & Schmitz 1963. Afuent, valea Ighiel lama 1441/9.
- Fig. 4. — *Ischyrosporites* sp. Valea Tejna 1910/3.
- Fig. 5. — *Paveosporites multifoveolatus* Döring 1965. Valea Bucerdea, lama 1230/7.
- Fig. 6—7. — *Plicatella trichacanthia* Maljakin 1949. Fig. 6 lama 1490/18, valea Tăuți; Fig. 7 lama 1490/17, idem.
- Fig. 8. — cf. *Appendicisporites grandis* Pocock 1964. Valea Craiva, lama 1501/22.
- Fig. 9. — *Cicatricosporites* sp. 1. Valea Craiva, lama 1501/31.
- Fig. 10. — *Cicatricosporites* cf. *hasselii* Helecourt & Sprumont 1955. Valea lui Paul, lama 1497/7.
- Fig. 11. — *Cicatricosporites* (*Anemia*) *sibirica* (Karata-Murza) Hughes & Moody-Stuart 1963. Valea Craiva, lama 1501/18.
- Fig. 12—13. — *Appendicisporites* cf. *tricarinatus* Weyland & Greifeld 1953. Valea lui Paul, lama 1497/7.
- Fig. 14. — *Appendicisporites* cf. *stylosus* Deák 1963. Valea Craiva, 1501/5.
- Fig. 15. — *Appendicisporites* *tricarinatus* Weyland & Greifeld 1953. Valea Craiva, 1501/27.
- Fig. 16. — *Cicatricosporites* sp. 2. Valea Bucerdea, lama 1229/6.
- Fig. 17. — *Cicatricosporites* sp. 3. Valea Craiva, lama 1501/1.
- Fig. 18. — *Cicatricosporites* cf. *venustus* Deák 1963. Valea Bucerdea, lama 1230/5.
- Fig. 19. — *Appendicisporites* sp. (ex Kempp 1970). Valea Bucerdea, lama 1908/3.



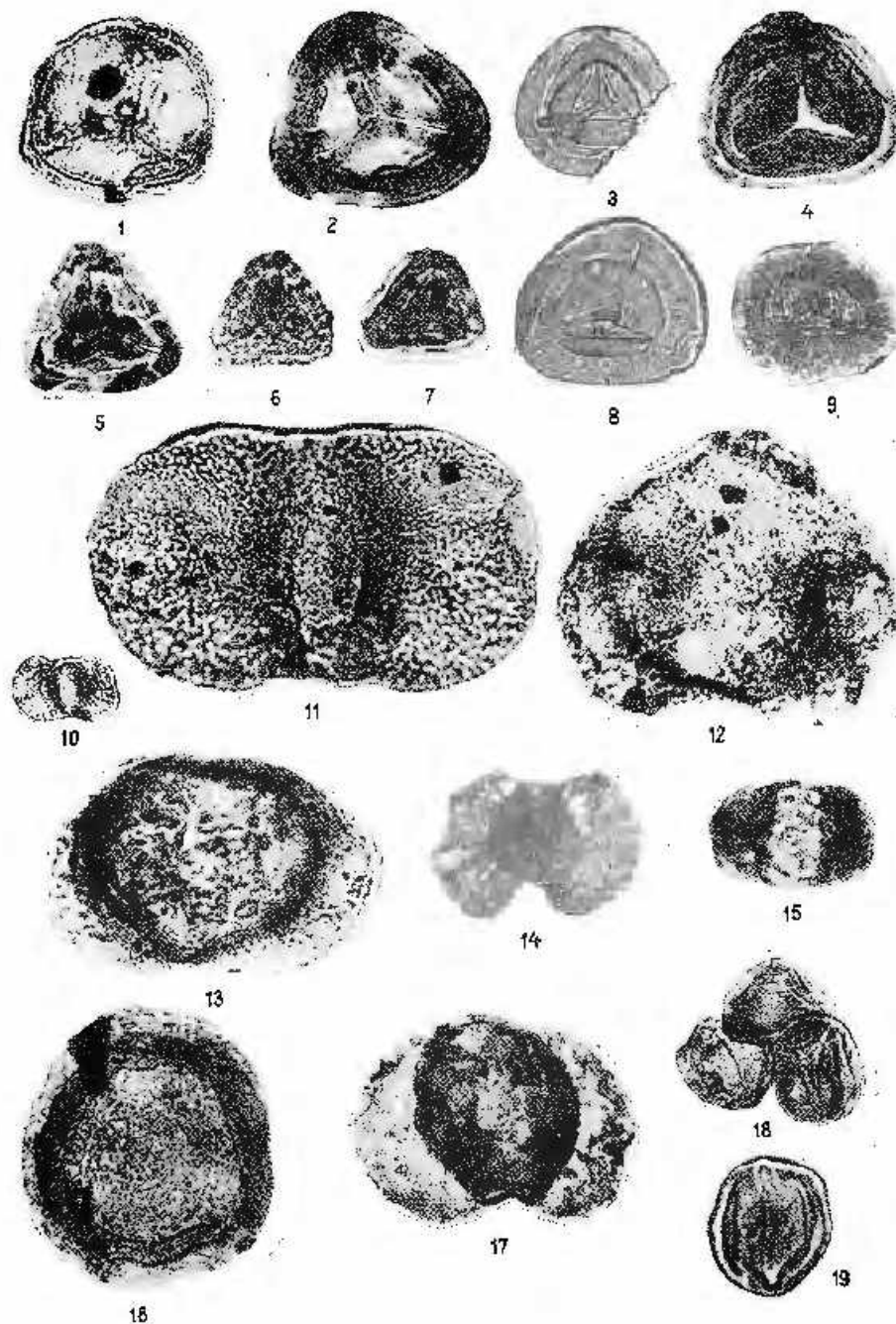


PLANSĂ XII

 $\times 500$

Elemente din microflora stratelor de Meteș.
 Éléments de la microflore des couches de Meteș.
 Aptian superior — Albian inferior sau mediu.
 Aptien supérieur — Albien inférieur ou moyen.

- Fig. 1. — *Densisporites perinulus* Couper 1958. Valea Târnă lama 1910/6.
- Fig. 2. — *Cingulites* sp. (specia nedeterminata). Valea lui Paul, lama 1-179/10.
- Fig. 3. — *Daptexisporites generalis* Deák 1963. Valea Bucerdea, lama 1229/1.
- Fig. 4, 7. — *Polyopidiscosporites* sp. 1. Valea Bucerdea, fig. 4 lama 1253/7, fig. 7 lama 1230/7.
- Fig. 5. — *Appendicisporites degeneratus* Thiergart 1953. Afuentul valea Bucerdea, lama 1908/5.
- Fig. 6. — *Trilites* sp. valea Bucerdea, lama 1253/4.
- Fig. 8. — „*Eurlyconisporites commixtus*” Bolikhovitina 1953. Valea Bucerdea, lama 1229/5.
- Fig. 9. — *Densisporites cf. fooveocingulatus* Schulz 1962. România?. Valea Craiva, lama 1501/11.
- Fig. 10. — *Vilexisporites pallidus* (Reissinger) Nilsson 1958. Valea Târnă 2910/3.
- Fig. 11. — *Alisporites grandis* (Cookson) Dettmann 1963. Valea Craiva, lama 1501/21.
- Fig. 12-13. — *Paroixycites radiatus* Couper 1958. Valea Târnă, fig. 12 lama 1442/15, fig. 13 lama 1442/18.
- Fig. 14. — *Podocarpites* sp. Valea Târnă, lama 1442/5.
- Fig. 15. — *Pinuspollenites* sp. Valea Târnă, lama 1112/5.
- Fig. 16. — *Arenacorizites unistratis* Cookson 1947. Valea Târnă lama 1442/16.
- Fig. 17. — *Atisporites unilateralis* Rouse 1959. Valea Târnă, lama 1442/1.
- Fig. 18. — *Classopollis cincoides* (Pflug) Pockre & Jonsonius 1961. Valea Craiva, lama 1502/7.
- Fig. 19. — *Fucostomites troedssonii* Erdtmann 1948. Valea Târnă, lama 1910/6.



Institutul Geologic. Dări de scamă, vol. LIX/3.

PLANŞA XIII

× 500

Elemente din microflora stratelor de Meteş.

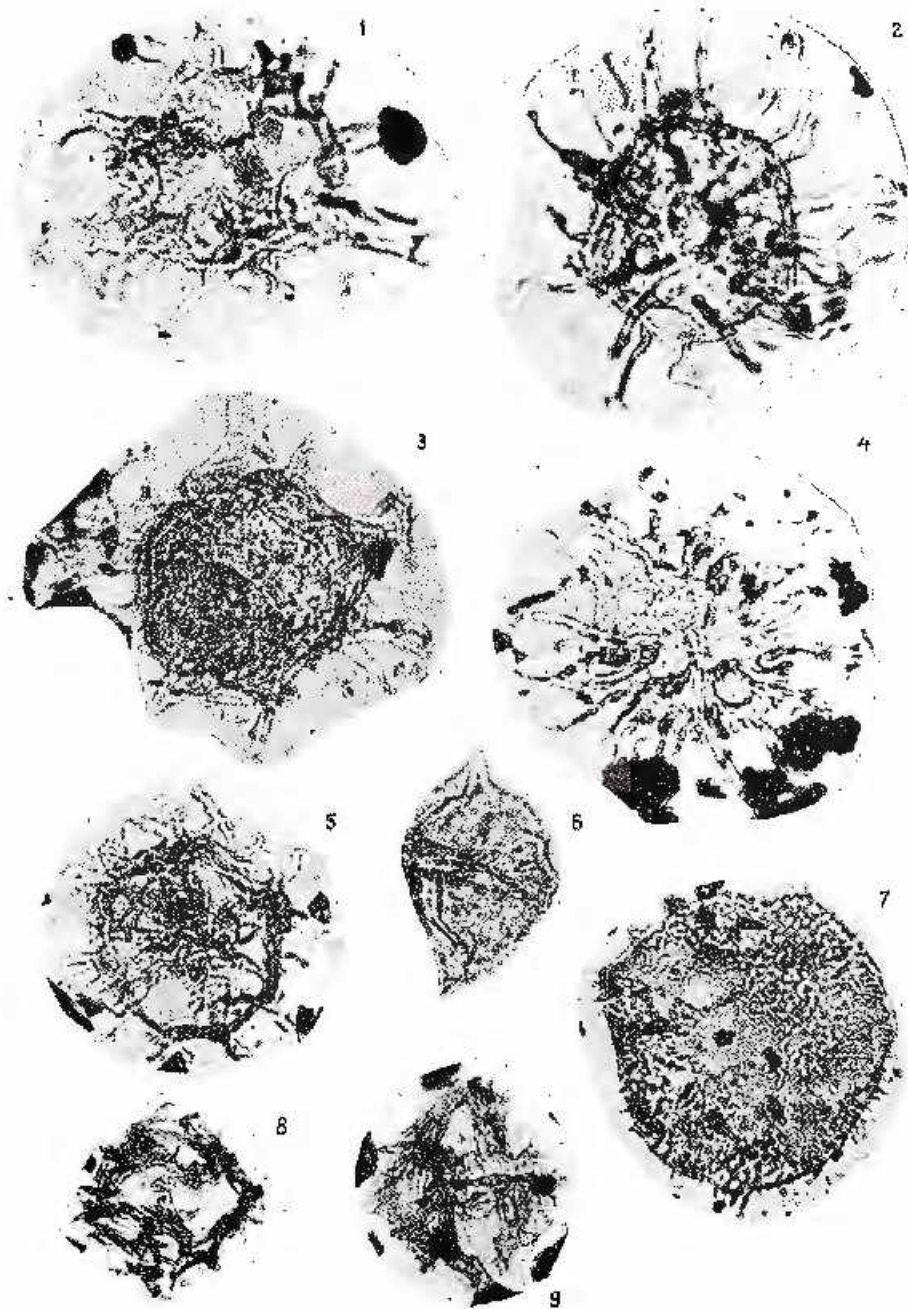
Éléments de la microflore des couches de Meteş.

Aptian superior - Albian inferior sau mediu.

Aptien supérieur — Albien inférieur ou moyen.

- Fig. 1, 3. - cf. *Hystriostolpoma* sp. Valea Craiva, fig. 1 lama 1502/23, fig. 3 lama 1502/12.
Fig. 2, 4. - *Cleistosphaeridium* sp. Valea Craiva, fig. 2 lama 1502/29, fig. 4 lama 1502/22.
Fig. 5. - *Hysirichosphaera* sp. Afuent valea Bucerdea, lama 1904/4.
Fig. 6. - cf. *Deflandrea pinnensis* Alberdi 1959. Valea Tăut., lama 1490/18.
Fig. 7. - *Cyclonephelium distinctum* De Landre & Goukson 1955 ex Gocht 1959.
Afuent valea Bucerdea, lama 1904/2.
Fig. 8. - cf. *Hystriochosphaera cingulata* (Weltz) De Landre 1954. Afuent valea Ighiel, lama 1441/3.
Fig. 9. - *Pterodinium* sp. Afuent valea Ighiel, lama 1441/2.





PLANŞA XIV

× 500

Elemente din microflora stratelor de Meteş.

Éléments de la microflore des couches de Meteş.

Aptian superior — Albian inferior sau mediu.

Aptien supérieur — Albien inférieur ou moyen.

Fig. 1. — *Oligosphecidium* sp. (specia nedeterm.). Afluent valea Ighiel, lama 1804/3.

Fig. 2. — *Tasmanites* sp. Valea Tăută, lama 1490/2.

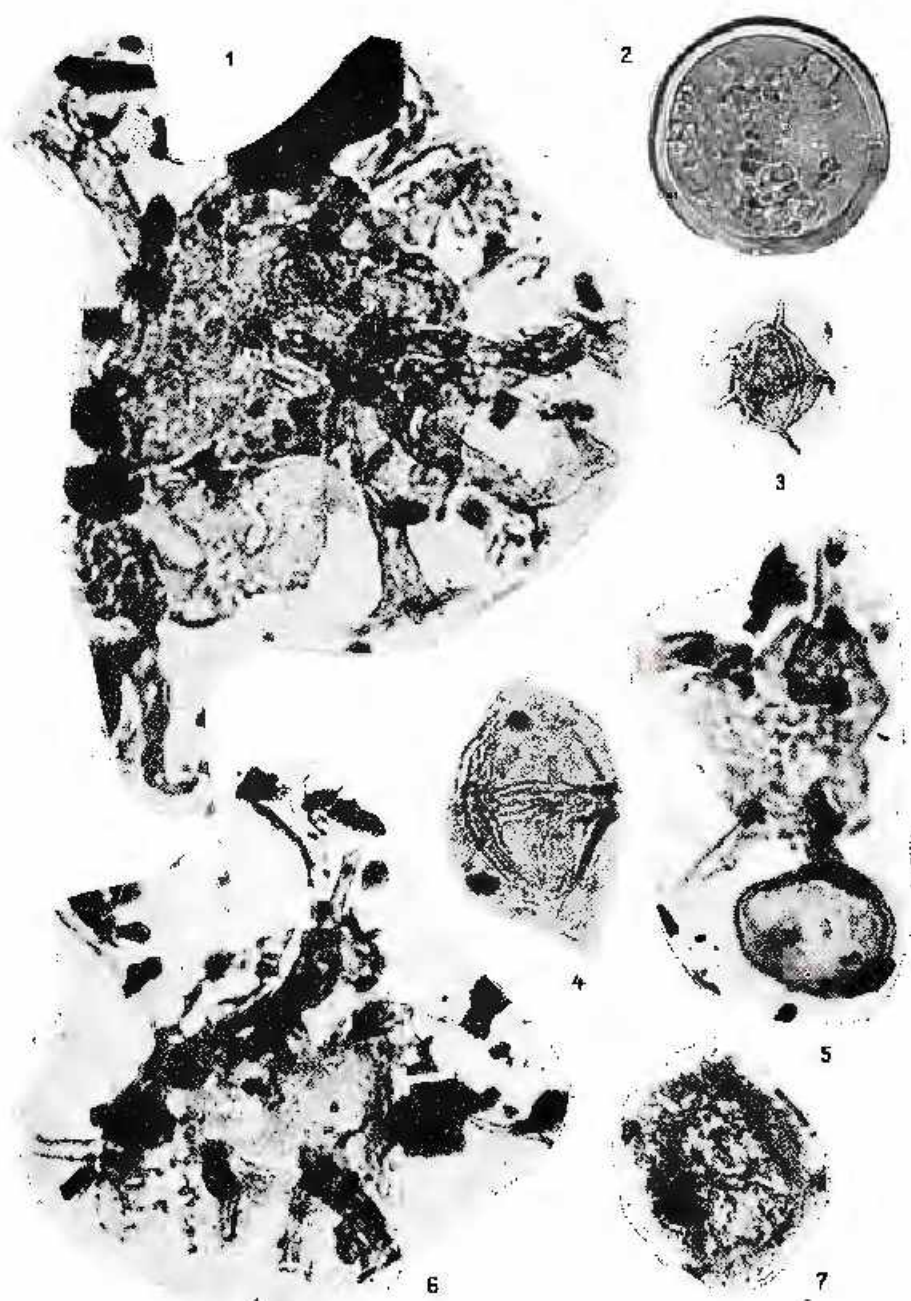
Fig. 3. — *Micrathyridium* sp. Afluent valea Ighiel, lama 1441/7.

Fig. 4. — cf. *Deflandrea cincta* Cookson & Eisenack 1960. Afluent valea Ighiel, lama 1441/8.

Fig. 5. Opercul (placă arheopilară delăsată). Afluent valea Ighiel, lama 1441/1.

Fig. 6. — *Hystriosphera* sp. Afluent valea Ighiel, lama 1441/1.

Fig. 7. — *Triehadinium* cl. *intermedium* Eisenack & Cookson 1960. Afluent valea Ighiel, lama 1441/1.



Institutul Geologic, Dări de seamă, vol. LIX/3.

PLANŞA XV

× 500

Elemente remaniate în microflora stratelor de Meteş.

Éléments remaniés dans la microflore des couches de Meteş.

- Fig. 1. — *Nuskovisporites dulhaniyi* Klaus 1963. Valea Craiva, lama 1502/11.
Fig. 2. — *Fromea elongata* Beju 1970, Valea Bucerdea, lama 1457/8.
Fig. 3. — cf. *Parcodinia* sp. Valea Bucerdea, lama 1230/7.
Fig. 4. — *Taeniaepollenites* sp. Valea Bucerdea, lama 1457/9.
Fig. 5. — *Pterospermopsis helios* Sarjeant 1959. Valea Bucerdea, lama 1457/3.
Fig. 6—7. — *Nannocerasopspis gracilis* Alberti 1961. Valea Bucerdea, lama 1457/6.

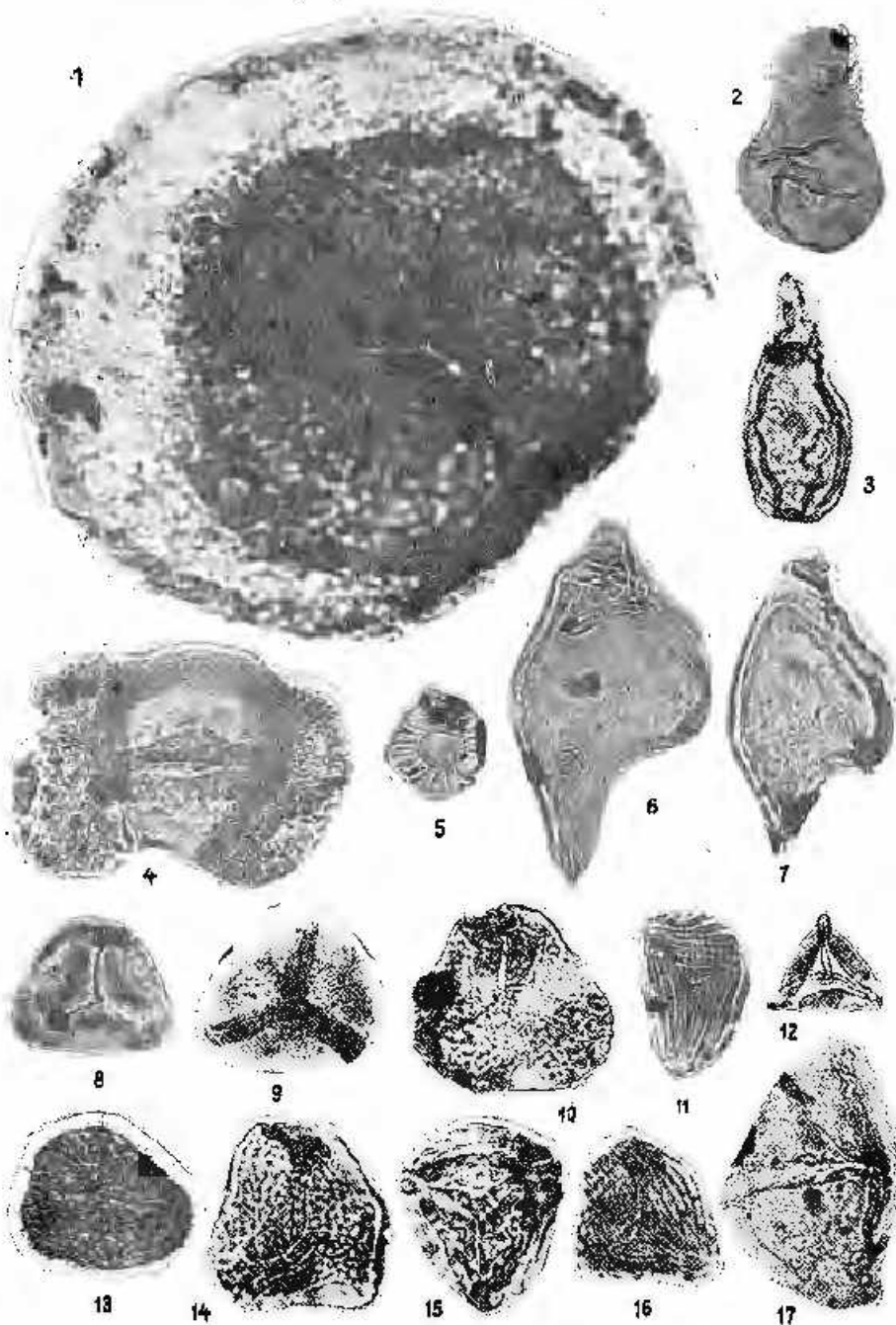
Elemente din partea superioară a stratelor de Valea Dosului.
Éléments de la partie supérieure des couches de Valea Dosului.

Aptian superior — Albian inferior sau mediu.

Aptien supérieur — Albien inférieur ou moyen.

- Fig. 8. — *Bidyaphyllidites* sp. Podul Șipot, lama 1690/1.
Fig. 9. — cf. *Biretisporites polonii* Delcourt & Sprumont 1955. Podul Șipot, lama 1690/3.
Fig. 10, 14. — *Tritobosporites* cf. *uralensis* (Bolkhovitina) Pocock 1964. Podul Șipot, fig. 10 lama 1690/2, fig. 14 lama 1690/4.
Fig. 11. — *Cicatricosporites* cf. *baccatus* Deák 1963. Podul Șipot, lama 1690/8.
Fig. 12. — *Gleicheniidites* cf. *cereinidites* (Cookson) Dettmann 1963. Podul Șipot, lama 1690/5.
Fig. 13. — *Pitostisporites* cf. *trichopapillosum* (Thiergart) Delcourt & Sprumont 1955. Podul Șipot, lama 1690/10.
Fig. 15. — *Corrugatisporites toratus* Weyland & Greifeld 1953. Podul Șipot, lama 1690/1.
Fig. 16. — *Cicatricosporites* sp. 3. Podul Șipot, lama 1690/11.
Fig. 17. — cf. *Palaeoperidinium* sp. Podul Șipot, lama 1690/2.



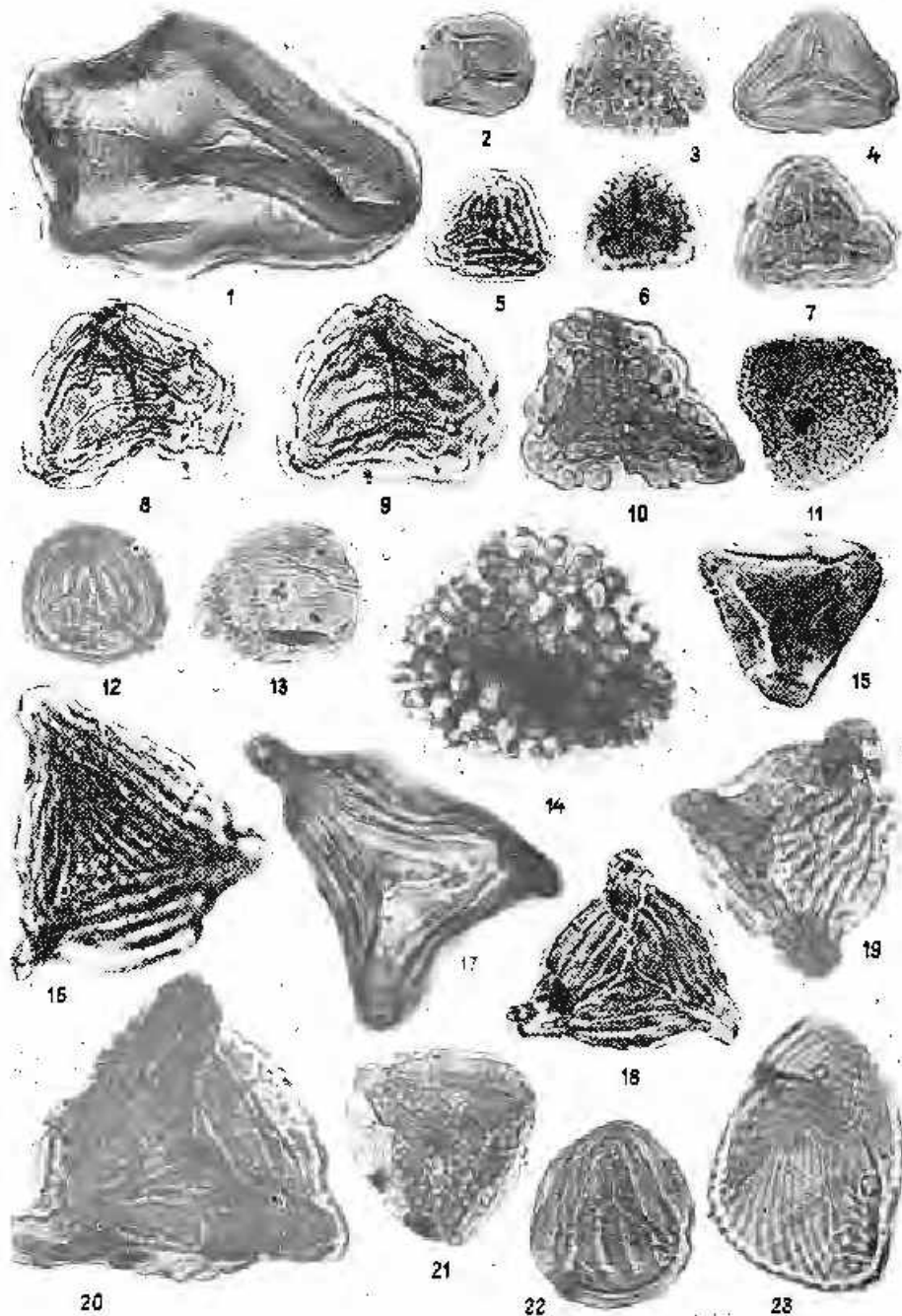


PLANSĂ XVI

$\times 500$

Elemente din microflora stratelor de Pârâul Izvorului.
Éléments de la microflore des couches de Pârâul Izvorului.
Albian superior.
Albien supérieur.

- Fig. 1. - *Leiotrilites mazoides* Krutzsch 1962. Valea Babii Buceş, lama 1217/7.
- Fig. 2. - *Leiotrilites* sp. Pârâul Izvorului Buceş, lama 1217/7.
- Fig. 3. - *Apiculatisporites babsae* Brenner 1963 ex Kemp 1970. Valea Babii-Buceş, lama 1610/5.
- Fig. 4. - *Polyppodiaceoisporites* sp. 2. Valea Babii-Buceş, lama 1610/1.
- Fig. 5, 7, 8-10. - *Polyppodiaceoisporites* sp. 2. Pârâul Izvorului, fig. 5 lama 1218/4, fig. 7 lama 1610/7, fig. 8-9 lama 1217/8, fig. 10 lama 1219/3.
- Fig. 6. - *Polyppodiaceoisporites* sp. 6. Pârâul Izvorului, lama 1217/13.
- Fig. 11. - *Baculalispores* sp. Pârâul Izvorului-Buceş, lama 1217/14.
- Fig. 12. - *Plicatella* cf. erdmanni Van Amerom 1963. Pârâul Izvorului-Buceş, lama 1218/5.
- Fig. 13. - *Cicatricosporites* cf. venustus Deák 1963. Pârâul Izvorului-Buceş, lama 1182/1.
- Fig. 14. - *Spirnotrilites* sp. Stratul de Valea lui Paul, valea lui Paul, lama 1478/3.
- Fig. 15. - *Appendicisporites degeneratus* Thiergart 1953. Stratul de Valea Dosului, partea superioară, Peșteri Șipot, lama 1690/2.
- Fig. 16. - *Appendicisporites matsovae* (Bolkovitina) Norris 1967. Pârâul Izvorului-Buceş, lama 1217/8.
- Fig. 17. - *Appendicisporites stylosus* Deák 1963. Valea Babii-Buceş, lama 1317/4.
- Fig. 18-19. - *Cicatricosporites* (*Anemnia*) *crinensis* (Bolkovitina) Hughes & Moody-Sluiter 1969. Fig. 18 lama 1610/2, valea Babii-Buceş; fig. 19 lama 1219/7, Pârâul Izvorului-Buceş.
- Fig. 20. - *Plicatella* sp. 1. Pârâul Izvorului-Buceş, lama 1218/1.
- Fig. 21. - *Gostlisperforosporites triangulatus* Deák 1963. Pârâul Izvorului-Buceş, lama 1217/10.
- Fig. 22. - *Contiquisporites cooksoni* (Balme) Detlmann 1963. Pârâul Izvorului-Buceş, lama 1218/7.
- Fig. 23. - *Cicatricosporites* cf. *hallei* Delcourt & Sprumont 1955. Pârâul Izvorului, lama 1218/8.



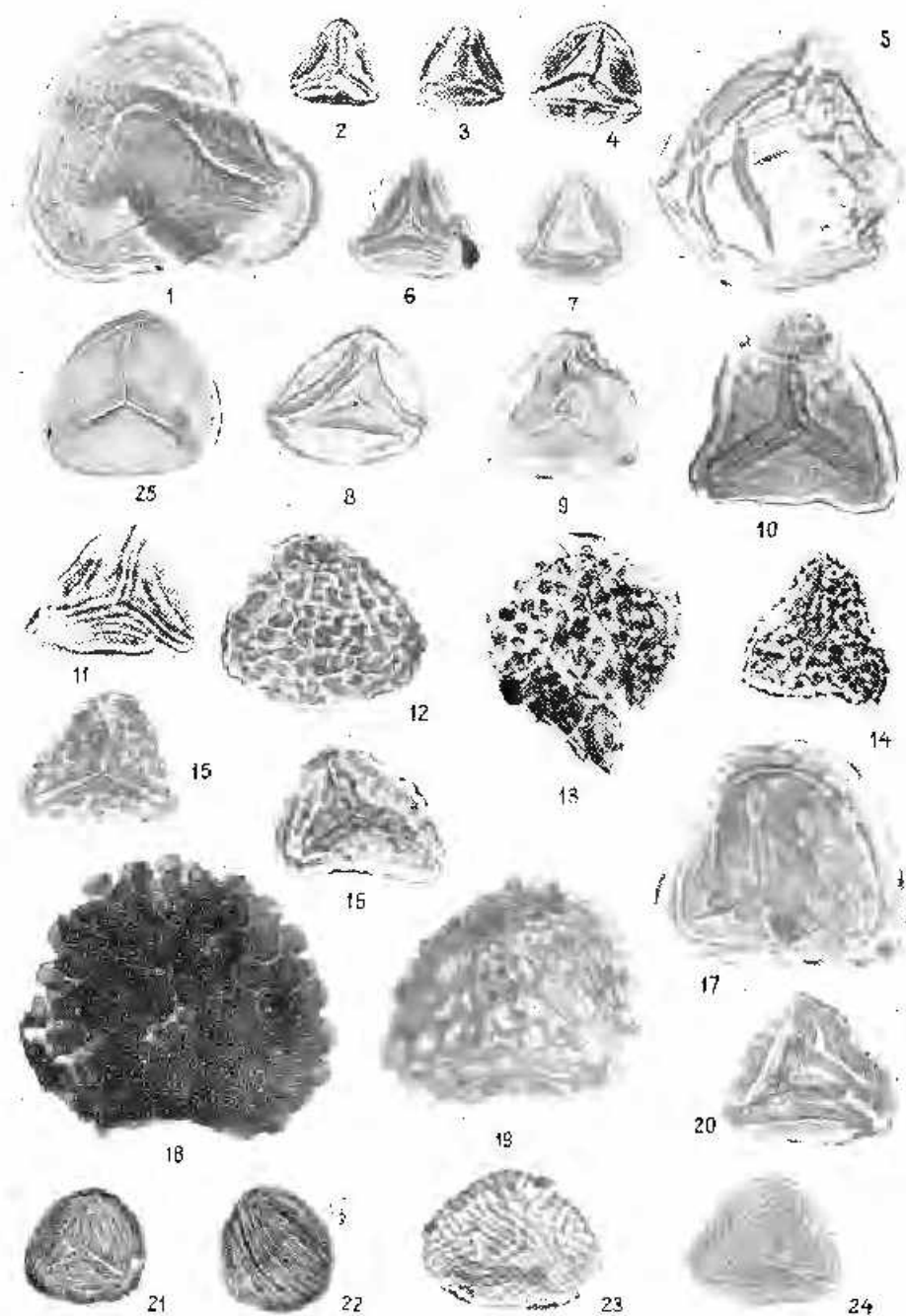
PLANSA XVII

× 500

Elemente din microflora stratelor de Valea lui Paul.
Éléments de la microflore des couches de Valea lui Paul.
Albian superior -- Cenomanian inferior.
Albien supérieur — Cénomanien inférieur.

- Fig. 1. — *Leioliteles maxoides* Krutzsch 1962. Valea lui Paul, lama 1461/7.
- Fig. 2-3. — *Gleicheniidites senonicus* Ross 1949. Valea lui Paul, fig. 2 lama 1432/4, fig. 3 lama 1432/13.
- Fig. 4. — *Gleicheniidites cf. cercinidites* (Cookson) Dettmann 1963. Valea lui Paul, lama 1461/10.
- Fig. 5. — *Todisporites major* Cooper 1958. Valea lui Paul, lama 1461/7.
- Fig. 6, 11. — *Gleicheniidites (Trilemispores) sp. ex Potonié 1966*. Valea lui Paul, fig. 6 lama 1461/3, fig. 11 lama 1462/5.
- Fig. 7. — *Gleicheniidites (Trilemispores) sp. (specia nedeterminata)*. Valea lui Paul, lama 1461/14.
- Fig. 8. — *Vincentisporites flexus* Deák 1965. Valea lui Paul, lama 1461/9.
- Fig. 9. — *Gleicheniidites sp. (specia nedeterm.)*. Valea lui Paul, lama 1461/11.
- Fig. 10. — cf. *Hirelispores poloniei* Delcourt & Sprumont 1955. Valea lui Paul, lama 1461/7.
- Fig. 12, 16. — *Tritites* sp. Valea lui Paul, fig. 12 lama 1461/2, fig. 16 lama 1432/3.
- Fig. 13. — *Spinatriteles* sp. (specia nedeterm.). Valea lui Paul, lama 1461/6.
- Fig. 14. — *Apiculatisporites borbse* Brenner 1963. Valea lui Paul, lama 1432/1.
- Fig. 15. — *Polypodiaceisporites poloniae* Kedves 1961. Valea lui Paul, lama 1432/9.
- Fig. 17. — *Tritites* sp. 2. Valea lui Paul, lama 1461/3.
- Fig. 18. — *Verrucosisporites* sp. 1. Valea lui Paul, lama 1432/13.
- Fig. 19. — *Ischyrosporites estherae* Deák 1965. Valea lui Paul, lama 1462/4.
- Fig. 20. — *Appendicisporites degeneratus* Thiergart 1949. Valea lui Paul, lama 1432/1.
- Fig. 21-22. — *Cicatricosisporites* sp. 4. Valea lui Paul, lama 1432/15.
- Fig. 23. — *Cicatricosisporites proxiradians* Kamp 1970. Valea lui Paul, lama 1432/8.
- Fig. 24. — *Cicatricosisporites venustus* Deák 1963. Valea lui Paul, lama 1432/13.
- Fig. 25. — cf. *Deltoidospora* sp. Valea lui Paul, lama 1461/8.





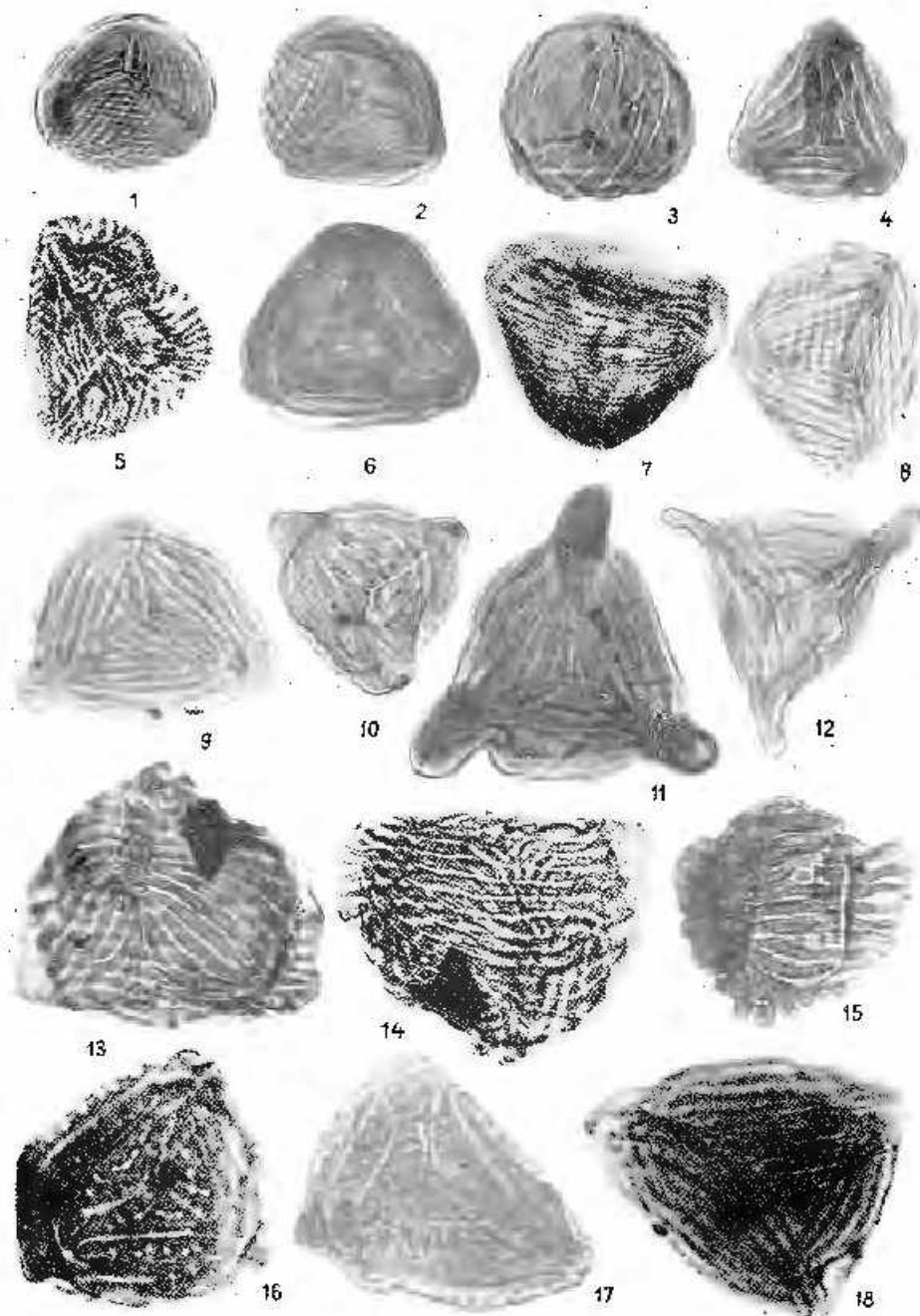
PLANŞA XVIII

× 500

Elemente din microflora stratelor de Valea lui Paul.
Éléments de la microflore des couches de Valea lui Paul.
Albian superior — Cenomanian inferior.
Albien supérieur — Cénomanien inférieur.

- Fig. 1-2. — *Cicatricosporites hallei* Delcourt & Sprumont 1955. Valea lui Paul
fig. 1 lama 1432/21, fig. 2 lama 1432/10.
- Fig. 3. — *Cicatricosporites* sp. ex Van Amerom 1965. Valea lui Paul, lama 1461/13.
- Fig. 4. — *Appendicisporites* cf. *giganteus* Arhangelski & Gamero 1966. Valea
lui Paul, lama 1461/18.
- Fig. 5. — *Cicatricosporites venustus* Deák 1963. Valea lui Paul, lama 1432/6.
- Fig. 6-7. — *Cicatricosporites* sp. Valea lui Paul, lama 1432/1.
- Fig. 8. — *Cicatricosporites hallei* Delcourt & Sprumont 1955. Valea lui Paul,
lama 1432/2.
- Fig. 9. — *Appendicisporites* cf. *tricornutus* Weyland & Greifeld 1953. Valea lui
Paul, lama 1461/3.
- Fig. 10. — *Plicatella* sp. Valea lui Paul, lama 1461/2.
- Fig. 11. — *Appendicisporites tricornutulus* Weyland & Greifeld 1953. Valea lui Paul,
lama 1432/9.
- Fig. 12. — *Appendicisporites stylatus* Deák 1963. Valea lui Paul, lama 1432/4.
- Fig. 13-14. — *Appendicisporites matusovae* (Bolkhovitina) Norris 1967. Valea
lui Paul, lama 1461/11.
- Fig. 15. — *Appendicisporites matusovae* (Bolkhovitina) Norris 1967. Valea lui Paul,
lama 1461/11.
- Fig. 16-17. — *Costatoperforosporites fissilosus* Deák 1962. Valea lui Paul, fig. 16 lama
1461/16, fig. 17 lama 1461/16.
- Fig. 18. — *Appendicisporites matusovae* (Bolkhovitina) Norris 1967. Valea lui Paul
lama 1461/15.





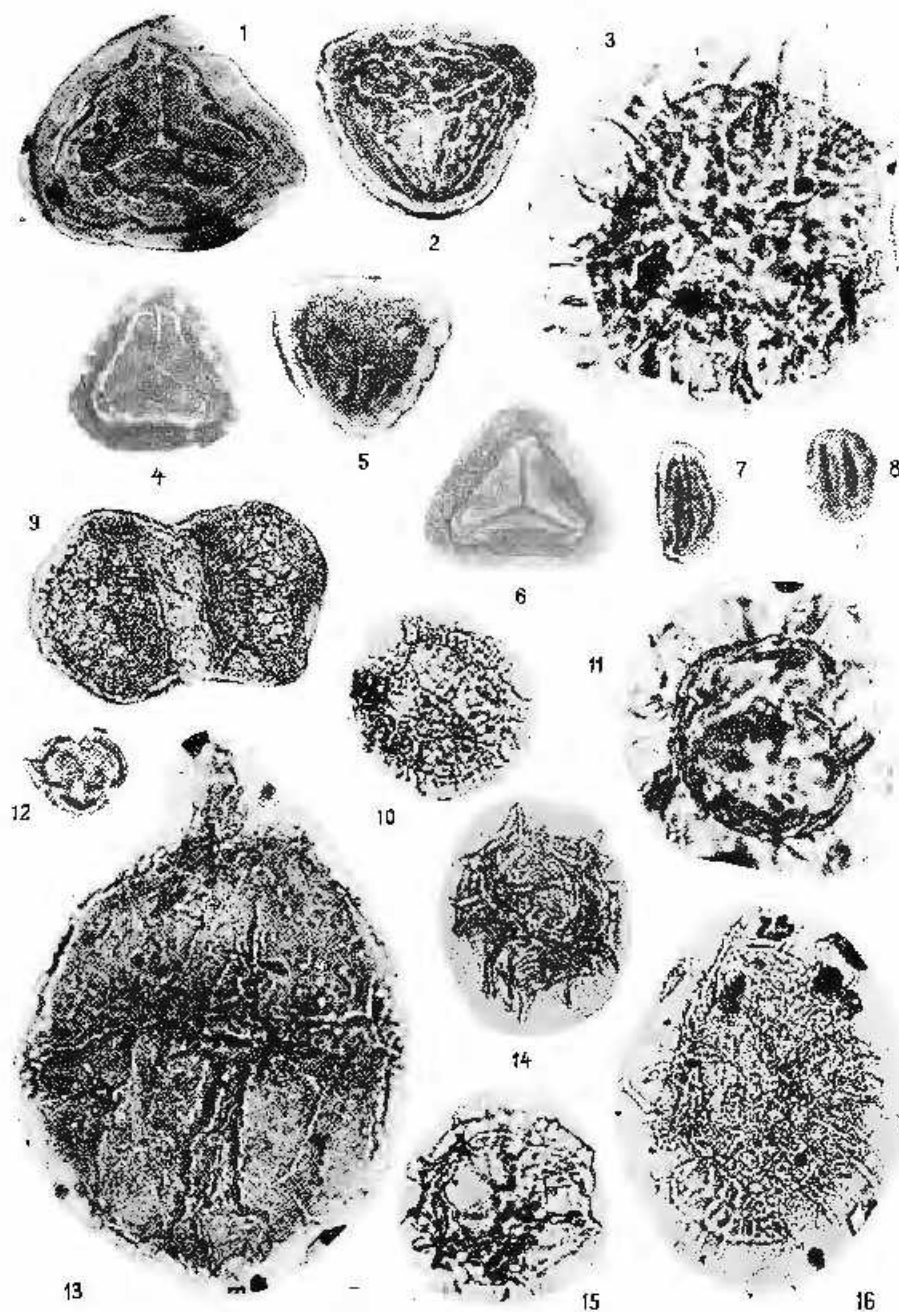
PLANSĂ XIX

× 500

Elemente din microflora stratelor de Valea lui Paul.
Éléments de la microflore des couches de Valea lui Paul.
Albian superior - Cenomanian inferior.
Albian supérieur — Cénomanien inférieur.

- Fig. 1. — *Polypodiaceoisporites reticulatus* Müller 1968. Valea lui Paul, lama 1432/1.
- Fig. 2. — *Polypodiaceoisporites* sp. 5. Valea lui Paul, lama 1432/2.
- Fig. 3. — *Cleistosphaeridium* sp. 2. Valea lui Paul, lama 1477/8.
- Fig. 4—5. — *Polypodiaceoisporites* sp. 6. Valea lui Paul, lama 1461/6.
- Fig. 6. — Spor tip 10. Valea lui Paul, lama 1432/1.
- Fig. 7—8. — *Tricolporopollenites* sp. Valea lui Paul, fig. 7 lama 1432/1, fig. 8 lama 1432/2.
- Fig. 9. — *Pinasporollenites* sp. Valea lui Paul, lama 1432/10.
- Fig. 10. — *Cleistosphaeridium unicoloratum* (Cookson & Eisenack) Davey, Downie, Sarjeant & Williams 1966. Valea lui Paul, lama 1477/8.
- Fig. 11. — *Lithosphaeridium siphoniphorum* (Cookson & Eisenack) Davey & Williams 1966.
- Fig. 12. — *Tricolpites* sp. (foveolat). Valea lui Paul, lama 1432/3.
- Fig. 13. — *Gonyaulacysta* sp. (specia nedeterm.). Valea lui Paul, lama 1462/41.
- Fig. 14—15. — *Hystriophphaera cingulata* (Wetzel) Dufflandre 1951 Valea lui Paul, fig. 14 lama 1461/9, fig. 15 lama 1477/9.
- Fig. 16. — *Cleistosphaeridium heteromorphum* (Dufflandre & Cookson) Davey, Downie, Sarjeant & Williams 1966. Valea lui Paul, lama 1477/10.





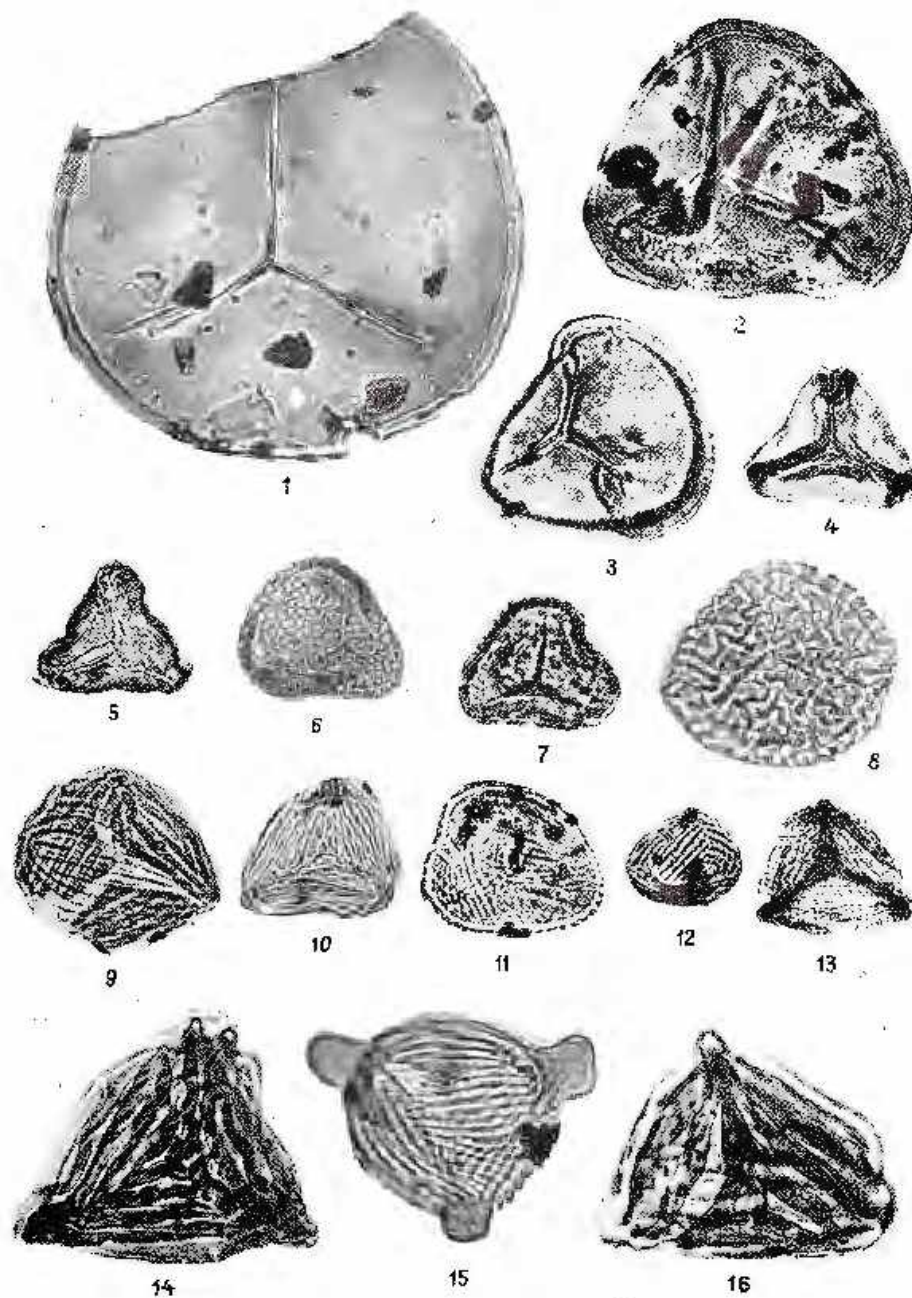
PLANŞA XX

× 500

Elemente din microflora stratelor de Deva.
Éléments de la microflore des couches de Deva.
Cenomanian superior — Santonian.
Cénomanian supérieur — Santonien.

- Fig. 1. — *Leiotrichites grandivorus* Krutzsch ex Kunerl & Lenk 1961. Soimus-Deva, lama 1753/8.
- Fig. 2. — *Leiotrichites maxides* Krutzsch 1962. Soimus-Deva, lama 1220/16.
- Fig. 3. — *Leiotrichites* sp. Soimus-Deva, lama 1753/3.
- Fig. 4. — *Gleicheniidites* sp. 2. Soimus-Deva, lama 1753/3.
- Fig. 5. — *Deltoidospora* cf. *taenia* Rouse ex Drugg 1967. Soimus-Deva, lama 1220/10.
- Fig. 6. — *Microcycliculispores* *arenicola* Drák 1961. Soimus-Deva, lama 1753/3.
- Fig. 7. — *Tritites* sp. Soimus-Deva, lama 1753/3.
- Fig. 8. — *Camarozanospores* *insignis* Norris 1966. Soimus-Deva, lama 1753/5.
- Fig. 9. — *Cicatricosisporites* sp. 5. Soimus-Deva, lama 1753/3.
- Fig. 10. — *Cicatricosisporites* sp. 3. Soimus-Deva, lama 1660/1.
- Fig. 11. — *Cicatricosisporites* cf. *venustus* Deák 1963. Soimus-Deva, lama 1753/13.
- Fig. 12. — *Pelticeria minadocestrata* Bolikhovitina 1961. Soimus-Deva, lama 1220/12.
- Fig. 13. — cf. *Mabria Thiergarti* ex Bolikhovitina 1961. Soimus-Deva, lama 1220/5.
- Fig. 14. — *Appendicisporites* sp. 1. Soimus-Deva, lama 1220/16.
- Fig. 15. — *Appendicisporites matusovae* (Bolikhovitina) Norris 1967. Soimus-Deva, lama 1753/2.
- Fig. 16. — cf. *Cicatricosisporites crassistriatus* Bürgler 1966. Soimus-Deva, lama 1220/10.



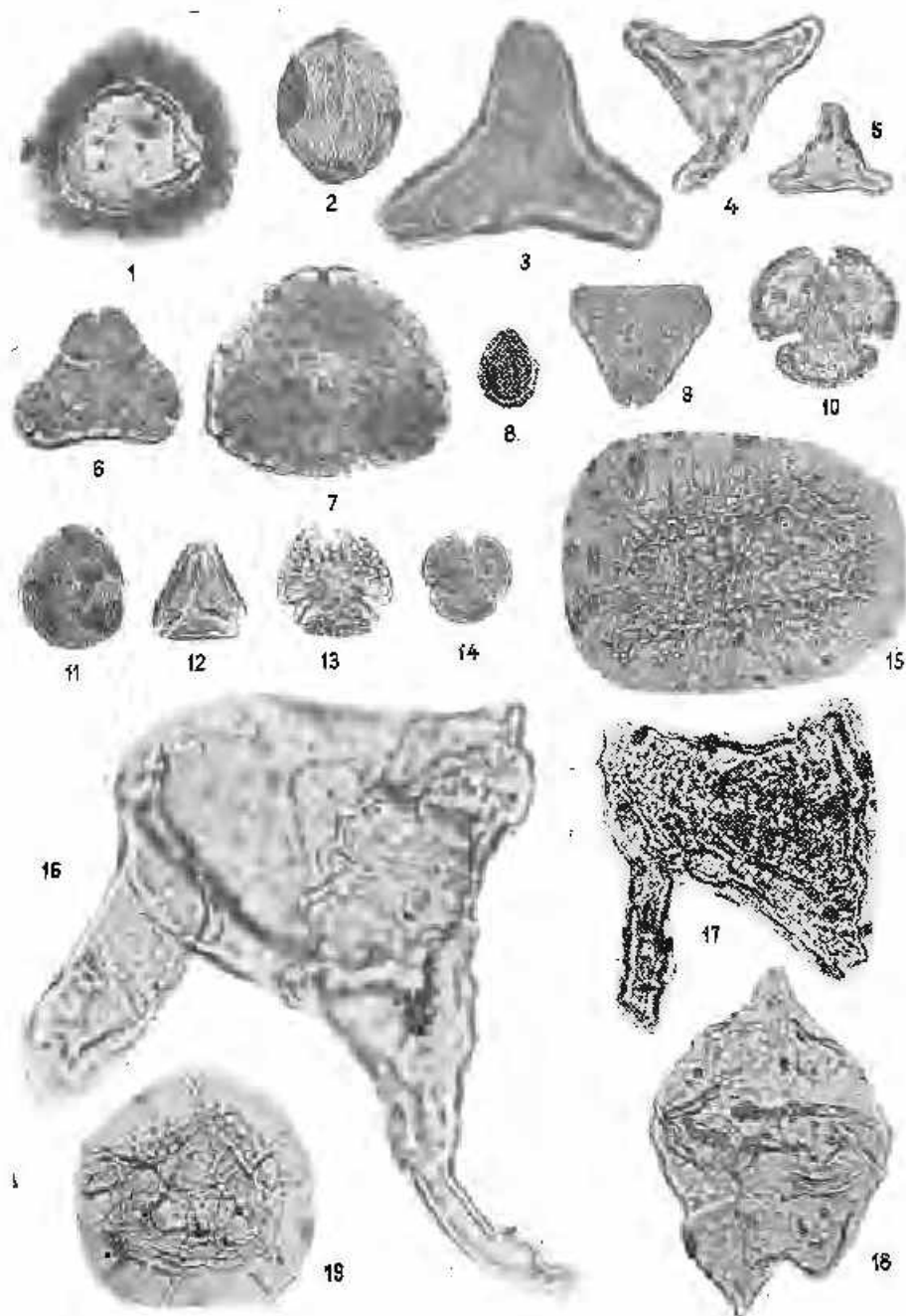


PLANŞA XXI

× 500

Elemente din microflora stratelor de Deva.
Éléments de la microflore des couches de Deva.
Cenomanian superior — Santonian.
Cénomanien supérieur — Santonien.

- Fig. 1. — *Densosporites* sp. Remaniat? Soinus-Deva, lama 1220/1.
- Fig. 2. — *Ephedripites* sp. Soinus-Deva, lama 1220/3.
- Fig. 3. — cf. *Santonipollis* sp. × 1000. Soinus-Deva, lama 1630/4.
- Fig. 4. — *Complexiopollis praecatumescens* Krutzsch 1959. × 1000. Soinus-Deva, lama 1753/11.
- Fig. 5. — *Complexiopollis praecatumescens* Krutzsch 1959. Soinus-Deva, lama 1753/5.
- Fig. 6. — *Saemigipollis triangularis* Gómez 1964. × 1000. Soinus-Deva, lama 1658/1.
- Fig. 7. — *Papillopollis* sp. × 1000. Soinus-Deva, lama 1661/1.
- Fig. 8. — *Tricolpopollenites* sp. Soinus-Deva, lama 1220/2.
- Fig. 9. — *Trudopollis* sp. Soinus-Deva, lama 1753/7.
- Fig. 10. — *Tricolpites microreticulatus* (Bel'sky, Boltzenhagen & Potonié) Brenner 1963. × 1000. Soinus-Deva, lama 1660/1.
- Fig. 11. — *Concentricystes* sp. Soinus-Deva, lama 1220/9.
- Fig. 12. — *Tricolpites* sp. Soinus-Deva, lama 1753/3.
- Fig. 13. — *Tricolpites* cf. *explanatus* (Anderson) Druegg 1967. Soinus-Deva, lama 1753/2.
- Fig. 14. — *Tricolpites* cf. *sagax* Norris 1967. Soinus-Deva, lama 1753/14.
- Fig. 15. — *Cleistosphaeridium heterocaudatum* (Deflandre & Cookson) Davey, Downie, Sarjeant & Williams 1966. Soinus-Deva, lama 1753/8.
- Fig. 16, 17. — *Odontochilina* sp. Soinus-Deva, fig. 16 lama 1753/2, fig. 17 lama 1220/2.
- Fig. 18. — *Deflandrea* cf. *brisostensis* Cookson & Eissenack 1961. Soinus-Deva, lama 1658/1.
- Fig. 19. — *Hystrichospiraera* sp. Soinus-Deva, lama 1753/11.



PLANSĂ XXII

× 600

Elemente din microflora stratelor de Bozes.

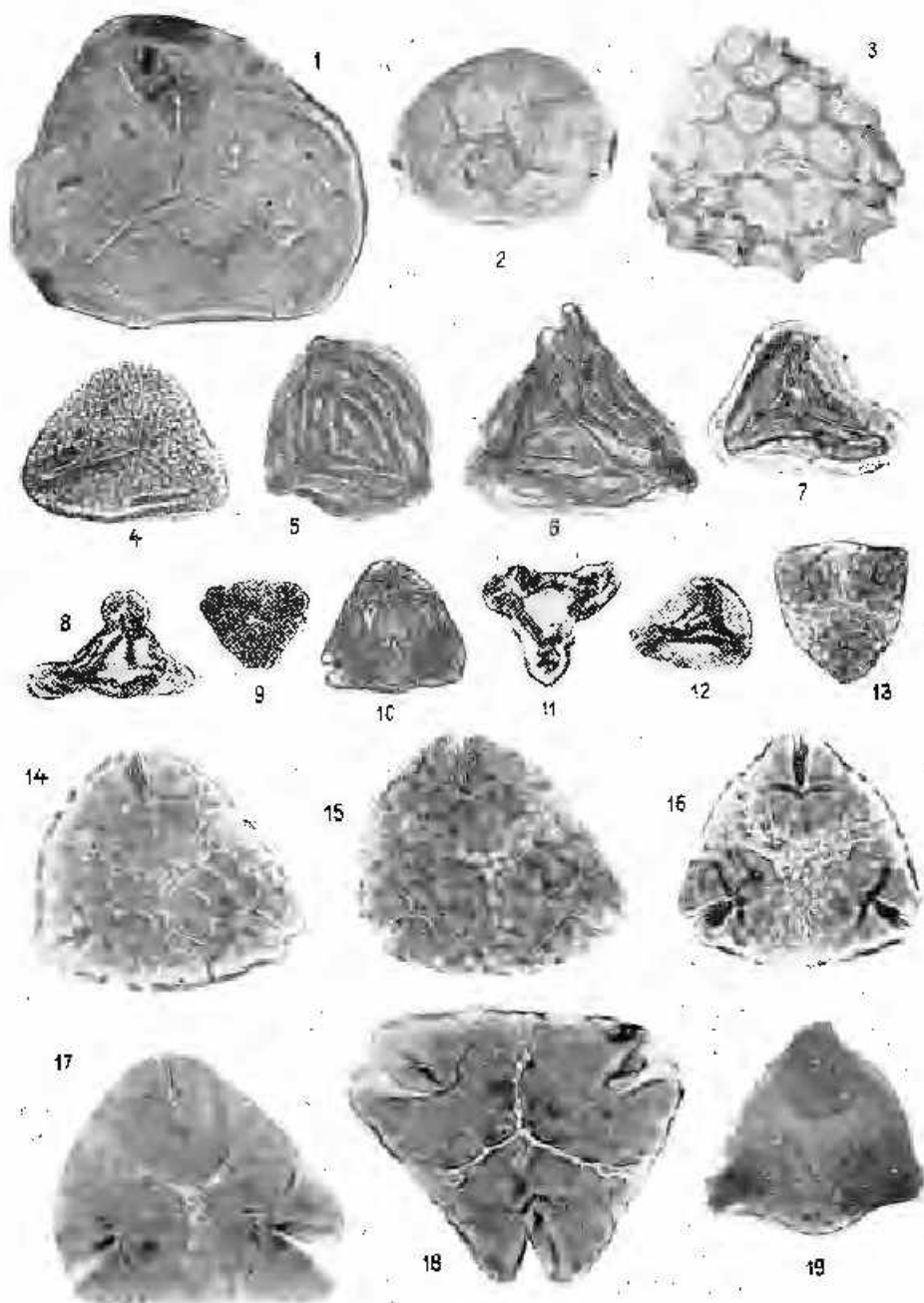
Éléments de la microflore des couches de Bozes.

Turonian inferior - Santonian.

Turonien inférieur - Santonien.

- Fig. 1. - *Intertinctites scrobiculatus* Anderson 1960. Valea Mare-Ciumă, lama 1671/3.
Fig. 2. - *Zizisporites planensis* Pacłtova 1961. Valea Viști, lama 1503/6.
Fig. 3. - *Heilitites* sp. 1. (*Lip punctulatum*?). Valea Bozes, lama 1652/2.
Fig. 4. - *Microreticulitesporites urceolatus* Deák 1961. Virful Tîrnicioara, lama 1528/10.
Fig. 5. - *Cleatricosporites* sp. Valea Viștelui, lama 1503/1.
Fig. 6. - *Cleatricosporites hughesi* Dettmann 1963. Valea Mare Ciumă, lama 1667/2.
Fig. 7. - *Ptyopodizcoisporites* sp. Virful Tîrnicioara, lama 1523/6.
Fig. 8. - *Complexicollis* cf. *turonis* (Krutzsch) Krutzsch 1967. Valea Bozes, lama 1652/1.
Fig. 9. - cf. *Semioenopollis* sp. Virful Tîrnicioara, lama 1523/6.
Fig. 10. - *Longanulipollis* sp. Virful Tîrnicioara, lama 1523/4.
Fig. 11. - *Interporopollenites proportionatus* Wayland & Krieger 1953. Valea Bozes, lama 1652/1.
Fig. 12. - *Euscheripollis gracilis minutus* Pacłtova & Krutzsch 1969. Valea Fierului-Ampoia, lama 1581/12.
Fig. 13-16. - *Oculopollis orbicularis* Góczán 1964. Fig. 13 lama 1653/3, valea Bozes; fig. 14 lama 1581/10, valea Fierului-Ampoia; fig. 15-16 lama 1581/15 valea Fierului-Ampoia. Fig. 14-16 × 1000.
Fig. 17. - *Oculopollis* cf. *semireticulatus* Krutzsch 1968. × 1000, Valea Fierului, lama 1581/12.
Fig. 18. - *Oculopollis* cf. *maximus* Krutzsch 1968. × 1000. Valea Fierului, lama 1581/11.
Fig. 19. - *Oculopollis* „rand-verrucosus” ex Medoș 1970. Valea Bozes, lama 1653/5.





PLANSĂ XXIII

× 1000

Elemente din microflora stratelor de Bozeş.

Éléments de la microflore des couches de Bozeş.

Turonian inferior — Santonian.

Turonien inférieur — Santonien.

Fig. 1—4. — *Oculopollis* cf. *semimaximus* Krantzsch 1968. Fig. 4 × 500. Fig. 1 lama 1652/3, valea Bozeş; fig. 2—3 lama 1581/23, valea Fierului; fig. 4 lama 1652/2, valea Bozeş.

Fig. 5. — *Oculopollis zatkinskiae* Göczán 1961. Valea Fierului, lama 1551/3.

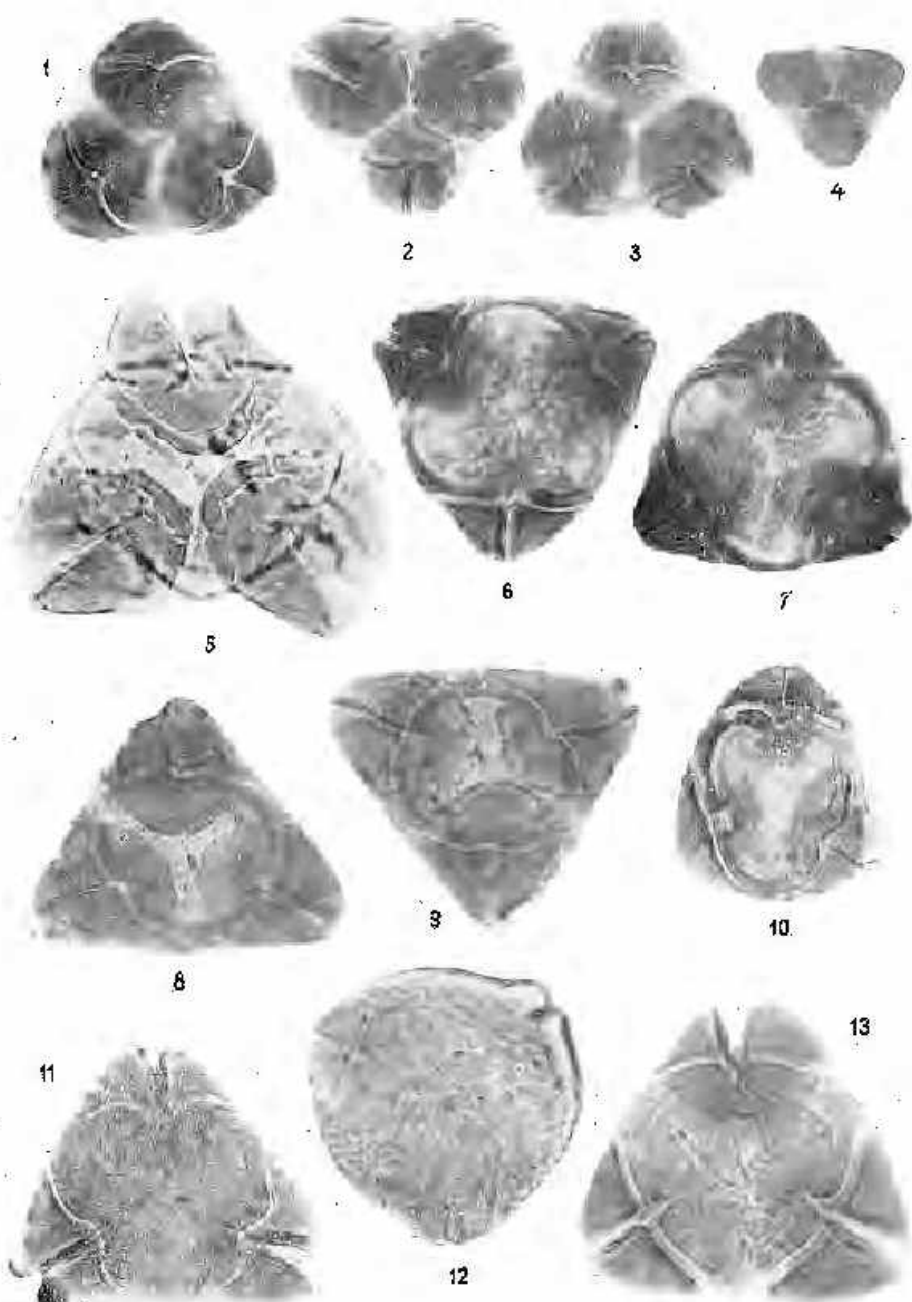
Fig. 6—7, 10. — *Oculopollis* cf. *parvculus* Göczán 1961. Fig. 6—7 lama 1652/3, valea Bozeş; fig. 10 lama 1671/1, valea Mare-Gângi.

Fig. 8—9. — *Longanulipollis* cf. *tongianus* (Göczán) Göczán 1967. Valea Fierului, lama 1581/14.

Fig. 11, 13. — „*Extratriporopollenites incaps*” Skarbić 1968. Valea Fierului, fig. 11 lama 1581/19, fig. 13 lama 1581/22.

Fig. 12. — *Norwiapollis* tip 4. Valea Blandiana, lama 1685/1.





PLANŞA XXIV

× 500

Elemente din microflora stratelor de Bozes.

Éléments de la microflore des couches de Bozes.

Turonian inferior Santonian.

Turonien inférieur — Santonien.

- Fig. 1. *Dinogymnum cf. acuminatum* Evitt, Clarke & Verdier 1867. Valea Fierului, lama 1581/3.
- Fig. 2. - *Vacuopollis* sp. Valea Bozes, lama 1652/5.
- Fig. 3. - cf. *Lejeunia* sp. Valea Blandiana, lama 1658/3.
- Fig. 4. - *Concentricystes* sp. Valea Homorod, lama 1656/1.
- Fig. 5. - *Deflandrea cf. tenuistensis* Cookson & Eisenack 1961. Vîntul Tîrnicioara, lama 1523/11.
- Fig. 6. - *Deflandrea cf. cooksoni* Alberti 1959. Vîntul Tîrnicioara, lama 1523/6.
- Fig. 7. - *Dinogymnum* sp. Valea Homorod, lama 1656/2.
- Fig. 8. - *Dinogymnum cf. nelsonense* Cookson 1956. Valea Fierului Ampoia, lama 1581/1.

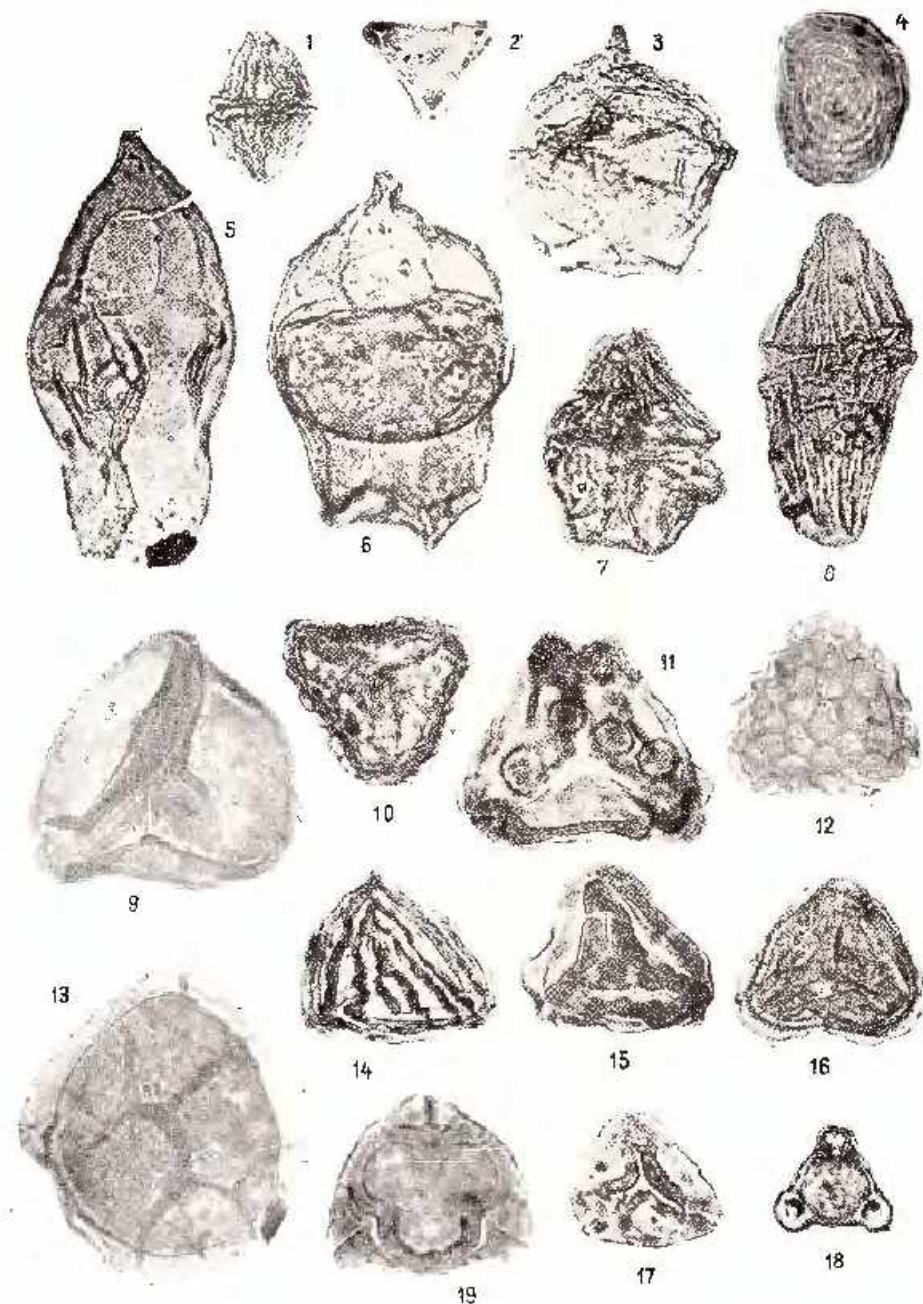
Elemente din microflora faciesului proximal-detritic grosier.

Éléments de la microflore du faciès proximal-détritique grossier.

Santonian Maestrichtian inferior.

Santonien — Maestrichtien inférieur.

- Fig. 9. - *Leiorites maxoides* Krutzsch 1962. Valea Vînt, lama 1509/1.
- Fig. 10. - *Trilites* sp. Valea Pielișa, lama 1387/1.
- Fig. 11. - *Trilobosporites canadensis* Pocock 1962 ex Gómez Án 1961. Valea Pielișa, lama 1387/4.
- Fig. 12. - *Reticulites* sp. 1 (tip. *punctulatum*?). Valea Vînt, lama 1509/13.
- Fig. 13. - *Zlivisporites blanensis* Paclova 1961. Valea Pielișa, lama 1387/8.
- Fig. 14. - *Cicatricosporites lughae* Detmann 1963. Valea Vînt, lama 1509/2.
- Fig. 15. - *Contignisporites perplexus* (Singh) Norris 1967. Valea Vînt, lama 1509/3.
- Fig. 16. - *Polypodiaceosporites* sp. Valea Pielișa, lama 1387/4.
- Fig. 17. - *Euscheripollis gracilis minima* Paclova & Krutzsch 1969. × 1000. Valea Pielișa, lama 1387/5.
- Fig. 18. - *Interporospollenites proporus* Weyland & Krieger 1953. Valea Pielișa, lama 1387/16.
- Fig. 19. - cf. *Trudopollis* sp. Valea Pielișa, × 1000 lama 1387/9.

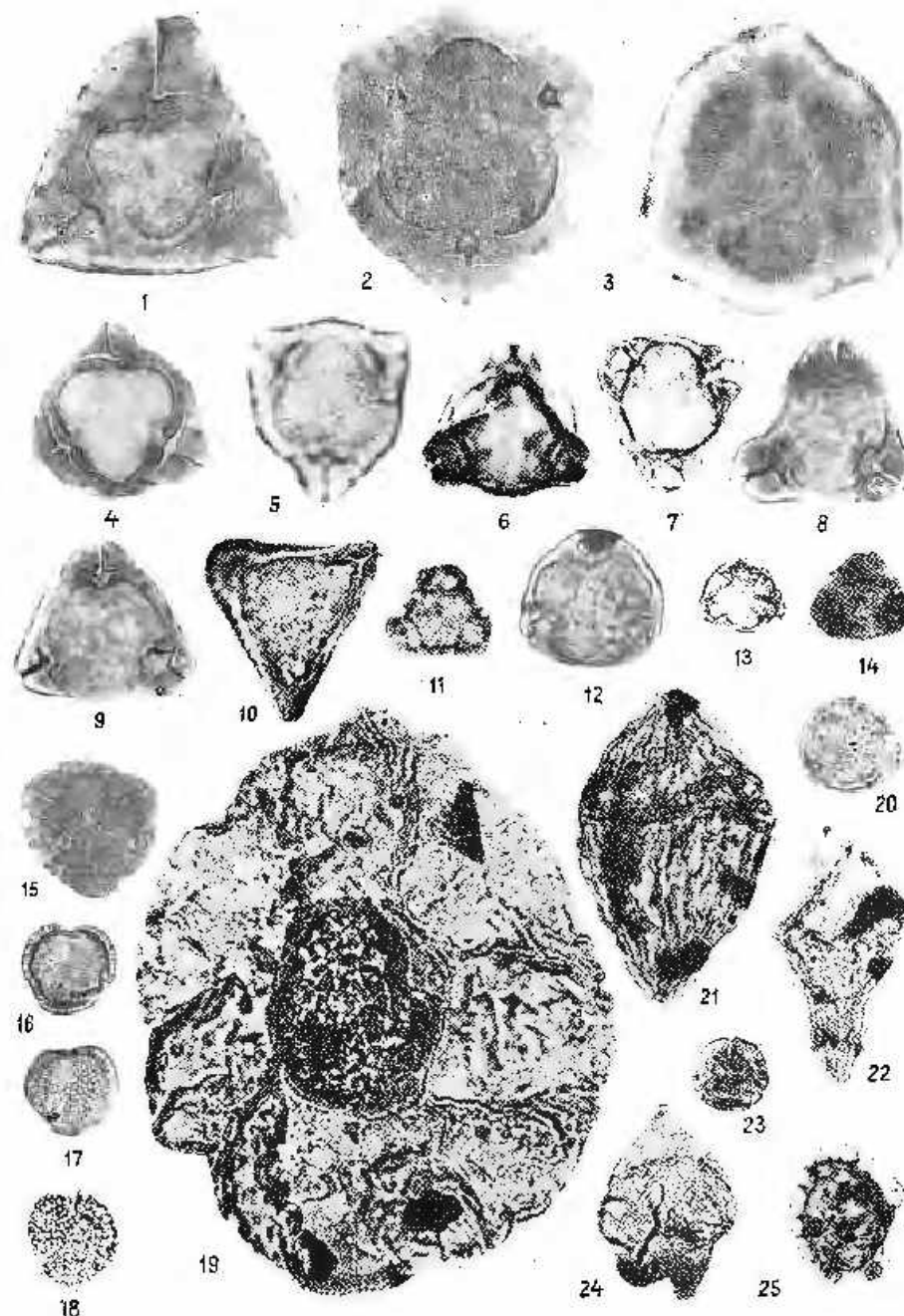


PLANŞA XXV

$\times 500$

Elemente din microflora faciesului proximal-detritic,
Éléments de la microflore du faciès proximal-détritique,
Santonian – Maestrichtian inferior,
Santonien – Maestrichtien inférieur.

- Fig. 1. – *Hungaropollis kruszicki* Gécza n. 1961. Valea Pieișa, lama 1387/9. $\times 1000$.
- Fig. 2–3. – *Hungaropollis* sp. $\times 1000$. Valea Pieișa, lama 1387/20.
- Fig. 4–5. – *Longanitopollis?* cf. *longianitoides* (Gécza n.) Gécza n. 1967. Valea Pieișa, lama 1387/20. $\times 1000$.
- Fig. 6. – cf. *Plicopollis* sp. $\times 1000$. Valea Pieișa, lama 1387/14.
- Fig. 7. – *Interporopollenites properus* Weyland & Greifeld 1953. $\times 1000$. Valea Pieișa, lama 1387/20.
- Fig. 8. – *Semicallopollis* sp. $\times 1000$. Valea Pieișa, lama 1387/20.
- Fig. 9. – *Serdiculopollis* sp. $\times 1000$. Valea Pieișa, lama 1387/9.
- Fig. 10. – cf. *Piolencipollis* sp. $\times 1000$. Valea Pieișa, lama 1387/15.
- Fig. 11. – *Sternegipollis trianguliferis* Gécza n. 1964. $\times 1000$. Valea Pieișa, lama 1387/19.
- Fig. 12. – *Pseudopapillopollis praesubhercynicus* (Gécza n.) Gécza n. 1967. $\times 1000$. Valea Pieișa, lama 1387/20.
- Fig. 13. – *Semicallopollis* sp. Valea Vînt, lama 1389/1.
- Fig. 15. – *Oenopollis* sp. (verrucos). Valea Pieișa, lama 1387/7.
- Fig. 16–18. – *Tricolpites* sp. (foveolat). Valea Pieișa, fig. 16 lama 1387/15, fig. 17 lama 1387/6, fig. 18 lama 1387/1.
- Fig. 19. – *Merdikanliarcia* sp. Valea Pieișa, lama 1387/10.
- Fig. 20. – cf. *Triplopollenites robustus* Pflüg 1953. Valea Pieișa, lama 1387/1.
- Fig. 21. – *Dinogymnium* sp. 1 (specie nedeterminata). Valea Pieișa, lama 1387/20.
- Fig. 22. – *Dinogymnium* sp. 2 (specie nedeterminata). Valea Pieișa, lama 1387/26.
- Fig. 23. – *Tricolpites* sp. 1. Valea Pieișa, lama 1387/3.
- Fig. 24. – *Deslandrea* cf. *minor* Alberelli 1959. Valea Pieișa, lama 1387/15.
- Fig. 25. – *Pistiliopollenites* sp. Valea Pieișa, lama 1387/16.



PLANŞA XXVI

× 1000

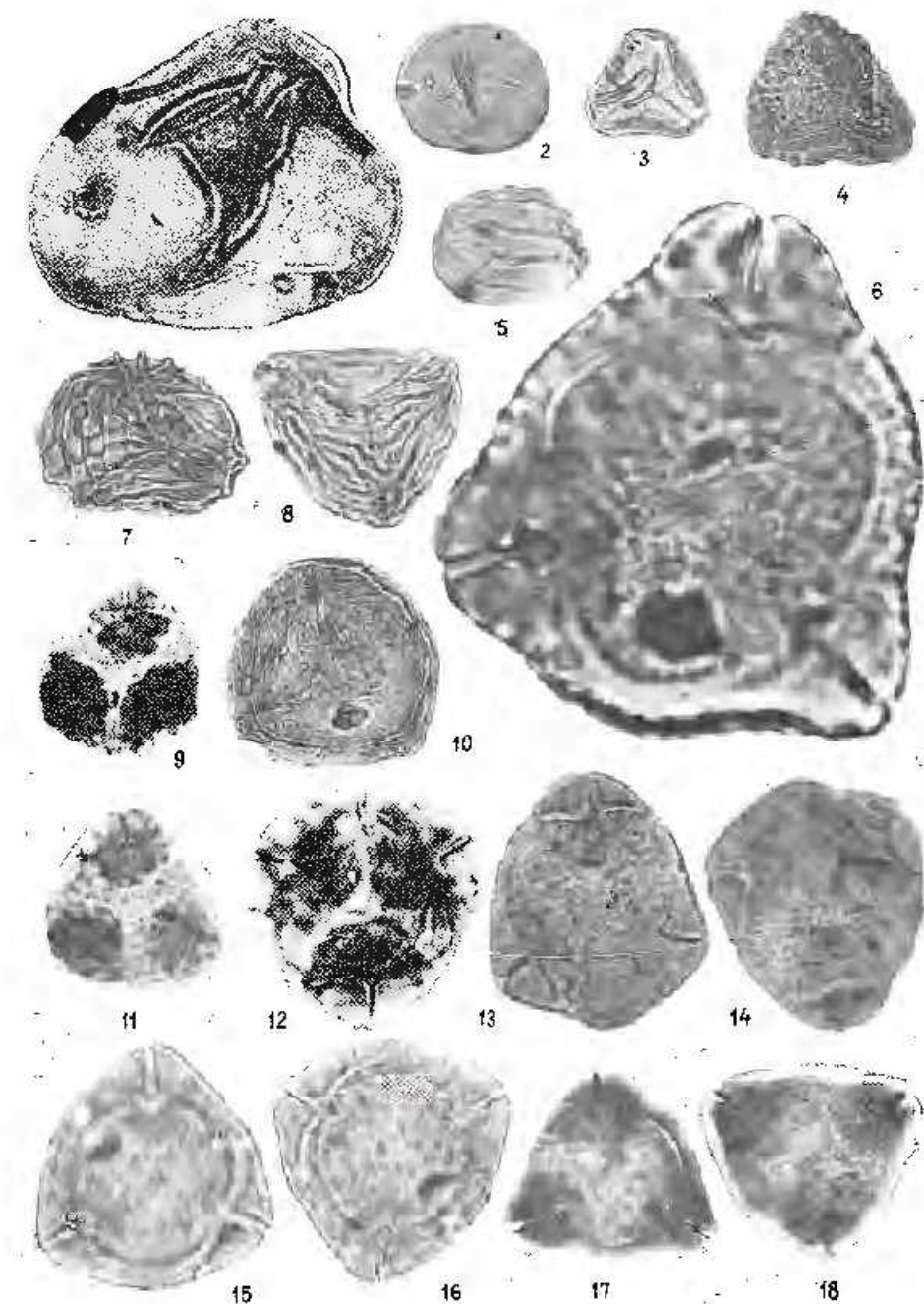
Elemente din microflora faciesului detritic roşu.

Éléments de la microflore du faciès détritique rouge.

Maestrichtian mediu și superior.

Maestrichtien moyen et supérieur.

- Fig. 1. — *Leiotriletes maxoides* Krutzsch 1962. Valea Pieleșa, lama 1552/13.
Fig. 2. — *Leiotriletes* sp. Valea Pieleșa, lama 1552/8.
Fig. 3. — *Gleicheniidites cf. cercinidites* (Cookson) Dettmann 1963. Valea Pieleșa,
lama 1914/1.
Fig. 4. — *Trilites* sp. Valea Pieleșa, lama 1914/8.
Fig. 5. — *Ephedripites* sp. Valea Pieleșa, lama 1914/8.
Fig. 6. — *Trudopollis* sp. 2. Valea Pieleșa, lama 1914/6.
Fig. 7. — *Cicatricosporites cf. hughesi* Dettmann 1963. Valea Pieleșa, lama 1914/2.
Fig. 8. — *Cicatricosporites cf. dorogensis* Potonié & Galletich 1933, Valea Pieleșa,
lama 1914/1.
Fig. 9, 11. — *Oculopollis cf. orbicularis* Góczán 1964. Valea Pieleșa, fig. 9 lama 1552/1,
fig. 11 lama 1914/4.
Fig. 10. — *Densosporites perinatus* Conper 1958. Valea Pieleșa, lama 1911/2.
Fig. 12. — *Oculopollis* sp. Valea Pieleșa, lama 1914/8.
Fig. 13—14. — *Normapolles* tip 1. Valea Pieleșa, lama 1911/6.
Fig. 15—16. — *Normapolles* tip 2. Valea Pieleșa, lama 1552/2.
Fig. 17—18. — *Normapolles* tip 3. Valea Pieleșa, lama 1914/8.

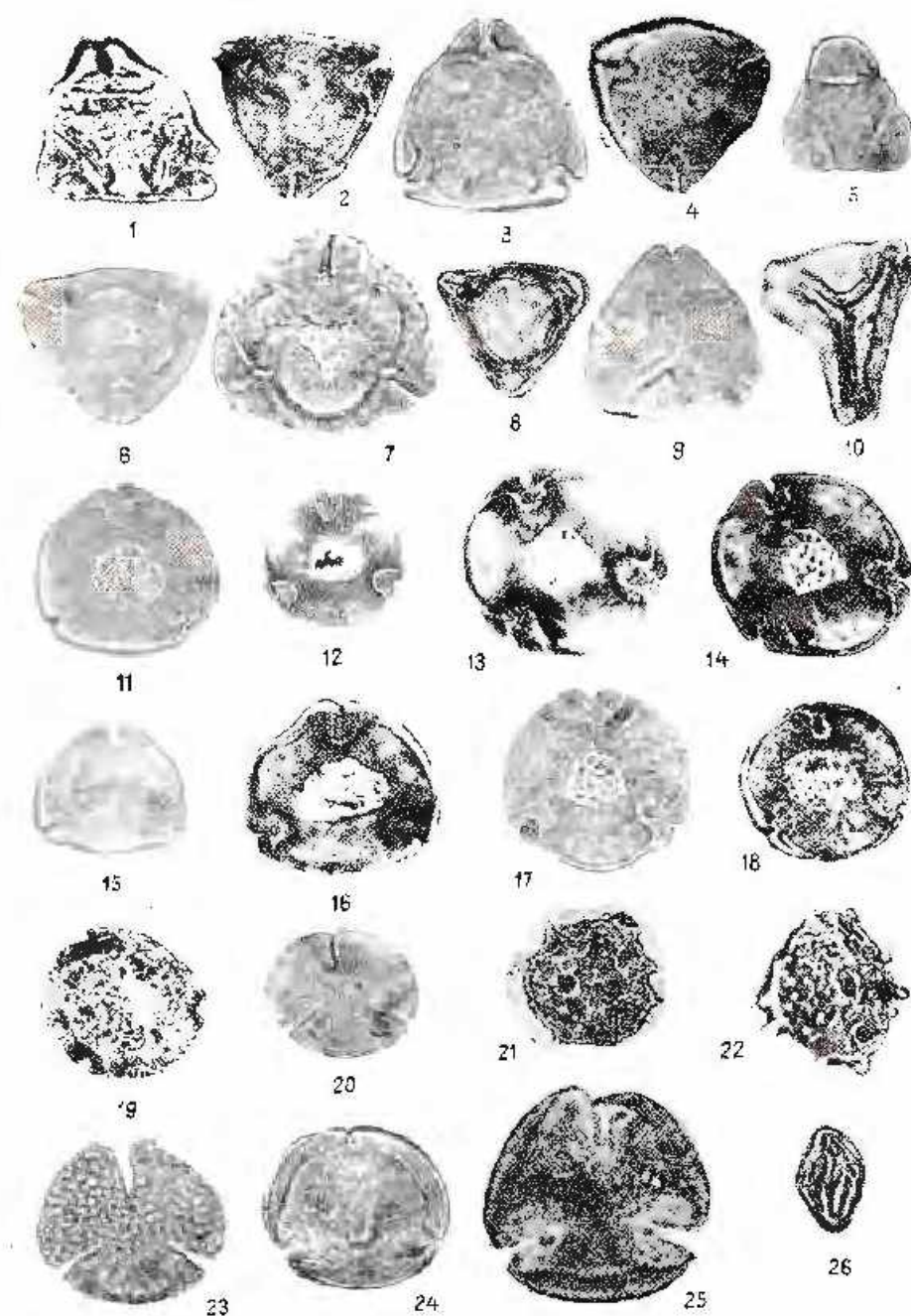


PLANŞA XXVII

× 1000

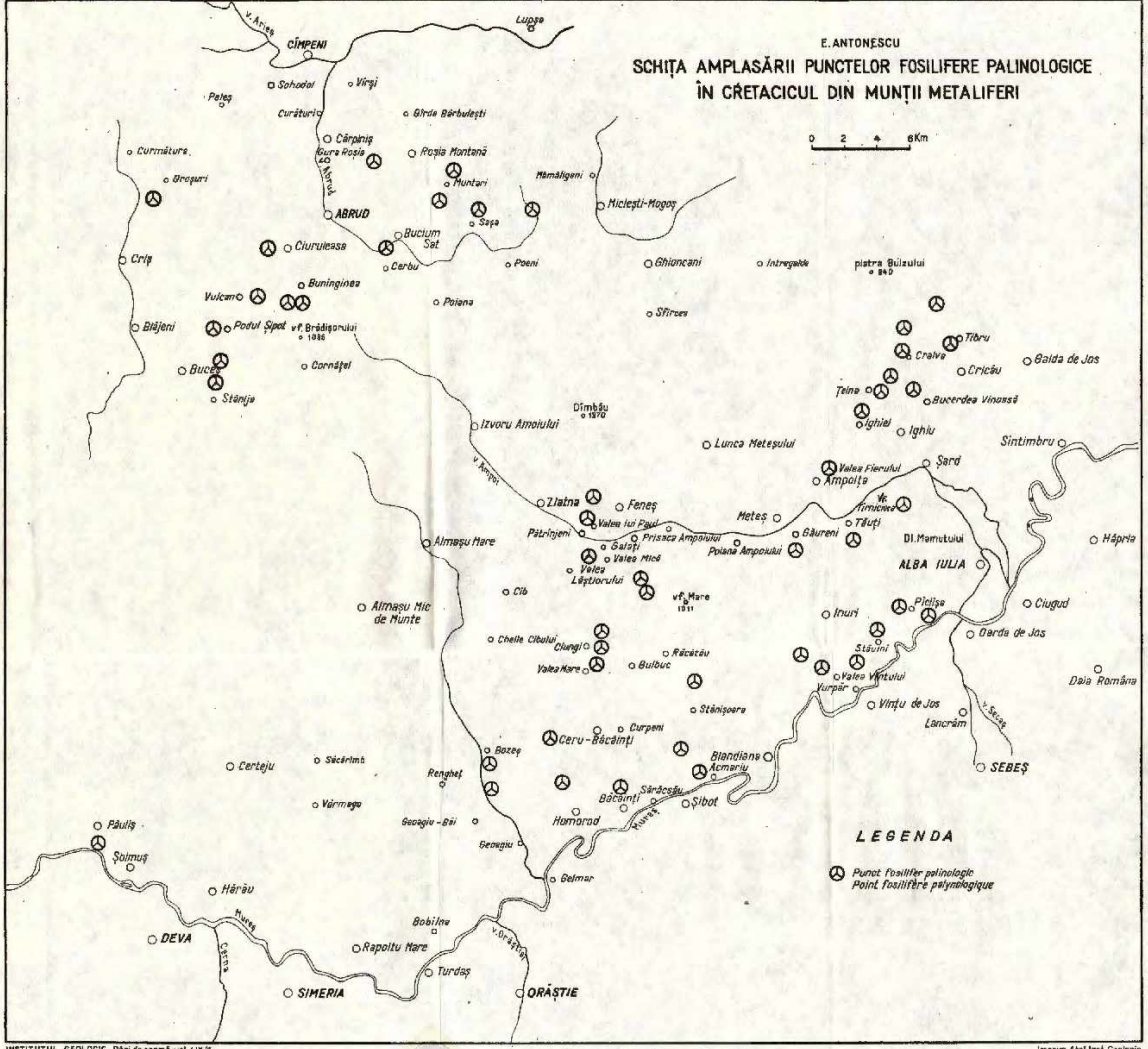
Elemente din microflora faciesului detritic roşu.
 Éléments de la microflore du faciès détritique rouge.
 Maestrichtian mediu și superior.
 Maestrichtien moyen et supérieur.

- Fig. 1—2. — cf. *Semiculopollis* sp. determin. prov. Valea Pielișa, fig. 1 lama 1914/16, fig. 2 lama 1914/2.
- Fig. 3—4. — *Trudopollis* cf. *imperfectus* (Pflug) Pflug 1953. Valea Pielișa, fig. 3 lama 1914/2, fig. 4 lama 1914/6.
- Fig. 5. — *Suemeghipollis triangularis* Gómez 1961. Valea Pielișa, lama 1914/8.
- Fig. 6. — *Papillopollis* sp. Valea Pielișa, lama 1552/2.
- Fig. 7. — *Papillopollis* cf. *clavescens* Weyland & Krieger 1953, Valea Pielișa, lama 1552/12.
- Fig. 8. — *Interporopollenites porosus* Weyland & Krieger 1953, Valea Pielișa, lama 1914/8.
- Fig. 9. — cf. *Pflugipollis* sp. Valea Pielișa, lama 1914/7.
- Fig. 10. — *Emscheripollis* cf. *gracilis gracilis* Pacliova & Kratzsch 1969. Valea Pielișa, lama 1552/5.
- Fig. 11—14, 16—18. — *Pseudopapillopollis prae-subherzynicus* (Gómez) Gómez 1967. Valea Pielișa, fig. 11 lama 1552/16, fig. 12 lama 1914/1, fig. 13—14 lama 1552/5, fig. 16 lama 1552/6, fig. 17 lama 1552/12, fig. 18 lama 1552/4.
- Fig. 15. — cf. *Triatriopollenites coryphaeus* (Pontonie) *microcoryphaeus* Thomason & Pflug 1953. Valea Pielișa, lama 1552/5.
- Fig. 19. — cf. *Triporopollenites robustus* Pflug 1953. Valea Pielișa, lama 1552/12.
- Fig. 20. — cf. *Oospipollenites* sp. Valea Pielișa, lama 1914/8.
- Fig. 21. — *Echinatisporis* cf. *longechitinus* Kratzsch 1950. Valea Pielișa, lama 1914/8.
- Fig. 22. — *Pistillipollenites* sp. Valea Pielișa, lama 1552/10.
- Fig. 23. — *Tricospipollenites* cf. *geranicidans* (Coniper) Kislik 1968. Valea Pielișa, lama 1552/2.
- Fig. 24—25. — *Tricolpites* sp. 2. Valea Pielișa, fig. 24 lama 1552/1, fig. 25 lama 1552/2.
- Fig. 26. — *Tricolporites* sp. Valea Pielișa, lama 1552/8.

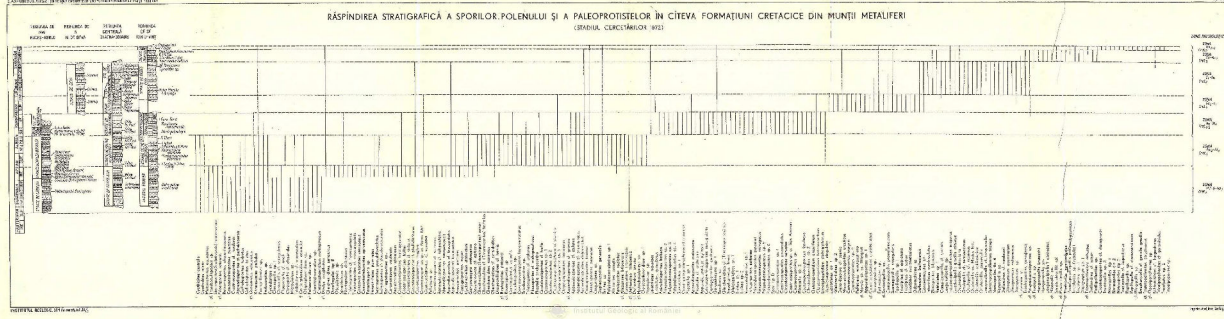


E.ANTONESCU
**SCHIȚA AMPLASĂRII PUNCTELOR FOSSILIFERE PALEONTOLOGICE
 ÎN CRÈTACICUL DIN MUNȚII METALIFERI**

0 2 6 Km



RÂSPINDIREA STRATIGRAFICĂ A SPORILOR, POLENULUI ȘI A PALEOPROTISTELOR ÎN CITEVA FORMAȚII CRISTALICE DIN MUNTII METALIFERI
GRADINI, CECIȚĂNEANU, VISI



C U P R I N S

PALEOZOOLOGIE

	Par.
1. Baltres A. Inventarul Hydrozoarelor și Chaetetidelor din România	5
2. Baltres A., Brustur T. Notă asupra unei faune boremian-inferioare din partea sudică a munților Hăgħimla	39
3. Hinecuiev Artin Luciana, Baltres A., Ticleanu N. Fauna de moluște bessarabiene de la Zmeuratu (județul Vilcea). Contribuții la studiul taphonomic și paleoecologic al asociației de fosile	49
4. Motas I., Mihăilă N. Lunadacna nov. gen. în Pontianul din bazinul Dacic	71
5. Papaiānopoli I. Două subspecii noi de <i>Euxinicardium</i> în Dacianul superior din Muntenia	75
6. Trifan Georgeta. Prezența speciilor <i>Austinocrinus radiatus</i> Anthula, <i>Conulus albogularis</i> Klein și <i>Isoniceraster</i> faasi Rouchadze, în Senonianul zonei Albești-Mușcel (județul Argeș)	87

MICROPALEONTOLOGIE

7. Gheorghian M. Spiroloculina - specii din Badenian descrise de L. Neugeboren	93
8. Micu M. Microfaciesul cu <i>Pythonella ovalis</i> (Kaufmann) în Cretacicul superior din semireeastra Bistriței (Carpații Orientali)	99
9. Stoleriu Mariana. Asupra unor specii de Characeae din Eocenul de la Itona-Jibou	105

PALINOLOGIE

10. Antonescu Em. Asociații palinologice caracteristice unor formațiuni cretacee din Munții Metaliferi	115
--	-----



CONTENU
(Résumé)

PALÉOZOOLOGIE

	<u>Pag.</u>
1. Baltres A. Inventaire des Hydrozoaires et des Chetétidés de Roumanie	33
2. Baltres A., Brustur T. Note sur une faune du Barrémien inférieur localisée dans la partie méridionale des Monts Hăgimas	46
3. Hinculov Artin Luciana, Baltres A., Țicleanu N. Faune à mollusques bessarabiens de Zmeuratu (district de Vilcea). Contributions à l'étude taphonomique et paléoécologique de l'association de fossiles	68
4. Motas I., Mihailă N. Lunadacna nov. gen. dans le Pontien du Bassin dacique	74
5. Papaiopol I. Deux nouvelles sous-espèces de <i>Euxinicardium</i> dans le Dacien supérieur de Munténie	85
6. Trifan Georgea. Présence des espèces <i>Austinocrinus radiatus</i> Anthula, <i>Conulus albogalerus</i> Klein et <i>Tsoumiceraster faasi</i> Tonchadze dans le Sénonien de la zone d'Albești-Mușcel (district d'Argeș)	91

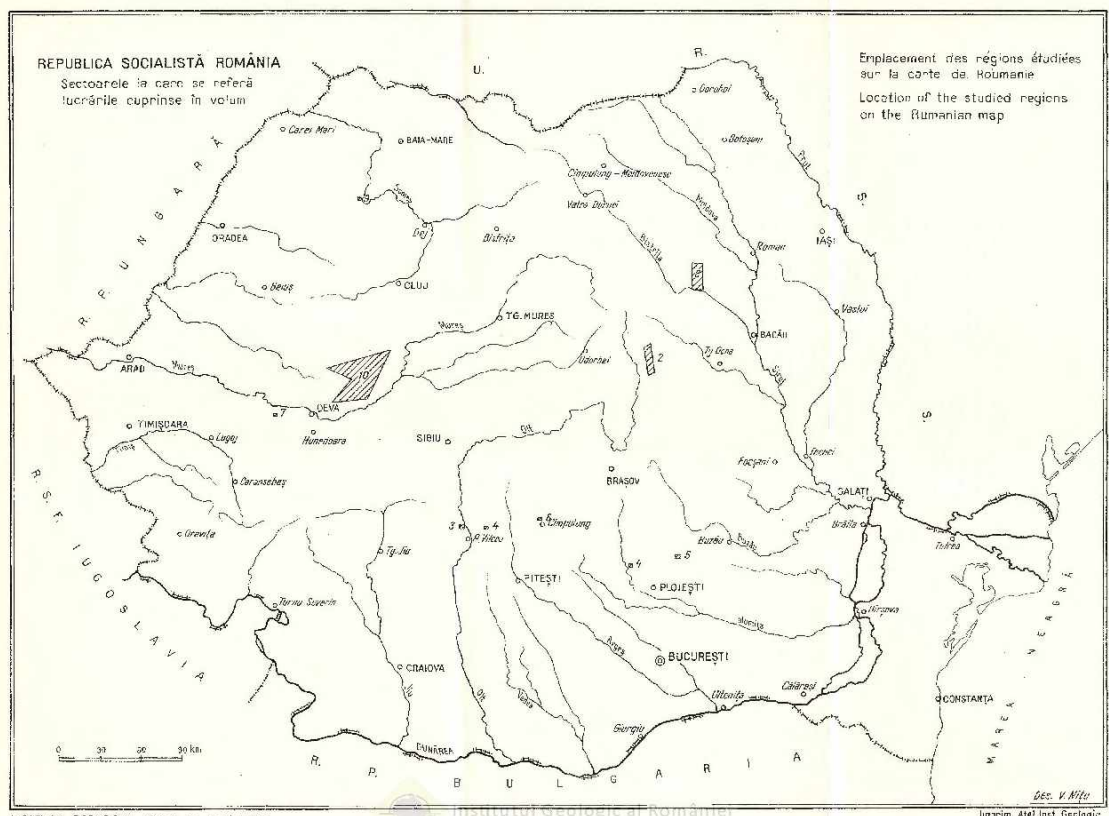
MICROPALÉONTOLOGIE

7. Gheorghian M. <i>Spiroloculina</i> — species of Badenian described by L. Neugeboren	95
8. Micu M. Microfaciès à <i>Pithonella ovalis</i> (Kaufmann) du Crétacé supérieur de la demi-fenêtre de Bistrița (Carpates Orientales)	103
9. Stoleriu Mariana. Sur quelques espèces de fruits de Chara de l'Éocène de Rona—Jibou	113

PALYNOLOGIE

10. Antonescu E.m. Associations palynologiques propres à certaines formations crétacées des Monts Métallifères	186
--	-----





Redactori: MARGARETA PELTZ și LIGIA FOTE
Traducători: MARIANA SAULEA și MARGARETA HARJAC
Illustrație: V. NITU

Dat la coadă: iul. 1973. Bum de tipar; oct. 1973, Tipaj: 1000 ex.
Hartă serie I A. Format 70×100/56 g. Coli de 1000; 11. Com. 682.
Pentru bibliotecă îndăcăle de clasificare 65(055)

Tiparul executat la Întreprinderea poligrafică „Informația”
str. Brescului nr. 23-25 București - România



Institutul Geologic al României

**Responsabilitatea asupra conținutului articolelor
revine în exclusivitate autorilor**



Institutul Geologic al României

INSTITUT GÉOLOGIQUE

COMPTES RENDUS DES SÉANCES

TOME LIX

1972

3. PALEONTOLOGIE



Institutul Geologic al României